

Geoteknikk

Fv. 707 Berg - Høstadkorsen Gang- og sykkelvei
Geoteknisk data- og vurderingsrapport

FV 707 hp 1, meter 6989, Trondheim kommune

Ressursavdelingen

Ud434C-GEOT-R1





Statens vegvesen

Oppdragsrapport

Nr. Ud434C-GEOT-R1

Labsysnr.

Geoteknikk

Fv. 707 Berg - Høgstadkorsen Gang- og sykkelvei
Geoteknisk data- og vurderingsrapport

Region midt

Ressursavdelingen

Berg- og geoteknikkseksjonen

Postadr. Postboks 2525
6404 MOLDE

Telefon 22073000

www.vegvesen.no

UTM-sone	Euref89 Ø-N	Oppdragsgiver:	Antall sider:
33	258442 - 7038952	Miljøpakken	21
Kommune nr.	Kommune	Dato:	Antall vedlegg:
5001	Trondheim	2018-09-28	8
		Utarbeidet av (navn, sign.)	Antall tegninger:
		Rikke Nornes Bryntesen	47
Prosjektnummer	Oppdragsnummer	Seksjonsleder (navn, sign.)	Kontrollert
	Ud434C	Per Olav Berg	Lars A Solås
Sammendrag			

Etter oppdrag fra Miljøpakken v/Roar Lindstad har Berg- og geoteknikkseksjonen i Region midt utført grunnunder–søkelser og foretatt geotekniske vurderinger for gang og sykkelvei langs fv. 707 Berg – Høgstadkorsen.

Det er planlagt gang- og sykkelvei langs vestsiden av fv. 707.

Hoveddelen av planområdet ligger på et område med løsmasser kartlagt som havavsetning. Nordre del av planområdet består av myr/torvmasser. Kartdata fra NVE viser at planområdet krysser den registrerte kvikkleiresonen 422 Hafella, kartlagt med høy faregrad. Planområdet krysser også tre SVV registrerte kvikkleirepunkt. Flere kvikkleireområder er også kartlagt vest for planområdet, men strekker seg ikke helt inn til planområdet.

Hele planområdet ligger under marin grense. Grunnundersøkelsene som er utført i området viser tilstedeværelse av kvikk og sensitiv leire langs store deler av strekningen. I nordre (Profil 5480 - 5820) del av planområde viser grunnundersøkelsene myr ned til ca. 5-6 m dybde over fast leire. Det er ikke funnet kvikkleire i dette området.

Planområdet ligger i hovedsak i slakt terrenget, dette gjør gang- og sykkelveg gjennomførbar med relativt enkle tiltak, tross store deler av strekningen ligger på kvikk og sensitiv leire. Gang- og sykkelveien er planlagt etter prinsippet om at tiltaket skal forbedre, eller ikke forverre stabiliteten innad i kvikkleiresonen. Det er planlagt stabilisende tiltak langs deler av strekningen, hovedsakelig i form av motfyllinger og nedplanering i skråninger.

Det er planlagt totalt 6 motfyllinger, disse er inntegnet på plankartene, plassert mellom følgende profil nr. 6330-6470, 7640-7680, 7870-7920, 7960-7970, 8610-8670, 8730-8860. Høyden på motfyllingene er omrent 1-2 m, og avsluttes med helning 1:7-1:8. I tillegg er det planlagt en terregnavlasting mellom profil 6450 til 6550.

Emneord

Kvikkleire, sensitiv leire, myr

GEOTEKNIK KATEGORI/KONSEKVENS-/PÅLITELIGHETSKLASSE

Geoteknisk kategori	Konsekvens-/ pålitelighetsklasse
Geoteknisk kategori 1 ← CC1/RC1	<input type="checkbox"/>
Geoteknisk kategori 2 ← CC2/RC2	<input checked="" type="checkbox"/>
Geoteknisk kategori 3 ← CC3/RC3 ev RC4	<input type="checkbox"/>
Konsekvens- klasse	Beskrivelse
CC1	liten konsekvens i form av tap av menneskeliv, og små eller uvesentlige økonomiske, sosiale eller miljømessige konsekvenser
CC2	Middels stor konsekvens i form av tap av menneskeliv, betydelige økonomiske, sosiale eller miljømessige konsekvenser
CC3	Stor konsekvens i form av tap av menneskeliv, eller svært store økonomiske, sosiale eller miljømessige konsekvenser

Kategori/konsekvensklasse er fastsatt av			
	Enhet/navn	Signatur	Dato
Geoteknisk prosjekterende	Berg- og geoteknikkseksjonen v/ Rikke N Bryntesen	Rikke N Bryntesen <small>Digitalt signert av Rikke N Bryntesen Dato: 2018.09.28 14:31:26 +02'00'</small>	2018-09-28
Oppdragsgiver	Miljøpakken /Roar Lindstad		

Kommentarer til valg av geoteknisk kategori/konsekvensklasse/pålitelighetsklasse

Det er valgt geoteknisk kategori 3 pga kvikkleire i området. Det er valgt CC/RC 2 da tiltaket er relativt ukomplisert.

PROSJEKTERINGSKONTROLL

	Enhet/Navn	Signatur	Dato
Grunnleggende kontroll (B)	Berg- og geoteknikkseksjonen v/ Rikke N Bryntesen	Rikke N Bryntesen <small>Digitalt signert av Rikke N Bryntesen Dato: 2018.09.28 14:31:33 +02'00'</small>	2018-09-28
Kollegakontroll (N)	Berg- og geoteknikkseksjonen v/ Lars A Solås	Lars Andreas Solås <small>Digitalt signert av Lars Andreas Solås Dato: 2018.09.28 14:56:17 +02'00'</small>	2018-09-28
Utvidet kollegakontroll (U)			
Uavhengig kontroll (U)			

Kontrollklasse	Kontrollform					
	Prosjektering			Utførelse		
Grunn-leggende kontroll	Kollega-kontroll	Uavh. eller utvidet kontroll	Basis kontroll	Intern systematisk kontroll	Uavhengig kontroll	
B (begrenset)	kreves	kreves ikke	kreves ikke	kreves	kreves ikke	kreves ikke
N (normal)	kreves	kreves	kreves ikke	kreves	kreves	kreves ikke
U (utvidet)	kreves	kreves	kreves	kreves	kreves	kreves

INNHOLDSFORTEGNELSE

INNHOLDSFORTEGNELSE	3
VEDLEGGSOVERSIKT	4
1 INNLEDNING/ORIENTERING	5
2 TIDLIGERE UNDERSØKELSER	5
3 MARK- OG LABORATORIEUNDERSØKELSER.....	5
4 GRUNN- OG FUNDAMENTERINGSFORHOLD	7
4.1 Geoteknisk kategori	7
4.2 Gang og sykkelvei langs fv. 707 – Generell gjennomgang	8
4.2.1 Erosjonssikring	9
4.2.2 Generelle begrensinger i området	9
4.2.3 Mulige besparelser	9
4.2.4 Vannledning - Trondheim kommune	10
4.3 Profil 5470-5830 (Myr)	10
4.3.1 Grunnforhold	10
4.3.2 Geoteknisk vurdering	11
4.4 Profil 5830 - 6150	12
4.4.1 Grunnforhold	12
4.4.2 Valg av geotekniske parametere	12
4.4.3 Stabilitetsforhold	12
4.4.4 Geoteknisk vurdering	12
4.5 Profil 6250 - 7000	13
4.5.1 Grunnforhold	13
4.5.2 Valg av geotekniske parametere	13
4.5.3 Stabilitetsforhold	14
4.5.4 Geoteknisk vurdering	15
4.5.5 Brukbarhet av skjæringsmasser	15
4.6 Profil 7000 - 7970	16
4.6.1 Grunnforhold	16
4.6.2 Valg av geotekniske parametere	16
4.6.3 Stabilitetsforhold	17
4.6.4 Geoteknisk vurdering	17
4.7 Profil 7970-8300	17
4.7.1 Grunnforhold	18
4.7.2 Valg av geotekniske parametere	18
4.7.3 Stabilitetsforhold	18
4.7.4 Geoteknisk vurdering	18
4.7.5 Brukbarhet av skjæringsmasser	19
4.8 Profil 8300-8860	19
4.8.1 Grunnforhold	19
4.8.2 Valg av geotekniske parametere	19
4.8.3 Stabilitetsforhold	20
4.8.4 Geoteknisk vurdering	20
5 VIDERE ARBEIDER	20
6 REFERANSER	21

VEDLEGGSOVERSIKT

Bilag

-
- | | |
|----|---|
| 1A | Tegningsforklaring (for geotekniske kart og profiler) |
| 2 | Oversiktskart 1:50 000 |
| 3 | Borpunktoversikt |
| 4 | Resultater fra rutineundersøkelser |
| 5 | Resultater fra CPTu |
| 6 | Tolkning av Su-profil fra lab resultat |
| 7 | Stabilitetsberegninger |
| 8 | Befaring - Erosjonssikring |

Tegning	Målestokk
V01-06	Plankart
V07	1:1000
V08-46	Lengdeprofil
V047	1:400
	Tverrprofil
	1:200
	Tverrprofil avkjørsel
	1:200

1 INNLEDNING/ORIENTERING

Etter oppdrag fra Miljøpakken v/Roar Lindstad har Berg- og geoteknikkseksjonen i Region midt utført grunnundersøkelser og foretatt geotekniske vurderinger for gang og sykkelvei langs fv. 707 Berg – Høgstadkorsen.

Bilag 2 viser et oversiktskart i målestokk 1:50 000 for området.

2 TIDLIGERE UNDERSØKELSER

Det er fra tidligere utført noen grunnundersøkelser i området Disse grunnundersøkelsene er framlagt i følgende rapporter:

R.0558	(Trondheim kommune 1981)
R.0716	(Trondheim kommune 1988)
R.0716-2	(Trondheim kommune 1990)
R.0420-4	(Trondheim kommune 1978)
Ud434B_5142814-RIG01 – REV C	(Norconsult på vegne av Statens vegvesen 2015)

I den grad disse undersøkelsene har betydning for våre nye vurderinger er de også tatt med i vår nye rapport.

Det henvises ellers til de nevnte rapportene for ytterligere gjennomgang av resultatene fra disse undersøkelsene.

3 MARK- OG LABORATORIEUNDERSØKELSER

Grunnundersøkelsene omfatter i alt 27 totalsonderinger, 4 trykksonderinger (CPTU) og 9 myrstikk samt opptak av 3 representative og 6 uforstyrrede prøveserier. Undersøkelsene er utført i perioden mellom 18.01.2018 og 12.04.2018.

Alle borer er innmålt med Håndholdt Trimble GNSS m/ekst. Antenne som normalt gir nøyaktigheter for xyz-koordinatene innenfor ± 10 cm. Koordinatene er oppgitt i NTM 10 og høydesystem NN2000

En samlet oversikt over plassering, bordybder og data for identifisering av de forskjellige boringene framgår av bilag 3.

Plasseringen av alle borpunkt er vist på plankartene i tegning V01 til V06.

De opptatte prøveseriene er analysert ved vårt laboratorium i Trondheim med hensyn til korngradering og vanninnhold for alle, samt styrkegenskaper for de uforstyrrede prøvene.

Resultatene fra totalsonderingene og laboratorieanalysene av prøveseriene framgår av de aktuelle tverrprofilene i tegning V07 til V47.

I tillegg er også resultatene fra de rutinemessige laboratorieanalysene av prøveseriene vist i tabellformat i bilag 4.

Når det gjelder trykksonderingene (CPTU) er disse tolket både ved hjelp av regneark utviklet av SVV.

Det er benyttet følgende formler i våre tolkninger av skjærstyrker ut fra trykksonderingene:

$$\text{Aktiv skjærstyrke ut fra spisstrykket tolkes ut fra formel: } s_{ua} = \frac{q_t - \sigma_{v0}}{N_{kt}}$$

$$\begin{aligned} N_{kt} &= 7.8 + 2.5 \log \text{OCR} + 0.08 I_p \text{ for } S_t > 15 \\ &= 8.5 + 2.5 \log \text{OCR} \text{ for } S_t < 15 \end{aligned}$$

der I_p = plastisiteten og

S_t = sensitiviteten

$$\text{Aktiv skjærstyrke ut fra poreovertrykk tolkes ut fra formel: } s_{ua} = \frac{u_2 - u_0}{N_{\Delta u}}$$

der u_2 = målt poretrykk og

u_0 = insitu poretrykk

$$\begin{aligned} N_{\Delta u} &= 6.9 - 4.0 \log \text{OCR} + 0.07 I_p \text{ for } S_t < 15 \\ &= 9.8 - 4.5 \log \text{OCR} \text{ for } S_t > 15 \end{aligned}$$

$$\text{Aktiv skjærstyrke ut fra poretrykksparameter, } B_q \text{ tolkes ut fra formel: } s_{ua} = \frac{q_t - u_2}{N_{ke}}$$

$$N_{ke} = 11.5 - 9.0 B_q \text{ for } S_t < 15$$

$$= 12.5 - 11.0 B_q \text{ for } S_t > 15$$

der $B_q = (u_2 - u_0) / (q_t - \sigma_{v0})$

Tolkning av OCR gjøres helst ut fra spisstrykket etter formelene:

$$\begin{aligned} \text{OCR} &= (Q_t/3)^{1.2} \text{ for } S_t \leq 15 \\ &= (Q_t/2)^{1.11} \text{ for } S_t > 15 \end{aligned}$$

der $Q_t = (q_t - \sigma_{v0}) / \sigma'_{v0}$ og σ'_{v0} = effektivspenning

Det kan også utføres tolkninger av OCR ut fra poreovertrykket, Δu samt poretrykks-parameteren, B_q .

Resultatene fra disse tolkningene av skjærstyrkeverdier ut fra spissmotstand og poreovertrykk er framlagt i bilag 5.

Vi har oppnådd følgende nullpunktsvariasjoner ved de supplerende trykksonderingene:

Hull nr	Dato utført	Nullpunktvarsjon før / etter			Merknad
		Spissmotstand (kPa)	Poretrykk (kPa)	Sidefriksjon (kPa)	
52	18.01.2018	21,4	0,5	0,3	Anvend.klasse 1
35	30.01.2018	24,3	0,9	0,3	Anvend.klasse 1
112	17.01.2018	10,2	0,3	0,0	Anvend.klasse 1
102	30.01.2018	12,4	0,4	0,2	Anvend.klasse 1

Flere av trykksonderingene viser store helningsavvik, dette er grunnet problemer med utstyret og er ikke reell heling.

4 GRUNN- OG FUNDAMENTERINGSFORHOLD

4.1 Geoteknisk kategori

I henhold til *NS-EN 1990:2002+A1:2005+NA:2016 Eurokode: Grunnlag for prosjektering av konstruksjoner* er konsekvens-/pålitelighetsklasse (CC/RC) satt til klasse 2.

I henhold til *NS-EN 1997-1:2004+A1:2013+NA:2016 Eurokode 7: Geoteknisk prosjektering – Del 1: Almenne regler og Håndbok V220 Geoteknikk i vegbygging* skal det benyttes geoteknisk kategori 3 for prosjektet.

Kontrollklasse er satt til Normal (N) kontroll.

Skjema for valg av geoteknisk kategori/konsekvensklasse/pålitelighetsklasse er vist på side 2 i rapporten.

Ut fra konsekvensklasse og bruddmekanisme (sprøtt brudd) er nødvendig materialeffisient γ_m satt til 1.5 for både totalspenningsanalyse (s_u) og effektivspenningsanalyse ($a\phi$) for lokalstabilitet. For totalspenningsanalyse er det også akseptert prosentvis forbedring etter håndbok V220. For områdestabilitet benyttes tiltakskategori K1 ikke forverring – det er da ikke krav til utredning av områdestabilitet.

Omfang av kontroll i de forskjellige fasene er i utgangspunktet definert etter valgt geoteknisk kategori og følgende tabell:

Kontroll av	Geoteknisk kategori		
	1	2	3
Utførelse	Inspeksjon, enkle kvalitetskontroller, kvalitativ bedømmelse	Grunnens egenskaper, arbeidsrekkefølge, konstruksjonens oppførsel	Tilleggsmålinger der det er aktuelt: - grunn og grunnvann - arbeidsrekkefølgen - materialenes kvalitet - tegninger - avvik fra prosjektering - resultat av målinger - observasjon av miljøforhold - uforutsette hendelser
Grunnforhold	Befaring, registrering av jord og berg som avdekkes ved graving	Kontroll av egenskap til jord og berg i fundamentnivå	Ekstra undersøkelser av jord og berg som kan være viktige for konstruksjonen
Grunnvann	Dokumentert erfaring	Observasjoner/målinger	
Byggeplass	Ikke krav til tidsplan	Utførelsесrekkefølge angis i prosjekteringsrapport	
Overvåkning	Enkel, kvalitativ kontroll	Måling av bevegelser på utvalgte punkter	Måling av bevegelser og analyser av konstruksjon

4.2 Gang og sykkelvei langs fv. 707 – Generell gjennomgang

Det er planlagt gang og sykkelvei langs vestsiden av fv. 707. I begge ender av den planlagte parsellen skal gang og sykkelveien kobles sammen med eksisterende gang- og sykkelvei på nordenden. Samt med en gang- og sykkelvei som er under bygging i 2018, i sørlig ende.

Hoveddelen av planområdet ligger på et område med løsmasser kartlagt som havavsetning. Nordre del av planområdet består av myr/torvmasser. Kartdata fra NVE viser at planområdet krysser den registrerte kvikkleiresonen 422 Hafella, kartlagt med høy faregrad. Planområdet krysser også tre SVV registrerte kvikkleirepunkt. Flere kvikkleireområder er også kartlagt vest for planområdet, men strekker seg ikke helt inn til planområdet.

Hele planområdet ligger under marin grense, planområdet er derfor undersøkt med hensyn på eventuell kvikkleireforekomst. Grunnundersøkelsene som er utført i området viser tilstedeværelse av kvikk og sensitiv leire langs store deler av strekningen. De fleste grunnundersøkelsene er avsluttet i omrent 30 m dybde under terrengoverflaten, uten å påtreffe berg. Mektigheten av kvikk/sensitiv leire varierer fra få meter til betydelig mektighet, som kan overstige 30 m.

Tross store dybder til berg innenfor planområdet er det berg i dagen og grunt til berg på østsiden av dagens fylkesvei, i relativ nærhet, langs deler av veistrekningen. I nordre (Profil 5480 - 5820) del av planområdet viser grunnundersøkelsene myr ned til ca. 5-6 m dybde over fast leire. Det er ikke funnet kvikkleire i dette området.

Planområdet ligger i hovedsak i slakt terreng, dette gjør gang- og sykkelveg gjennomførbar med relativt enkle tiltak, tross store deler av strekningen ligger på kvikk og sensitiv leire. Gang- og sykkelveien er lagt lett i terrenget (med dette menes i terrenget/på lav fylling) og planlagt etter prinsippet om at tiltaket skal forbedre, eller ikke forverre stabiliteten innad i kvikkleiresonen. Det er planlagt stabilisende tiltak langs deler av strekningen, hovedsakelig i form av motfyllinger og nedplanering i skråninger.

Det er planlagt totalt 6 motfyllinger, disse er inntegnet på plankartene, plassert mellom følgende profil nr. 6330-6470, 7640-7680, 7870-7920, 7960-7970, 8610-8670, 8730-8860. Høyden på motfyllingene er omtrent 1-2 m, og avsluttes med helning 1:7-1:8. I tillegg er det planlagt en terregnavlasting mellom profil 6450 til 6550.

4.2.1 Erosjonssikring

Gang- og sykkelveien krysser flere bekker/elver, hvor det er gjort en vurdering i henhold til behov for erosjonssikring. Der det etableres ny kulvert/stikkrenne anbefales erosjonssikring rundt innløp og utløp. Der utskifting av stikkrenner/kulvert fører til endret strømning er det også anbefalt å etablere energibremsende elementer. Det anses ikke som et behov å erosjonssikre videre i bekke/elvedalene i forbindelse med etablering av gang- og sykkelveien. Da gang- og sykkelveien ikke vil føre til en forverring av områdestabiliteten.

Som ses av bilag 7 er det tegn til erosjon i to av bekkedalene, men alle de observerte utglidningene er begrenset til lokale utglidninger. Det kan ikke utelukkes at erosjon i bekkedalene kan føre til et større kvikkleireskred, men da gang- og sykkelveien anses som et K1 tiltak som fører til økt trafikksikkerhet bør prosjektet av samfunnsøkonomiske hensyn ikke belastes med tiltak for erosjonssikring i bekkedalene.

4.2.2 Generelle begrensinger i området

Da store deler av området består av kvikk/sensitiv leire fører dette til begrensinger under byggeperioden.

- Ingen mellomlagring av masser i området, alle permanente og midlertidige deponi skal godkjennes av geotekniker.
- Eventuelle riggområder vurderes av geotekniker.
- Matjord kan mellomlagres i ranker på opp til 1,5 m, men disse skal ikke mellomlagres i skråninger eller på topp av skråninger, slik at disse forverrer skråningsstabiliteten.
- Stabilisende motfyllinger og avlastninger etableres før selve fyllingen for gang- og sykkelveien.

4.2.3 Mulige besparelser

Lagdeling og ADP forhold er relativt konservativt antatt. Ved økt detaljeringsgrad av grunnundersøkelser i byggeplan kan bruken av stabilisende tiltak trolig reduseres. Gang- og sykkelveien er planlagt slik at krav til lokal sikkerhetsfaktor, eller prosentvis forbedring er tilfredsstilt. I henhold til N200 er lokal stabilitet begrenset til det lokale påvirkningsområdet for spenningsendringen som forårsakes av fyllingen. En klarering av avgrensning mellom lokal stabilitet og områdestabilitet kan derfor også bidra til å redusere omfanget av stabilisende terrentilpasninger. En slik vurdering av avgrensning bør forankres i Vegdirektoratet.

Det åpnes for å benytte andre stabiliseringe metoder enn det som er beskrevet i denne rapporten, men disse må prosjekteres og godkjennes av geotekniker.

4.2.4 Vannledning - Trondheim kommune

I dag ligger en vannledning langs hele strekningen for planlagt gang- og sykkelvei. Det er kommet signaler fra Trondheim kommune, der de vurderer å fornye vannledningen i forbindelse med etableringen av gang- og sykkelveien.

Dersom det ikke er ønskelig å fornye eksisterende vannledning vil ikke etablering av gang- og sykkelveien påvirke eksisterende vannledning, med unntak av myrområdet. Eksisterende vannledning krysser myra, langs traseen for GS-veien. Setninger fra gang- og sykkelveien kan påvirke denne, da den antagelig vis flyter i myra. Trondheim kommune ønsker å bytte ut vannledningen, det anbefales da å benytte en vannledning som tåler setninger. I samtale med Trondheim kommune vurderes den installert ved rørpressing. Hvis ikke er ønskelig med pressing, anbefales det å etablere vannledningen på utsiden av gang- og sykkelveien for å ikke ødelegge strukturen i myra ved graving.

Videre vil eventuell utskifting av vannledningen føre til gravearbeider i kvikkleiresone. Dette vil stedvis midlertidig svekke stabiliteten i området. I området med kvikk/sensitiv leire treffer vi generelt på sensitiv leire ved ca. 2-3 m dybde, langs hele strekningen. Kvikkleiren ligger dypere enn dette, men i en av prøvene fant vi kvikkleire ved 3 m dybde. Det understrekkes at dette er basert på nålstikk langs en lang strekning og det vil være variasjoner i grunnen. Det bør derfor tas høyde for bruk av grøftekasser langs deler av strekningen. Der det ikke benyttes grøftekasser må graveskråningene skrås, graves seksjonsvis, samt sørge for at de utgravde massene ikke legges på kanten av grøften.

Geoteknisk vurdering av etablering av vannledningen og supplerende grunnundersøkelser må utføres i byggeplanfasen.

4.3 Profil 5470-5830 (Myr)

Oversiktskart: tegning V01
Lengdeprofil: tegning V07

Området er et tilnærmet flatt myrområde. Gang- og sykkelveien er planlagt på ca. 1 m høy fylling, i god avstand (ca. 7 m bred grøft) fra eksisterende fv. 707.

4.3.1 Grunnforhold

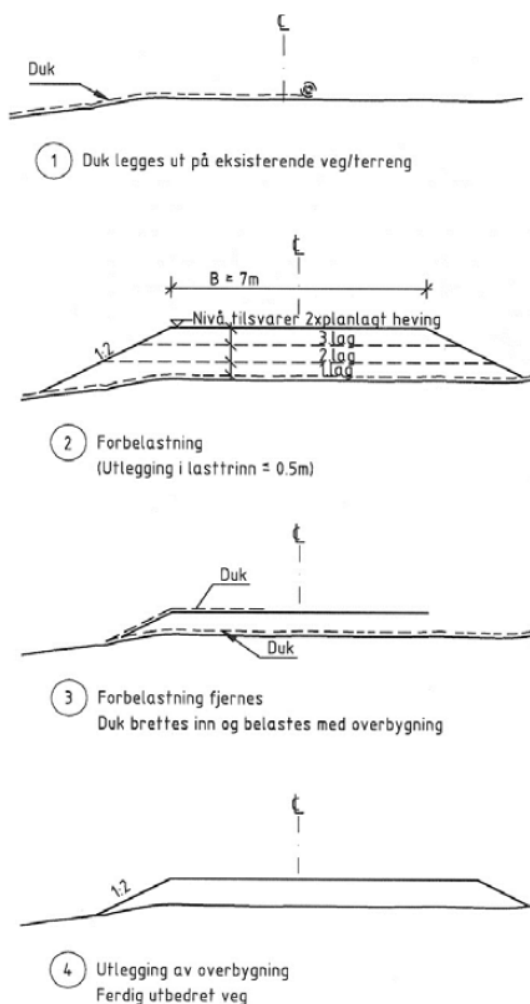
Området er i NGUs løsmassekart kartlagt som torv/myrområde. Sonderinger, myrstikk og prøver tatt i veikanten av fv. 707 viser torv, i ca. 5 m mektighet, langs hele strekningen. Sonderingene indikerer fast leire under torvmassene. Det er tatt torvprøver i 3 prøveserier, i dybde 1 til 4 m. Labresultatet fra torvprøvene viser hovedsakelig økende von Post klasse/økt omdanning med dybden. To prøver (124 og 134) indikerte hovedsakelig fibertorv (von Post H2-H4), den nederste prøven i 134 viste H5. Prøve nr. 130 indikerer mellomtorv til svarttorv (von Post H7-H8). Prøve 134 viste stigende vanninnhold med dybden, ca. 290-320%. Prøve 124 og 130 viste vanninnhold på ca. 440-691%.

4.3.2 Geoteknisk vurdering

Da myren er dyp, stedvis opp til 6 m, er det i utgangspunktet ikke anbefalt å masseutskifte. Det vil resultere i økt kostnad og fare for setninger på fv. 707, da denne mest sannsynlig er fundamentert på myr. Planlagt vei ligger omtrent 1 m over eksisterende terregn.

Det anbefales å fundamentere gang- og sykkelveien på myr, med geonett og trinnvis belastning, som prinsippetegningen vist i figur 1, hentet fra håndbok V221. Det anslås overlast tilsvarende 50% av fyllingshøyden. Liggetid er 6 mnd – 1 år før overlast fjernes og GS-veien ferdigstilles. Det vil være behov for setningsplater og trinnvis belastning. I tilsvarende vegprosjekt er det tidligere benyttet 1 måned liggetid mellom hvert belastningstrinn. Løsningen må detaljprosjekters i byggeplanfasen.

Setninger på eksisterende fv. 707 kan forekomme i byggefase. GS-veien er planlagt med god avstand (ca. 7 m bred grøft) fra eksisterende vei for å minimere risikoen for dette.



Figur 1 – Trinnvis belastning med overlast

4.4 Profil 5830 - 6150

Oversiktskart: tegning V01-02
 Tverrprofil: tegning V08-11

Gang- og sykkelveien etableres videre hovedsakelig lett i terrenget, noe lavere enn fv. 707. Høyde på GS-veien varierer fra å ligge i terrenget til ca. 2 m høy fylling, over eksisterende terrenget. Terrenget er tilnærmet flatt mot vest med noe stigning mot bymarka i øst. I ca. profil 6025 krysser gang og sykkelveien en liten bekk i en kulvert/stikkrenne.

4.4.1 Grunnforhold

Området er kartlagt som tykk havavsetning i kvartærgeologisk kart. Sonderingene viser bløte masser av antatt leire, med overgang til antatt fast leire ved ca. 4 m dybde. Sonderingene er avsluttet i det faste leirlaget. Prøve nr. 65 viser også leire under fyllmassene fra eksisterende fv. 707. Sonderingene viser ikke tegn til leire med sprøbruddkarakter, med unntak av sondering 63, profil 6150 der det er antydninger til sprøbrudd i et tynt lag på ca. 3-5 m dybde.

4.4.2 Valg av geotekniske parametere

I våre stabilitetsberegninger for dette området har vi valgt å benytte følgende parametere:

Lag	Tyngdetetthet γ (kN/m ³)	Udrenert skjærstyrke s_u (kPa)	Attraksjon a (kPa)	Friksjonsvinkel ϕ (°)	Merknad
Sprengstein	19	-	5,6	42	
Bløt leire	20	20 (direkte)	4,2	25	Antatt/erfaringsverdi
Fast leire	20	-	21,4	25	Høye verdier-urealistisk at brudd går igjennom dette laget.

Grunnvannstanden er antatt å ligge anslagsvis 1-2 meter under terrencoverflaten.

4.4.3 Stabilitetsforhold

Ved våre beregninger for profil 6030 har vi oppnådd følgende materialfaktorer, γ_m :

Beregningsprogram	Beregningsmetode	Materialfaktor γ_m	Merknad
Geosuite (RTangent)	Effektivspenning	1,95	
Geosuite (RTangent)	Totalspenning	1,98	Beregnet direkte styrke uten ADP

4.4.4 Geoteknisk vurdering

Gang og sykkelveien etableres hovedsakelig lett i terrenget, det er beregnet et profil der fyllingshøyde er ca. 2 m, med helning 1:2. beregningene viser god stabilitet. Det må allikevel i anleggsperioden ikke utelukkes at kvikk/sensitiv leire kan forekomme, spesielt i sørøvre del av området. Matjord/humus holdig jord fjernes under hele den planlagte fyllingen og den etableres på tørrskorpeleiren. Det legges filterlag eller fiberduk mellom fylling og leiren.

4.5 Profil 6250 - 7000

Oversiktskart: tegning V02-03
 Tverrprofil: tegning V10-24 (og V47, avkjørsel)

GS- veien etableres videre lett i terrenget på en liten fylling, noe lavere enn fylkesveien. Profil 6330-6470 etableres en stabilisering motfylling på vestsiden av planlagt gang- og sykkelvei. Mellom profil 6450-6550 er det planlagt en stabilisering nedplanering. Terrenget er hovedsakelig flatt men stiger noe på mot bymarka i øst.

4.5.1 Grunnforhold

Området er kartlagt som tykk havavsetning i kvartærgeologisk kart. Flere av sonderingene i området viser kvikk/sensitiv leire, stedvis i stor mektighet. Sonderingene er i hovedsak stoppet ved 30 m dybde eller i faste masser. På østsiden av fv. 707 er det observert berg i dagen mellom profil 6300-6350. På østsiden av veien, frem til ca. profil 6450 viser sonderingene bløt leire/kvikkleire i stor mektighet. I løsmasseskråningen på østsiden av veien mellom profil 6400-6600 viser sonderingene noe rotete forhold med lag av antatt leire, silt, sand og morene. Flere av sonderingene viser tegn til sprøbruddsmateriale.

Fra profil 6600 til 6950 viser sonderingene tatt i veikanten av fv. 707, hovedsakelig middels bløt leire i stor mektighet, med innslag av sprøbruddskarakter. Ved profil 6950 krysser gang og sykkelveien en bekk/elv i kulvert/stikkrenne, videre vestover er det en bekkeladal/nedsenkning i terrenget. Sonderingene og en prøve i området vest (nedenfor) for planlagt GS-vei viser at løsmassene består av hovedsakelig fast leire, med innslag av et tynt lag kvikkleire i sondering og prøve nr. 107. Sondering 54, tatt i veikanten av fv. 707, indikerer sprøbruddsmateriale i stor mektighet.

4.5.2 Valg av geotekniske parametere

I våre stabilitetsberegninger for dette området har vi valgt å benytte følgende parametere:

Lag	Tyngdetetthet γ (kN/m ³)	Udrenert skjærstyrke s_u (kPa)	Attraksjon a (kPa)	Friksjons- vinkel ϕ (°)	Merknad
Sprengstein	19	-	5,6	42	
Sand (Merket som tørskorpe i beregning)	20	-	1	36	
Tørskorpe/leire	20	-	0	30	
Kvikkleire/sprøbrudd	20	Su profil fra CPTu og lab 102 og lab fra 59	4,2	26	CPTu og prøve fra profil 6350 og prøve fra profil 6560, det er lagt stor vekt på CPTu
Silt	18	-	0	31	
Fast leire	20	-	21,4	26	
Morene	19		2,9	35	

Grunnvannstanden er antatt å ligge anslagsvis 1-2 meter under terregnoverflaten.

Beregningene er utført med 15% reduksjon for aktiv styrke i sprøbruddmaterialet.

Det er benyttet anisotropifaktorer anbefalt i NIFS rapport nr. 14/2014. Dette gir:

I_p	c_{uD}/c_{uC}	c_{uE}/c_{uC}
$I_p \leq 10\%$	0,63	0,35
$I_p > 10\%$	$0,63 + 0,00425 * (I_p - 10)$	$0,35 + 0,00375 * (I_p - 10)$

Det er i beregningene konservativt antatt $I_p \leq 10\%$.

4.5.3 Stabilitetsforhold

Ved våre beregninger for profil 6350 har vi oppnådd følgende materialfaktorer, γ_m :

Beregningsprogram	Beregningsmetode	Materialfaktor γ_m	Merknad
Geosuite (RTangent)	Effektivspenning	2,1	
Geosuite (RTangent)	Totalspenning	1,58	

Beregningen for profil 6350 er utført uten medregnet stabiliserende motfylling.

Ved våre beregninger for profil 6450 har vi oppnådd følgende materialfaktorer, γ_m :

Beregningsprogram	Beregningsmetode	Materialfaktor γ_m , lokalstabilitet	Materialfaktor γ_m , lang glidesirkel	Prosentvis forbedring	Merknad
Geosuite (RTangent)	Effektivspenning		2,18		Dagens situasjon
Geosuite (RTangent)	Totalspenning		1,41		Dagens situasjon
Geosuite (RTangent)	Effektivspenning	2,49			GS-vei uten motfylling
Geosuite (RTangent)	Totalspenning	1,46	1,40		GS-vei uten motfylling
Geosuite (RTangent)	Effektivspenning	3,09			GS-vei med motfylling
Geosuite (RTangent)	Totalspenning	1,59	1,47	4,3% (krav 4%)	GS-vei med motfylling

Det er benyttet

Beregningene viser at gang- og sykkelveien har tilfredsstillende stabilitet med etablert motfylling. Etableringen av gang- og sykkelveien uten motfylling fører til en nesten neglisjerbar forverring av områdestabiliteten, når gang- og sykkelveien etableres med motfylling forbedrer vi områdestabiliteten betraktelig.

Ved våre beregninger for profil 6500 har vi oppnådd følgende materialfaktorer, γ_m :

Beregningsprogram	Beregningsmetode	Materialfaktor γ_m , lokalstabilitet	Materialfaktor γ_m , lang glidesirkel	Prosentvis forbedring	Merknad
Geosuite (RTangent)	Effektivspenning	2,35			Dagens situasjon
Geosuite (RTangent)	Totalspenning		1,22		Dagens situasjon
Geosuite (RTangent)	Effektivspenning	2,19			GS-vei uten avlasting
Geosuite (RTangent)	Totalspenning	1,56	1,30	6,6% (krav 12%)	GS-vei uten avlasting
Geosuite (RTangent)	Totalspenning		1,49	22,1% (krav 12%)	GS-vei med avlasting

For lang glidesirkel viser beregningen etter stabiliserende avlasting, en tilfredsstillende prosentvis forbedring i forhold til opprinnelig terrenget, etter figur 0.4 i håndbok V220. Lokal stabilitet under fylling er tilfredsstilt også før stabiliserende avlasting.

Laget merket tørrskorpe i beregningsprofilen er sand.

4.5.4 Geoteknisk vurdering

Store deler av området består av kvikkleire. Det er tilnærmet flatt terreng på vestsiden av planlagt GS-vei. GS-veien fører ikke til store inngrep i terrenget og derfor ikke til en forverring av områdestabiliteten. Der det etableres stabiliserende motfyllinger og avlastning i skråninger vil dette virke stabiliserende både for lokal og områdestabilitet.

Stabiliteten i profil 6560 er ikke beregnet da fyllingshøyde og grunnforhold er tilsvarende profil 6500. Det er også faste masser ned til ca. 12 m dybde i sonering 204, leirlaget blir derfor dypt i forhold til skråningshøyden, slik at en lang glideflate er antatt å ha tilfredsstillende stabilitet.

Beregningene viser tilfredsstillende stabilitet for den planlagte gang og sykkelveien med stabiliserende tiltak. Byggefase vil være den kritiske fasen. Det stilles derfor krav til at byggefase følges opp av geoteknikker. Behov for poretrykksmålere vurderes i byggeplanleggingen.

Rekkefølgekrav: Avlasting og motfylling skal etableres før fyllingen for GS-veien.

Beregningene er utført med relativt konservativ lagdeling, og supplerende grunnundersøkelser i byggeplanperioden kan føre til reduksjon i motfyllig/avlasting. Spesielt gjelder dette profil 6350-6400, da det ikke er berg i dagen i dette området. Det anbefales derfor å ta en sonering på østsiden av fv. 707 i dette området for å kartlegge berget. Dersom det er grunt til berg kan trolig utstrekningen av motfyllingen reduseres i dette området.

4.5.5 Brukbarhet av skjæringsmasser

Massene som fjernes ved stabiliserende avlasting kan benyttes i motfyllingene.

4.6 Profil 7000 - 7970

Oversiktkart: tegning V03-05
 Tverrprofil: tegning V25-33

Gang og sykkelveien etableres i terrenget/på en liten fylling. Terrenget er tilnærmet helt flatt, bortsett fra noen lokale forsenkinger i terrenget. Det er planlagt motfylling i tre av forsenkningene. GS-veien krysser en bekk over en planlagt kulvert i ca. profil 7560. Fra ca. profil 7900 legges fylkesveien om for å få plass til gang og sykkelveien.

4.6.1 Grunnforhold

Terrenget er tilnærmet helt flatt frem til en bekkedal/nedsenkning i terrenget, ca. 50-60 m vest for GS-veien. På østsiden av veien er det en bergknaus/berg i dagen frem til ca. profil 7450. Sondering 53 viser middels fast leire over antatt berg, vider viser sonderingene tatt i veikanten langs hele strekningen frem til kulverten i profil 7560 hovedsakelig bløt leire i stor mektighet med sprøbruddskarakter. Prøve i punkt nr. 52 bekrefter tilstedeværelsen av kvikkleire. Sondering 108, tatt i kanten av bekkedalen ved profil 7120 indikerer fastere leire, men med et ca. 5 m tykt lag med potensiell kvikk/sensitiv leire. Ved planlagt kulvert i profil 7560 indikerer sonderingen på østsiden av veien bløt leire med sprøbruddskarakter, men sonderingene på østsiden viser fastere leire uten tegn til sprøbrudd. Mellom profil 7900-7950, i området ved to av forsenkningene i terrenget, viser sonderingene meget bløt leire med antatt sprøbruddskarakter i stor mektighet.

4.6.2 Valg av geotekniske parametere

I våre stabilitetsberegninger for dette området har vi valgt å benytte følgende parametere:

Lag	Tyngdetetthet γ (kN/m ³)	Udrenert skjærstyrke s_u (kPa)	Attraksjon a (kPa)	Friksjons- vinkel ϕ (°)	Merknad
Sprengstein	19	-	5,6	42	
Fyll/Tørrskorpe	20	-	0	30	
Kvikkleire/sprøbrudd	20	Su profil fra CPTu og lab i punkt 52 og 112	4,2	26	Su fra profil 7130 og 8030
Silt	18	-	0	31	
Fast leire	20	-	10,2	26	

Grunnvannstanden er antatt å ligge anslagsvis 1-2 meter under terrengeoverflaten.

Beregningene er utført med 15% reduksjon for aktiv styrke i sprøbruddmaterialet.

Det er benyttet anisotropifaktorer anbefalt i NIFS rapport nr. 14/2014. Dette gir:

I_p	c_{uD}/c_{uC}	c_{uE}/c_{uC}
$I_p \leq 10\%$	0,63	0,35
$I_p > 10\%$	$0,63 + 0,00425 * (I_p - 10)$	$0,35 + 0,00375 * (I_p - 10)$

Det er i beregningene antatt $I_p \leq 10\%$.

4.6.3 Stabilitetsforhold

Ved våre beregninger for profil A har vi oppnådd følgende materialfaktorer, γ_m :

Beregningsprogram	Beregningsmetode	Materialfaktor γ_m , lokalstabilitet	Materialfaktor γ_m , lang glidesirkel	Merknad
Geosuite (RTangent)	Effektivspenning	2,1		GS-vei
Geosuite (RTangent)	Totalspenning	2,2	1,7	GS-vei

Ved våre beregninger for profil 7960 har vi oppnådd følgende materialfaktorer, γ_m :

Beregningsprogram	Beregningsmetode	Materialfaktor γ_m , lokalstabilitet	Merknad
Geosuite (RTangent)	Totalspenning	1,31	GS-vei
Geosuite (RTangent)	Totalspenning	1,56	GS-vei med motfylling
Geosuite (RTangent)	Effektivspenning	2,99	GS-vei med motfylling

4.6.4 Geoteknisk vurdering

Stabilitetsberegningen i profil A viser god stabilitet, både for lokal glidesirkel for fyllingen og lang glidesirkel ned mot bekkealen. Da stabiliteten ned mot bekkealen er såpass god er det vurdert som ikke nødvendig å plastre bekkealen i forbindelse med etableringen av gang- og sykkelveien. Se oppsummering fra befaring i bilag 7.

Videre ligger gang og sykkelveien på en liten fylling. Beregningen gjort i profil A for den lokale stabiliteten er såpass god, det antas derfor at stabilitetsforholdene videre i tilsvarende terrenget også er tilfredsstillende.

I profil 7650-7680, 7880-7910 og 7940-7970 krysser gang og sykkelveien nedsenkninger i terrenget, disse fører til at fyllingene lokalt blir noe høyere. Beregning i profil 7960 viser at motfyllinger må etableres for å oppnå tilfredsstillende stabilitet. Beregningen er vurdert som representativ for de to andre partiene som krysser nedsenkningen, da både fyllingshøyde, terrenget og grunnforhold er tilnærmet likt, basert på nåværende grunnundersøkelser. Det anbefales å utføre ytterligere grunnundersøkelser i områdene med motfylling i byggeplanfasen, da bedre datagrunnlag kan føre til at motfyllingene kan reduseres eller eventuelt fjernes.

Rekkefølgekrav: Motfyllingene legges ut før fyllingen for gang- og sykkelveien.

4.7 Profil 7970-8300

Oversiktskart: tegning V05
Tverrprofil: tegning V34-38

Fv. 707 flyttes mot øst for å få plass til å etablere gang og sykkelveien. Gang- og sykkelveien etableres omtrent i dagens veibane, men blir senket noe i høyden. Terrenget er slakt, men stiger noe mot bymarka i øst.

4.7.1 Grunnforhold

Sonderingene viser tegn til sprøbruddsmateriale, potensiell kvikkleire. Laboratorieundersøkelsene viser at det er sensitiv leire i området. Sonderingene tatt lengst opp i skråningen i øst viser fastere masser uten tegn til sprøbruddskarakter.

4.7.2 Valg av geotekniske parametere

I våre stabilitetsberegninger for dette området har vi valgt å benytte følgende parametere:

Lag	Tyngdetetthet γ (kN/m ³)	Udrenert skjærstyrke s_u (kPa)	Attraksjon a (kPa)	Friksjons- vinkel ϕ (°)	Merknad
Sprengstein	19	-	5,6	42	
Fyll/Tørrskorpe	20	-	0	30	
Kvikkleire/sprøbrudd	20	Su profil fra CPTu og lab fra 112 og lab fra 41	4,2	26	Su fra profil 8030 og 8170
Silt	18	-	0	31	
Fast leire	20	-	10,2	26	

Grunnvannstanden er antatt å ligge anslagsvis 1-2 meter under terrencoverflaten.

Beregningene er utført med 15% reduksjon for aktiv styrke i sprøbruddmaterialet.

Det er benyttet anisotropifaktorer anbefalt i NIFS rapport nr. 14/2014. Dette gir:

I_p	c_{uD}/c_{uC}	c_{uE}/c_{uC}
$I_p \leq 10\%$	0,63	0,35
$I_p > 10\%$	$0,63+0,00425*(I_p-10)$	$0,35+0,00375*(I_p-10)$

Det er i beregningene konservativt antatt $I_p \leq 10\%$.

4.7.3 Stabilitetsforhold

Ved våre beregninger for profil 8160 har vi oppnådd følgende materialfaktorer, γ_m :

Beregnings program	Beregnings metode	Materialfaktor γ_m , lokalstabilitet	Materialfaktor γ_m , lang glidesirkel	Merknad
Geosuite (RTangent)	Effektivspenning	2,07		GS-vei med fv. Flyttet inn i liten skjæring
Geosuite (RTangent)	Totalspenning	1,53	1,5	GS-vei med fv. Flyttet inn i liten skjæring

4.7.4 Geoteknisk vurdering

Fv. 707 flyttes slik at den blir liggende omtrent i terrenget. Gang og sykkelveien blir etablert omtrent i traseen av eksisterende fv. 707. Dette fører til minimale endringer i terrenget.

Terrenget er også slakt, ferdig vei og gang og sykkelvei er derfor vurdert til å ha tilfredsstillende lokalstabilitet. Rundt profil 8160 flyttes fv. 707 inn i skråningen slik at det etableres en liten skjæring, beregningene for dette profilet viser tilfredsstillende stabilitet med skråningshelning 1:3.

Fra ca. profil 8220 etableres gang og sykkelveien på en liten fylling, fyllingen er antatt å virke stabilisende på skråningen i øst, samt lokalstabiliteten er vurdert som tilfredsstillende basert på tidligere beregninger med tilsvarende forhold og fyllingshøyde.

4.7.5 Brukbarhet av skjæringsmasser

Massen fra skjæringene er hovedsakelig bløt leire, disse massene kan benyttes i motfyllingene.

4.8 Profil 8300-8860

Oversiktskart: tegning V05-06
Tverrprofil: tegning V39-46

Videre legges gang- og sykkelveien på en liten fylling i slakt terregn. Mellom ca. profil 8620-8880 krysser gang- og sykkelveien en bekkeladal. Her etableres en motfylling. Videre heves gang- og sykkelveien noe slik at den blir liggende omtrent 2 m over terregn. I dette området etableres en motfylling. Gang- og sykkelveien kobles videre sammen med tilstøtende parsell, som i september 2018 er i gang med å bygges.

4.8.1 Grunnforhold

Sonderingene viser bløt leire med sprøbruddskarakter i stor dybde. Prøvetaking bekrefter forekomst av kvikkleire i flere punkt, samt sensitiv leire i et punkt i foten av motfyllingen. I bekkeladalen er det antydninger til fyllmasser i de øverste ca. 2 m.

4.8.2 Valg av geotekniske parametere

I våre stabilitetsberegninger for dette området har vi valgt å benytte følgende parametere:

Lag	Tyngdetetthet γ (kN/m ³)	Udrenert skjærstyrke s_u (kPa)	Attraksjon a (kPa)	Friksjons- vinkel ϕ (°)	Merknad
Sprengstein	19	-	5,6	42	
Fyll/Tørrskorpe	20	-	0	30	
Kvikkleire/sprøbrudd	20	Su profil fra CPTu og lab i punkt 35	4,1	26	Su fra profil 8660

Grunnvannstanden er antatt å ligge anslagsvis 1-2 meter under terregnoverflaten.

Beregningene er utført med 15% reduksjon for aktiv styrke i sprøbruddmaterialet.

Det er benyttet anisotropifaktorer anbefalt i NIFS rapport nr. 14/2014. Dette gir:

I_p	c_{uD}/c_{uC}	c_{uE}/c_{uC}
$I_p \leq 10\%$	0,63	0,35
$I_p > 10\%$	$0,63+0,00425*(I_p-10)$	$0,35+0,00375*(I_p-10)$

Det er i beregningene konservativt antatt $I_p \leq 10\%$.

4.8.3 Stabilitetsforhold

Ved våre beregninger for profil 8650 har vi oppnådd følgende materialfaktorer, γ_m :

Beregningsprogram	Beregningsmetode	Materialfaktor γ_m , lokalstabilitet	Merknad
Geosuite (RTangent)	Totalspenning	1,3	GS-vei uten motfylling
Geosuite (RTangent)	Effektivspenning	3,59	GS-vei med motfylling
Geosuite (RTangent)	Totalspenning	1,53	GS-vei med motfylling

Beregningene er utført med 15% reduksjon for aktiv styrke i sprøbruddmaterialet.

Ved våre beregninger for profil 8860 har vi oppnådd følgende materialfaktorer, γ_m :

Beregningsprogram	Beregningsmetode	Materialfaktor γ_m , lokalstabilitet	Merknad
Geosuite (RTangent)	Totalspenning	1,46	GS-vei uten motfylling
Geosuite (RTangent)	Effektivspenning	3,11	GS-vei med motfylling
Geosuite (RTangent)	Totalspenning	1,55	GS-vei med motfylling

4.8.4 Geoteknisk vurdering

Beregningene viser god stabilitet for GS-fyllingen med motfylling. Grunnforhold og topografi er såpass likt at beregningen utført i profil 8860 er representativ for store deler av strekningen, med unntak av nedsenkningen i terrenget/bekkedalen ved profil 8650. Fyllingen i det beregnede profilet 8860 er ca. 2 m høy, det er derfor konservativt antatt behov for motfylling der gang- og sykkelveifyllingen overstiger 1,5 m. Motfyllingen som nå etableres ved tilstøtende gang- og sykkelvei videreføres i dette prosjektet.

Ved supplerende grunnundersøkelser og beregninger i byggeplanfasen kan motfyllingene trolig reduseres noe.

Motfyllingene etableres før gang- og sykkelveifyllingen.

5 VIDERE ARBEIDER

Sondering ved huset + motfyllingene + poretrykk + detaljprosjektering + myr + rør +HMS/Sja i byggeplan + Kulvert

6 REFERANSER

Trondheim kommune (1981) R.0558

Trondheim kommune (1988) R.0716

Trondheim kommune (1990) R.0716-2

Trondheim kommune (1978) R.0420-4

Norconsult (2015) Ud434B_5142814-RIG01 – REV C

Standard Norge (2016): NS-EN 1997-1:2004+A1:2013+NA:2016 Eurokode 7: Geoteknisk prosjektering – Del 1: Allmenne regler

Standard Norge (2008): NS-EN 1997-2:2007+NA:2008: Eurokode 7: Geoteknisk prosjektering – Del 2: Regler basert på grunnundersøkelser og laboratorieprøver

Statens vegvesen (2014): Håndbok N200 Vegbygging

Statens vegvesen (2005): Håndbok R210 Laboratorieundersøkelser

Statens vegvesen (1997): Håndbok R211 Feltundersøkelser

Statens vegvesen (2010): Håndbok V220 Geoteknikk i vegbygging

Statens vegvesen (2012): Håndbok V221 Grunnforsterkning, fyllinger og skråninger

Statens vegvesen (2010): Håndbok V222 Geoteknisk felthåndbok – Råd og metodebeskrivelser

Statens vegvesen (1992): Håndbok V223 Geoteknisk opptegning

Vianova GeoSuite AB (2014): Novapoint GeoSuite Stability. Version 5.0

NGI (2010): En kort oppsummering av NGI's bruk av CPTU i praktisk prosjektering. CPTU-seminar Vegdirektoratet 26. April 2010. Utarbeidet av Kjell Karlsrud

Opptegning i plan / på oversiktskart.

TEGNINGSSYMBOLER

Nummerering i henhold til borpunktliste GeoPlot.

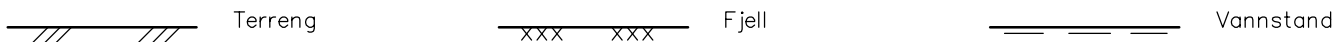
Symbol	Metode	Anmerkning	Symbol	Metode	Anmerkning
●	2401 Dreiesondering	Sondering m. registrering av motstand.	■	2410 Setningsmåling	Nivellelementspunkt.
◎	2402 Prøveserie	Prøvene tatt med boringsredskap (skovlbor, prøvetagger, diamantkjernebor m.m.)	⊖	2411 S.P.T.	Standard Penetration Test
□			✖	2412 Fjellkontrollboring	Boring ned til og i fjell.
☒	2403 Prøvegrop	Prøvene tatt i gropvegg.	○	2413 Poretrykksmåling	Inkludert måling av grunnvannstand.
☒	2404 Prøvebelastning	Peler, terrengplater, fundamenter o.l.	●	2414 In situ permeabilitetsmåling	Infiltrasjonsforsøk, prøvepumping m.m.
○	2405 Enkel sondering	Sondering uten registrering av motst., f.eks. spyleboring, slagboring m.m.	+	2415 Vingeboring	Måling av uomrørt og omrørt udrenert skjærstyrke.
▽	2406 Dreietrykksondering	Maskinsondering med automatisk registrering.	Ω	2416 Elektrisk sondering	Elektrisk motstand, korrosivitet etc.
▽	2407 CPTU	Sondering der spissmotstand, lokal friksjon og poretrykk registreres under nedpressing	□	2417 Helningsmåling	Inklinometer.
⊗	2408 Skruplateforsøk	Kompressometer o.l.	⊕	2418 Totalsondering	Kombinasjonsboring gjennom løsmasser og fjell.
▼	2409 Ramsondering	Sondering der borstang slås ned. Stangdiameter, loddvekt og fallhøyde er normert. Q_0 registreres.			

NIVÅER OG DYBDER (i meter)

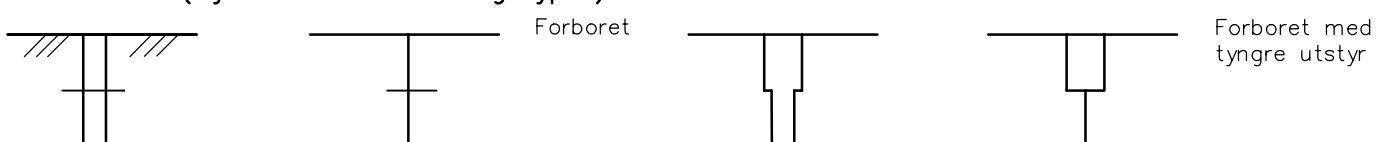
✖ $\frac{12,8}{-5,7}$ 18,5+3,0 Over linjen : kote terregn eller elvebunn, sjøbunn ved boring i vann (12,8).
 Ut for linjen : boret dybde i løsmasser (18,5). Evt. boret dybde i fjell angis etter plussstegn (+3,0).
 Under linjen : sikker fjellkote.

OPPTEGNING I PROFIL

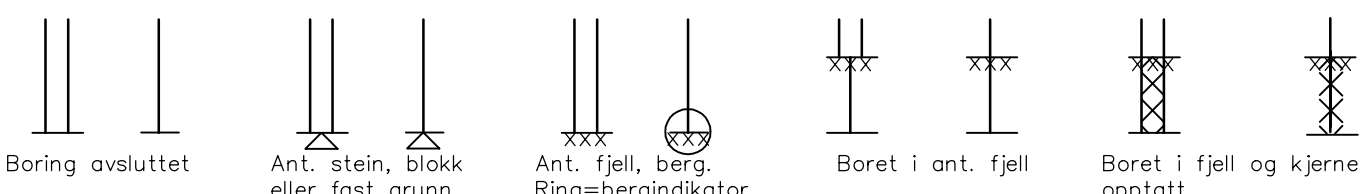
Generelt



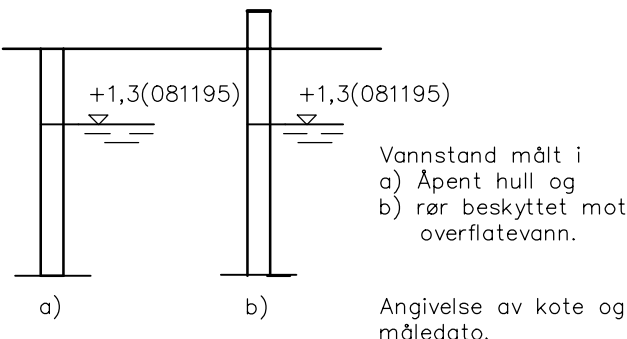
FORBORING (Gjelder alle sonderingstyper)



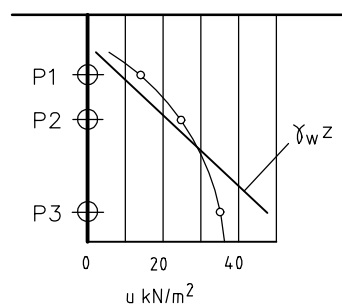
AVSLUTNING AV BORING (Gjelder alle sonderingstyper)



GRUNNVANNSTAND



PORETRYKK

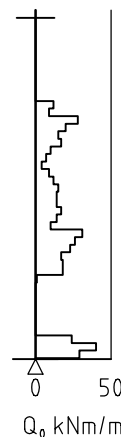


Poretrykk, u , fremstilles i et diagram. En teoretisk linje for hydrostatisk trykksfordeling $\gamma_w z$ kan vises.

VANNSTAND

HFV	Høyeste flomvannstand
HRV	Høyeste regulerte vannstand
LRV	Laveste regulerte vannstand
HHV	Høyeste høyvannstand
LLV	Laveste lavvannstand
HV	Normal høyvannstand
LV	Normal lavvannstand
MV	Normal middelvannstand
V	Vannstand (dato angis)
GV	Grunnvannstand (dato angis)

RAMSONDERING

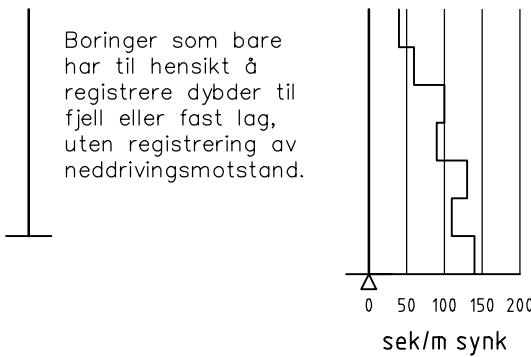


Rammemotstanden Q_0 angis som brutto rammeenergi i kNm pr. m synk av boret.

$$Q = \frac{W \times H}{s}$$

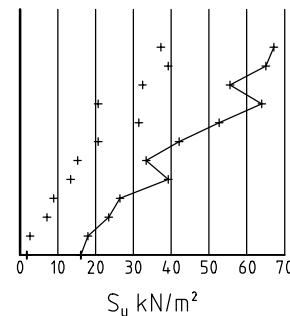
der W = Tyngde av lodd (kN)
 H = Fallhøyde (m)
 s = Synk i m pr. slag

ENKEL SONDERING



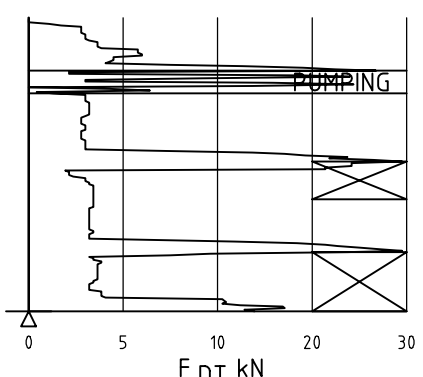
Ved enkel sondering med slagbormaskin og sondering med fjellrigg kan synk vises som sek/m.

VINGEBORING



Borhullet markeres med enkel tykk strek. Skjærstyrken s_u og s'_u angis i kN/m^2 med tegnet +. Verdier merka (+) ansees ikke representative. Verdien som angis er den kalibrerte omrørte og uomrørte skjærstyrke.

DREIETRYKKSONDERING



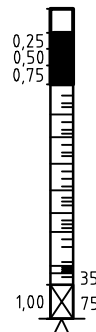
Vanlig boring med 25 omdr./min.

Pumping

Økt rotasjon

Borhullet markeres med en enkel tykk strek. Målt nedpressingskraft er vist som funksjon av dybden. Kraften er registrert ved automatisk skriver.

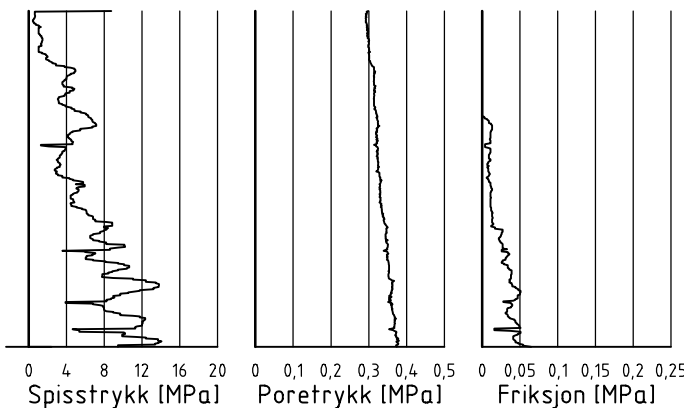
DREIESONDERING



Forboringsdybde markeres og diameter angis i mm. Vertikallasten i kN angis på borhullets v. side. Endring i belastning vises ved tverrstrek. Synk uten dreining markeres med skyggelegging eller raster.

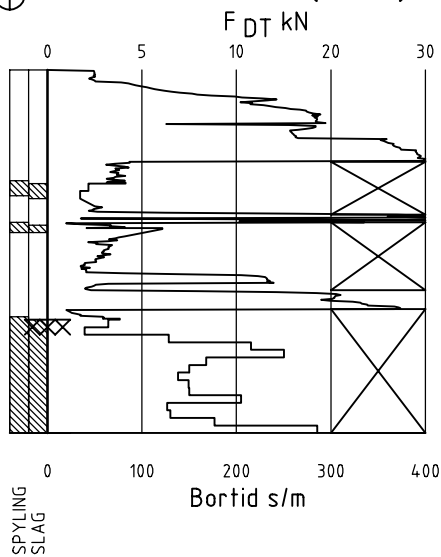
Hel tverrstrek for hver 100 halvomdrehing. Halv tverrstrek for hver 25 halvomdrehing. Mindre enn 100 halvomdrehinger vises ved å skrive ant. halvomdr. på h. side. Neddriving ved slag på boret vises m. kryss, slagant. og redskap kan angis. Endret neddrivingsmåte vises m. hel tverrstrek.

▽ CPT / TRYKKSØNDERING



Trykksøndering med poretrykksmåling og friksjonsmåling.
Borhullet markeres med en tykk strek hvor spissmotstandskurven tegnes inn.
Poretrykkskurven og friksjonskurven tegnes inn i høyelig nærhet til spissmotstandskurven.
Skala velges etter (oppredende) målte spenninger.

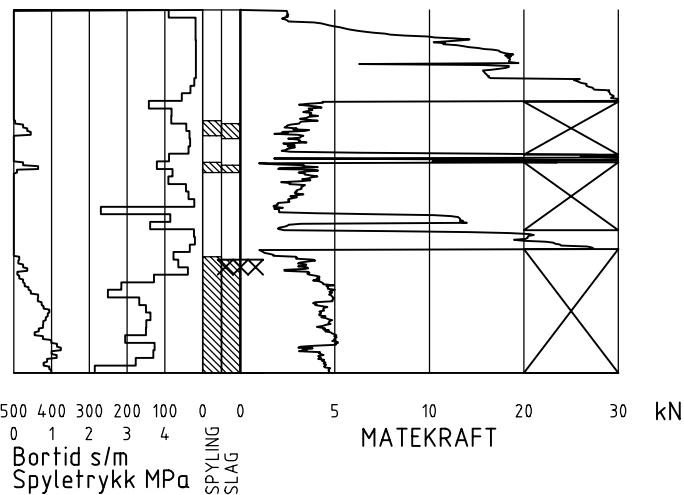
⌚ TOTALSONDERING (alt. 1)



Metoden er en kombinasjon av dreietrykksøndering og fjellkontrollboring, med 57 mm borkrone.

Målt nedpressingskraft vises som funksjon av dybden der hvor boringen er utført med prosedyre som for dreietrykksøndering. Økt rotasjonshastighet vises med kryss for denne delen av boringen.

⌚ TOTALSONDERING (alt. 2)



Ved boring med slag og spyling markeres dette med skravur. Bortid tegnes i blokker for hver 0,2m, evt. 1,0m (alternativ 1). Alternativt kan nedpressingskraft tegnes også for denne delen av boringen. Bortid tegnes da i blokker for hver 0,2m, evt. 1,0m, på motsatt side av diagrammet (alt. 2).

KODELISTE

Data som registreres kan kompletteres med borlederenes egne inntrykk. For å hjelpe borlederen finnes det en kodeliste som anbefales brukt. Kodene kan om ønskelig tegnes til høyre for bordiagrammet. Disse koder benyttes:

GENERELLE KODER

- 00 Foreg. kode feil, skal være kode...
- 01 Startnivå for følgende kode
- 02 Metodebytte ved fortsatt sondering i samme hull (komb. m. ang. ny met.)
- 03 Ytterligere info. finnes

ANMERKNINGSKODER

- 10 Stoppnivå for tidligere forsøk (komb. m. stoppkode).
- 11 Lengre opphold i sond. (mer enn 5min.)
- 12 Dreining ikke utført fra det markerte nivå.
- 13 Sonden synker uten loddets vekt (ramsond.).
- 14 Sonden synker med loddets tyngde.
- 15 Sonderingsmotstand registreres ikke.
- 16 Stopp for poretrykksutjevning (CPT).
- 17 Poretrykksutjevning avsluttet.

FRIE KODER (EKSEMPEL)

- 60 Borstangen bøyer seg.
- 61 Trolig grunnvannsnivå.
- 62 Markert mottrykk under oppbygging.
- 63 Slutt mottrykk.

BEDØMMELSESKODER

- 30 Fyllmasse
- 31 Tørskorpe
- 32 Leire
- 33 Silt
- 34 Sand
- 35 Grus
- 36 Morene
- 37 Torv
- 38 Gytje
- 40 Forekomst av stein
- 41 Stein, blokk eller berg.
- 42 Sluttnivå for stein eller blokk.

MASKINTEKNISKE KODER

- 70 Økt rotasjon begynner
- 71 Økt rotasjon avsluttet
- 72 Spyling begynner
- 73 Spyling slutter
- 74 Slag starter
- 75 Slag slutter
- 76 Slag og spyling starter samt.

- 77 Slag og spyling slutter samt.
- 78 Pumping starter
- 79 Pumping slutter

STOPPKODER

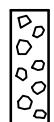
- 90 Sondering avsl. uten å ha oppnådd stopp.
- 91 Fast grunn, sond. kan ikke drives videre etter norm. pros.
- 92 Ant. stein eller blokk
- 93 Ant. berg
- 94 Avsl. etter boret ønsket dybde i fjell.
- 95 Brudd i borstenger eller spiss.
- 96 Annen material- eller mask. feil
- 97 Boring avsl. (årsak notert)

PRØVESERIE

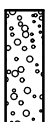
Materialsignatur (iht. NGF)



Fjell



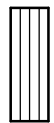
Stein og blokk



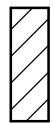
Grus



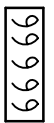
Sand



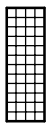
Silt



Leire



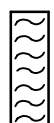
Skjell



Fyllmasse



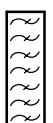
Trerester
Sagflis



Matjord



Tørv
Planterester



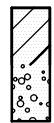
Gytje, dy
(vannavsvatt)

Anmerkning

T = tørrskorpe
Leire: R = resedimenterte masser
K = kvikkleire

Ved blandingsjordarter kombineres signaturene.
Morene vises ved skyggelegging.

Eks.:



Moreneleire



Grusig morene

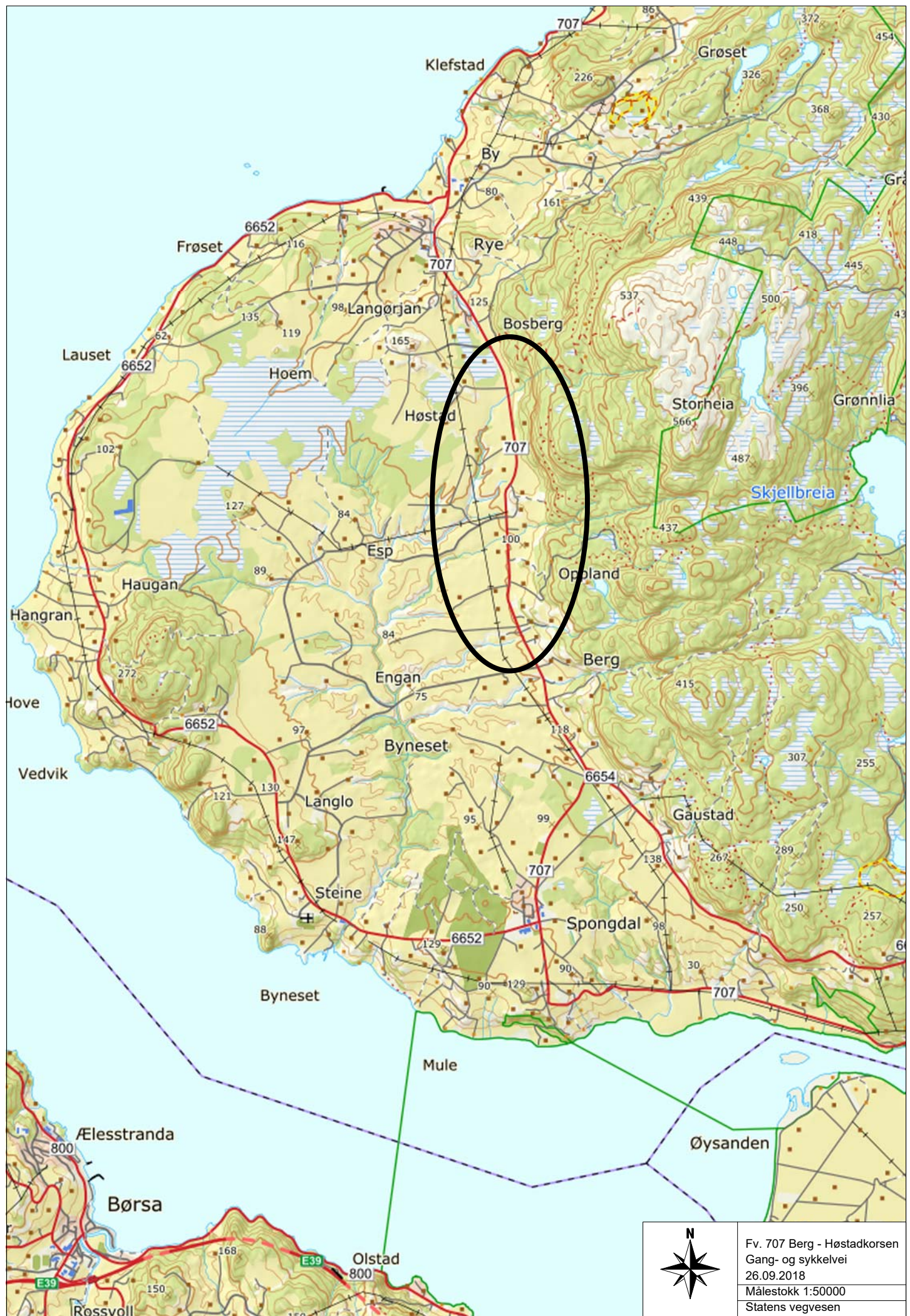
For konkresjoner kan bokstavssymboler settes inn i materialsignaturen.

Ca = kalkkonkresjoner
Fe = jernkonkresjoner
AH = aurhelle

SYMBOLER FOR LABORATORIEDATA

Laboratoriebestemmelser	Bokstav-symbool	Tegn-symbool	Anmerkninger
Materiale			Jordarter beskrives i samsvar med retningslinjer gitt av NGF. Hovedbetegnelsen skrives med store bokstaver.
Vanninnhold Naturlig vanninnhold Plastisitetsgrense Flytegrense Flytegrense konus	W WP WL WF	• — —→	Angis i masseprosent av tørrstoff. Metode skal angis.
Tyngdetethet / densitet Tyngdetethet Densitet Tørr densitet Korndensitet	γ φ φd φs		Tyngdetethet kN/m^3 . Densitet t/m^3 . γ (kN/m^3)
Porositet Poretall	n e		
Skjærstyrke, udrenert Konusforsøk, uomrørt Konusforsøk, omrørt Enkelt trykkforsøk	Suk su'k sut	▼ ▼ ꝝ	Symbolet settes i () hvis verdien ikke ansees representativ. Aksialdeformasjon ved brudd (ϵ_f) angis i % slik: $\frac{15 - 5}{10}$
Sensitivitet	S_t		Metode bør angis.
Organisk materiale			Angis i masseprosent av tørrstoff før forsøk.
Innhold av organisk karbon Glødetap Humusinnhold Formuldingsgraden	O_c O_{gl} O_{Na} vP		Bestemt ved NaOH-metoden. Klassifisering etter von Post skala H ₁ –H ₁₀

Forøvrig benyttes bokstavssymboler vedtatt av The International Society of Soil Mechanics and Foundation Engineering.



Borpunktliste

NTM sone 10, NN2000

Borhull	X	Y	Z	Metode	Stopp	Løsm	Fjell	Dato
207	1600240,17	83175,10	117,08	Total	93	7,40	0	05.04.2018
206	1600363,47	83237,57	120,97	Total	93	3,70	0	05.04.2018
205	1601439,09	83078,38	107,18	Total	90	29,75		12.04.2018
204	1601812,77	83208,49	120,30	Total	90	29,65		05.04.2018
203	1601876,93	83183,27	118,39	Total	93	24,35	0	05.04.2018
202	1601878,77	83202,77	121,87	Total	93	18,50	0	05.04.2018
201	1601969,08	83186,47	122,47	Total	93	12,50	0	05.04.2018
200	1601925,37	83205,61	125,00	Total	93	9,07	0	05.04.2018
136	1602558,77	83060,75	114,53	Enkel	90	3,10		19.04.2018
134-1	1602596,42	83050,94	115,21	Prøve	90	4,00		19.04.2018
134	1602596,42	83050,94	115,21	Enkel	90	4,20		19.04.2018
132	1602633,88	83037,23	115,80	Enkel	90	4,30		19.04.2018
130-1	1602669,47	83019,20	115,97	Prøve	90	4,00		19.04.2018
130	1602669,47	83019,20	115,97	Enkel	90	4,40		19.04.2018
128	1602705,25	83001,51	116,35	Enkel	90	5,00		19.04.2018
126	1602742,30	82982,85	116,65	Enkel	90	5,50		19.04.2018
124-1	1602779,05	82964,04	116,82	Prøve	90	4,00		19.04.2018
124	1602779,05	82964,04	116,82	Enkel	90	5,30		19.04.2018
122	1602814,47	82946,20	116,29	Enkel	90	4,70		19.04.2018
120	1602850,92	82926,95	115,54	Enkel	90	4,30		19.04.2018
119	1599583,42	83255,50	104,21	Total	93	27,13	0	12.01.2018
118	1599659,46	83226,60	103,81	Total	90	29,73		12.01.2018
117	1599842,43	83147,18	102,72	Total	90	31,63		12.01.2018
116	1599939,63	83114,01	102,11	Total	90	31,70		12.01.2018
115	1600053,62	83083,46	102,85	Total	90	29,70		12.01.2018
114	1600249,77	83110,30	108,74	Total	93	8,90	0	12.01.2018
113	1600287,12	83039,55	101,29	Total	93	18,30	0	12.01.2018
112-2	1600374,56	83143,24	108,09	Cpt	90	19,76		17.01.2018
112-1	1600374,56	83143,24	108,09	Prøve	90	6,80		19.04.2018
112	1600374,56	83143,24	108,09	Total	93	20,00	0	12.01.2018
111	1600587,02	83049,73	102,00	Total	90	29,70		11.01.2018
110	1600739,04	83044,19	99,86	Total	90	29,70		11.01.2018
109	1600852,49	83042,41	99,72	Total	90	29,60		11.01.2018
108	1601292,38	82993,33	104,16	Total	90	29,65		11.01.2018
107-1	1601418,48	83068,12	108,29	Prøve	90	8,80		19.04.2018
107	1601418,48	83068,12	108,29	Total	90	29,60		11.01.2018
106	1601456,55	83055,73	109,18	Total	90	31,58		11.01.2018
105	1601751,30	83116,66	108,93	Total	90	31,67		11.01.2018
104	1601834,57	83122,50	110,52	Total	90	31,73		11.01.2018
103	1601923,55	83178,87	119,54	Total	93	16,73	0	10.01.2018
102-2	1602021,00	83100,04	110,53	Cpt	90	25,00		30.01.2018
102-1	1602021,00	83100,04	110,53	Prøve	90	5,80		19.04.2018
102	1602021,00	83100,04	110,53	Total	90	31,67		10.01.2018
101	1602419,55	83056,79	112,77	Total	90	13,70		10.01.2018

Borhull	X	Y	Z	Metode	Stopp	Løsm	Fjell	Dato
71	1598286,86	83797,03	107,03	DrT Prøve	90	30,30		11.03.2015
70	1598308,05	83804,80	107,15	DrT Prøve	90	30,30		11.03.2015
69	1602806,12	82951,54	116,65	DrT	91	10,20		28.07.2014
68	1602715,82	82996,85	116,40	DrT	93	9,18	0	28.07.2014
67	1602635,90	83035,58	115,29	DrT	91	7,80		28.07.2014
66	1602541,35	83063,68	113,88	DrT	91	6,75		28.07.2014
65-1	1602464,12	83077,47	114,85	Prøve	90	4,80		19.04.2018
65	1602464,12	83077,47	114,85	DrT	91	8,05		28.07.2014
64	1602345,41	83097,97	113,50	DrT	91	7,90		28.07.2014
63	1602224,82	83117,66	114,53	DrT	90	30,05		28.07.2014
62	1602124,56	83127,09	115,32	DrT	90	30,05		29.07.2014
61	1602026,86	83135,83	115,27	DrT	93	26,50	0	29.07.2014
60	1601920,41	83149,20	115,15	DrT	90	31,80		29.07.2014
59	1601806,61	83162,45	114,58	DrT Prøve	90	30,05		29.07.2014
58	1601706,86	83172,08	114,41	DrT	90	30,02		29.07.2014
57	1601617,17	83172,22	115,03	DrT	91	23,23		29.07.2014
56	1601519,89	83154,48	114,29	DrT	91	23,88		29.07.2014
55	1601437,78	83079,24	106,65		90	0,00		
54	1601427,02	83113,78	111,72	DrT	93	23,65	0	29.07.2014
53	1601380,34	83077,66	110,68	DrT	93	7,13	0	30.07.2014
52-2	1601279,07	83045,53	106,93	Cpt	90	19,82		18.01.2018
52	1601279,07	83045,53	106,93	DrT Prøve	90	30,02		30.07.2014
51	1601188,20	83047,46	105,70	DrT	90	30,02		30.07.2014
50	1601087,32	83050,78	104,25	DrT	90	30,02		30.07.2014
49	1601058,10	83066,48	103,39		90	0,00		
48B	1600977,65	83053,51	103,42	DrT	90	30,02		30.07.2014
48	1600943,46	83070,18	103,58		90	0,00		
47	1600846,95	83073,64	100,65	DrT	90	30,05		30.07.2014
46	1600708,18	83077,73	101,58		90	0,00		
45	1600588,32	83072,28	103,55	DrT	93	34,28	0	31.07.2014
44B	1600486,76	83067,37	104,39	DrT	90	30,00		31.07.2014
44	1600498,40	83074,66	104,22	DrT	90	28,60		26.06.2014
43	1600389,15	83076,54	105,03	DrT	90	30,23		26.06.2014
42	1600317,38	83074,62	104,87	DrT	93	17,33	0	25.06.2014
41-1	1600239,21	83060,85	104,28	Prøve	90	6,80		19.04.2018
41	1600239,21	83060,85	104,28	DrT	93	14,07	0	25.06.2014
40	1600163,90	83072,26	103,58	DrT	91	26,90		25.06.2014
39	1600057,83	83101,82	103,81	DrT	90	30,20		25.06.2014
38	1599953,76	83139,05	103,08	DrT	90	30,02		25.06.2014
37	1599864,03	83169,32	104,04	DrT	90	30,17		25.06.2014
36	1599804,11	83199,70	102,83	DrT	90	33,72		25.06.2014
35-2	1599766,39	83185,56	100,44	Cpt	90	25,00		30.01.2018
35-1	1599766,39	83185,56	100,44	Prøve	90	5,80		19.04.2018
35	1599766,39	83185,56	100,44	DrT	93	25,58	0	28.05.2014
34	1599741,12	83222,17	103,78	DrT	93	22,80	0	28.05.2014
33	1599668,16	83257,44	105,85	DrT	93	30,00	0	28.05.2014
32	1599592,36	83295,01	107,71	DrT	93	19,90	0	28.05.2014
12_R716	1599894,51	83266,48	114,20	Dreie	90	11,00		26.09.1989

Borhull	X	Y	Z	Metode	Stopp	Løsm	Fjell	Dato
12_R402	1602829,73	82937,34	116,90	Enkel	93	4,90	0	14.09.1978
11_R716P	1599876,75	83258,64	111,10	Prøve	90	12,00		26.09.1989
11_R716	1599876,75	83258,64	111,10	Dreie	90	15,00		26.09.1989
11_R402	1602794,88	82953,15	117,30	Enkel	90	5,60		14.09.1978
10_R716	1599872,66	83246,83	110,00	Dreie	90	15,00		26.09.1989
10_R558P	1599778,08	82764,41	92,00	Prøve	90	16,70		15.06.1981
10_R558	1599778,08	82764,41	92,00	Dreie	90	19,80		15.06.1981
10_R402	1602747,92	82978,49	117,60	Enkel	90	5,60		14.09.1978
9_R716	1599870,48	83320,58	118,40	Dreie	93	3,20	0	10.11.1987
9_R558	1599740,73	82815,50	81,60	Dreie	90	14,80		15.06.1981
9_R402	1602719,63	82991,95	117,80	Enkel	90	5,60		14.09.1978
8_R716	1599861,98	83297,20	113,40	Dreie	90	8,80		10.11.1987
8_R558	1599683,30	82832,49	91,80	Dreie	90	19,80		15.06.1981
8_R402	1602693,06	83005,32	117,30	Enkel	90	5,20		14.09.1978
7_R716-1	1599839,06	83279,27	111,00	Prøve	90	12,80		10.11.1987
7_R716	1599839,06	83279,27	111,00	Dreie	93	22,60	0	10.11.1987
7_R558	1599812,63	82928,16	92,60	Dreie	90	14,80		15.06.1981
7_R402	1602675,50	83013,78	117,15	Enkel	90	4,80		14.09.1978
6_R716	1599833,11	83262,38	108,80	Dreie	90	28,40		10.11.1987
6_R558	1599775,57	82932,06	96,80	Dreie	90	29,70		15.06.1981
6_R402	1602643,48	83027,76	116,70	Enkel	90	4,20		14.09.1978
5_R716-1	1599823,36	83235,04	105,50	Prøve	90	10,00		10.11.1987
5_R716	1599823,36	83235,04	105,50	Dreie	93	25,60	0	10.11.1987
5_R558-1	1599719,75	82937,42	87,10	Prøve	90	11,70		15.06.1981
5_R558	1599719,75	82937,42	87,10	Dreie	90	11,70		15.06.1981
5_R402	1602619,38	83036,99	116,40	Enkel	90	4,00		14.09.1978
4_R716-3	1599853,53	83273,75	110,30	PZ	90	110,30		10.11.1987
4_R716	1599853,53	83273,75	110,30	Dreie	93	22,40	0	10.11.1987
4_R558	1599780,61	83043,23	98,70	Dreie	90	30,00		15.06.1981
4_R402	1602599,31	83044,95	115,40	Enkel	90	3,60		14.09.1978
3_R716-3	1599847,27	83256,97	108,10	PZ	90	0,00		10.11.1987
3_R716-1	1599847,27	83256,97	108,10	Prøve	90	16,80		10.11.1987
3_R716	1599847,27	83256,97	108,10	Dreie	90	28,40		10.11.1987
3_R558-1	1599741,48	83047,67	92,20	Prøve	90	10,80		15.06.1981
3_R558	1599741,48	83047,67	92,20	Dreie	90	20,00		15.06.1981
3_R402	1602567,19	83056,17	115,10	Enkel	90	4,00		14.09.1978
2_R716	1599867,49	83268,68	110,65	Dreie	93	21,90	0	10.11.1987
2_R558	1599684,73	83056,50	99,60	Dreie	90	30,00		15.06.1981
2_R402-1	1602550,51	83059,31	114,60	Enkel	90	1,80		14.09.1978
2_R402	1602550,51	83059,31	114,60	Dreie	90	5,00		14.09.1978
1_R716-1	1599861,13	83251,35	108,00	Prøve	90	12,00		10.11.1987
1_R716	1599861,13	83251,35	108,00	Dreie	90	29,70		10.11.1987
1_R558-1	1599769,30	83139,11	97,60	Prøve	90	10,80		15.06.1981
1_R558	1599769,30	83139,11	97,60	Dreie	90	20,00		15.06.1981
1_R402-1	1600310,89	83053,60	103,90	Prøve	90	4,90		14.01.1978
1_R402	1600310,89	83053,60	103,90	Dreie	90	5,00		14.09.1978
C_R558	1599800,26	82992,25	98,10	Dreie	90	9,80		15.06.1981
B_R558-1	1599811,47	82991,73	98,90	Prøve	90	10,60		15.06.1981
B_R558	1599811,47	82991,73	98,90	Dreie	90	9,80		15.06.1981

Borhull	X	Y	Z	Metode	Stopp	Løsm	Fjell	Dato
A_R558	1599830,65	82987,76	99,50	Dreie	90	10,00		15.06.1981

**Bilag 4 Del A – Lab resultat fra undersøkelser utført i forbindelse med
denne rapporten**

Prøve i punkt nr: 35, 41, 65, 102, 107, 112, 124, 130 og 134



Statens vegvesen

Laboratoriet i Trondheim - henhold til H0141 (dokseses: 14425, R210.211, R210.216, R210.217, R210.218, R210.221, R210.222)

Labsys-SV/P-15.8-26092018-020

Prøve														
F	E	D	C	B	A	F	E	D	C	B	A	Dybde (B) [m]		
5.65	5.45	3.525	1.53	3.5	4.5	3.5	3.5	3.5	3.5	1.65	5.45	3.5	2.5	1.5

Hullnummer

Jordart

35 FV707 Berg-Høstakorsen

[kN/m³]

Humusinnhold

Vanninnhold

Flytegrense

Utvirkning av vann

Borprofil, tab

[%]

[%]

[%]

2018

Enkelt trykkforsøk

Prøvetype

Omrørt, C

Omrørt, C

Sensitivitet,

St

Region Midt



Statens
vegvesen

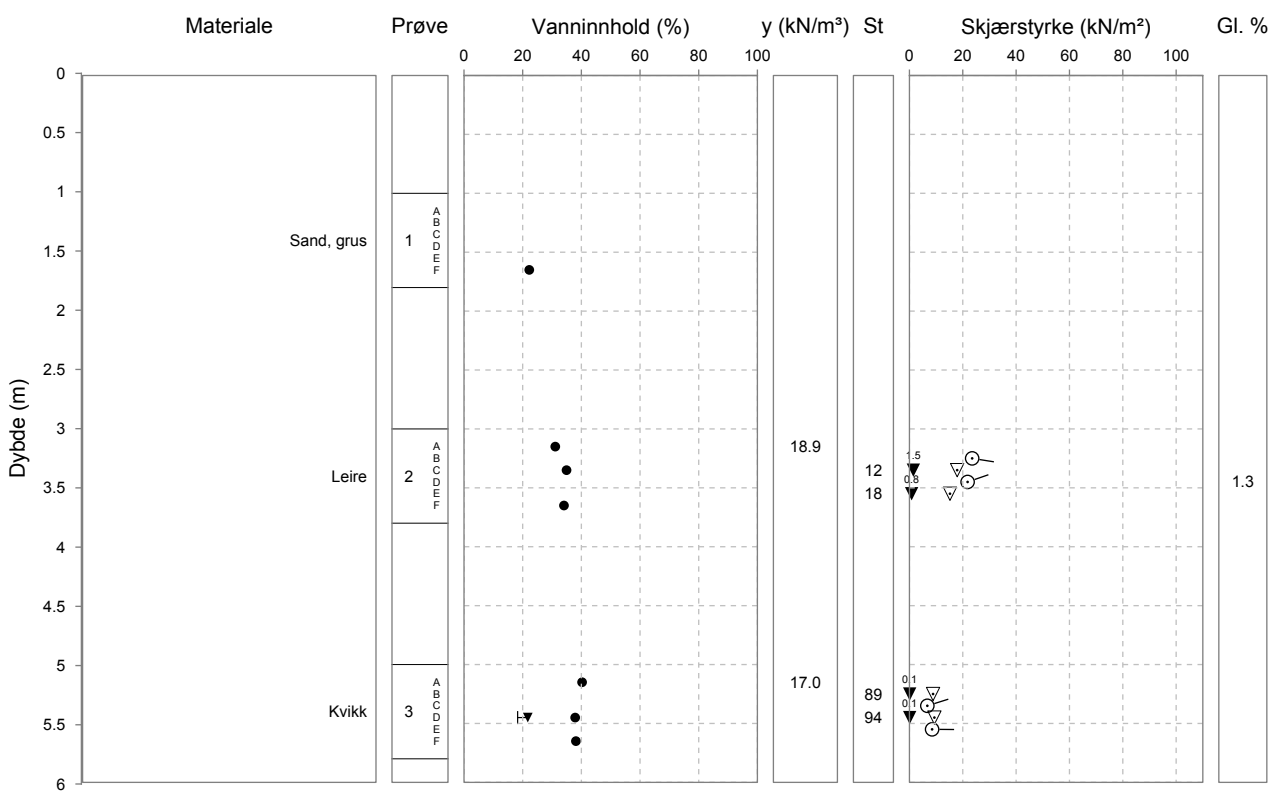
05-06-2020 09:59 Sentr. 4 Hullnr. 35

Dokumentet er generert av en offentlig myndighet. Styrt

Merknader, E



Oppdragsnr. 4180025 Navn FV 707 Berg-Høstakorsen
Serienr. 4_(B) Hullnummer 35
Koordinater





Statens vegvesen

Prøve										Dekkage (B)	Dybde (m)										
F	E	D	C	B	A	F	E	D	C	B	A										
6.66	5.64	5.35	2.5	15.4	6.9	5.9	4.3	3.8	2.8	1.5	2.62	4.2	3.2	1.65	5.9	4.5	3.5	2.5	1.5	5	4180025

Hullnummer

Jordart

41 FV707 Berg-Høstakorsen

189 188 196 198

0.6

343 361 364 348

357 342 323 293

268 245 239 253

Vanntinnhold

[%] W

Flytegrense

[%] W_L

Utrømmingstid

[%] W_P

2018

Enkelt trykkforsøk

Deformasjon

Prøvetype

Omrørt, C

Konus,

Sensitivitet,

St

Region Midt

Borprofil, tab

Hullnummer

Jordart

41 FV707 Berg-Høstakorsen

54mm stål

11 18 12 17 14



Statens vegvesen

05.05.2018 00:00:00 Serienr. 5 Hullnr. 41

Merknader, E



Oppdragsnr. 4180025

Navn

FV 707 Berg-Høstakorsen

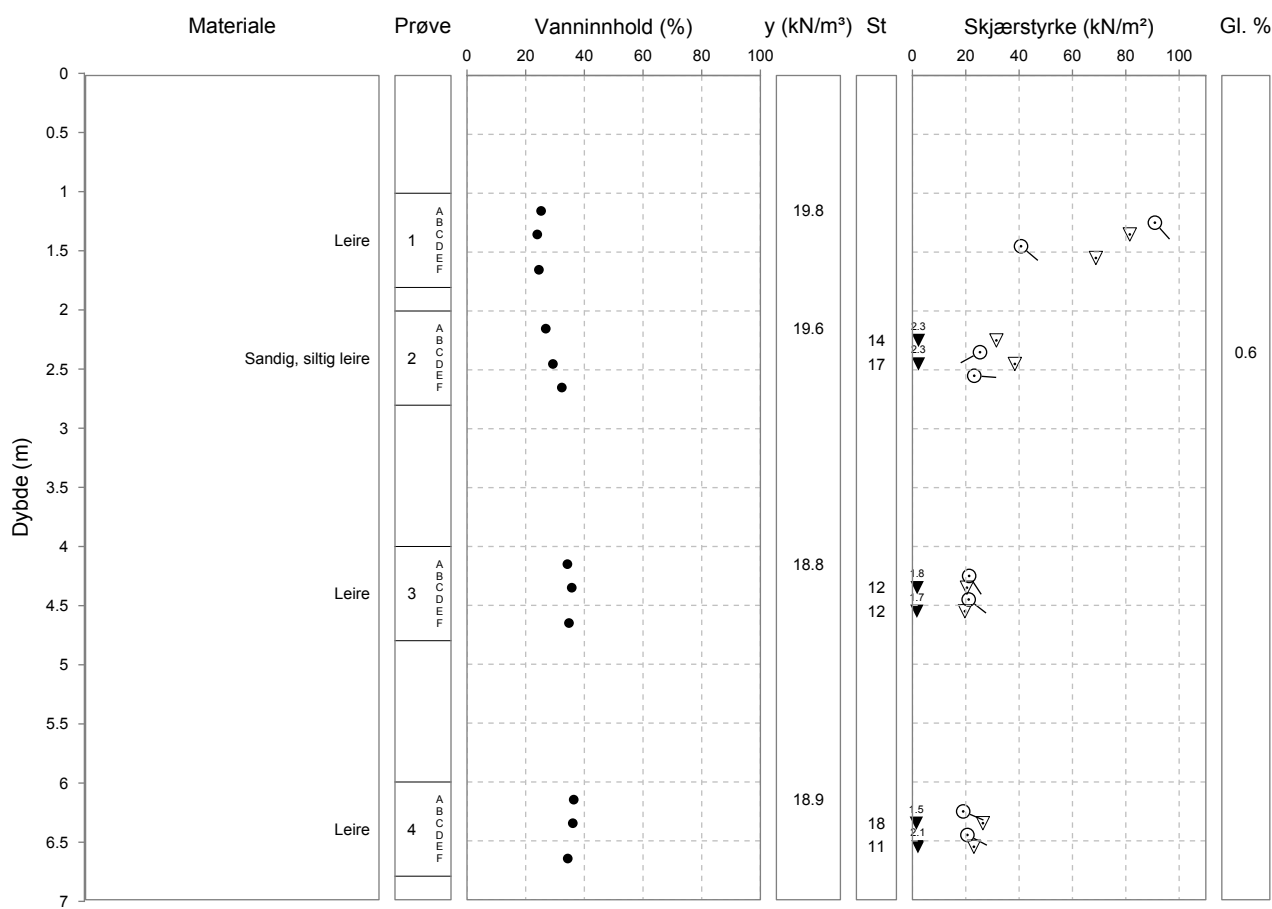
Analyseår 2018

Prøvetype 54mm stål

Serienr. 5_(B)

Hullnummer 41

Koordinater





Statens vegvesen

Prøve						Delgave
3	3	3	3	2	2	2
F	E	D	C	B	A	F
4.65	5.44	4.44	3.65	5.45	3.55	4.65

Hullinnhold	Jordart	Gjennomsnitt	Slikhet	Slikhet	Slikhet	Hullinnhold
3.6	3.6	3.6	3.6	3.6	3.6	3.6

65 FV707 Berg-Høstakorsen

[kN/m³]

2008

Humusinnhold

2010

[%]

Vanntinnhold

19.2006 22.124.1

27.9 30.24.0

Flytegrense

[%] W_L

Utrømmesfører

[%] W_P

2018

Enkelt trykkforsøk

[kPa]

Deformasjon

[%]

Prøvetype

C

Konus,

[kPa]

Omrørt C

Konus,

[kPa]

Sensitivitet,

St

Region Midt



Statens vegvesen

16.06.2003 Serienr. 9 Hullnr. 65

Merknader, E

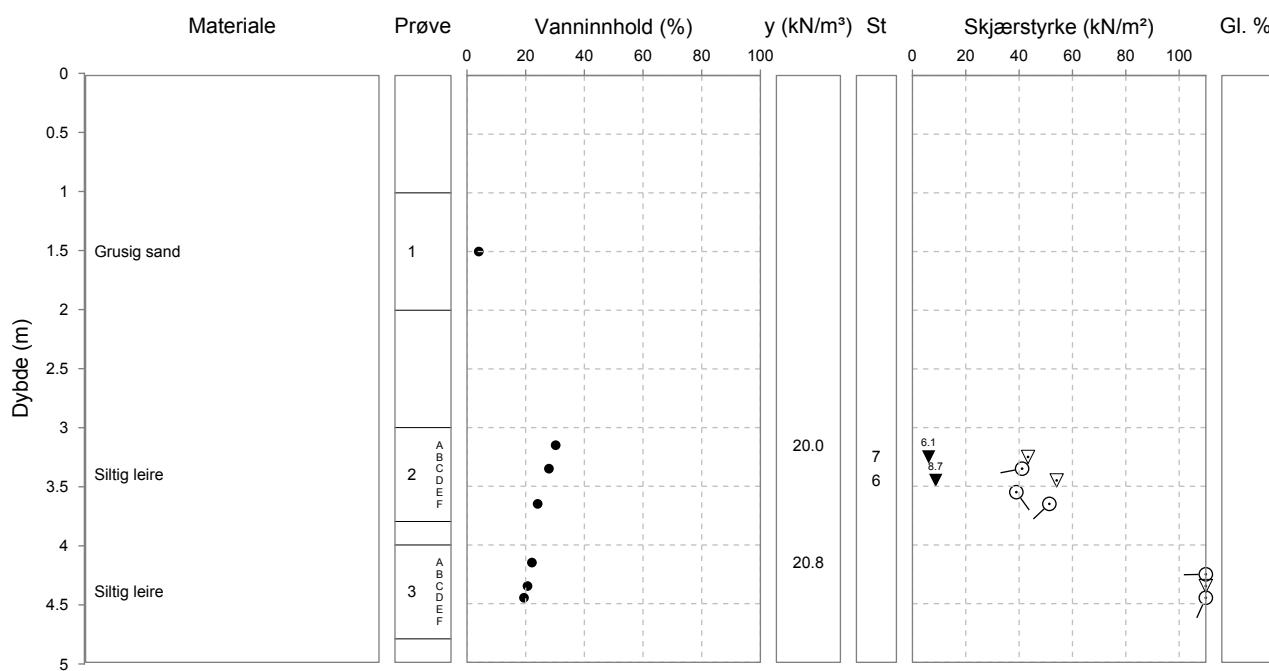
Region Midt



Oppdragsnr. 4180025 Navn FV 707 Berg-Høstakorsen
Serienr. 9_(B) Hullnummer 65
Koordinater

Analyseår 2018

Prøvetype





Kornkurve

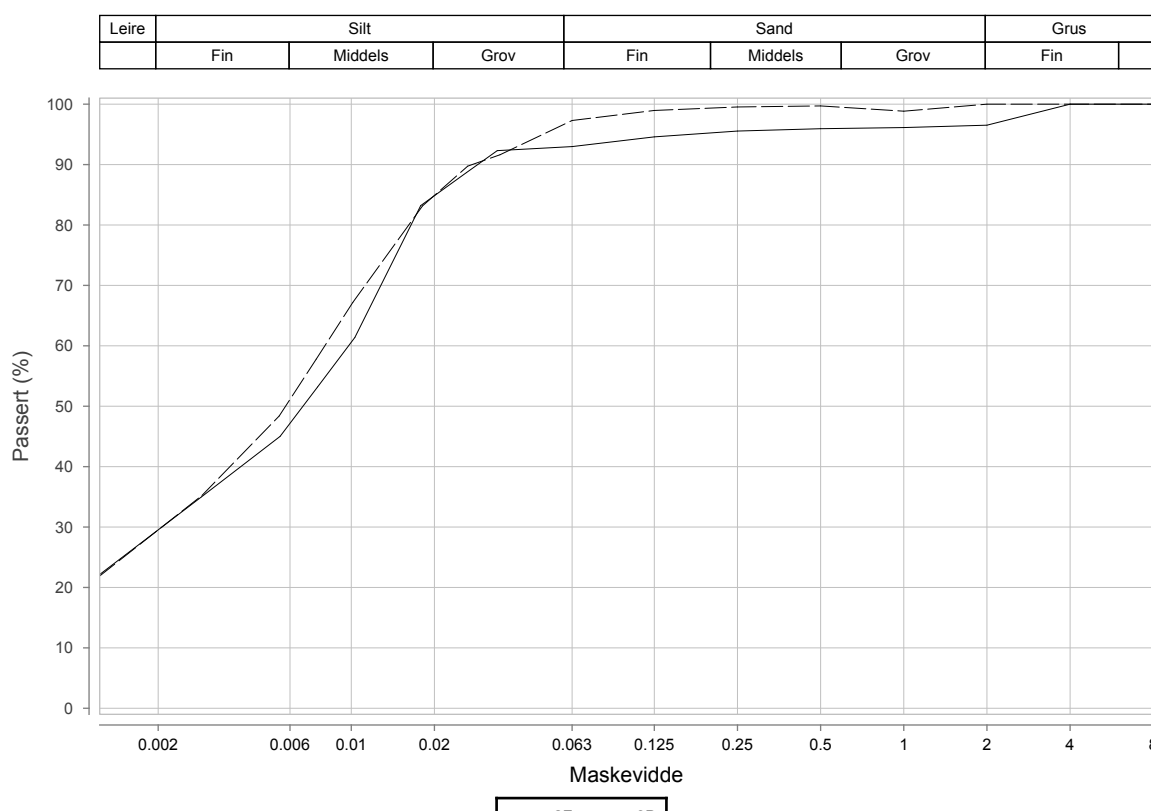
Oppdragsnr. 4180025 Oppdragsnavn FV 707 Berg-Høstadkorsen
 Prosjektnr. 406124 Prosjektnavn MP Fv 707 Berg - Høstadkorsen
 Ansvarsområdenr. 43462 Ansvarsområdenavn MP Programområdetiltak

Serienr.: 9_(B), Hullnr.: 65, koordinater:

Prøvenr.	2F	3D			
Uttaksdato	12.04.2018	12.04.2018			
Analysetype	Våtsikt	Våtsikt			
Humus (Glødetap)					
Vanninnhold (%)	24.1	19.4			
% <63µm av <delsikt	93.0 (22.4 mm)	97.3 (22.4 mm)			
% <20µm av <delsikt	84.9 (22.4 mm)	84.9 (22.4 mm)			

Siktedata - Passert (%)

Pr.nr.	µm				mm			
	63	125	250	500	1	2	4	8
2F	93.0	94.6	95.5	95.9	96.1	96.5	100.0	100.0
3D	97.3	99.0	99.5	99.7	98.8	100.0	100.0	100.0



Prøvenr.	Vegnr	Dybde	Jordart	Cu	TG
2F	FV707	3.0 - 3.8	Siltig leire	*9.8	T4
3D	FV707	4.0 - 4.8	Siltig leire	*9.0	T4

Sted: _____

Dato: _____

Signatur: _____



Statens vegvesen

Prøve						Delgrøve
F	E	D	C	B	A	F E D C B A
5.65	5.45	5.25	3.25	2.25	1.95	5.25; 4.5; 3.25; 1.95

Hvitbærmer
Jordart

102EV707 Berg-Høstakorsen

Prøve [kN/m ³]	183	191	Humusinnhold		Vanninnhold [%] W _L	Flytegrense [%] W _L	Utnivringstest [%] W _P	2018 [kPa] _{unc}	Enkelt trykkforsøk [kPa]	Deformasjon [%]	Prøvetype
			[%]	1.1							
39.6	40.2	36.9	30.5	28.5	29.5			22.7	187	44.5	32.2
4.6	3.9							4.6	3.9	9.0	9.0

Borprofil, tab

183	189	384	535	utc	54mm stål
0.5	0.5	5.6	4.8	utc	Omrekt C Konus, [kPa]
37	38	7	11		Sensitivitet, St



Statens vegvesen

Sentr. 1 Hullnr. 102

Prøvekjørt etter kravsetting, mykrofoni er ikke mykrofon

Merknader, E



Oppdragsnr. 4180025

Navn

FV 707 Berg-Høstakorsen

Analyseår 2018

Prøvetype 54mm stål

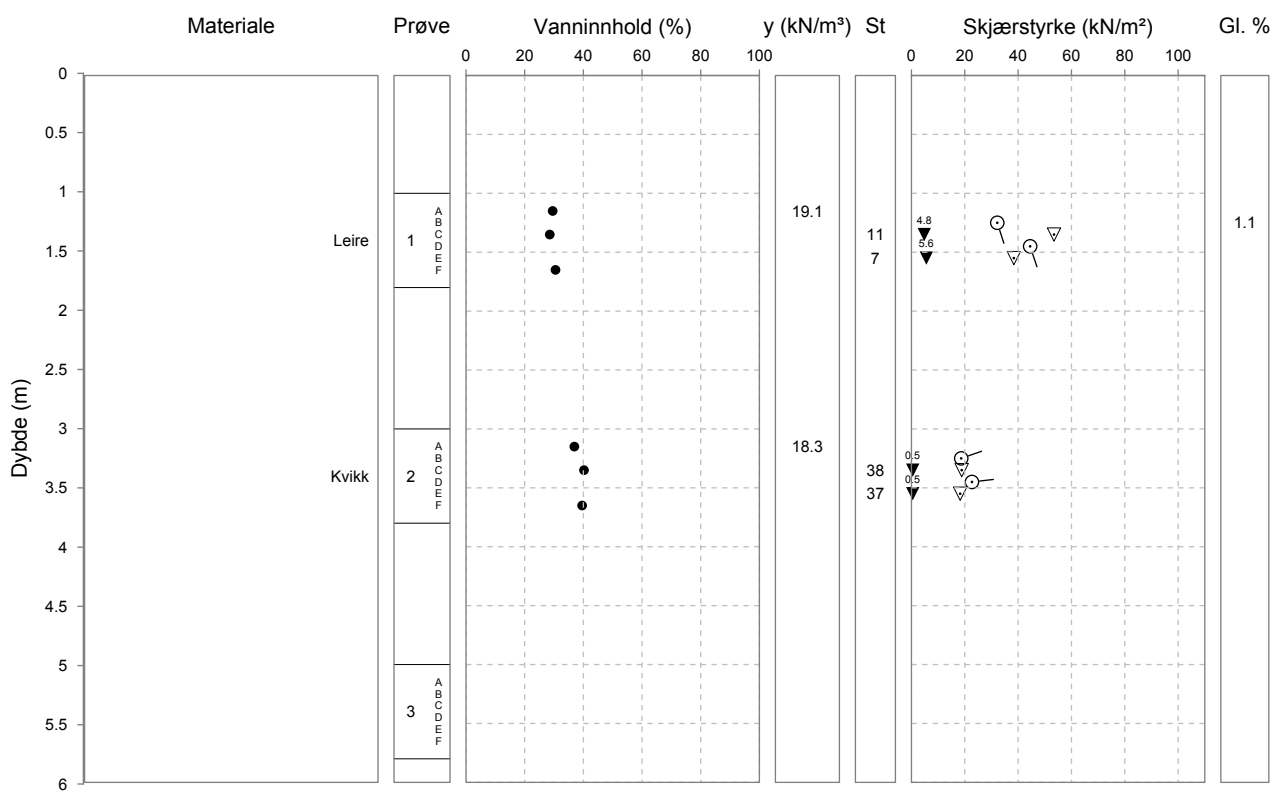
Serienr.

1_(B)

Hullnummer

102

Koordinater





Statens vegvesen

Prøve						Dekkgråve
F	E	D	C	B	A	
8.69	6.44	4.43	3.22	1.56	0.55	1.55

Hullinnhold
Jordart
Leire
Leire
Leire
Hullinnhold
Jordart

107FV707 Berg-Høstakorsen

[kN/m³]

Prøflestet

200

207

Humusinnhold

[%]

Vanntinnhold

[%] W

Flytegrense

[%] W_L

Utrødingstid

[%] W_P

2018

[kPa]

Enkelt trykkforsøk

Deformasjon

[%]

Prøvetype

[kPa]

Omrørt C

Konus,

[kPa]

Omrørt C

Konus,

[kPa]

Sensitivitet,

St

Region Midt



Statens
vegvesen

Østlandsveien 3 Hullnr. 107

Prøveramme fra en teknisk kontroll gjennomført av Statens vegvesen i henhold til teknisk regel om teknisk kontroll.

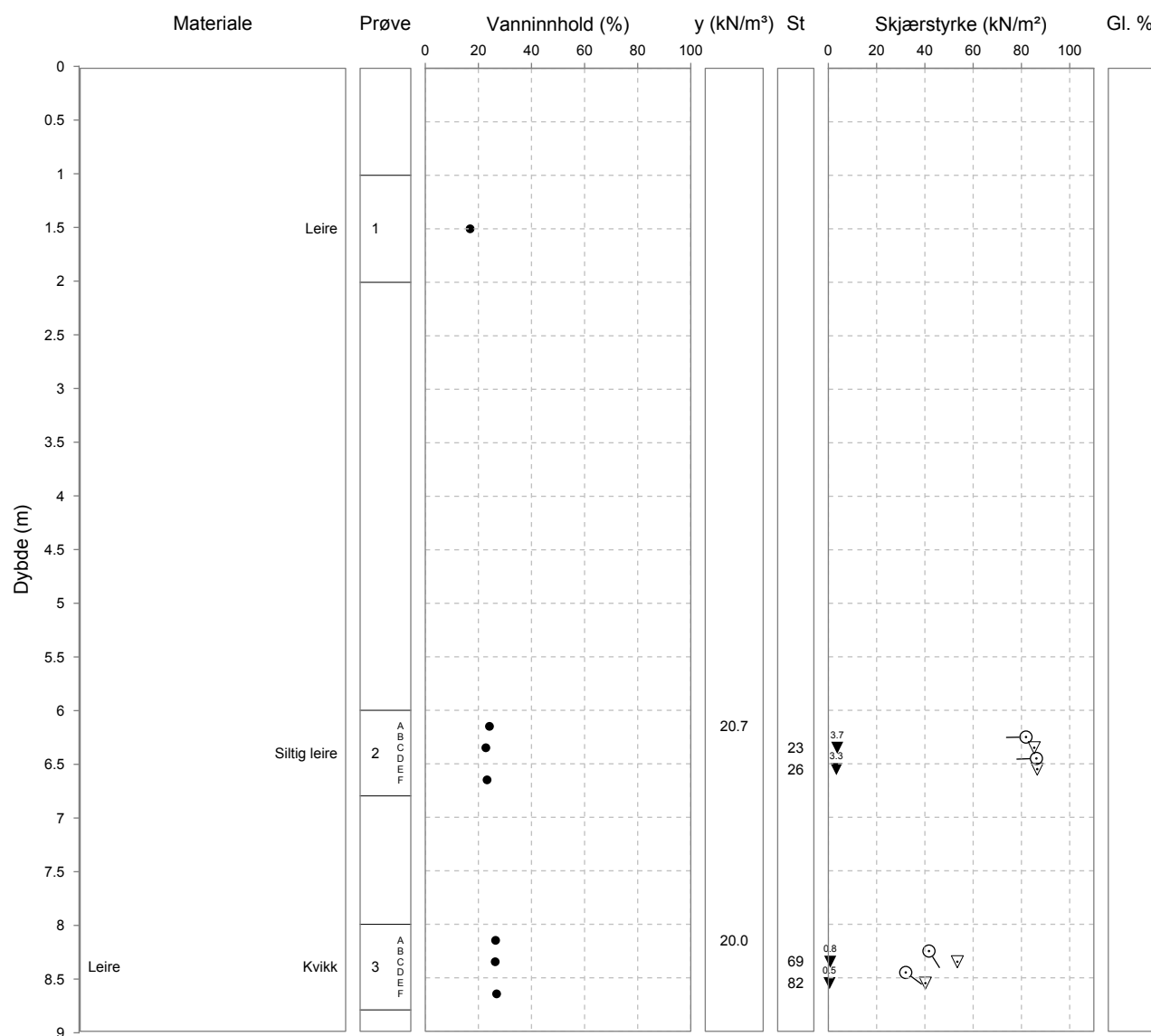
Merknader, E

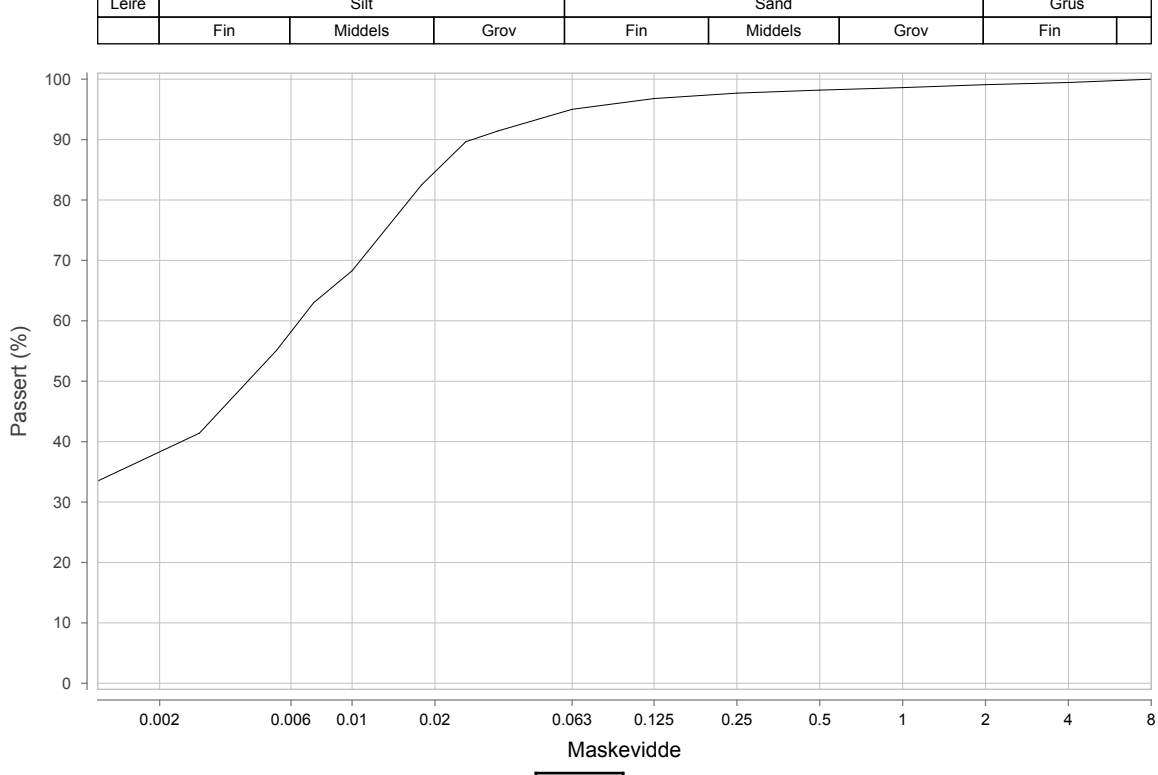


Oppdragsnr. 4180025 Navn FV 707 Berg-Høstakorsen
Serienr. 3_(B) Hullnummer 107
Koordinater

Analyseår 2018

Prøvetype



Statens vegvesen				Region Midt																										
Laboratorium: Sentrallaboratoriet Trondheim - Hjemhold til H014 labprosess, 14.432, R210.214, R210.215		Kornkurve																												
Oppdragsnr.	4180025	Oppdragsnavn	FV 707 Berg-Høstadkorsen																											
Prosjektnr.	406124	Prosjektnavn	MP Fv 707 Berg - Høstadkorsen																											
Ansvarsområdenr.	43462	Ansvarsområdenavn	MP Programområdetiltak																											
Serienr.: 3_(B), Hullnr.: 107, koordinater:																														
Prøvenr.	3C																													
Uttaksdato	18.01.2018																													
Analysetype	Våtsikt																													
Humus (Glødetap)																														
Vanninnhold (%)	26.3																													
% <63µm av <delsikt	95.0 (22.4 mm)																													
% <20µm av <delsikt	84.7 (22.4 mm)																													
Siktedata - Passert (%)																														
Pr.nr.	63	125	250	500																										
3C	95.0	96.8	97.7	98.2																										
	1	2	4	8																										
	98.6	99.1	99.5	100.0																										
<table border="1"> <thead> <tr> <th rowspan="2">Leire</th> <th colspan="3">Silt</th> <th colspan="3">Sand</th> <th colspan="2">Grus</th> </tr> <tr> <th>Fin</th> <th>Middels</th> <th>Grov</th> <th>Fin</th> <th>Middels</th> <th>Grov</th> <th>Fin</th> <th></th> </tr> </thead> <tbody> <tr> <td></td> <td></td> <td></td> <td></td> <td></td> <td></td> <td></td> <td></td> <td></td> </tr> </tbody> </table>  <p>The graph plots the percentage of material passing through a sieve (y-axis, 0-100%) against the sieve size in millimeters (x-axis, logarithmic scale from 0.002 to 8). The curve starts at approximately 35% passing at 0.002 mm and rises sharply to about 90% at 0.02 mm, then more gradually to nearly 100% at 8 mm. A legend indicates the line represents sample 3C.</p>					Leire	Silt			Sand			Grus		Fin	Middels	Grov	Fin	Middels	Grov	Fin										
Leire	Silt			Sand			Grus																							
	Fin	Middels	Grov	Fin	Middels	Grov	Fin																							

Prøvenr.	Vegnr	Dybde	Jordart	Cu	TG
3C	FV707	8.0 - 8.8	Leire	0.0	T4

Sted: _____

Dato: _____

Signatur: _____



Statens vegvesen

Prøve												
F	E	D	C	B	A	F	E	D	C	B	A	Dybde (B)
6.65.55.45.35.25.15.46.3.55.45.35.23.15.26.25.42.32.25.15												

Hullnummer
Jordart

112EV707 Berg-Høstakorsen

Prøve	[kN/m ²]	Humusinnhold		Vanninnhold	Flytegrense	Utrømmingsprøver	Deformasjon	Prøvetype	2018		Sensitivitet,	St	
		[%]	W _L						[kPa] _{uc}	Enkelt trykkforsøk			
189	190	1.1		350	356	370	397	369	328	170	175	181	169
										7.1	6.7	6.0	6.7
										158	162	169	169
										0.6	1.1	1.8	1.8
										27	15	10	10

Borprofil, tab



Statens vegvesen

05.05.2020 Sørenr. 2 Hullnr. 112

Prøvered. tiltegnet av Grønnehaugen idr., Mestrid

Merknader, E



Oppdragsnr. 4180025

Navn FV 707 Berg-Høstakorsen

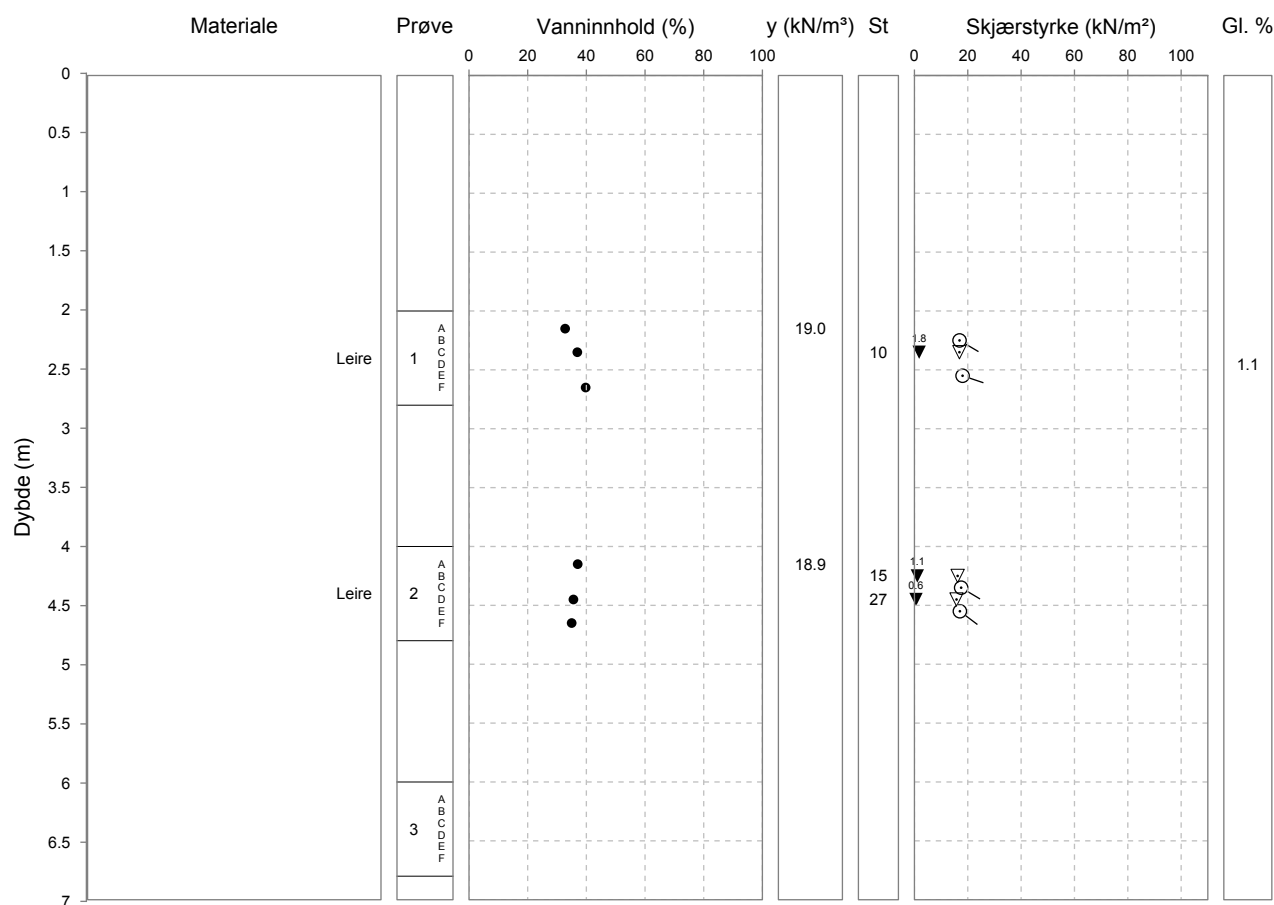
Analyseår 2018

Prøvetype 54mm stål

Serienr. 2_(B)

Hullnummer 112

Koordinater





Statens vegvesen

L

S

V

E

R

A

T

I

O

N

G

H

M

U

S

D

P

A

C

F

B

E

R

I

T

O

N

G

H

M

U

S

D

P

A

C

F

B

E

R

I

T

O

N

G

H

M

U

S

D

P

A

C

F

B

E

R

I

T

O

N

G

H

M

U

S

D

P

A

C

F

B

E

R

I

T

O

N

G

H

M

U

S

D

P

A

C

F

B

E

R

I

T

O

N

G

H

M

U

S

D

P

A

C

F

B

E

R

I

T

O

N

G

H

M

U

S

D

P

A

C

F

B

E

R

I

T

O

N

G

H

M

U

S

D

P

A

C

F

B

E

R

I

T

O

N

G

H

M

U

S

D

P

A

C

F

B

E

R

I

T

O

N

G

H

M

U

S

D

P

A

C

F

B

E

R

I

T

O

N

G

H

M

U

S

D

P

A

C

F

B

E

R

I

T

O

N

G

H

M

U

S

D

P

A

C

F

B

E

R

I

T

O

N

G

H

M

U

S

D

P

A

C

F

B

E

R

I

T

O

N

G

H

M

U

S

D

P

A

C

F

B

E

R

I

T

O

N

G

H

M

U

S

D

P

A

C

F

B

E

R

I

T

O

N

G

H

M

U

S

D

P

A

C

F

B

E

R

I

T

O

N

G

H

M

U

S

D

P

A

C

F

B

E

R

I

T

O

N

G

H

M

U

S

D

P

A

C

F

B

E

R

I

T

O

N

G

H

M

U

S

D

P

A

C

F

B

E

R

I

T

O

N

G

H

M

U

S

D

P

A

C

F

B

E

R

I

T

O

N

G

H

M

U

S

D

P

A

C

F

B

E

R

I

T

O

N

G

H

M

U

S

D

P

A

C



Statens vegvesen

Østlandsvegen nr. 6 Hullnr. 124

Prøver fra en teknisk kontroll som gjennomføres i et bilde med teknisk kontroll. Varmt tillykke!

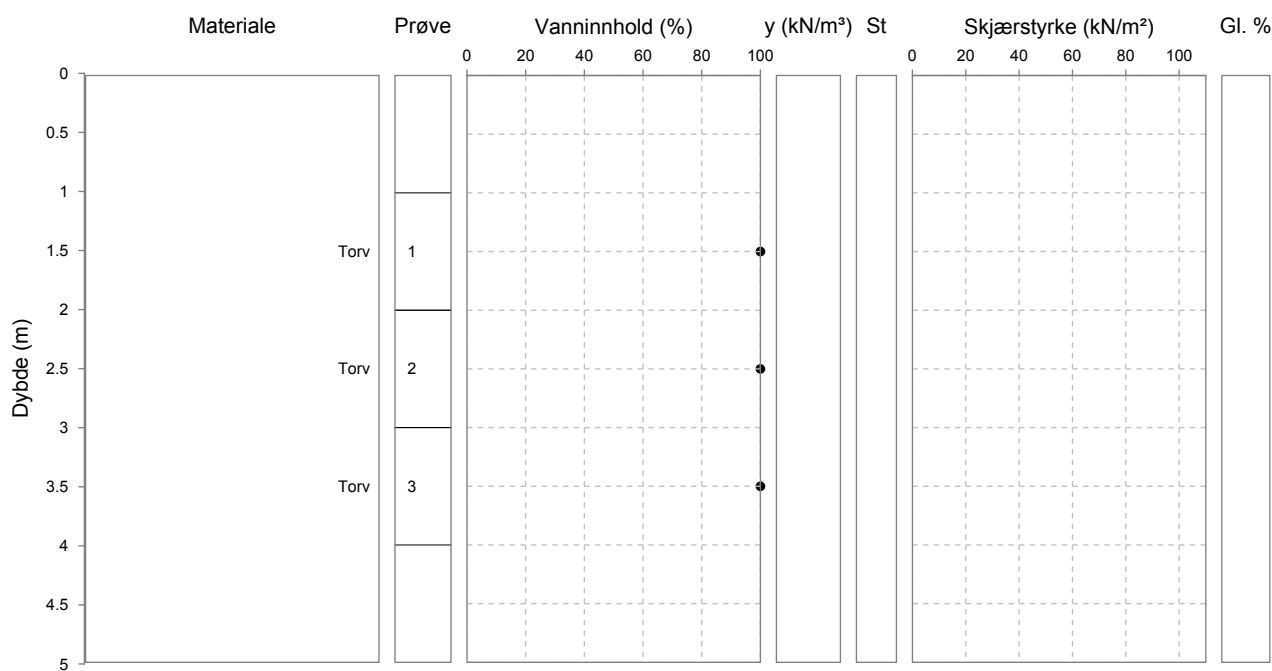
Merknader, E



Oppdragsnr. 4180025 Navn FV 707 Berg-Høstakorsen
Serienr. 6_(B) Hullnummer 124
Koordinater

Analyseår 2018

Prøvetype Poseprøve





Statens vegvesen

130FV707 Berg-Høstakorsen

Prøve	Delgrøde [m]	Dybde [m]
3	2	1

Hvitnæsmer

Jordart

130FV707 Berg-Høstakorsen

[kN/m³]

Humusinnhold

[%]

Vanntinnhold

[%] W

Flytegrense

[%] W

Utnedringstid

[%] W

2018
Enkelt trykkforsøk

Deformasjon

[%]

Prøvetype

Omsett, C
Konus,
[kPa]Omsett C
Konus,
[kPa]

Poserprøve

Sensitivitet,

Region Midt



Statens vegvesen

Hullnr. 7 Hullnr. 130

05-0450420

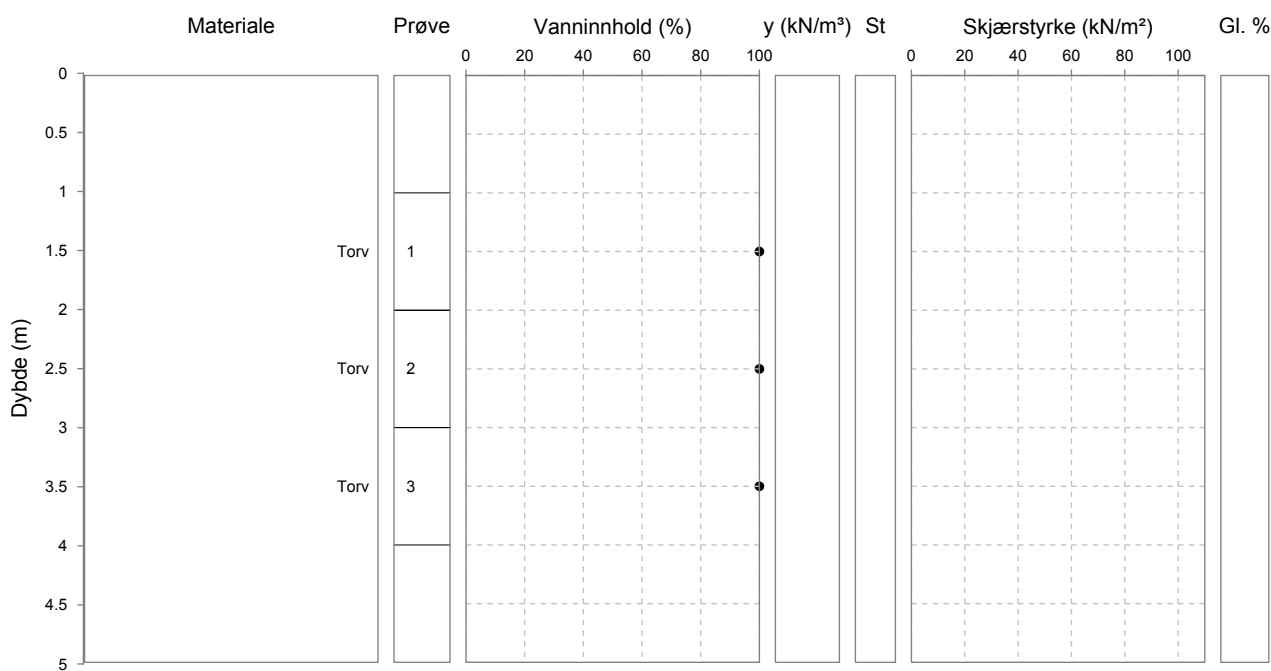
Merknader, E

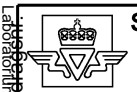


Oppdragsnr. 4180025 Navn FV 707 Berg-Høstakorsen
Serienr. 7_(B) Hullnummer 130
Koordinater

Analyseår 2018

Prøvetype Poseprøve





Statens vegvesen

8 4180025 (B)

Hvitkammer

Jordart

134FV707 Berg-Høstakorsen

Prøve	Delgrøde	Dybde [m]
3 2 1		3.0 24.0 30.20

[kN/m²] prøflet

Humusinnhold

[%]

Vanntinnhold

[%]

Flytegrense

[%]

Utnedringstid

[%]

2018 Enkelt trykkforsøk

Deformasjon

[%]

Prøvetype

Omsett, C

[kPa]

Omsett C

[kPa]

Sensitivitet,

Region Midt



Statens vegvesen

Østensjøveien 8 Hullnr. 134

Merknader, E

Dokumentet er et digitalt dokument og har ikke tilknytning til papirarkivet.

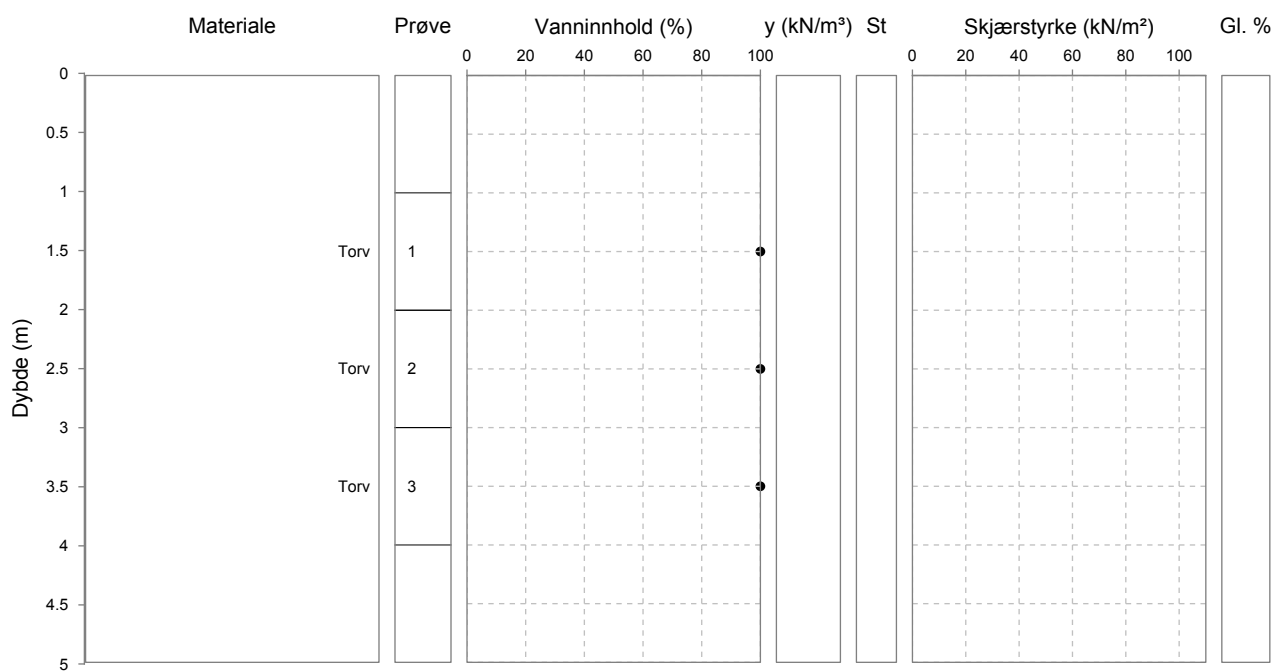
Region Midt



Oppdragsnr. 4180025 Navn FV 707 Berg-Høstakorsen
Serienr. 8_(B) Hullnummer 134
Koordinater

Analyseår 2018

Prøvetype Poseprøve



**Bilag 4 Del B – Lab resultat fra Rapport Ud434B_5142814-RIG01-REV C
av Nordconsult på vegne av SVV**

Prøve i punkt nr. 52 og 59



Statens vegvesen

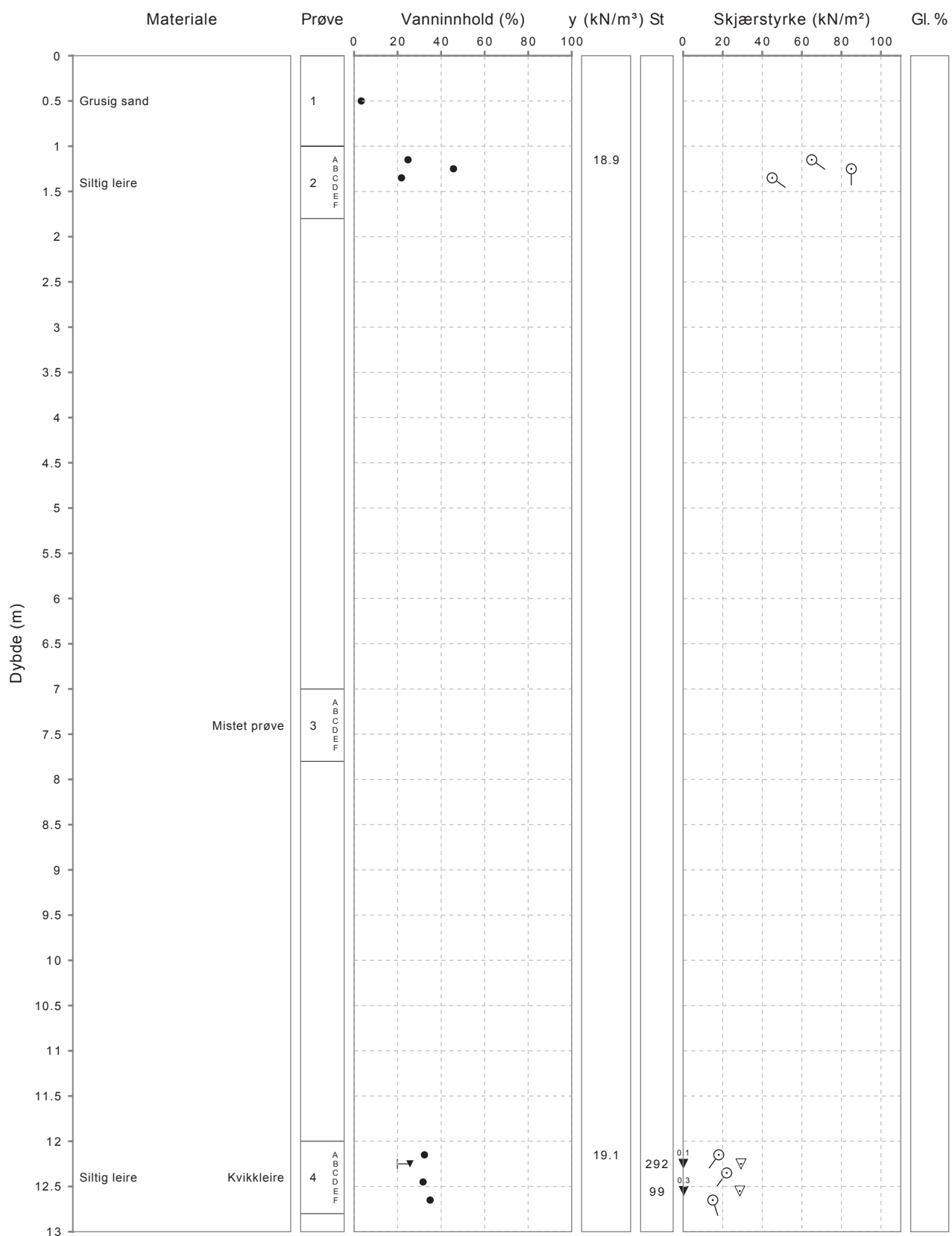
Borprofil

Region Midt

Oppdragsnr. 4140191 Navn Fv707 Rye-Spongda
Hullnummer 52_(B) Koordinater

Analyseår 2014

Prøvetype





Merknader, Borprofil

Serienr. 1, Hullnr. 52

08.09.2014	Prøve 1: Brun, løs, tørr sandmasse med innslag av fin og middels grus
08.09.2014	Prøve 2: Prøvelengde- 40 cm. Brun fast forstyrret masse, blanding av sand, silt og leire.
08.09.2014	Prøve 3: Mistet. Kraftig deformert sylinder.
08.09.2014	Prøve 4: Grå, myk, ren og jevn leiremasse. Siltig.



Region Midt

Borprofil, tabell

Oppdragsnr. 4140191

Hullnummer 52^(B)Navn
Koordinater

Analysesår 2014

Prøvetype

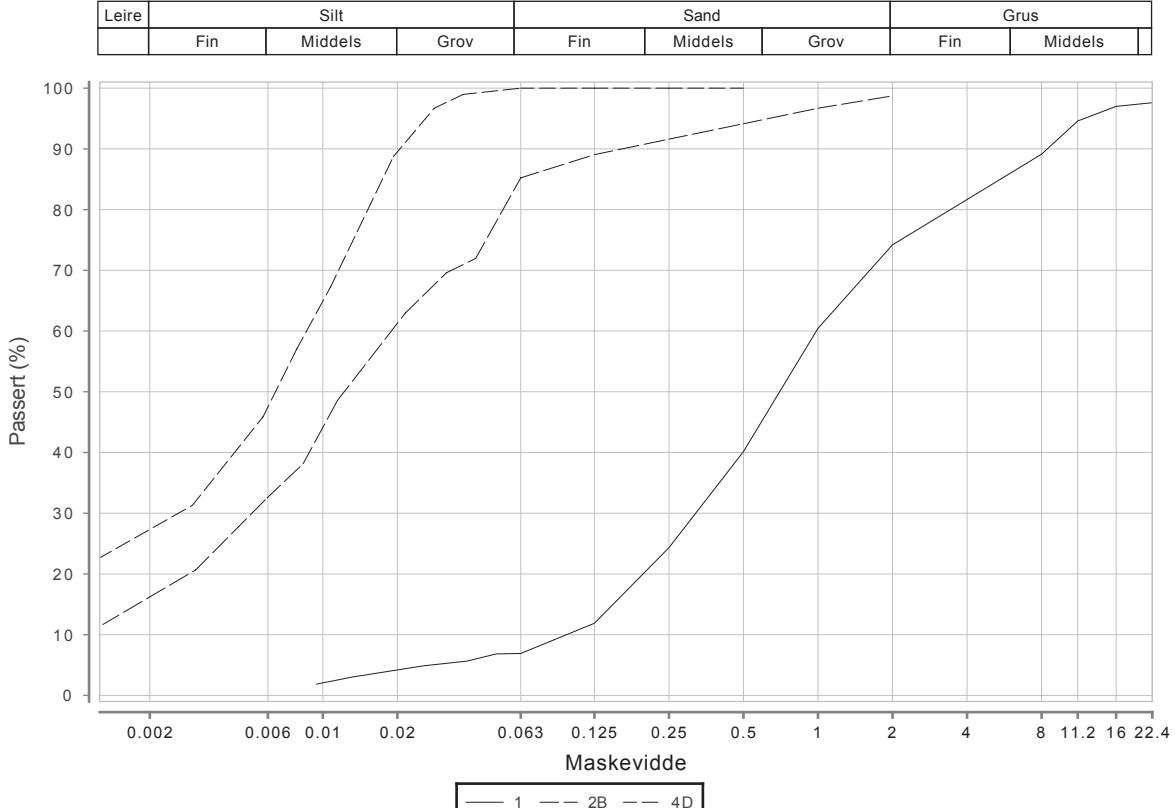
Fv707 Rye-Spongdal

Prøve	Delprøve	Dybde [m]	Jordart	Densitet [kN/m³]	Humusinnhold [%]	Vanninnhold W [%]	Flytegrense W _L [%]	Utrullingsgrense W _P [%]	Enkelt trykkforsøk C _{wuc} [kPa]	Konus, Omsett, C _{ufc} [kPa]	Konus, Omsett, C _{ufc} [kPa]	Sensitivitet, St
1		0.0 - 1.0	Grusig sand			3.3						
2	A	1.15		18.9			24.8		65.0	7		
2	B	1.25	Siltig leire				45.7		85.0	10		
2	C	1.35					21.8		45.0	7		
2	D	1.45										
2	E	1.55										
2	F	1.65										
3	A	7.15					32.3		18.0	12		
3	B	7.25						26	20		29.2	0.1
3	C	7.35									22.0	12
3	D	7.45										
3	E	7.55										
3	F	7.65										
4	A	12.15		19.1								
4	B	12.25										292
4	C	12.35										
4	D	12.45	Siltig leire				31.7					
4	E	12.55									28.6	0.3
4	F	12.65					34.9		15.0	9		99

Merknader, Borprofil, tabell

Seriens. 1, Hullnr. 52

08.09.2014	Prøve 1: Brun, løs, torr sandmasse med innslag av fin og middels grus
08.09.2014	Prøve 2: Prøvelengde- 40 cm. Brun fast, forstyrret masse, blanding av sand, silt og leire.
08.09.2014	Prøve 3: Mistet. Kraftig deformert sylinder.
08.09.2014	Prøve 4: Grå, myk, ren og jevn leiremasse. Silitig.

Statens vegvesen				Region Midt																																														
Laboratorium: Sentrallaboratoriet Trondheim - Thremhold til H014 labprosess: 14.432, 14.433, 14.434		Kornkurve																																																
Oppdragsnr.	4140191	Oppdragsnavn	Fv707 Rye-Spongdal																																															
Prosjektnr.	404927	Prosjektnavn	MP GSV Rye-Spongdal																																															
Ansvarsområdenr.	45290	Ansvarsområdenavn	ST Miljøpakke Trondheim - avd Sør-Trøndel																																															
Serienr.: 1_(B), Hullnr.: 52, koordinater:																																																		
Prøvenr.	1	2B	4D																																															
Uttaksdato	04.08.2014	04.08.2014	04.08.2014																																															
Analysetype	Våtsikt	Våtsikt	Våtsikt																																															
Humus (Glødetap)																																																		
Vanninnhold (%)	3.3	45.7	31.7																																															
% <63µm av <delsikt	7.1 (22.4 mm)	85.2 (22.4 mm)	0.0 (22.4 mm)																																															
% <20µm av <delsikt	4.3 (22.4 mm)	61.3 (22.4 mm)	89.5 (22.4 mm)																																															
Siktedata - Passert (%)																																																		
Pr.nr.	63	125	250	500	1	2	4	8	11.2	16	22.4																																							
1	6.9	11.9	24.3	40.1	60.5	74.2	81.7	89.1	94.6	97.0	97.6																																							
2B	85.2	89.0	91.6	94.1	96.7	98.7																																												
4D	100.0	100.0	100.0	100.0																																														
<table border="1"> <thead> <tr> <th rowspan="2">Leire</th> <th colspan="3">Silt</th> <th colspan="3">Sand</th> <th colspan="3">Grus</th> <th colspan="3"></th> </tr> <tr> <th>Fin</th> <th>Middels</th> <th>Grov</th> <th>Fin</th> <th>Middels</th> <th>Grov</th> <th>Fin</th> <th>Middels</th> <th></th> <th></th> <th></th> <th></th> </tr> </thead> <tbody> <tr> <td></td> </tr> </tbody></table> 													Leire	Silt			Sand			Grus						Fin	Middels	Grov	Fin	Middels	Grov	Fin	Middels																	
Leire	Silt			Sand			Grus																																											
	Fin	Middels	Grov	Fin	Middels	Grov	Fin	Middels																																										
Prøvenr.	Vegnr	Dybde	Jordart	Cu	TG																																													
1	FV707	0.0 - 1.0	Grusig sand	10.2	T2																																													
2B	FV707	1.0 - 1.8	Siltig leire	*11.7	T4																																													
4D	FV707	12.0 - 12.8	Siltig leire	*8.4	T4																																													
Sted: _____			Dato: _____			Signatur: _____																																												



Merknader, Kornkurve

Serienr. 1, Hullnr. 52

08.09.2014	Prøve 1: Brun, løs, tørr sandmasse med innslag av fin og middels grus
08.09.2014	Prøve 2: Prøvelengde- 40 cm. Brun fast forstyrret masse, blanding av sand, silt og leire.
08.09.2014	Prøve 3: Mistet. Kraftig deformert sylinder.
08.09.2014	Prøve 4: Grå, myk, ren og jevn leiremasse. Siltig.

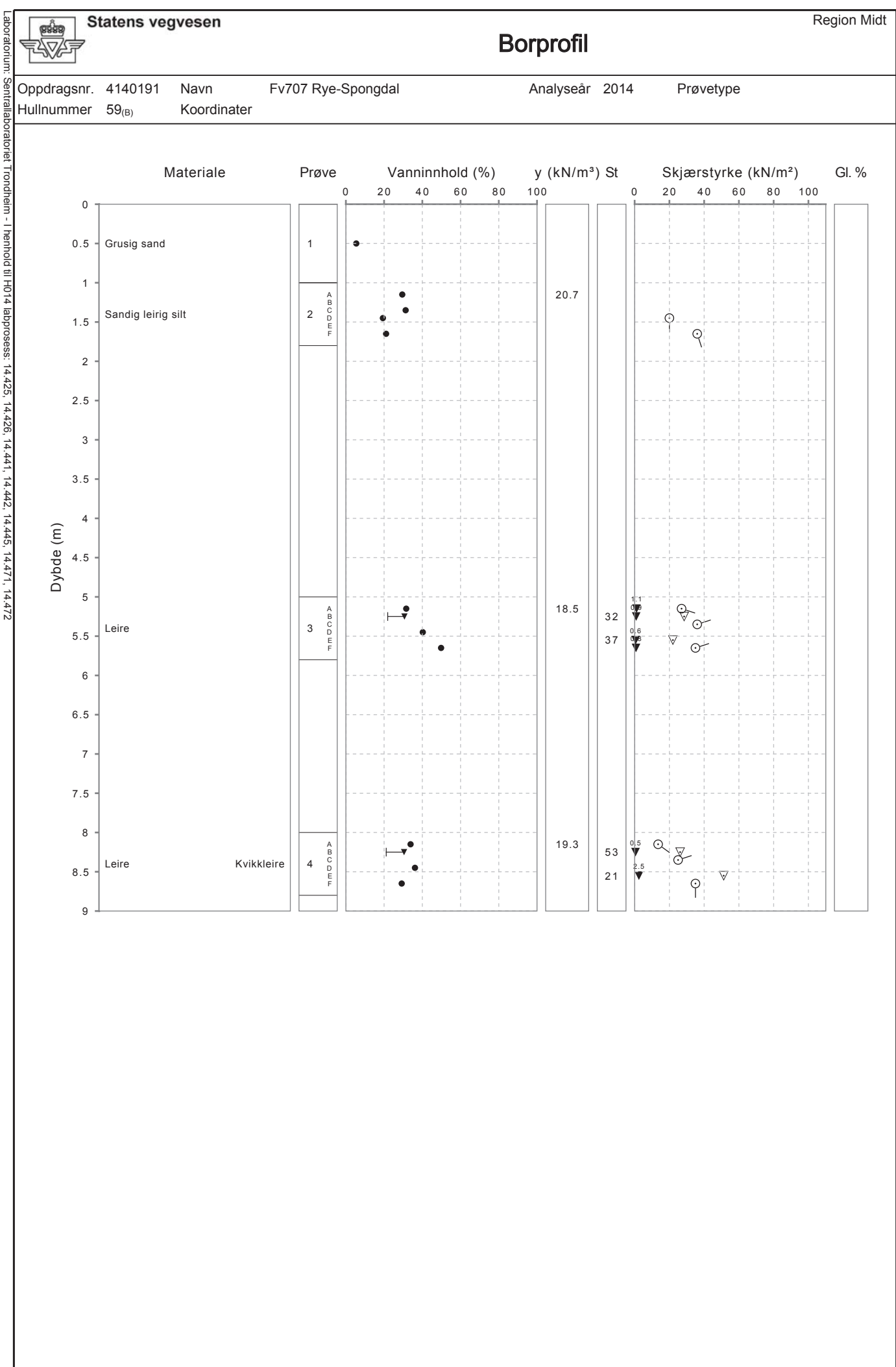


Borprofil

Oppdragsnr. 4140191 Navn Fv707 Rye-Spongdal
Hullnummer 59(B) Koordinater

Analyseår 2014

Prøvetype





Statens vegvesen

Region Midt

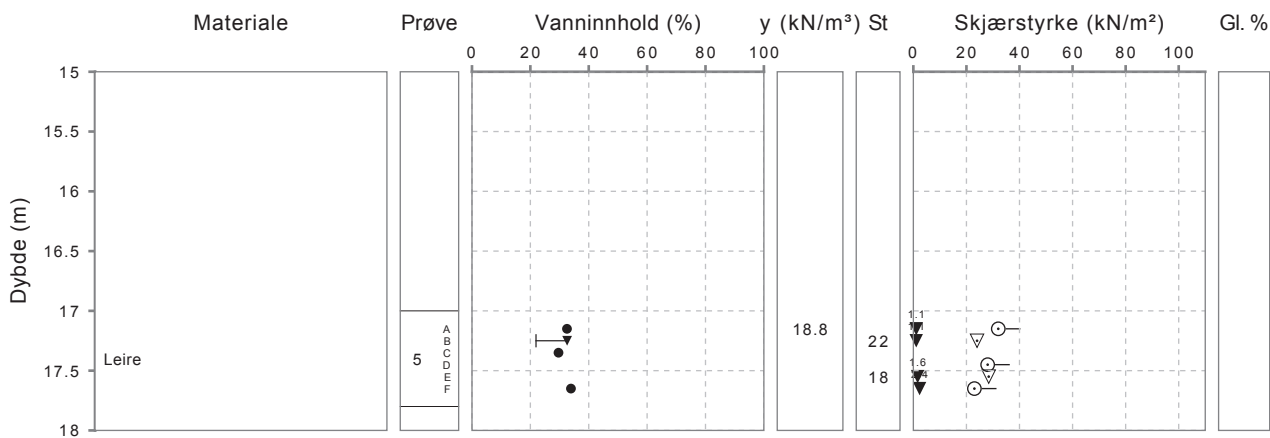
Borprofil

Oppdragsnr. 4140191 Navn Fv707 Rye-Spongdal
Hullnummer 59(B) Koordinater

Analyseår 2014

Prøvetype

Prøveoppdrag: (B) Byggherre (E) Entreprenør (P) Produsent





Merknader, Borprofil

Serienr. 2, Hullnr. 59

05.09.2014	Prøve 1: Brun, løs, tørr sandmasse med innslag av middels grus. Noen planterester.
05.09.2014	Prøve 2: Brun, meget forstyrret masse av sand, silt og leire med innslag av fin og middels grus. Mye oksidert. Fra og med E mot F- tørrskorpeleire. Humusrester.
05.09.2014	Prøve 3: Grå, myk, ren og jevn leiremasse.
05.09.2014	Prøve 5: Grå, myk, ren og jevn leiremasse. Delvis forstyrret ved overflaten.
08.09.2014	Prøve 4: Grå, myk, ren og jevn leiremasse.



Region Midt

Borprofil, tabell

Oppdragsnr. 4140191

Hullnummer 59^(B)

Navn

Koordinater

Fv707 Rye-Spongdal

Analysesår

2014

Prøvetype

Prøve	Delpørve	Dybde [m]	Jordart	Densitet [kN/m³]	Humusinnhold [%]	Vanninnhold W [%]	Flytegrense W _L [%]	Utrullingsgrense W _P [%]	Enkelt trykkforsøk C _{wuc} [kPa]	Deforasjon [%]	Konus, Omsett, C _{ufc} [kPa]	Sensitivitet, St
1		0.0 - 1.0	Grusig sand			5.4						
2	A	1.15		20.7		29.5						
2	B	1.25										
2	C	1.35				31.3						
2	D	1.45	Sandig leirig silt			19.4			20.0	10		
2	E	1.55										
2	F	1.65				21.0			36.0	9		
3	A	5.15		18.5		31.6			27.0	6	1.1	
3	B	5.25				31	22			28.5	0.9	32
3	C	5.35							36.0	4		
3	D	5.45	Leire			40.2						
3	E	5.55								22.0	0.6	37
3	F	5.65				49.8			35.0	4		
4	A	8.15		19.3		33.9			13.5	7		
4	B	8.25				30	21			26.2	0.5	53
4	C	8.35							25.0	4		
4	D	8.45	Leire			36.2						
4	E	8.55								51.3	2.5	21
4	F	8.65				29.2			35.0	10		
5	A	17.15		18.8		32.5			32.0	5	1.1	
5	B	17.25				33	22			24.0	1.1	22
5	C	17.35	Leire			29.6						
5	D	17.45							28.0	5		
5	E	17.55							28.4	1.6	18	
5	F	17.65				33.9			23.0	5		2.4

Merknader, Borprofil, tabell

Seriens 2, Hullnr. 59

05.09.2014	Prøve 1: Brun, løs, torr sandmasse med innslag av middels grus. Noen planterester.
05.09.2014	Prøve 2: Brun, meget forstyrret masse av sand, silt og leire med innslag av fin og middels grus. Mye oksident. Fra og med E mot F-tørskopelære. Humus rester.
05.09.2014	Prøve 3: Grå, myk, ren og jevn leiremasse.
05.09.2014	Prøve 5: Grå, myk, ren og jevn leiremasse. Delvis forstyrret ved overflatene.
08.09.2014	Prøve 4: Grå, myk, ren og jevn leiremasse.



Statens vegvesen

Region Midt

Kornkurve

Oppdragsnr.	4140191	Oppdragsnavn	Fv707 Rye-Spongdal
Prosjektnr.	404927	Prosjektnavn	MP GSV Rye-Spongdal
Ansvarsområdenr.	45290	Ansvarsområdenavn	ST Miljøpakke Trondheim - avd Sør-Trøndel

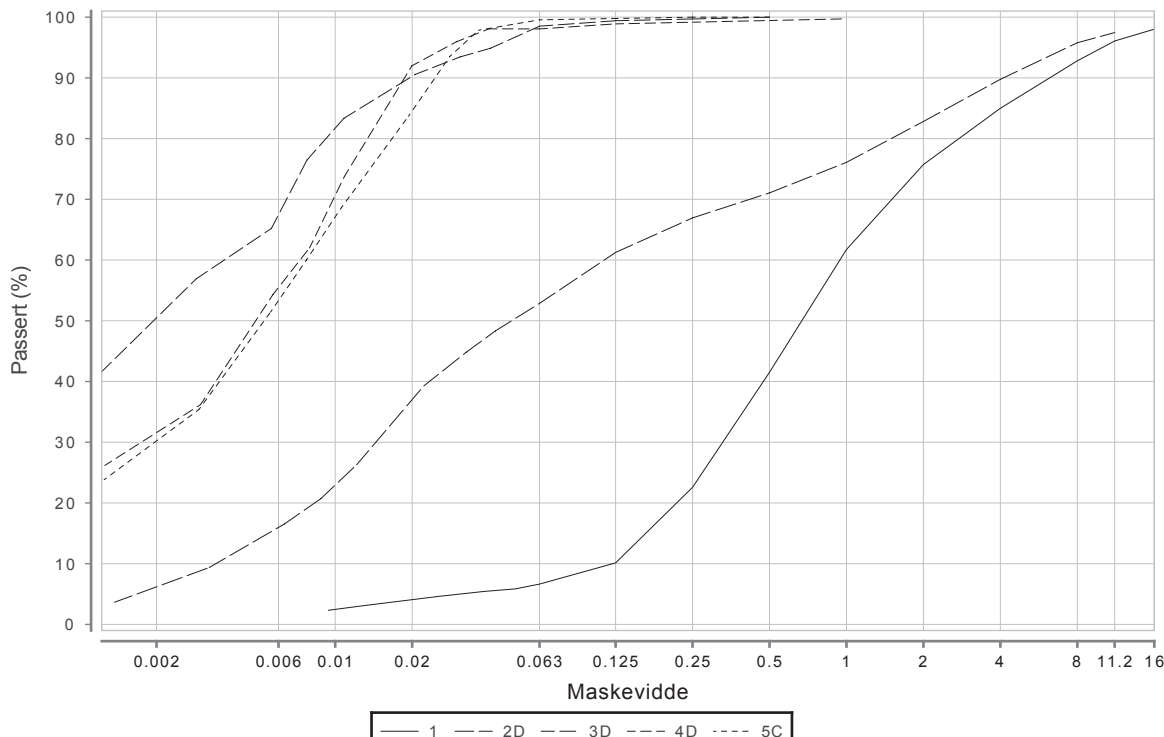
Serienr.: 2_(B), Hullnr.: 59, koordinater:

Prøvenr.	1	2D	3D	4D	5C
Uttaksdato	04.08.2014	04.08.2014	04.08.2014	04.08.2014	04.08.2014
Analysetype	Våtsikt	Våtsikt	Våtsikt	Våtsikt	Våtsikt
Humus (Glødetap)					
Vanninnhold (%)	5.4	19.4	40.2	36.2	29.6
% <63µm av <delsikt	6.6 (22,4 mm)	52.9 (22,4 mm)	98.5 (22,4 mm)	98.1 (22,4 mm)	99.6 (22,4 mm)
% <20µm av <delsikt	4.1 (22.4 mm)	37.0 (22.4 mm)	90.3 (22.4 mm)	92.0 (22.4 mm)	84.6 (22.4 mm)

Siktedata - Passert (%)

Pr.nr.	μm				mm					
	63	125	250	500	1	2	4	8	11.2	16
1	6.6	10.1	22.6	41.5	61.7	75.7	85.0	92.8	96.1	98.0
2D	52.9	61.3	66.9	71.1	76.1	82.8	89.8	95.8	97.5	
3D	98.5	99.4	99.7	100.0						
4D	98.1	98.9	99.2	99.5	99.7					
5C	99.6	99.8	100.0	100.0						

Leire	Silt			Sand			Grus	
	Fin	Middels	Grov	Fin	Middels	Grov	Fin	Middels



Prøvenr.	Vegnr	Dybde	Jordart	Cu	TG
1	FV707	0.0 - 1.0	Grusig sand	7.7	T2
2D	FV707	1.0 - 1.8	Sandig leirig silt	33.0	T4
3D	FV707	5.0 - 5.8	Leire	0.0	T3
4D	FV707	8.0 - 8.8	Leire	0.0	T4
5C	FV707	17.0 - 17.8	Leire	*10.0	T4

Sted:

Dato:

Signatur:



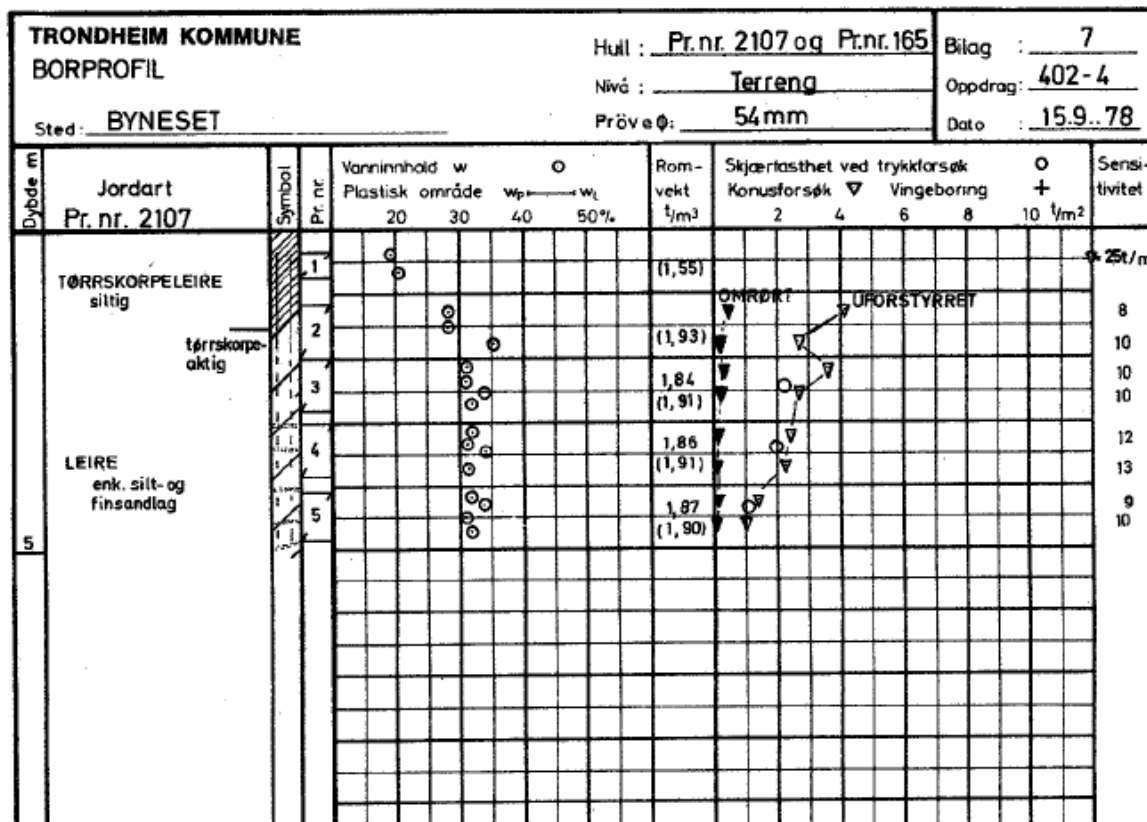
Merknader, Kornkurve

Serienr. 2, Hullnr. 59

05.09.2014	Prøve 1: Brun, løs, tørr sandmasse med innslag av middels grus. Noen planterester.
05.09.2014	Prøve 2: Brun, meget forstyrret masse av sand, silt og leire med innslag av fin og middels grus. Mye oksidert. Fra og med E mot F- tørrskorpeleire. Humusrester.
05.09.2014	Prøve 3: Grå, myk, ren og jevn leiremasse.
05.09.2014	Prøve 5: Grå, myk, ren og jevn leiremasse. Delvis forstyrret ved overflaten.
08.09.2014	Prøve 4: Grå, myk, ren og jevn leiremasse.

Bilag 4 Del C – Lab resultat fra Rapport R402-4 av Trondheim kommune

Prøve i punkt nr. 1_R402

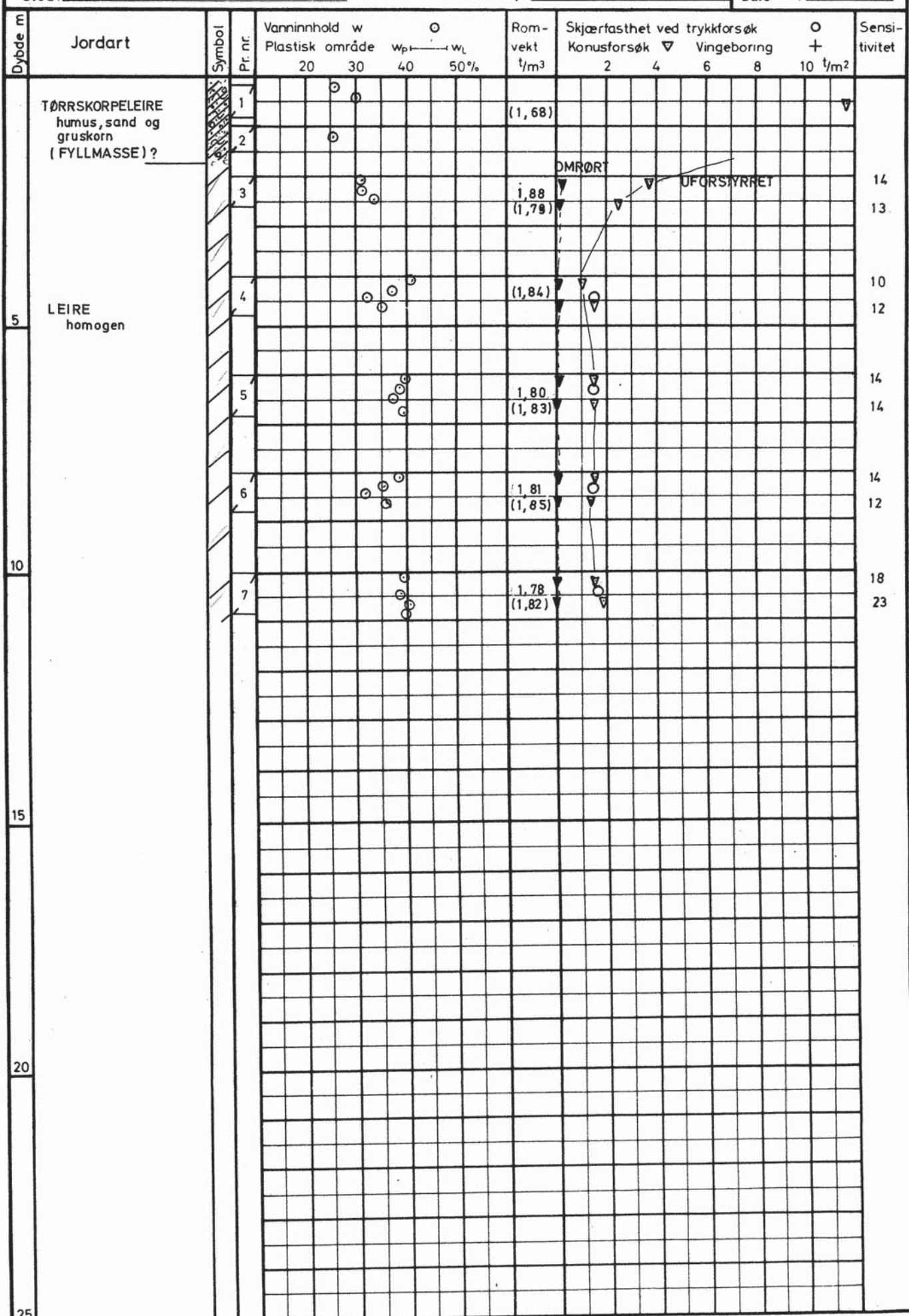


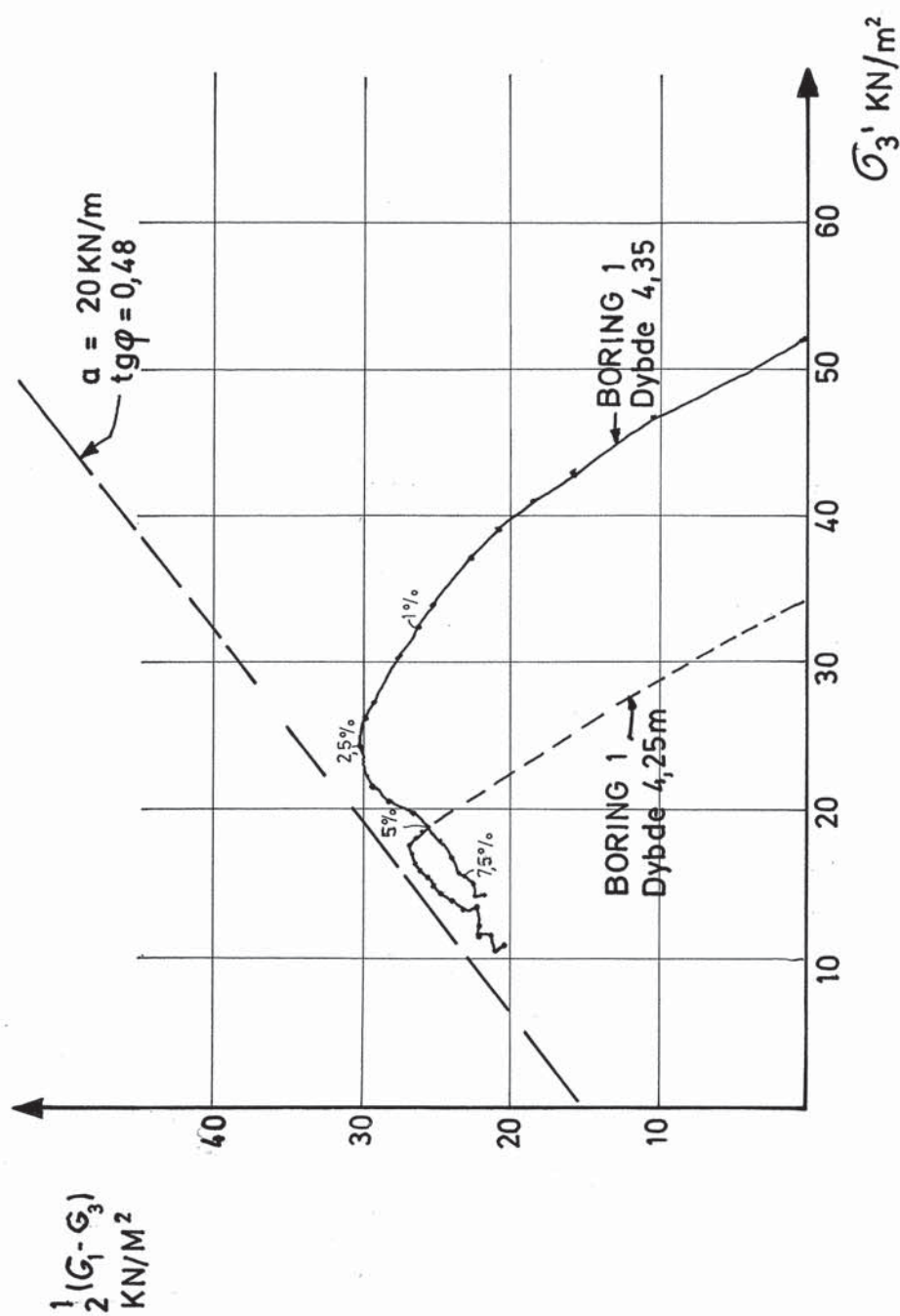
Bilag 4 Del D – Lab resultat fra Rapport R558 av Trondheim kommune

Prøver i punkt nr. 1_R558, 3_R558 og B_R558

TRONDHEIM KOMMUNE
BORPROFIL
Sted: HAFELLBEKKENHull : 1Bilag : 9

Nivå :

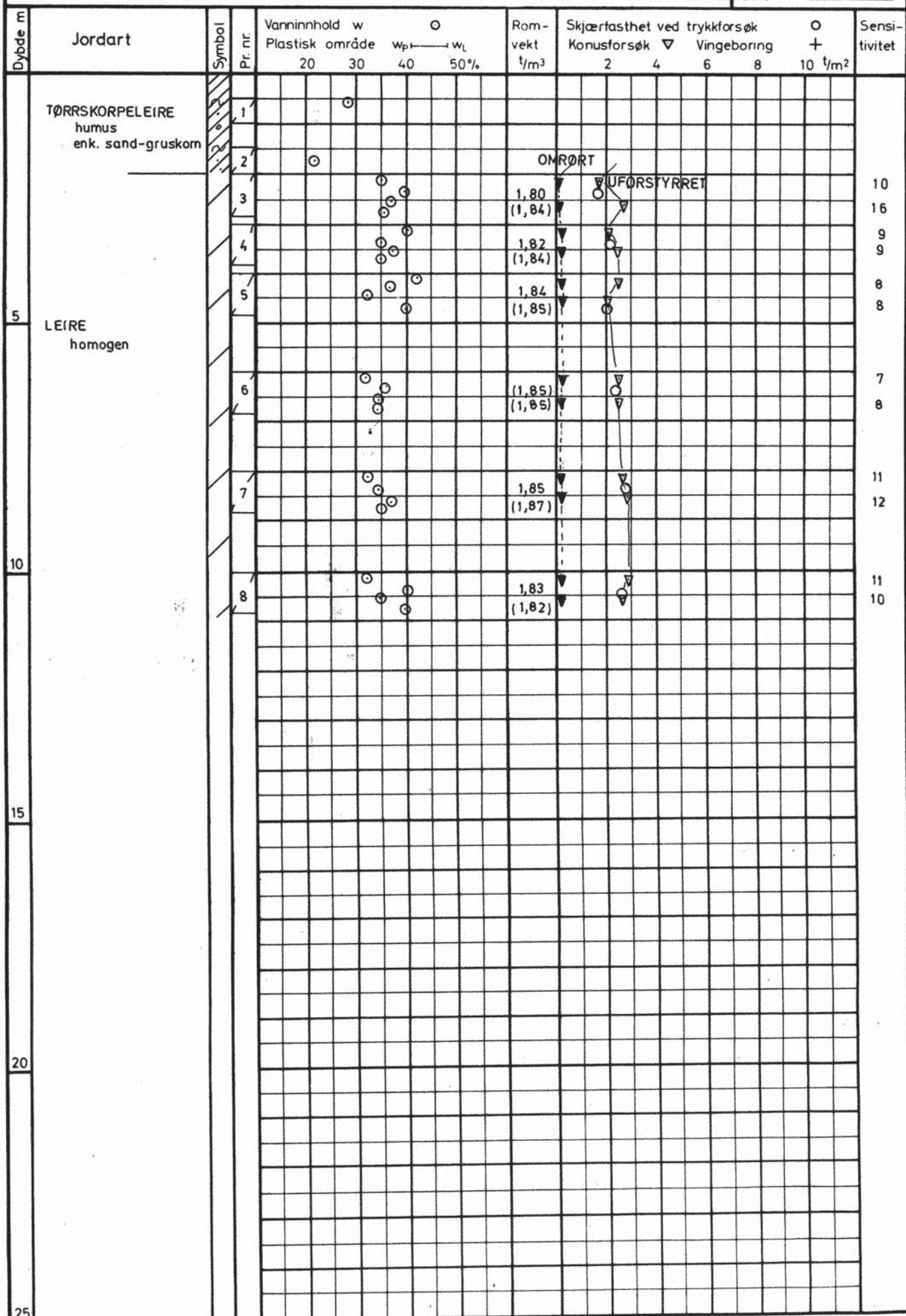
Oppdrag : 558Prøveφ: 54mmDato : 4.5..81

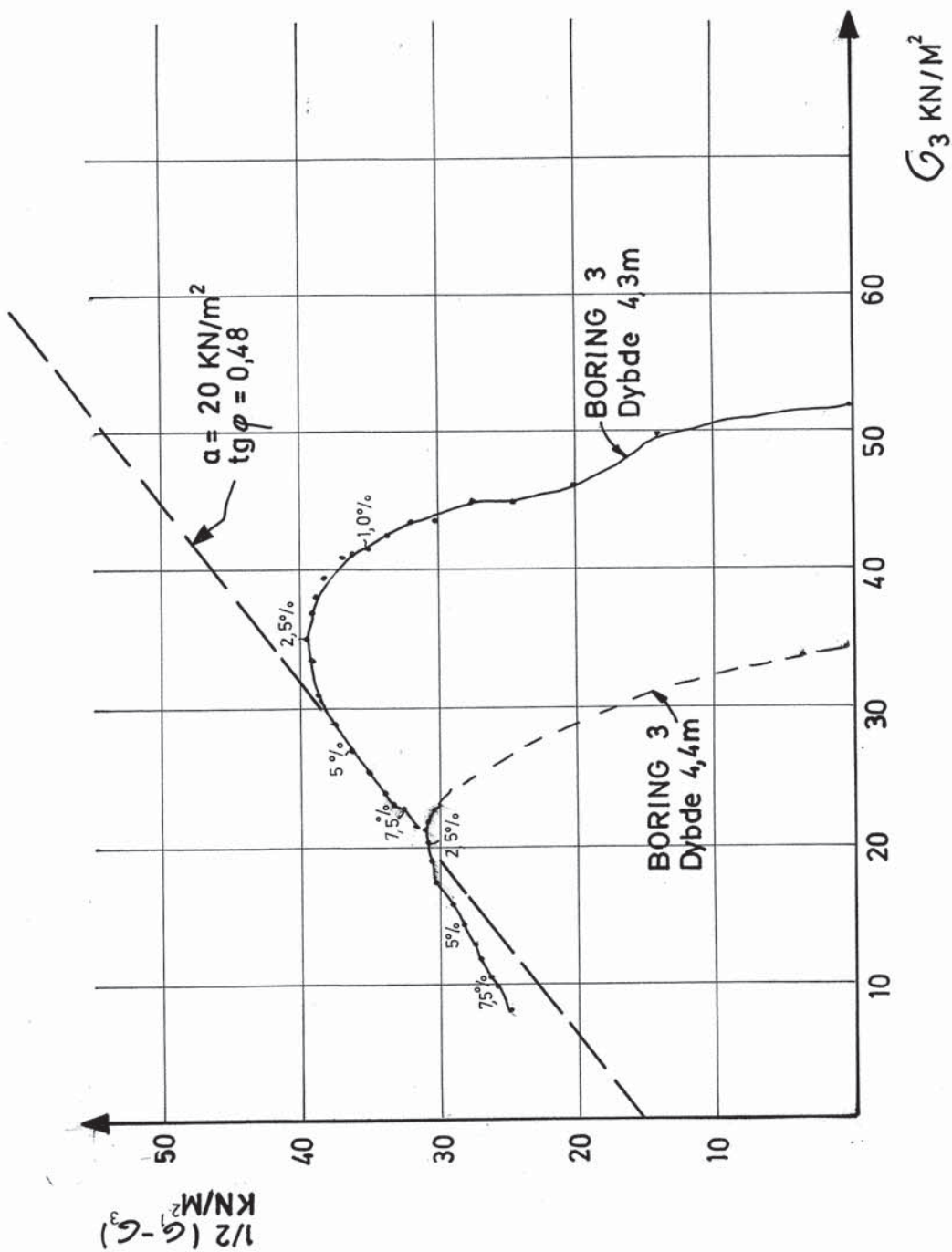


TRONDHEIM KOMMUNE GEOTEKNIK SEKSJON	HAFELLBEKKEN	MÅLESTOKK	
	Treaksialforsøk BORING 1	TEGNET AV K. T.	RAPP NR. 558
	DATO 14.6..81	BILAG 14	

TRONDHEIM KOMMUNE
BORPROFIL
Sted: HAFELLBEKKENHull : 3Bilag : 10

Nivå : _____

Oppdrag: 558Prøveφ: 54mmDato : 6.5.81



TRONDHEIM KOMMUNE
GEOTEKNIK SEKSJON

HAFELLBEKKEN

Treaksialforsøk
BORING 3

MÅLESTOKK

TEGNET AV
K.T.

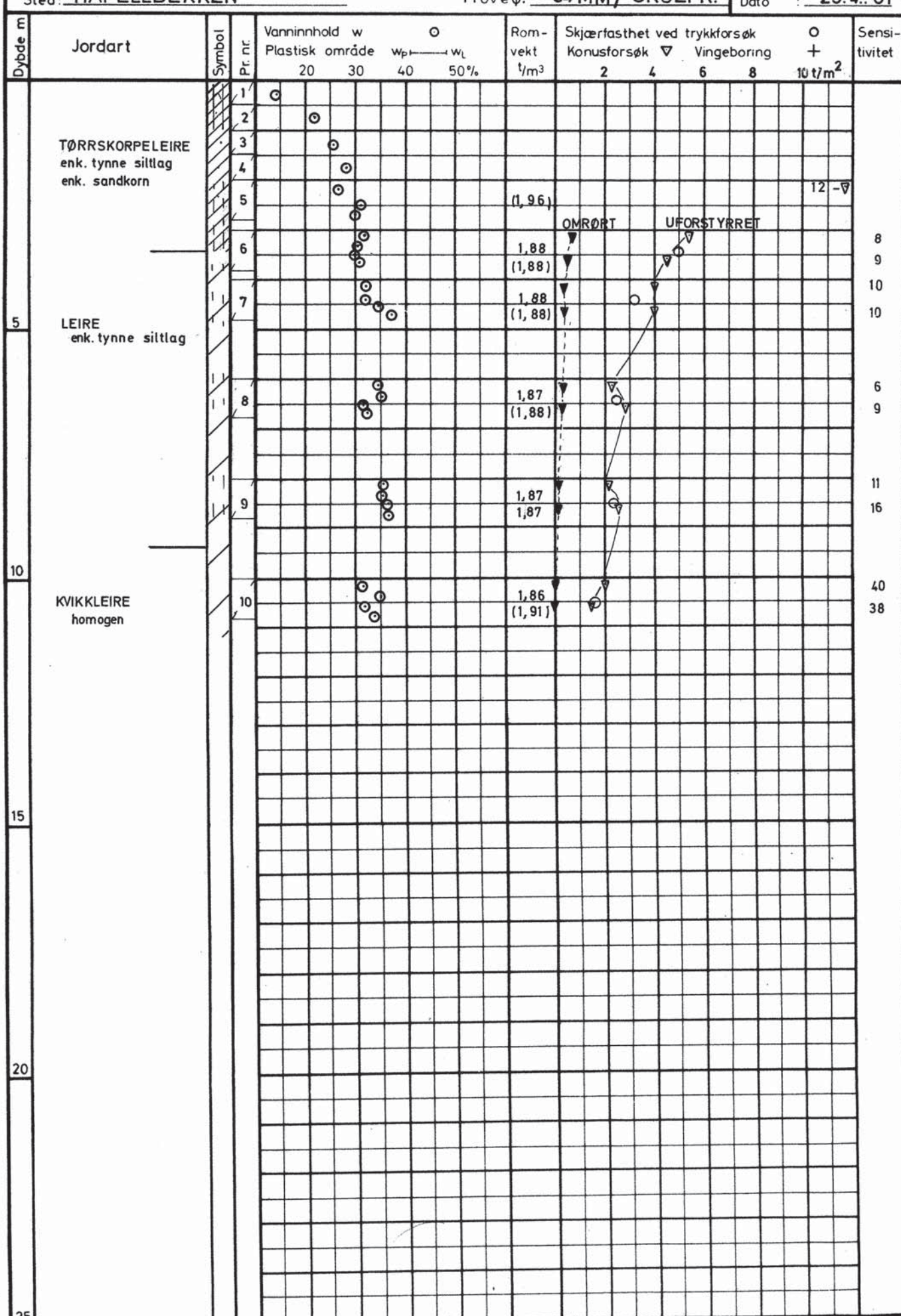
RAPP NR.
558

DATO
14.6..81

BILAG
15

TRONDHEIM KOMMUNE
BORPROFIL
Sted: HAFELLBEKKENHull : BBilag : 11

Nivå :

Oppdrag: 558Prøveφ: 54 MM / SRUEPR.Dato : 23.4..81

Bilag 4 Del E – Lab resultat fra Rapport R716 av Trondheim kommune

Prøver i punkt nr. 1_R716, 3_R716 og 5_R716

TRONDHEIM KOMMUNE, geoteknisk seksjon

BORPROFIL

Sted: BYNESET ALDERSHEIM

BORING: 1

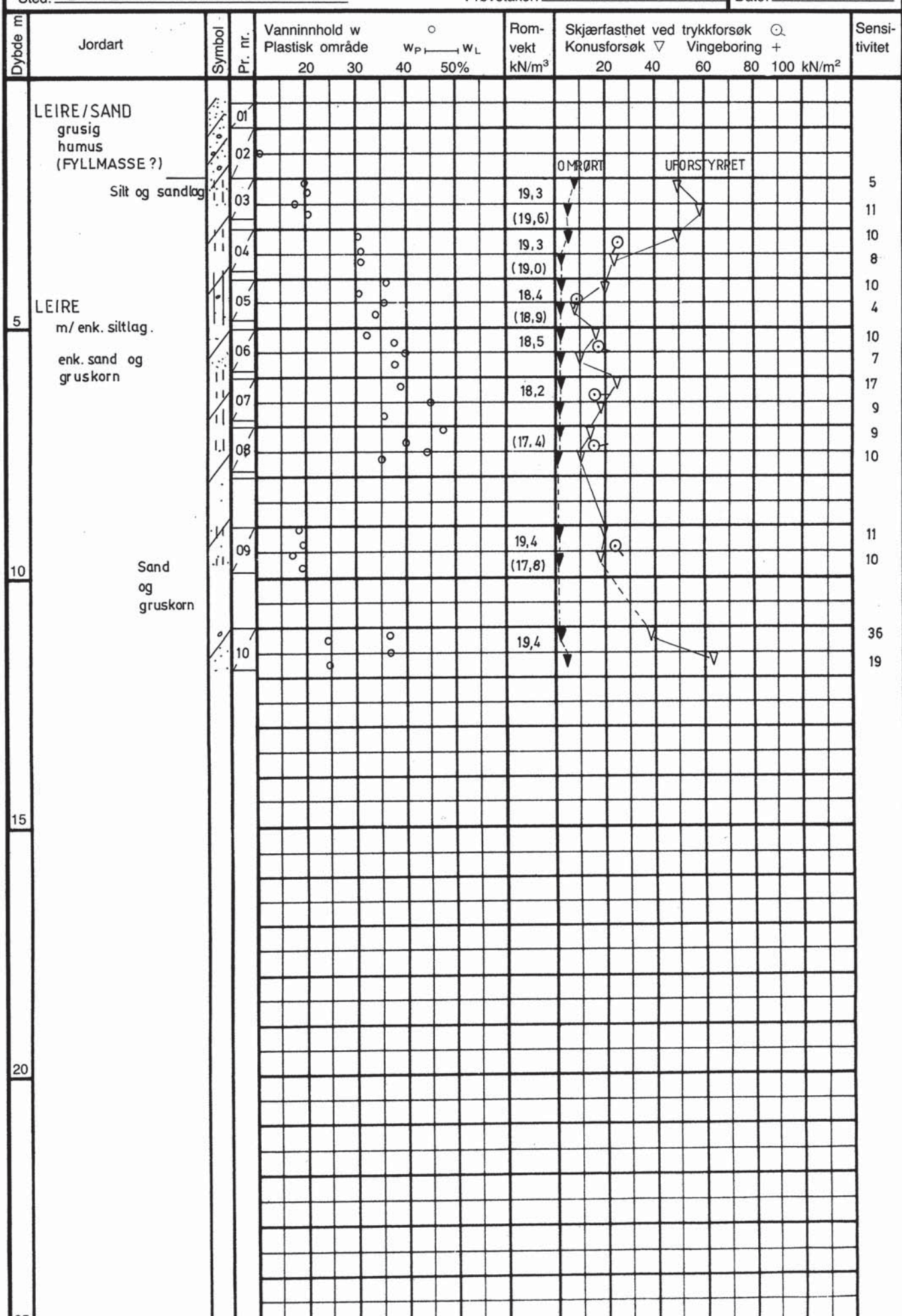
BILAG: 4

Nivå: _____

Oppdrag: R.716-2

Prøvetaker: 54 mm

Dato: 27.09.89



TRONDHEIM KOMMUNE, geoteknisk seksjon BORPROFIL

Sted: BYNESET ALDERSHEIM

• BORING: 3

Nivå: terreng

Prøvetaker: Skrue / 54mm.

BILAG: 5

Oppdrag: R. 716

Dato: 7. 11.. 87

Dybde m

Dybde m	Jordart	Symbol	Pr. nr.	Vanninnhold w Plastisk område					Rom- vekt kn/m ³	Skjærfasthet ved trykkforsøk Konusforsøk ▽ Vingeboring +					Sensi- tivitet
				20	30	40	50%	WP		WL	20	40	60	80	
5	SAND, SILT, GRUS. humusholdig (FYLLMASSE ?)	matjord	1	○											
	SILT, leirig sand-og gruskorn		2	○											
			3	○											
			4	○											
			5	○	○										
		siltig	6	○	○										
		LEIRE enk. små siltlag	7	○	○	○									
			8	○	○	○									
		sandlag	9	○	○	○									
		SAND m/lag av leire	10	○	○	○									
	10	LEIRE siltig	11	○	○	○									
		SILT leirig enk. sand-og gruskorn skjellrester	12	○	○	○									
	15	KVIKKLEIRE m/enk. sand-og gruskorn	13	○	○	○									
	20		14	○	○	○									
25									19,2	PRØVE FORSTYRRET					

Legend:

- Vanninnhold w: 20, 30, 40, 50% (dots)
- Romvekt kn/m³: WP, WL (horizontal line)
- Skjærfasthet ved trykkforsøk Konusforsøk ▽: 20, 40, 60, 80, 100 kn/m² (triangles)
- Skjærfasthet ved Vingeboring +: 20, 40, 60, 80, 100 kn/m² (plus signs)
- ONRØRT (Untested)
- UFORSTYRRET (Unstabilized)

TRONDHEIM KOMMUNE, geoteknisk seksjon BORPROFIL

Sted: BYNESET ALDERSHEIM

BORING: 5

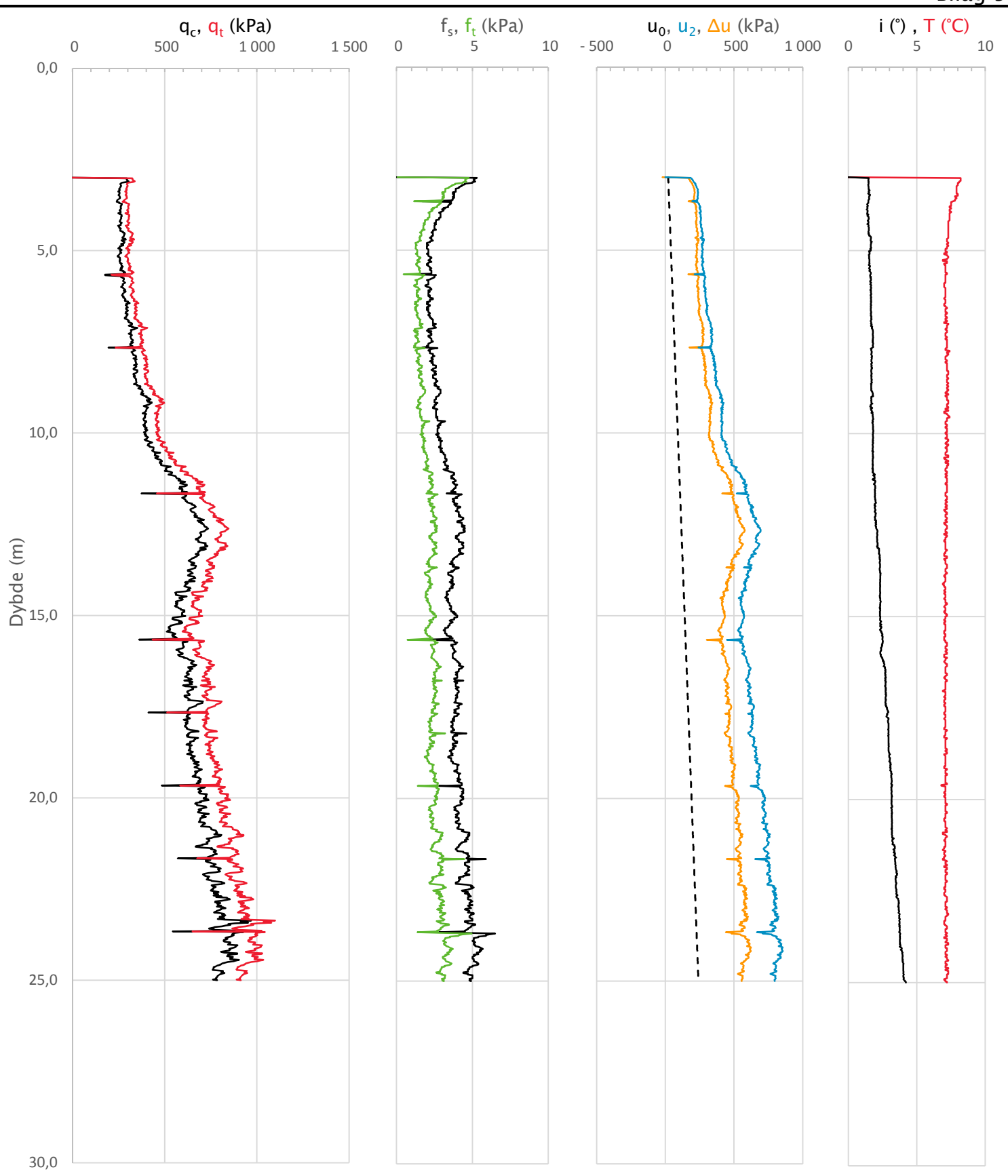
Nivå: terreng

Prøvetaker: Skrue / 54mm

BILAG: 6

Oppdrag: R. 716

Dato: 9.11..8'

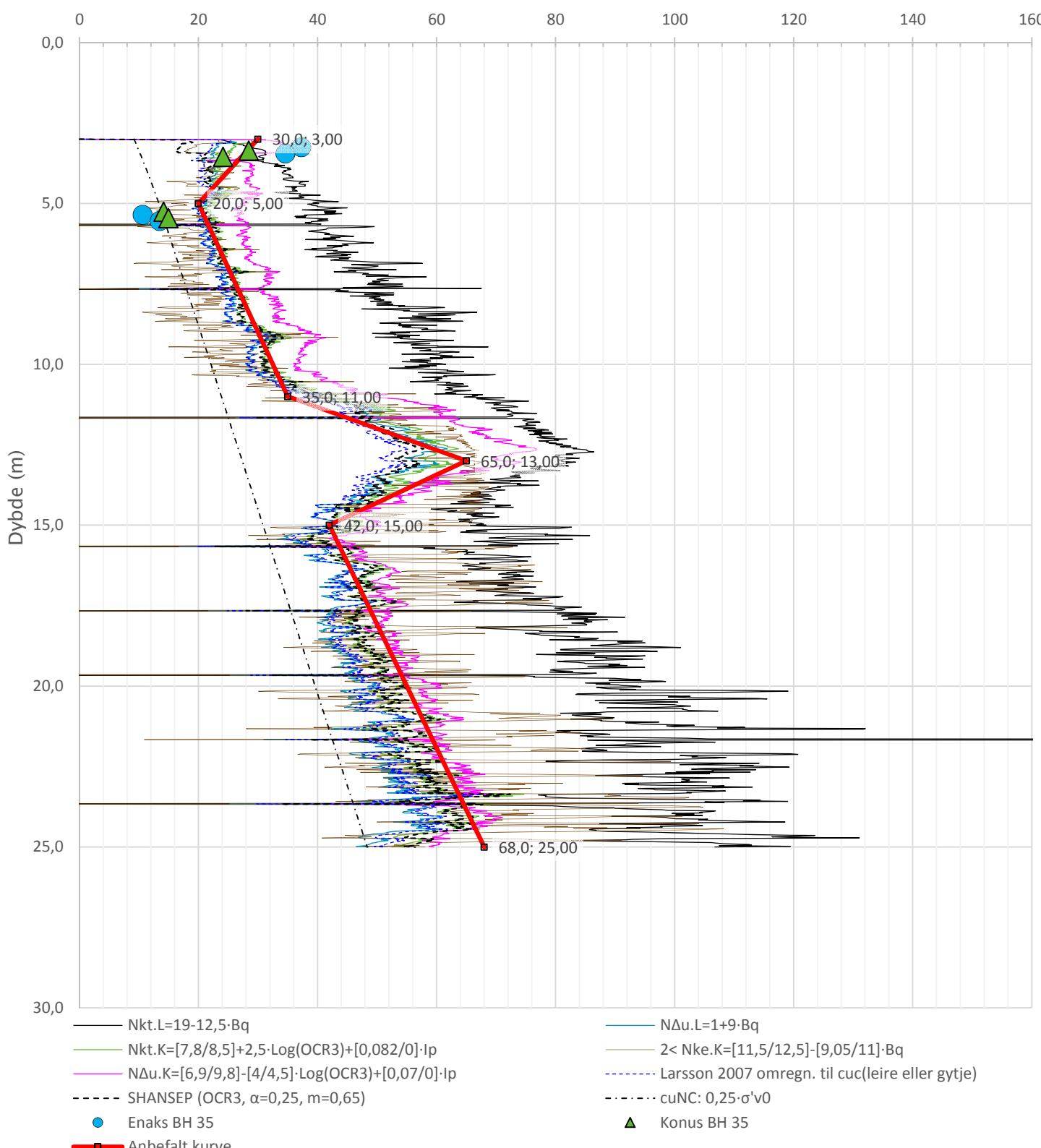


Prosjekt Fv. 707 Berg – Høstadkorsen G/S-vei	Borhull 35
Innhold Måledata og korrigerte måleverdier	Sondenummer 4364
 Statens vegvesen	Utført RIKBRY
	Kontrollert LARSOL
Region Midt	Godkjent RIKBRY
	Anvend.klasse 1
	Date sondering 30.01.2018
	Revisjon
	Rev. dato
	Figur 1

Anisotropiforhold i figur:

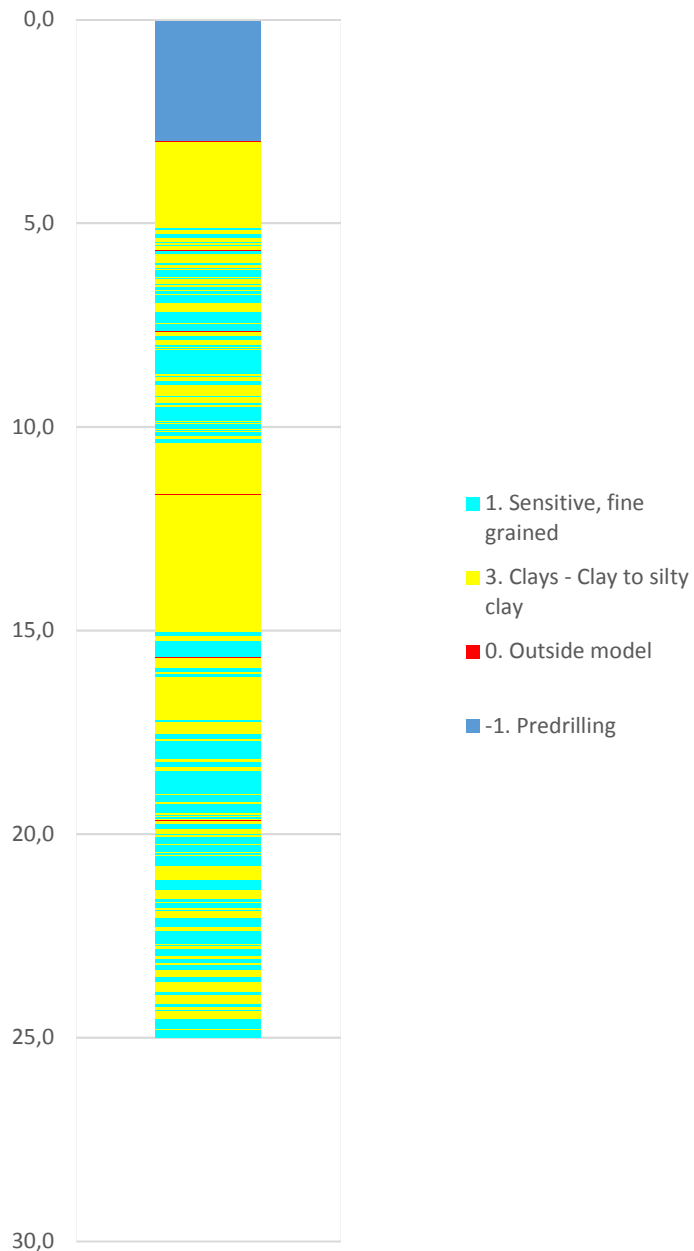
Enaks BH 35: cuuc/cuctu = 0,630

Konus BH 35: cufc/cuctu = 0,630

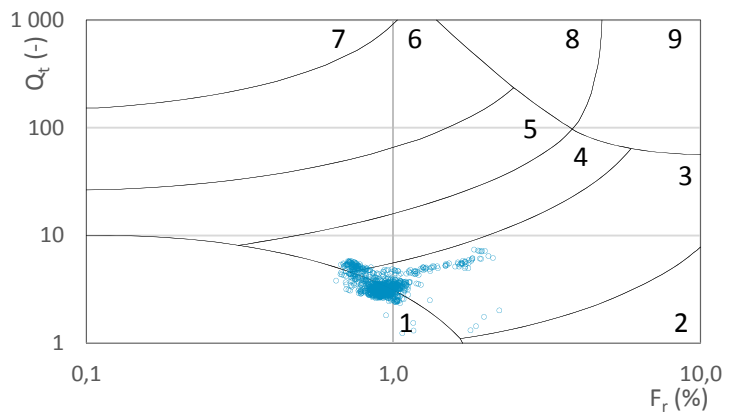
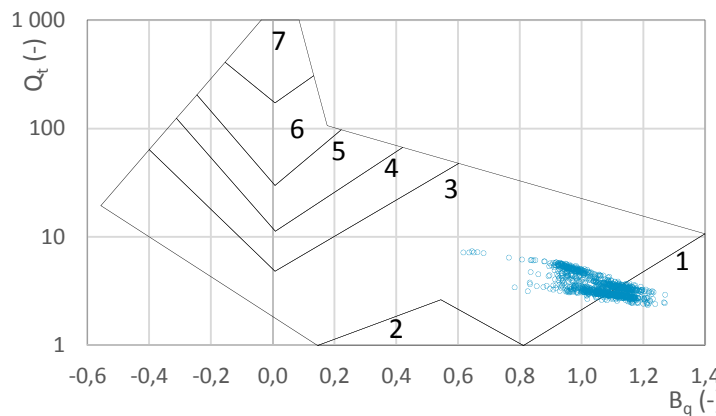
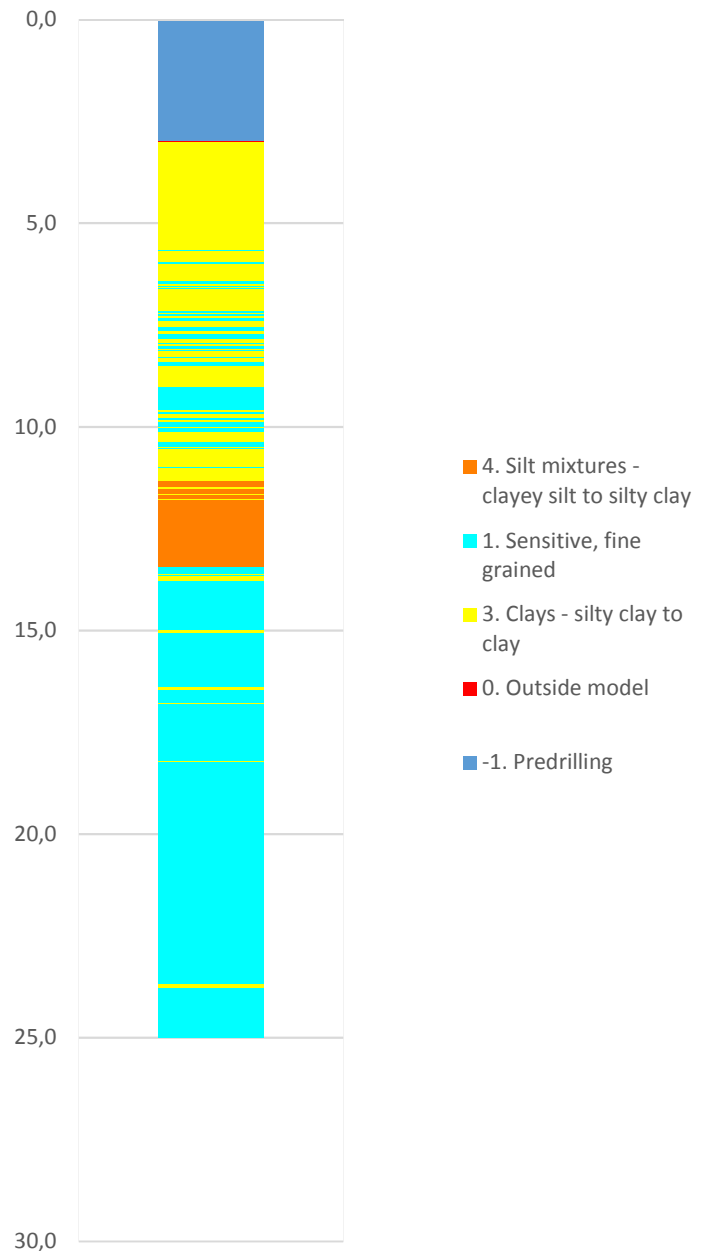
Udrenert aktiv skjærfasthet, c_{ucptu} (kPa)

Prosjekt Fv. 707 Berg – Høstadkorsen G/S-vei	Borhull 35
Innhold	Sondenummer
Tolkning av udrenert aktiv skjærfasthet	4364
 Statens vegvesen	Utført RIKBRY
Kontrollert LARSOL	
Region Midt	Godkjent RIKBRY
Anvend.klasse 1	
Figur 2	
Date sondering 30.01.2018	
Revisjon Rev. dato	

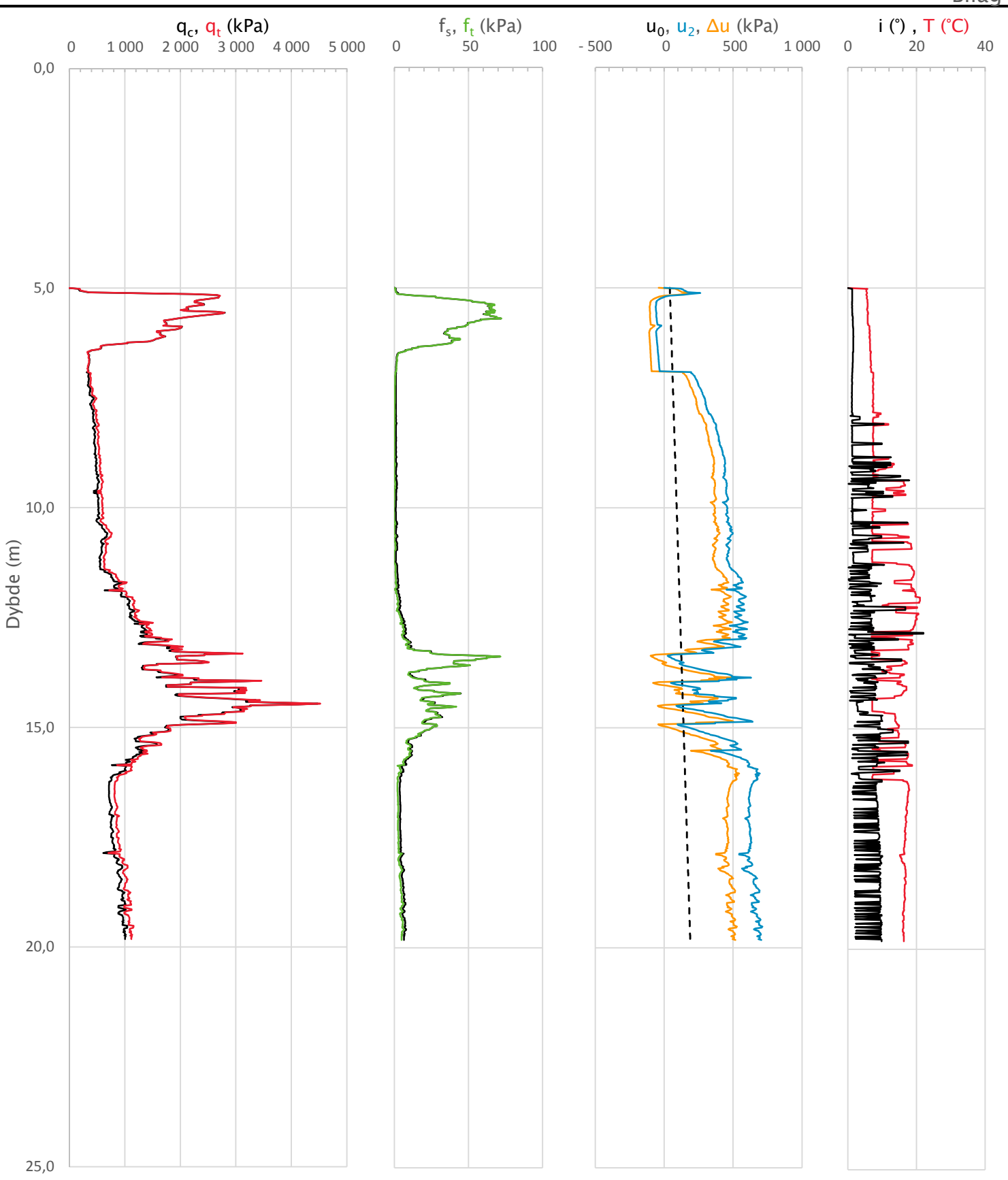
Robertson 1990 (Bq-Qt)



Robertson 1990 (Fr-Qt)



Prosjekt Fv. 707 Berg – Høstadkorsen G/S-vei	Borhull 35
Innhold	Sondenummer
Jordartsklassifisering etter Robertsson 1990	4364
 Statens vegvesen	Utført RIKBRY Kontrollert LARSOL Godkjent RIKBRY Anvend.klasse 1
Region Midt	Region Midt Dato sondering 30.01.2018 Revisjon Rev. dato
	Figur 3

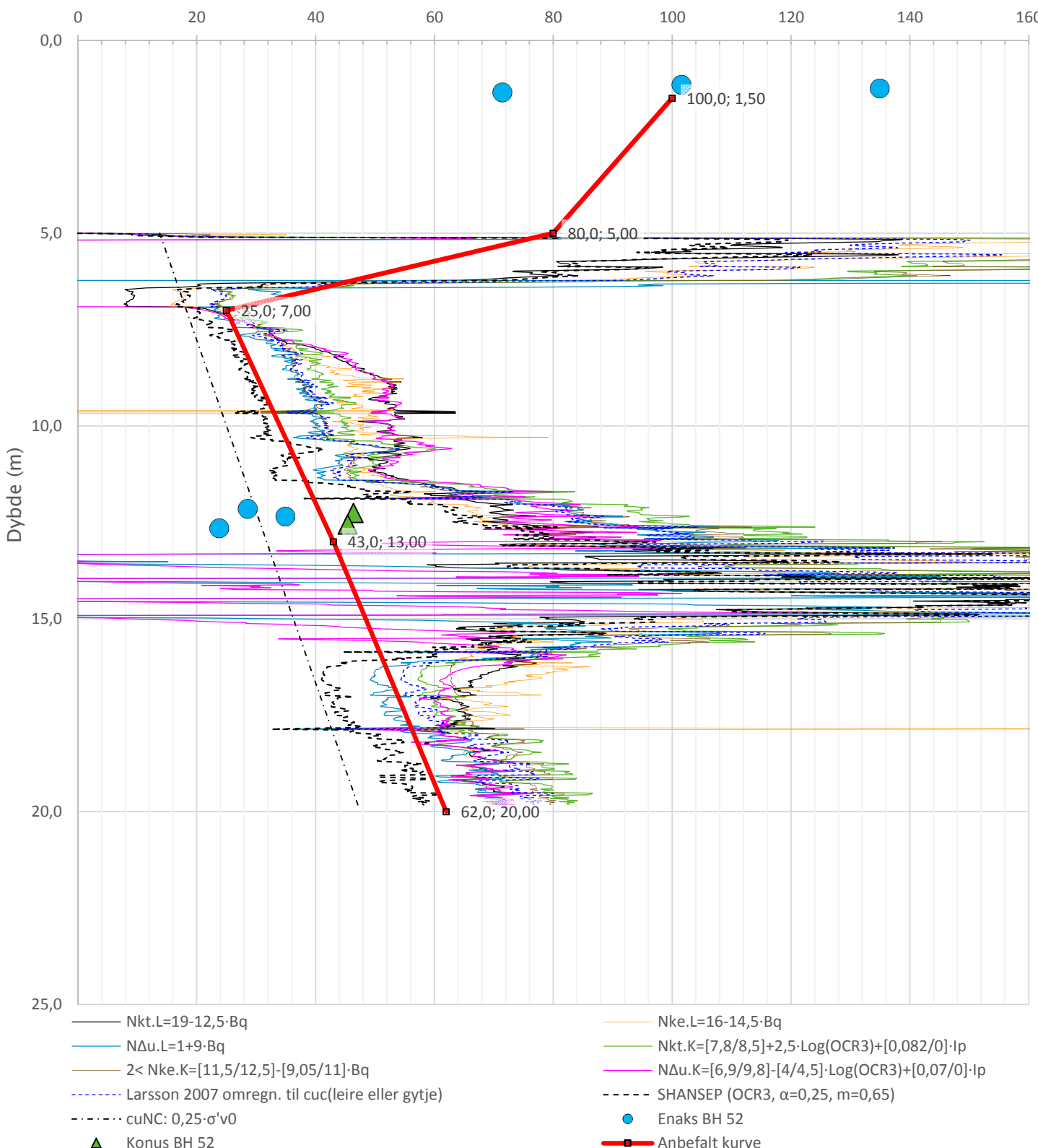


Prosjekt				Borhull
Fv. 707 Berg -Høstadkorsen G/S-vei				52
Innhold				Sondenummer
Måledata og korrigerte måleverdier				4364
 Statens vegvesen	Utført RIKBRY	Kontrollert LARSOL	Godkjent RIKBRY	Anvend.klasse 1
Region	#REF!	Data sondering 18.01.2018	Revisjon	Figur 1
			Rev. dato	

Anisotropiforhold i figur:

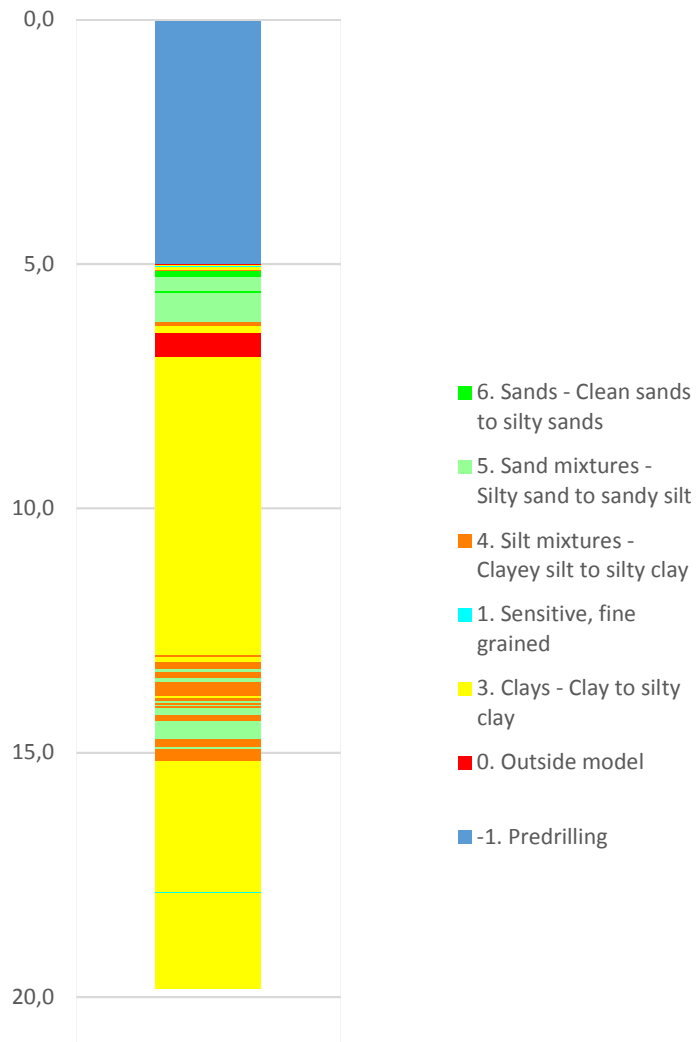
Enaks BH 52: cuuc/cucptu = 0,630

Konus BH 52: cufc/cucptu = 0,630

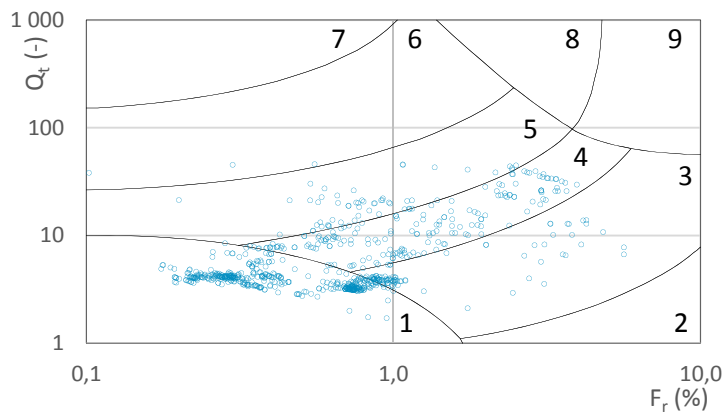
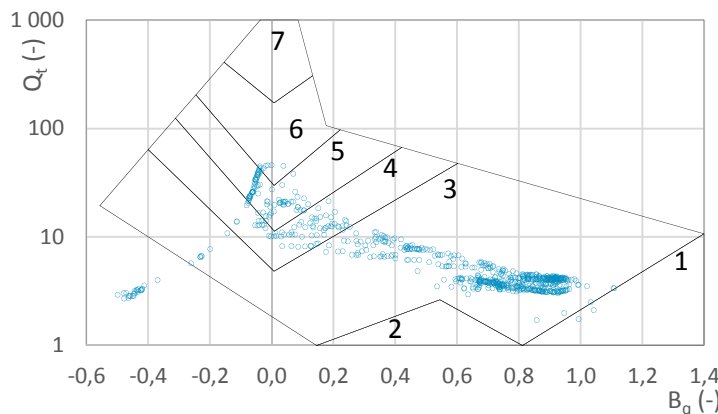
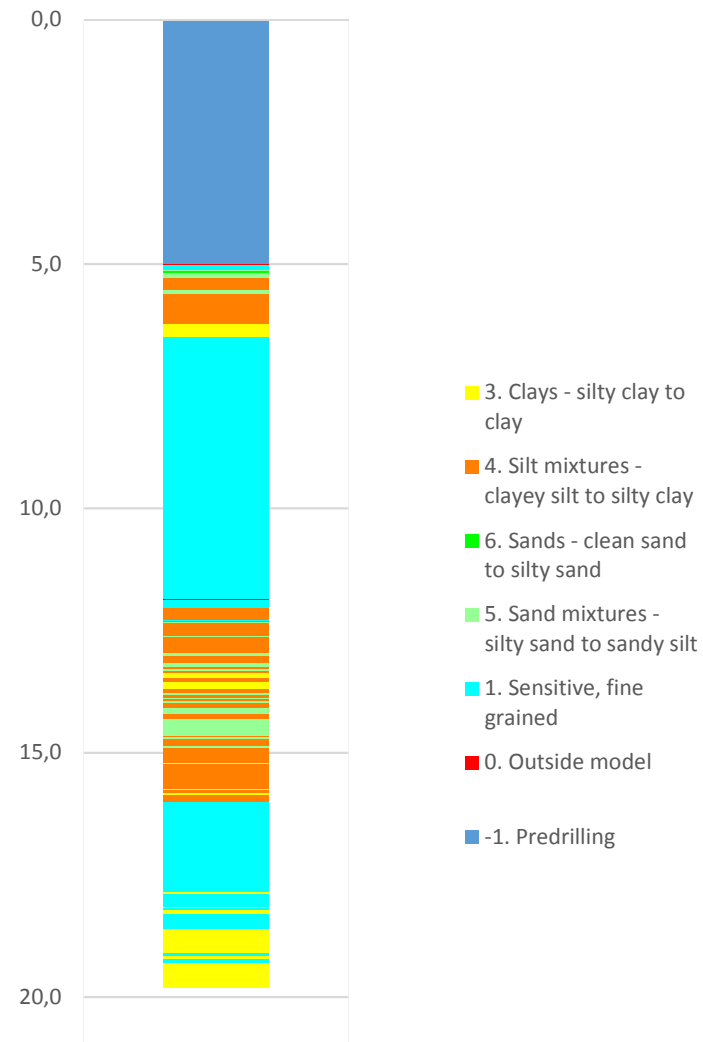
Udrenert aktiv skjærfasthet, c_{ucptu} (kPa)

Prosjekt Fv. 707 Berg -Høstadkorsen G/S-vei	Borhull 52
Innhold	Sondenummer
Tolkning av udrenert aktiv skjærfasthet	4364
 Statens vegvesen	Utført RIKBRY Kontrollert LARSOL Godkjent RIKBRY Anvend.klasse 1
Region #REF!	Date sondering 18.01.2018 Revisjon Rev. dato
	Figur 2

Robertson 1990 (Bq-Qt)



Robertson 1990 (Fr-Qt)



Prosjekt

Fv. 707 Berg –Høstadkorsen G/S-vei

Borhull

52

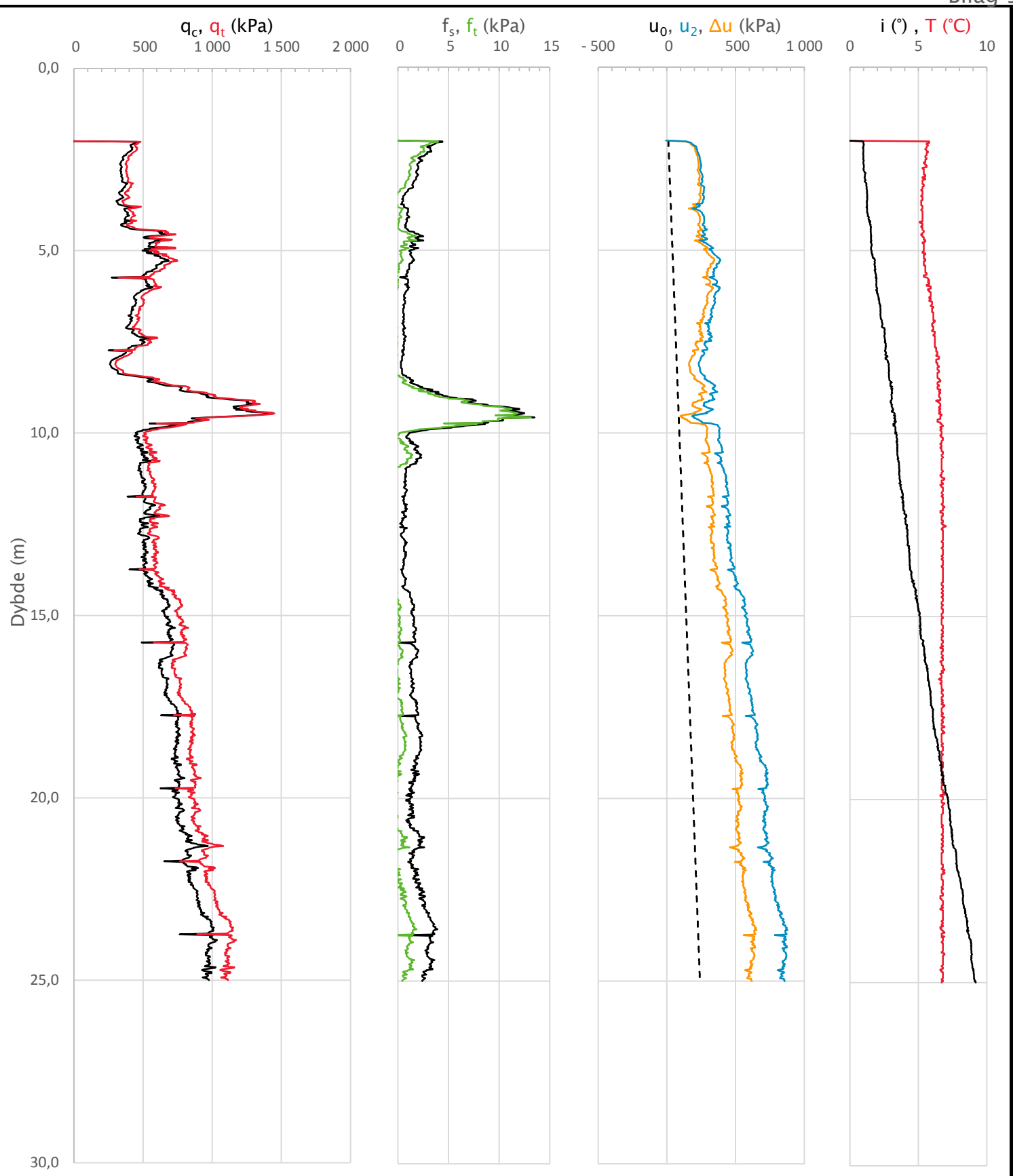
Innhold

Jordartsklassifisering etter Robertsson 1990

Sondenummer

4364

 Statens vegvesen	Utført	Kontrollert	Godkjent	Anvend.klasse
	RIKBRY	LARSOL	RIKBRY	1
Region	#REF!	Dato sondering	Revisjon	Figur
		18.01.2018	Rev. dato	3

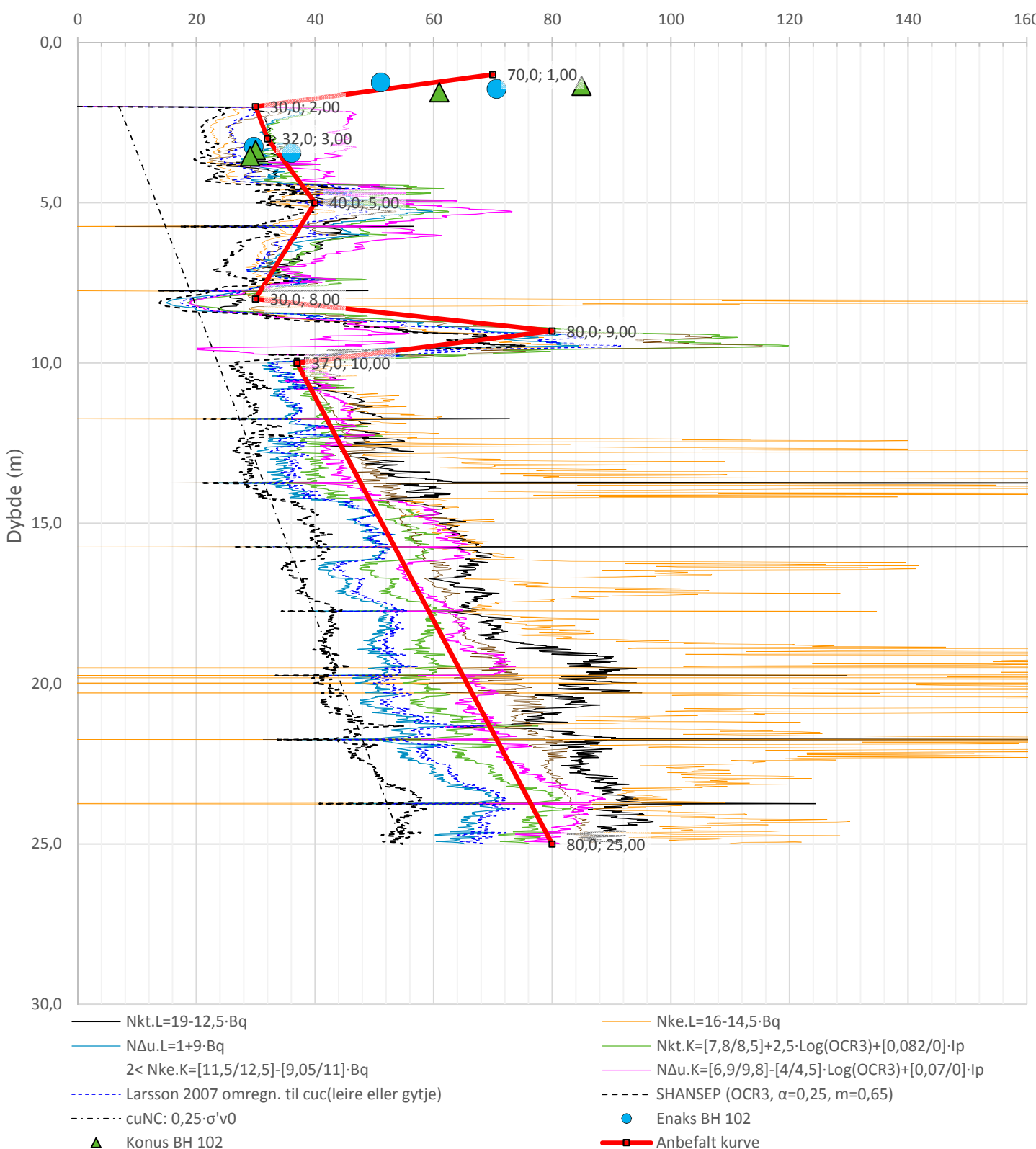


Prosjekt				Borhull
Fv. 707 Berg – Høstadkorsen G/S-vei				102
Innhold				Sondenummer
Måledata og korrigerte måleverdier				4364
 Statens vegvesen	Utført RIKBRY	Kontrollert LARSOL	Godkjent RIKBRY	Anvend.klasse 1
	Region Midt	Date sondering 30.01.2018	Revisjon Rev. dato	Figur 1

Anisotropiforhold i figur:

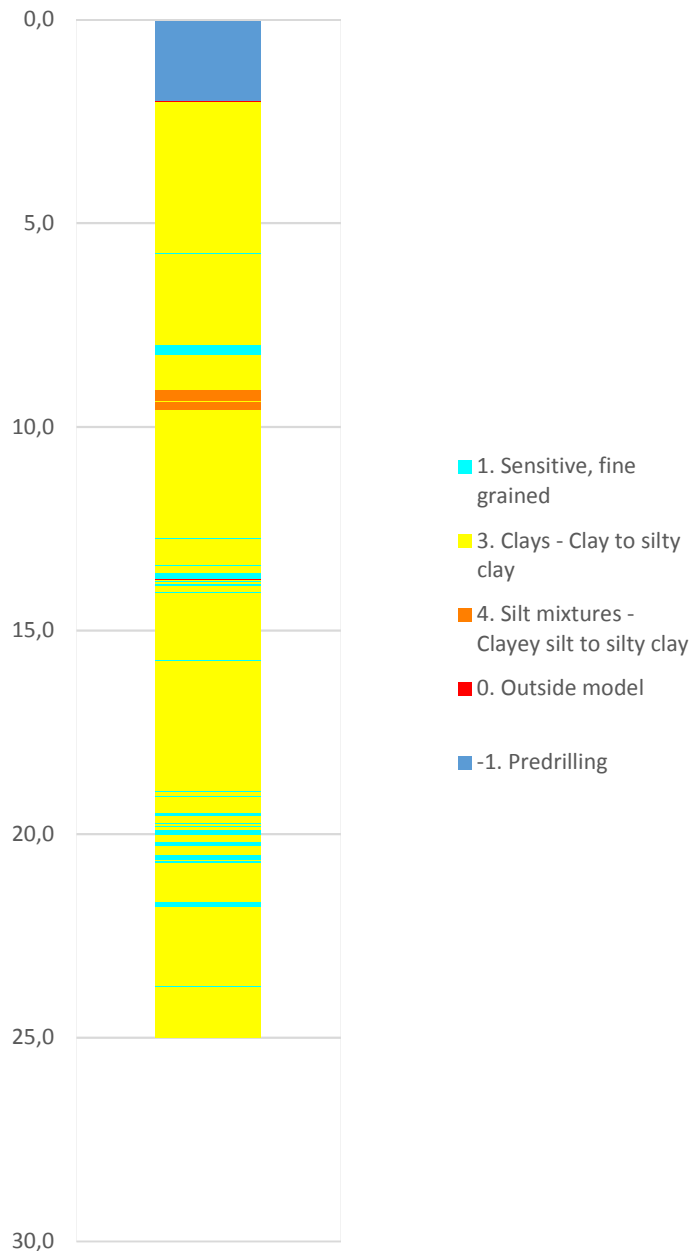
Enaks BH 102: cuuc/cucptu = 0,630

Konus BH 102: cufc/cucptu = 0,630

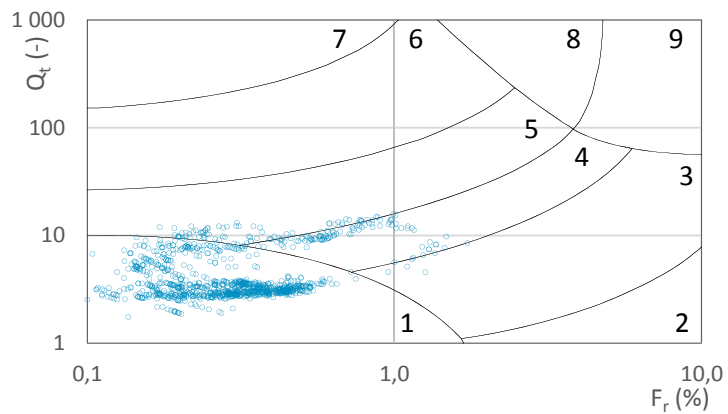
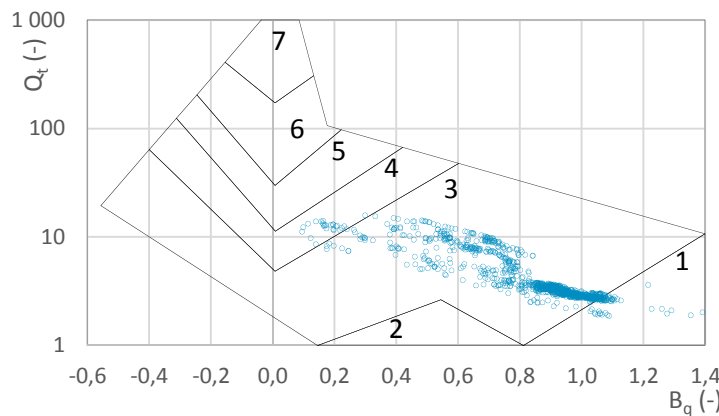
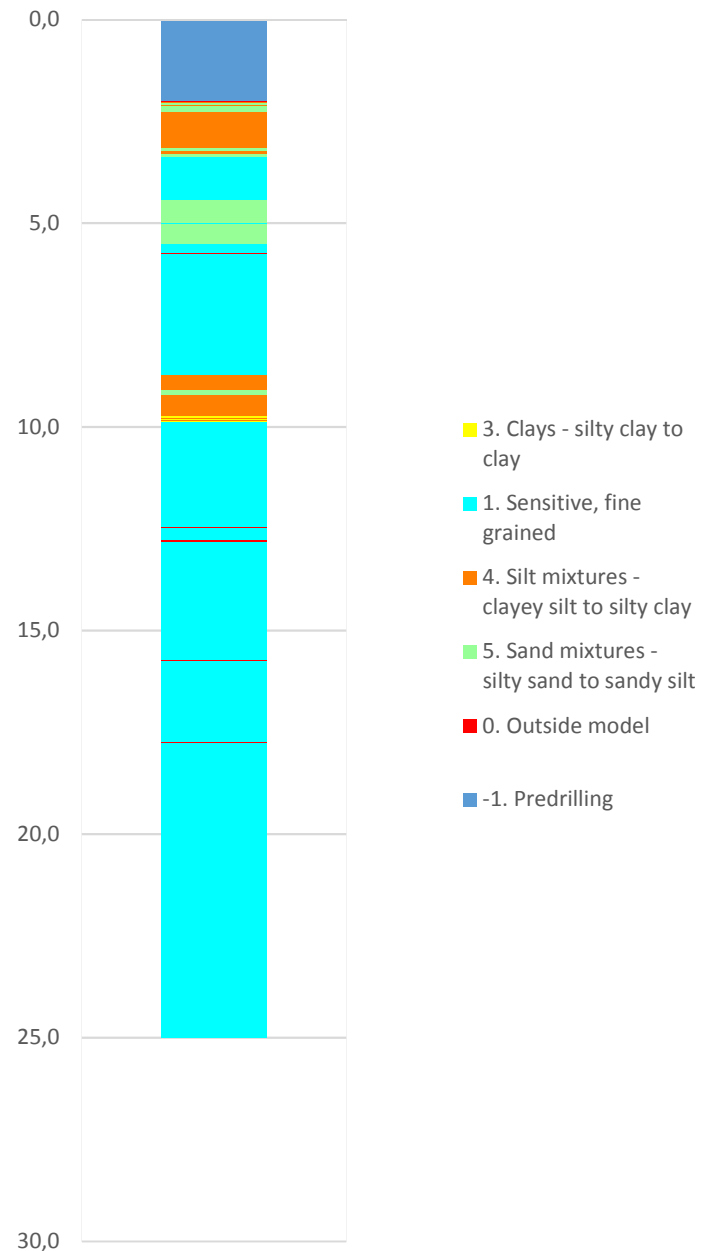
Udrenert aktiv skjærfasthet, c_{ucptu} (kPa)

Prosjekt				Borhull
Fv. 707 Berg – Høstadkorsen G/S-vei				102
Innhold				Sondenummer
Tolkning av udrenert aktiv skjærfasthet				
 Statens vegvesen	Utført RIKBRY	Kontrollert LARSOL	Godkjent RIKBRY	Anvend.klasse 1
Region Midt	Date sondering 30.01.2018	Revisjon Rev. dato		Figur 1

Robertson 1990 (Bq-Qt)



Robertson 1990 (Fr-Qt)



Prosjekt

Fv. 707 Berg – Høstadkorsen G/S-vei

Borhull

102

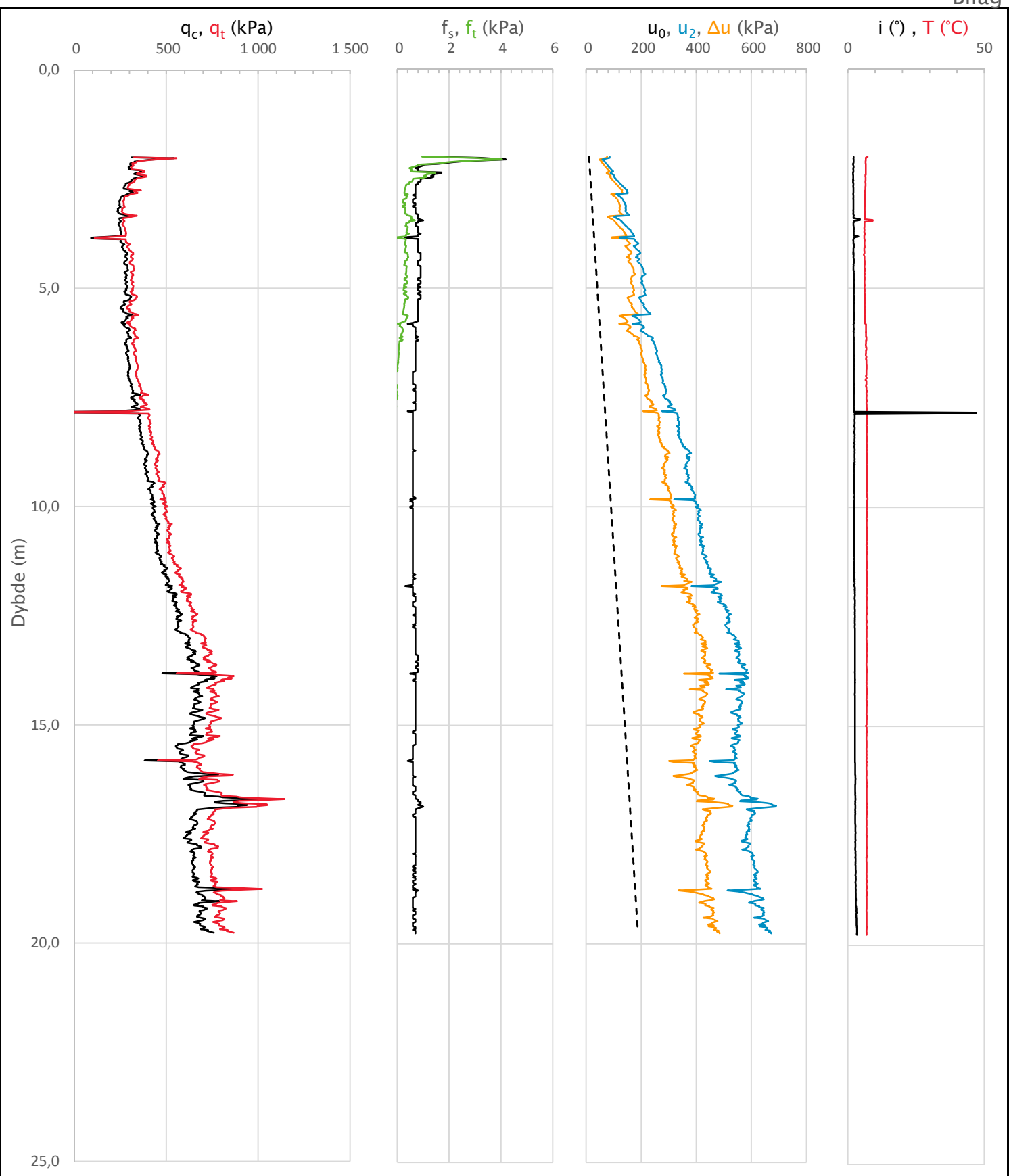
Innhold

Jordartsklassifisering etter Robertsson 1990

Sondenummer

4364

Utført RIKBRY	Kontrollert LARSOL	Godkjent RIKBRY	Anvend.klasse
	Region Midt	Dato sondering 30.01.2018	Revisjon Rev. dato
 Statens vegvesen			1 2

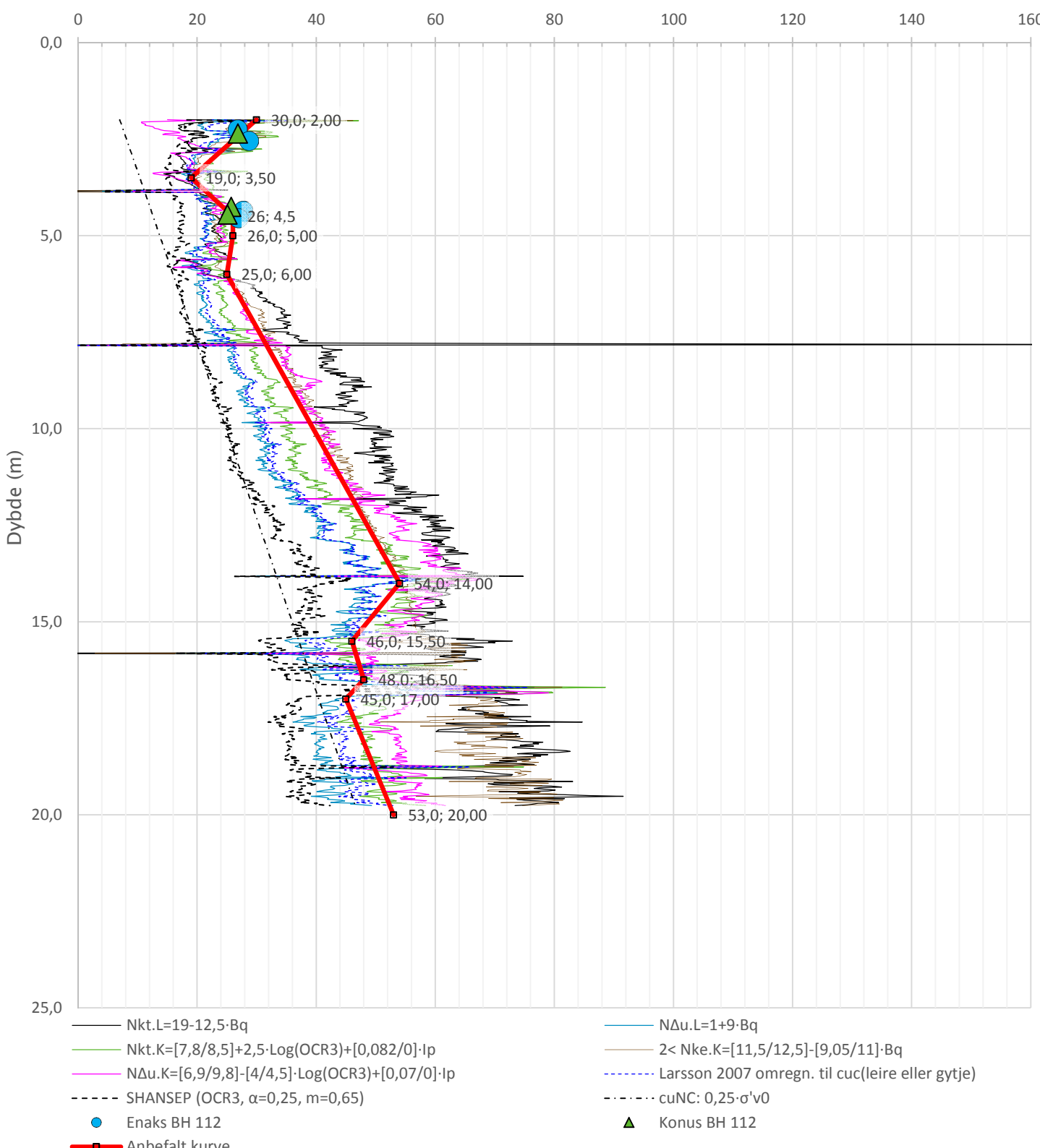


Prosjekt Fv. 707 Berg – Høgstadkorsen	Borhull 112
Innhold	Sondenummer
Måledata og korrigerte måleverdier	4364
 Statens vegvesen	Utført RIKBRY Kontrollert LARSOL Godkjent RIKBRY Anvend.klasse 1
Region #REF! Dato sondering 17.01.2018	Revisjon Rev. dato
	Figur 1

Anisotropiforhold i figur:

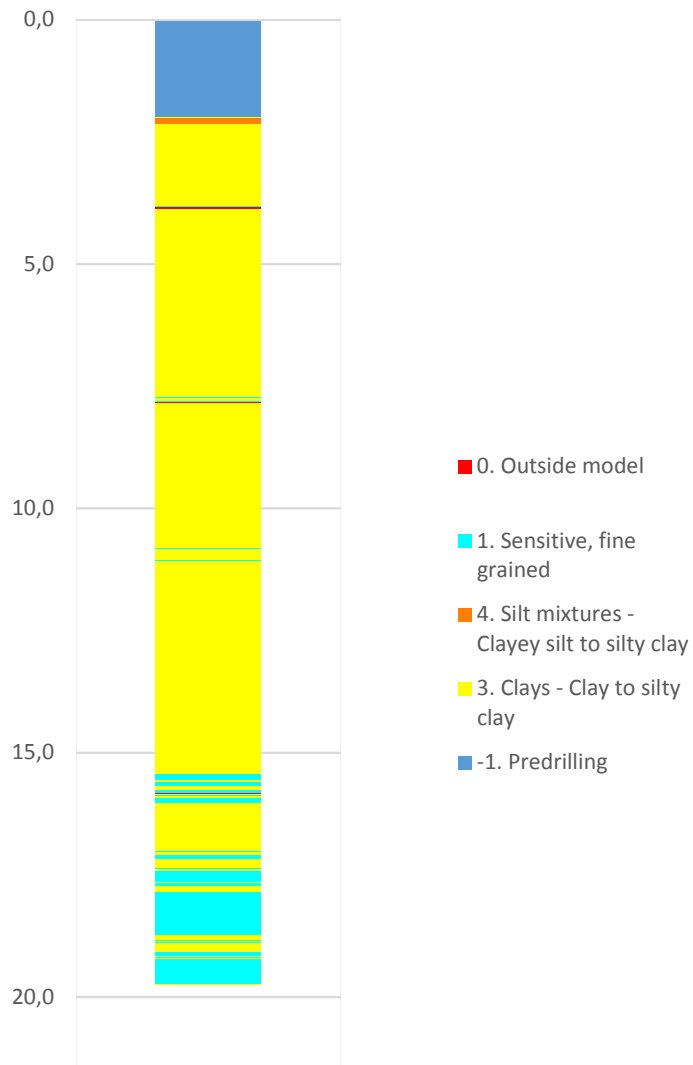
Enaks BH 112: cuuc/cucptu = 0,630

Konus BH 112: cufc/cucptu = 0,630

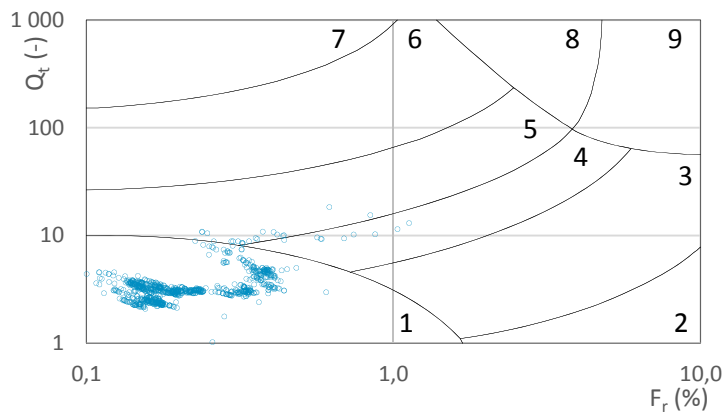
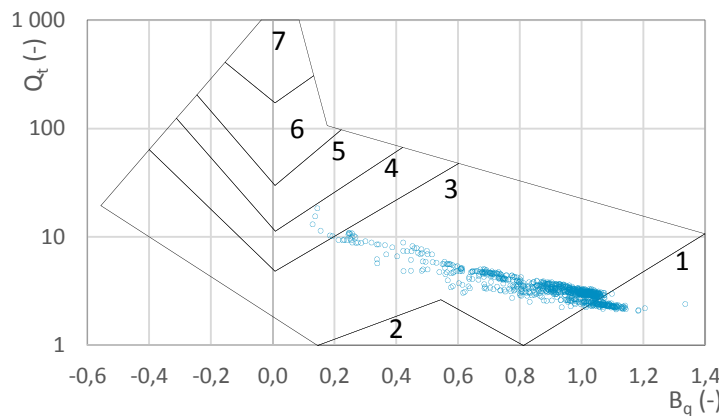
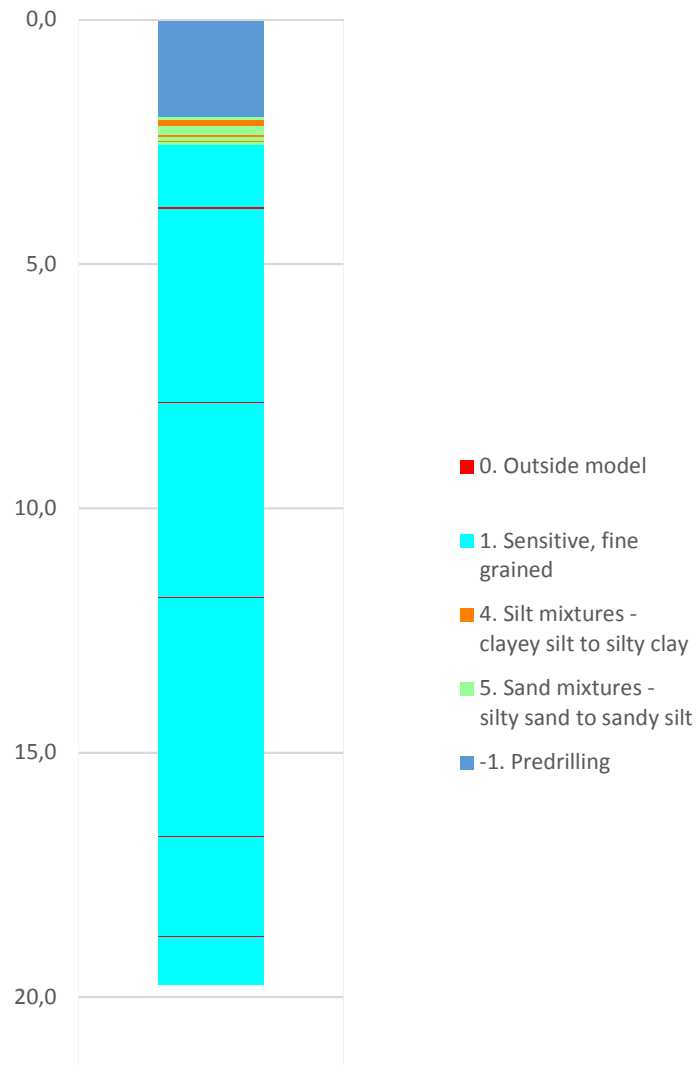
Udrenert aktiv skjærfasthet, c_{ucptu} (kPa)

Prosjekt Fv. 707 Berg – Høgstadkorsen	Borhull 112			
Innhold	Sondenummer 4364			
Tolkning av udrenert aktiv skjærfasthet				
	Utført RIKBRY			
 Statens vegvesen	Kontrollert LARSOL Region #REF!	Godkjent RIKBRY Dato sondering 17.01.2018	Anvend.klasse 1 Revisjon Rev. dato	Figur 2

Robertson 1990 (Bq-Qt)



Robertson 1990 (Fr-Qt)



Prosjekt

Fv. 707 Berg – Høgstadkorsen

Borhull

112

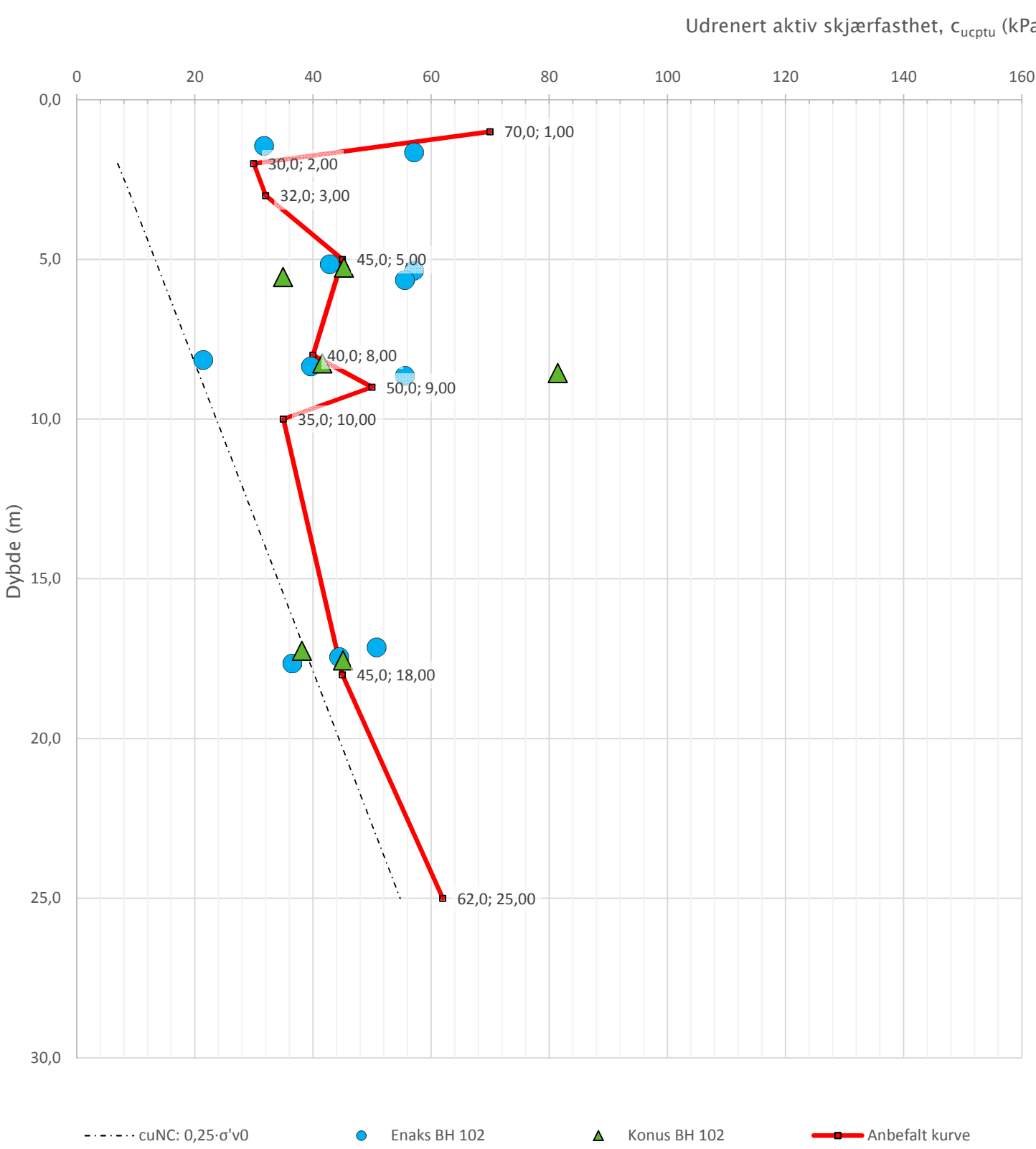
Innhold

Jordartsklassifisering etter Robertsson 1990

Sondenummer

4364

 Statens vegvesen	Utført	Kontrollert	Godkjent	Anvend.klasse
	RIKBRY	LARSOL	RIKBRY	1
Region	#REF!	Dato sondering	Revisjon	Figur
		17.01.2018	Rev. dato	

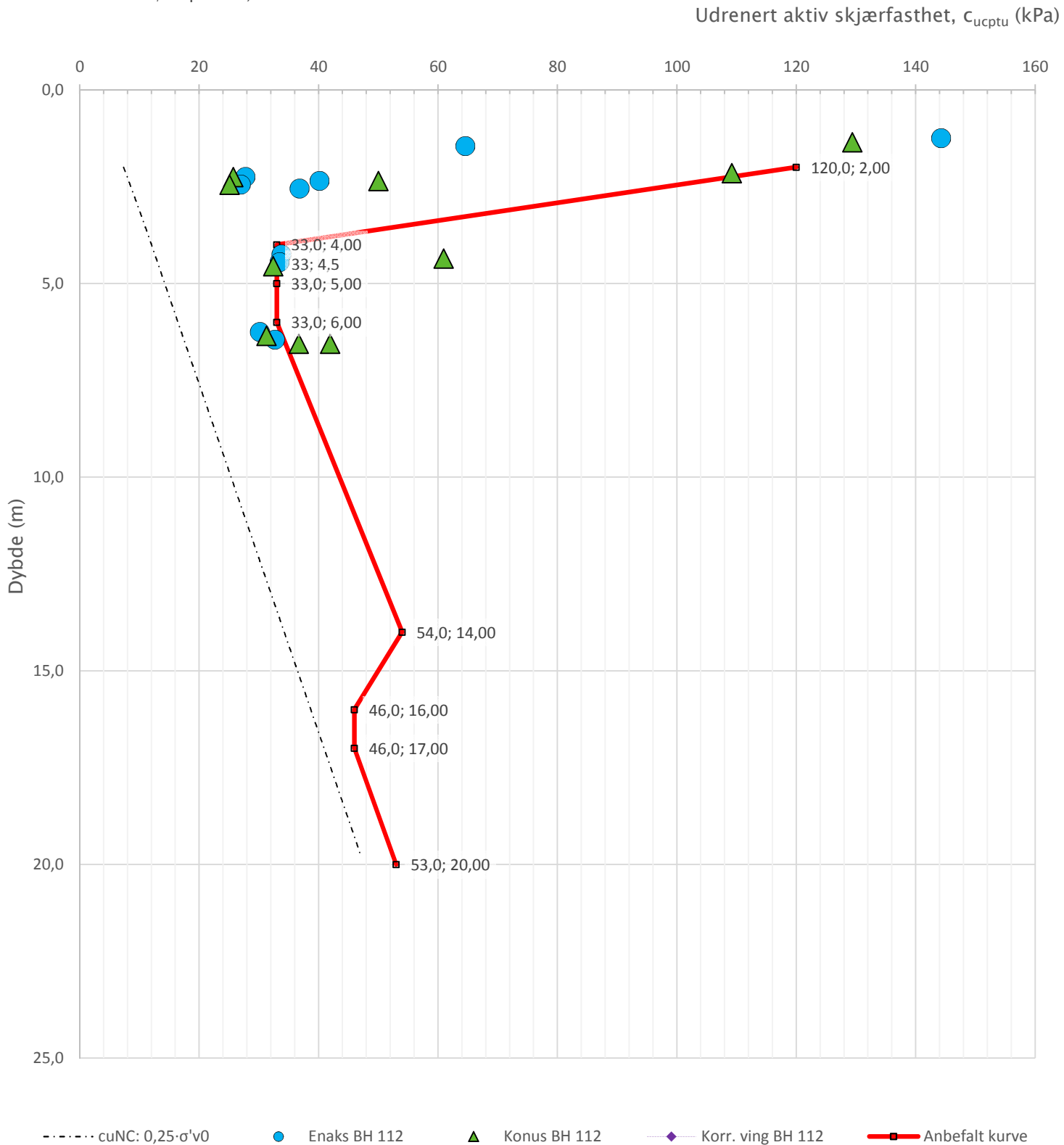


Prosjekt Fv. 707 Berg – Høstadkorsen G/S-vei				Borhull 59
Innhold Tolkning av udrenert aktiv skjærfasthet basert på labresultat samt CPTu nr. 102				Sondenummer
 Statens vegvesen				
Utført RIKBRY	Kontrollert LARSOL	Godkjent RIKBRY	Anvend.klasse 1	
Region Midt	Dato sondering 30.01.2018	Revisjon Rev. dato	Figur 1	

Anisotropiforhold i figur:

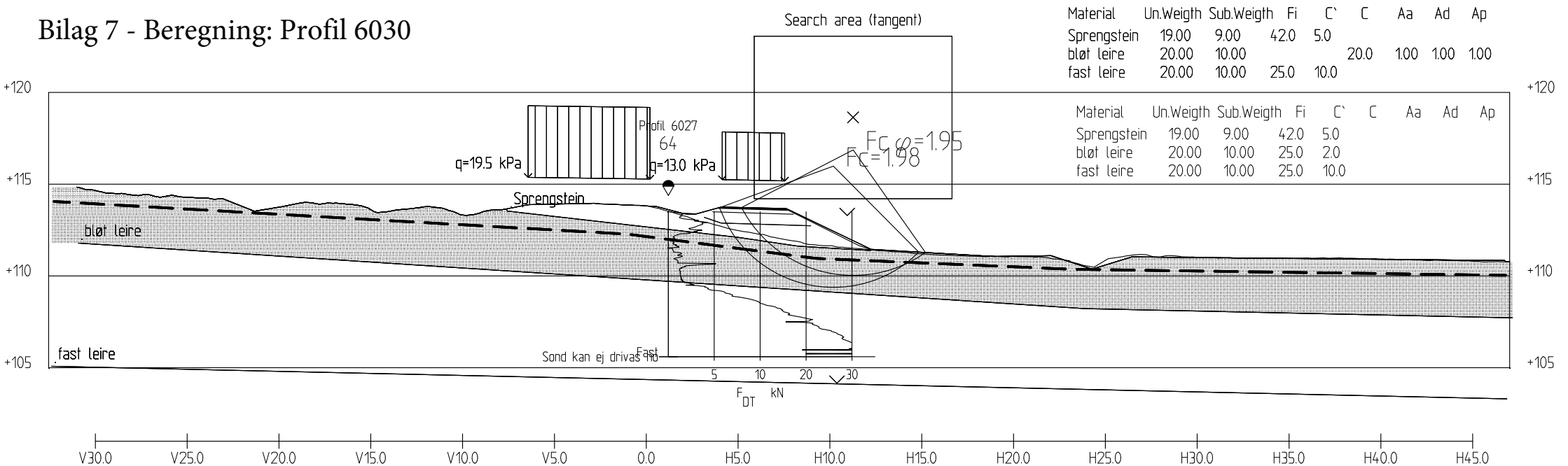
Enaks BH 112: cuuc/cucptu = 0,630

Konus BH 112: cufc/cucptu = 0,630



Prosjekt Fv. 707 Berg – Høststadkorsen G/S-veg	Borhull 41			
Innhold	Sondenummer			
Tolkning av udrenert aktiv skjærfasthet basert på labresultat og CPTu nr 112				
 Statens vegvesen	Utført RIKBRY	Kontrollert LARSOL	Godkjent RIKBRY	Anvend.klasse 1
	Region #REF!	Dato sondering 17.01.2018	Revisjon Rev. dato	Figur 1

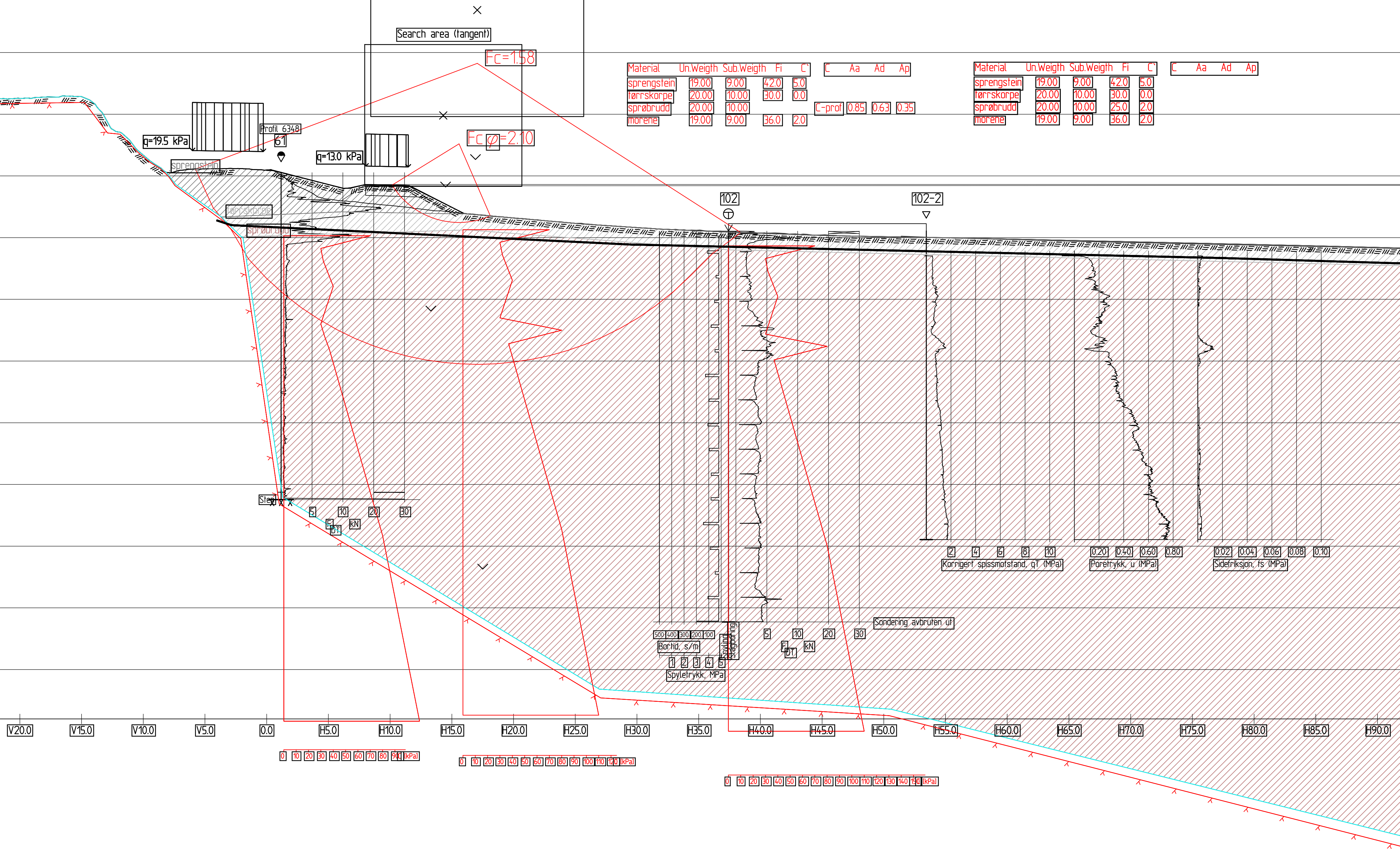
Bilag 7 - Beregning: Profil 6030



Profil 6030

1 : 200

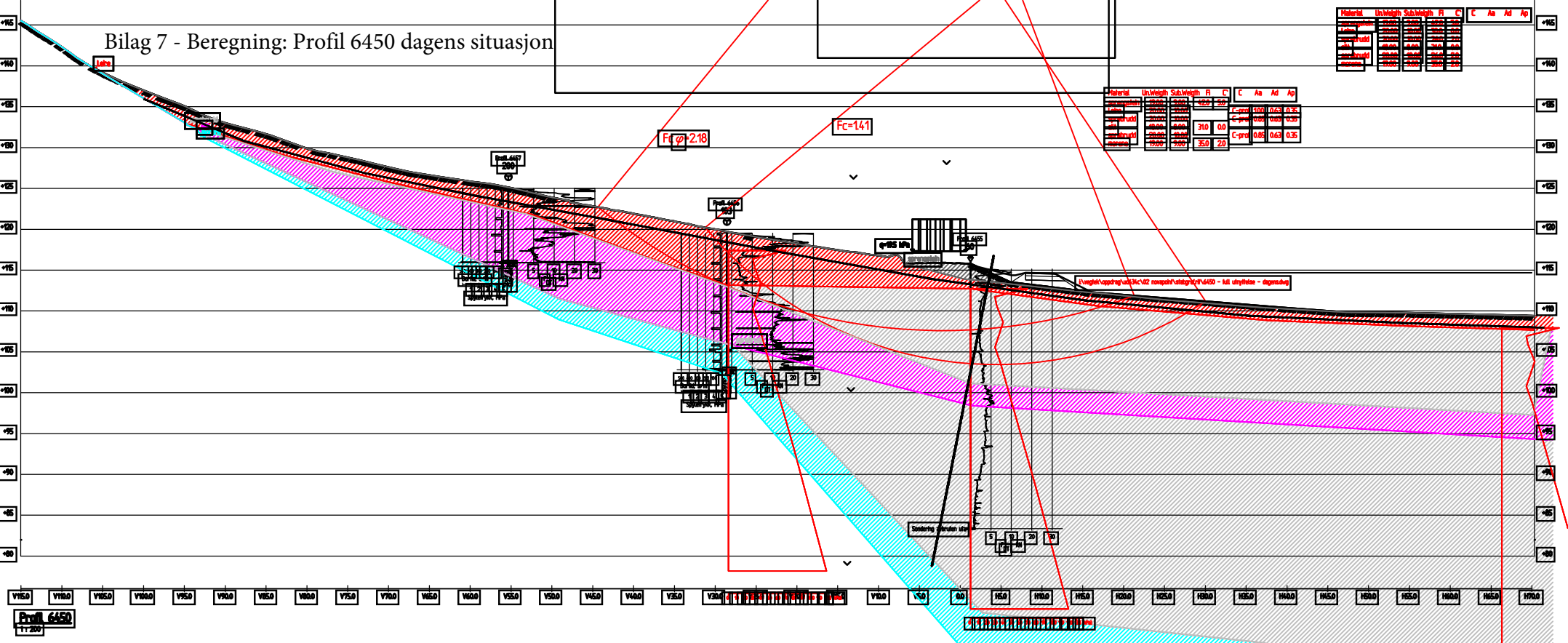
Bilag 7 - Beregning: Profil 6350



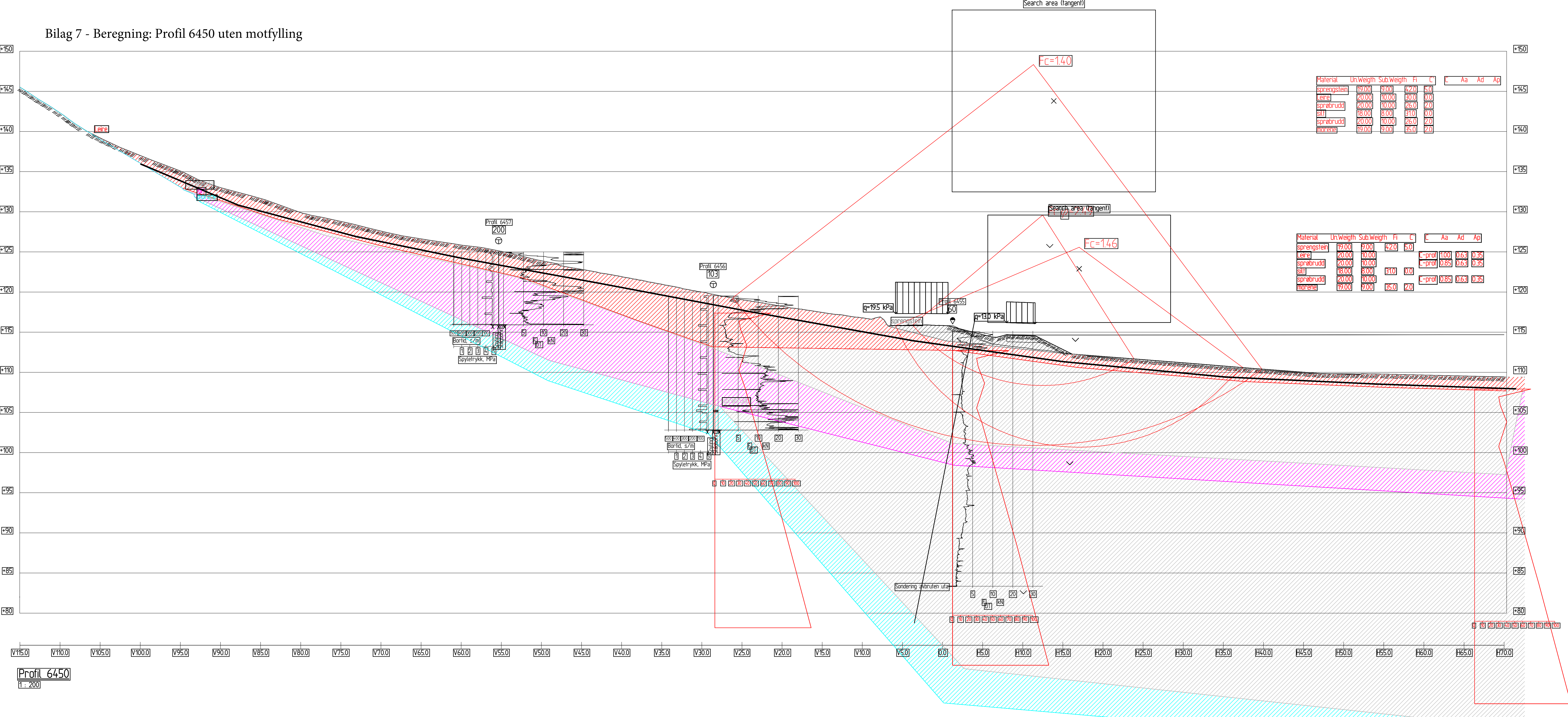
Bilag 7 - Beregning: Profil 6450 dagens situasjon

Material	UnWeight	SubWeight	R	C	C	Aa	Ad	Ap
betong	2400	2400	142.50	142.50	C-prod	100	0.63	0.35
stålplatt	7000	7000	20.00	20.00	C-prod	100	0.63	0.35
stålprofil	1000	1000	310.00	310.00	C-prod	0.85	0.63	0.35
stålplatt	1000	1000	350.00	350.00				

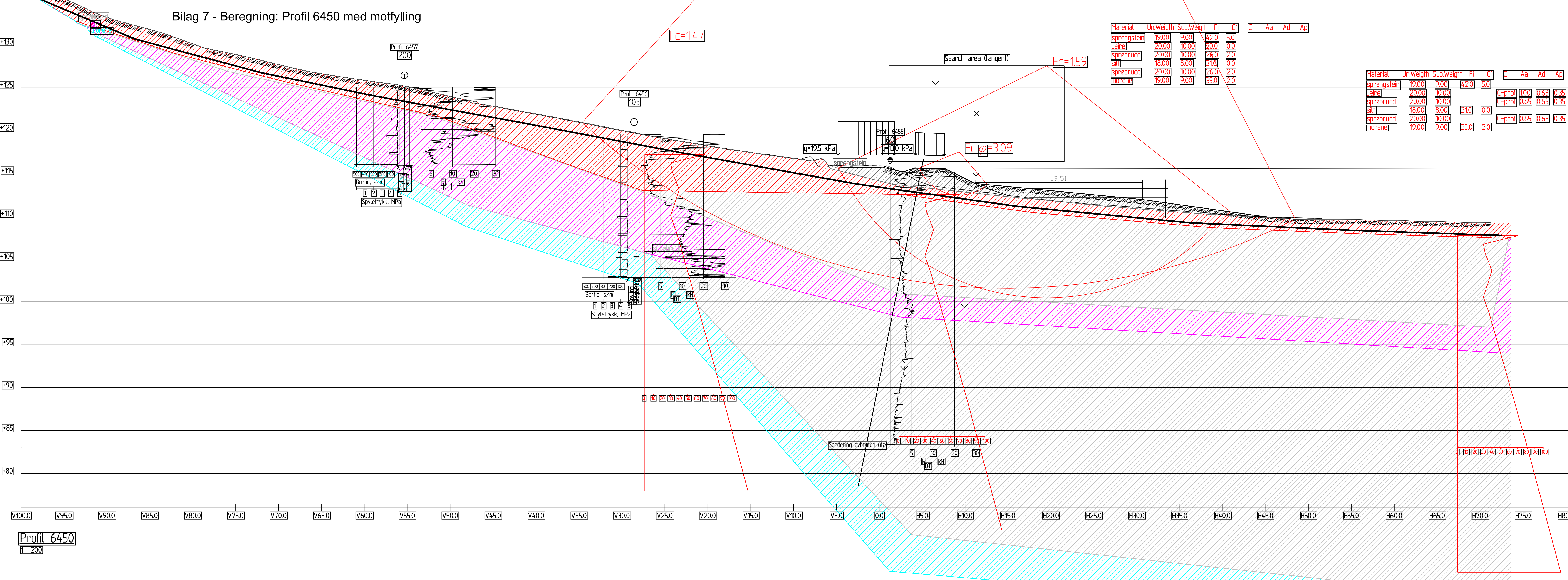
Material	UnWeight	SubWeight	R	C	C	Aa	Ad	Ap
betong	2400	2400	142.50	142.50	C-prod	100	0.63	0.35
stålplatt	7000	7000	20.00	20.00	C-prod	100	0.63	0.35
stålprofil	1000	1000	310.00	310.00	C-prod	0.85	0.63	0.35
stålplatt	1000	1000	350.00	350.00				



Bilag 7 - Beregning: Profil 6450 uten motfylling



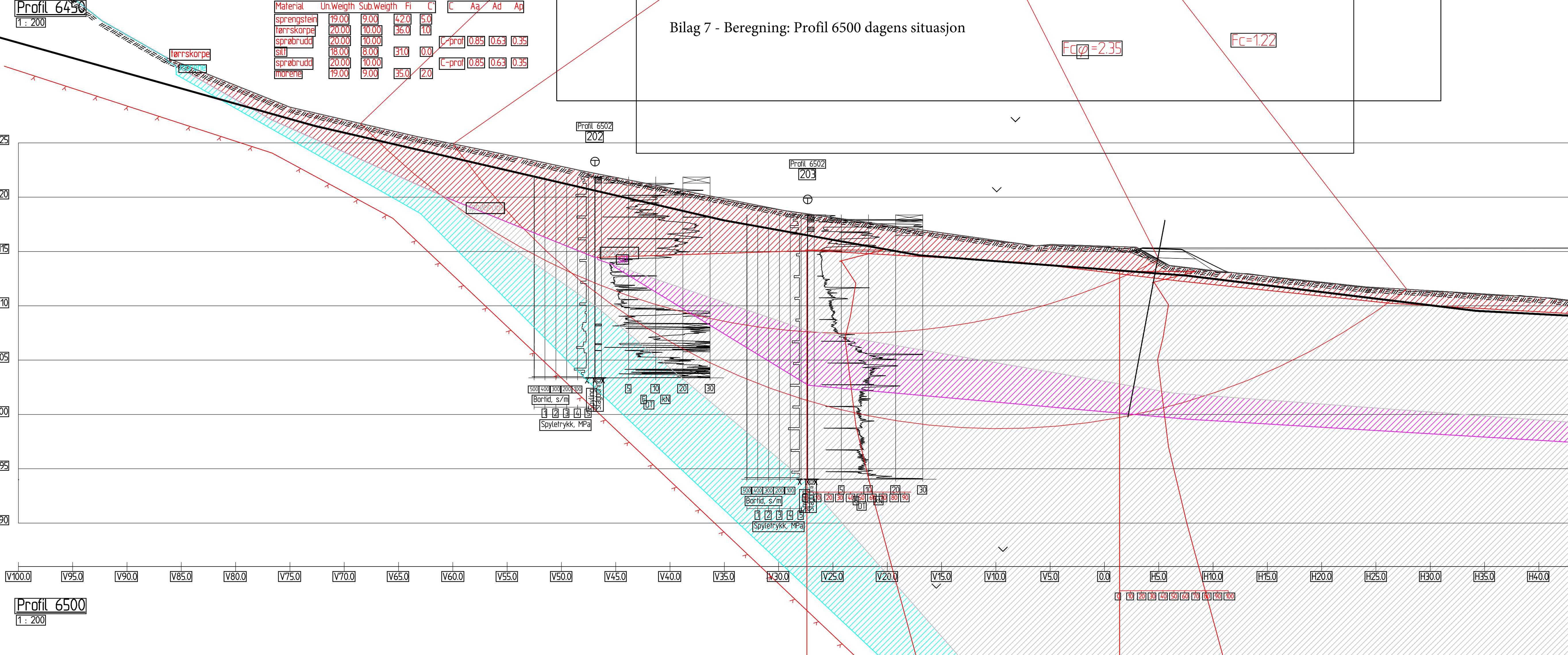
Bilag 7 - Beregning: Profil 6450 med motfylling

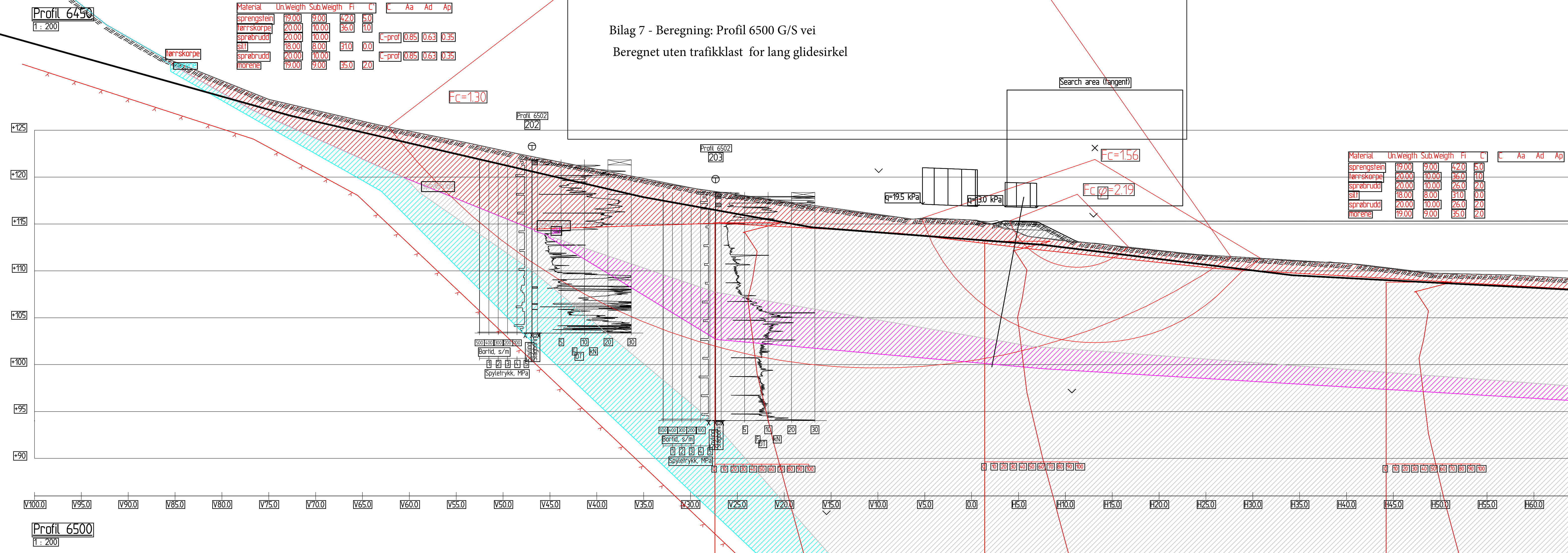


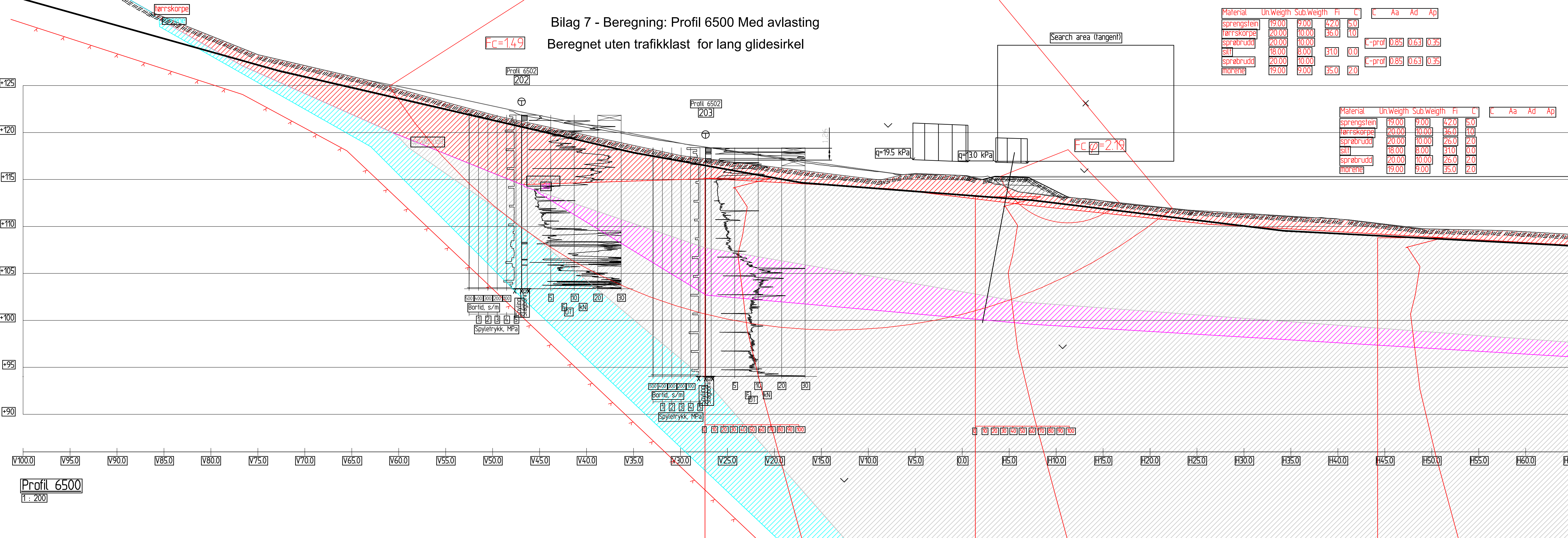
Profil 6450

1 : 200

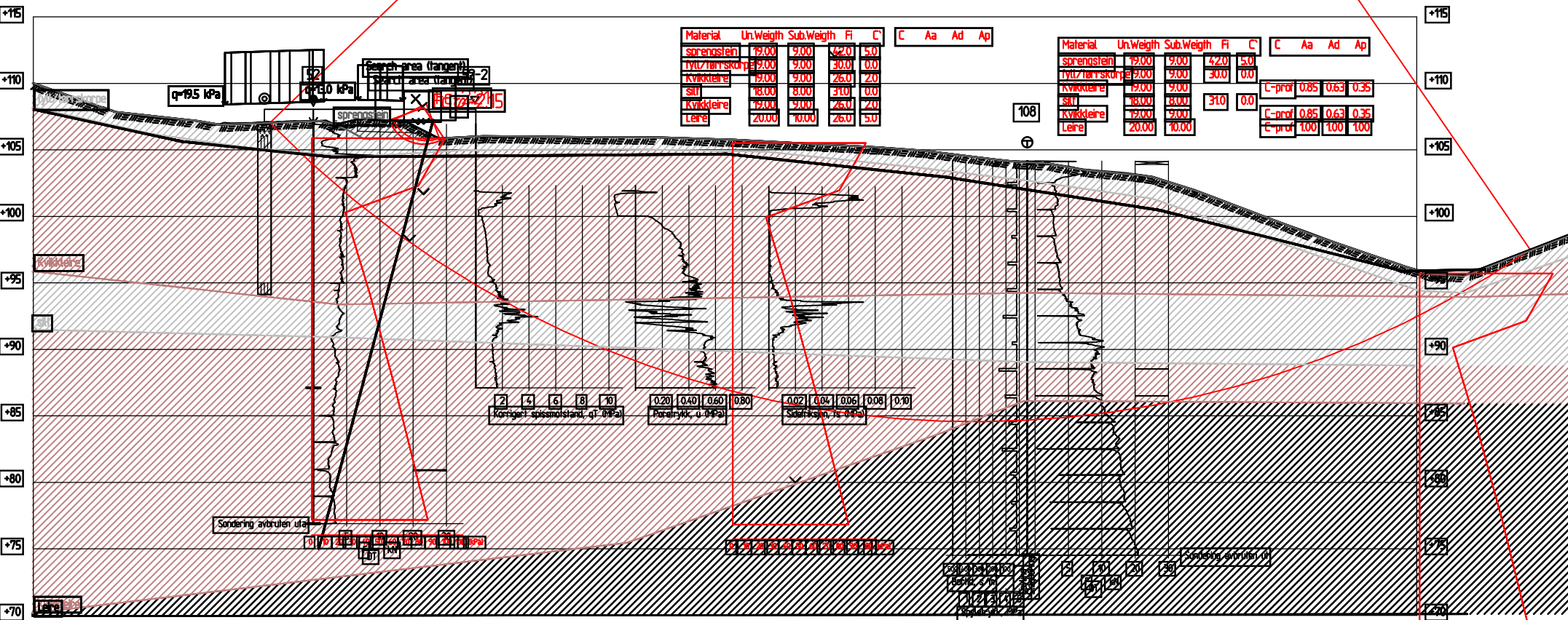
Material	Un.Weight	Sub.Weight	Fr	C	Aa	Ad	Ap	
sprengstein	19.00	9.00	42.0	5.0				
tørrskorpe	20.00	10.00	36.0	1.0				
sprobrudd	20.00	10.00	31.0	0.0	C-profil	0.85	0.63	0.35
silt	18.00	8.00	31.0	0.0	C-profil	0.85	0.63	0.35
sprobrudd	20.00	10.00	35.0	2.0	C-profil	0.85	0.63	0.35
morene	19.00	9.00	35.0	2.0				





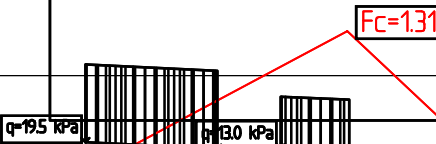


Bilag 7 - Beregning: Profil 7120/ Skråprofil FcA.1.71

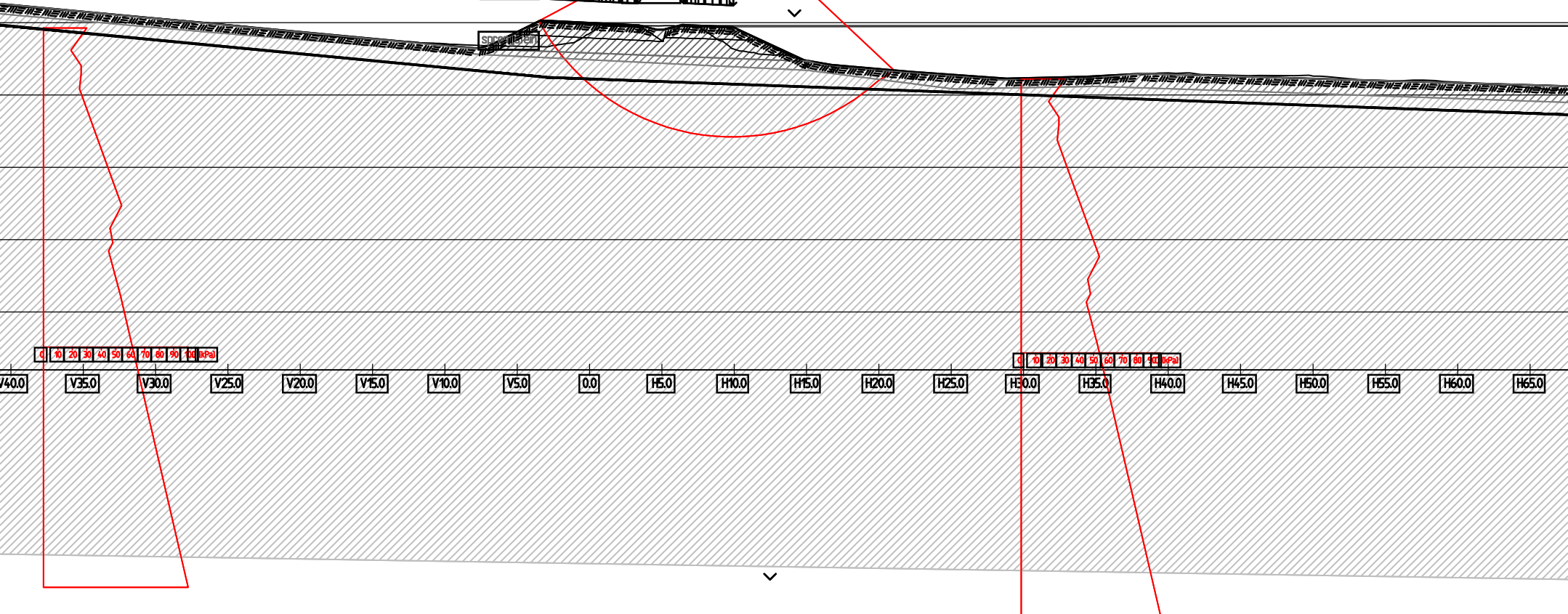


Bilag 7 - Beregning: Profil 7960 Ny vei og G/S motfylling

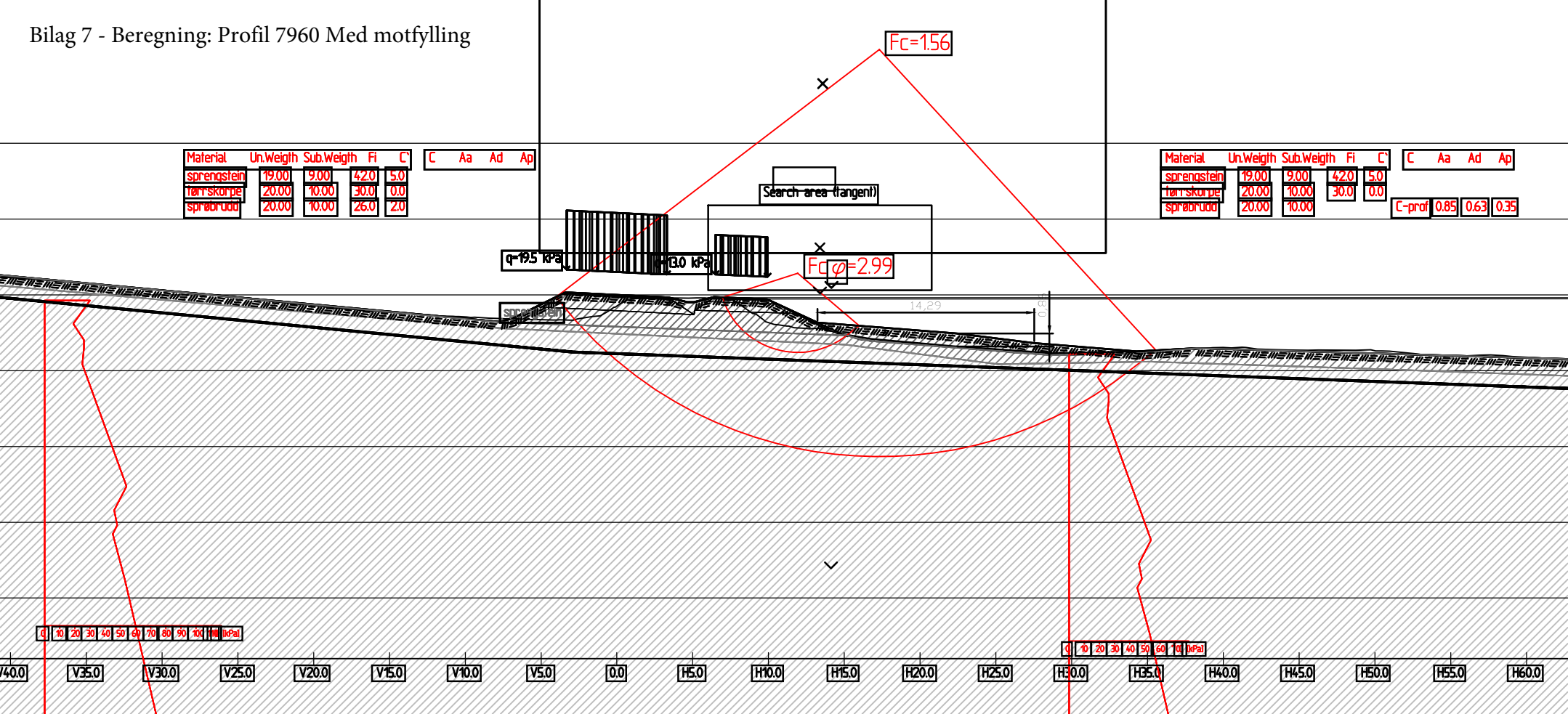
x



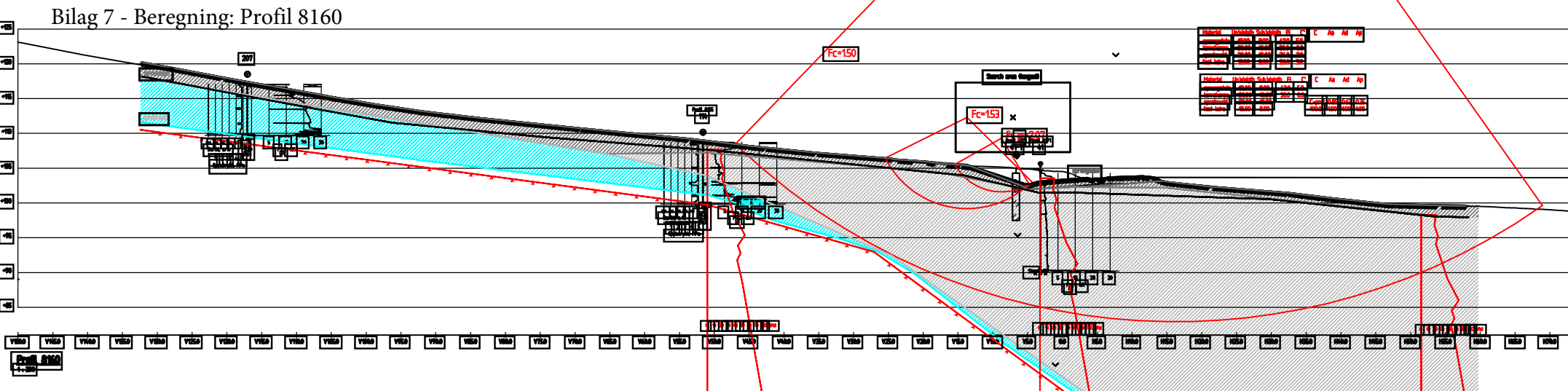
Material	Un.Weight	Sub.Weight	Fr	C	C	Aa	Ad	Ap
sprengsten	19.00	9.00	42.0	5.0				
tørskuppe	20.00	10.00	30.0	0.0				
spurtegrude	20.00	10.00						
C-prof	0.85	0.63	0.35					



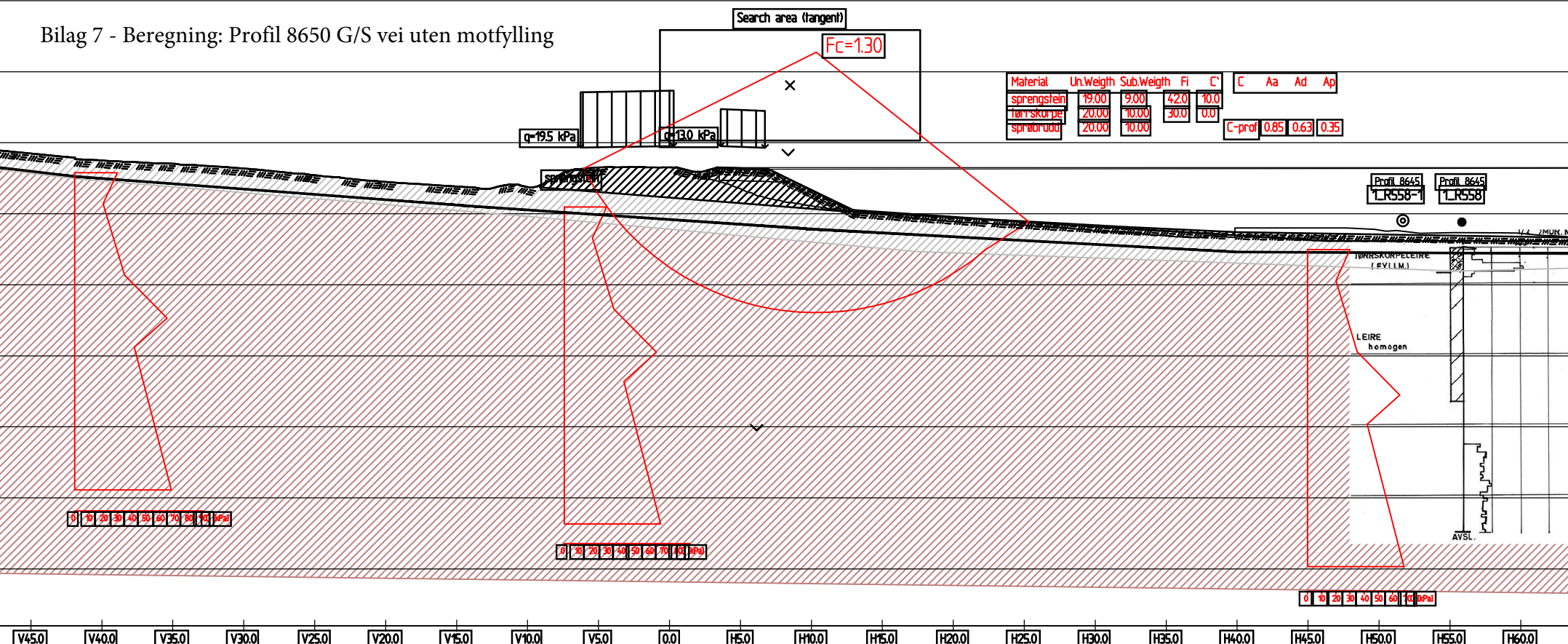
Bilag 7 - Beregning: Profil 7960 Med motfylling



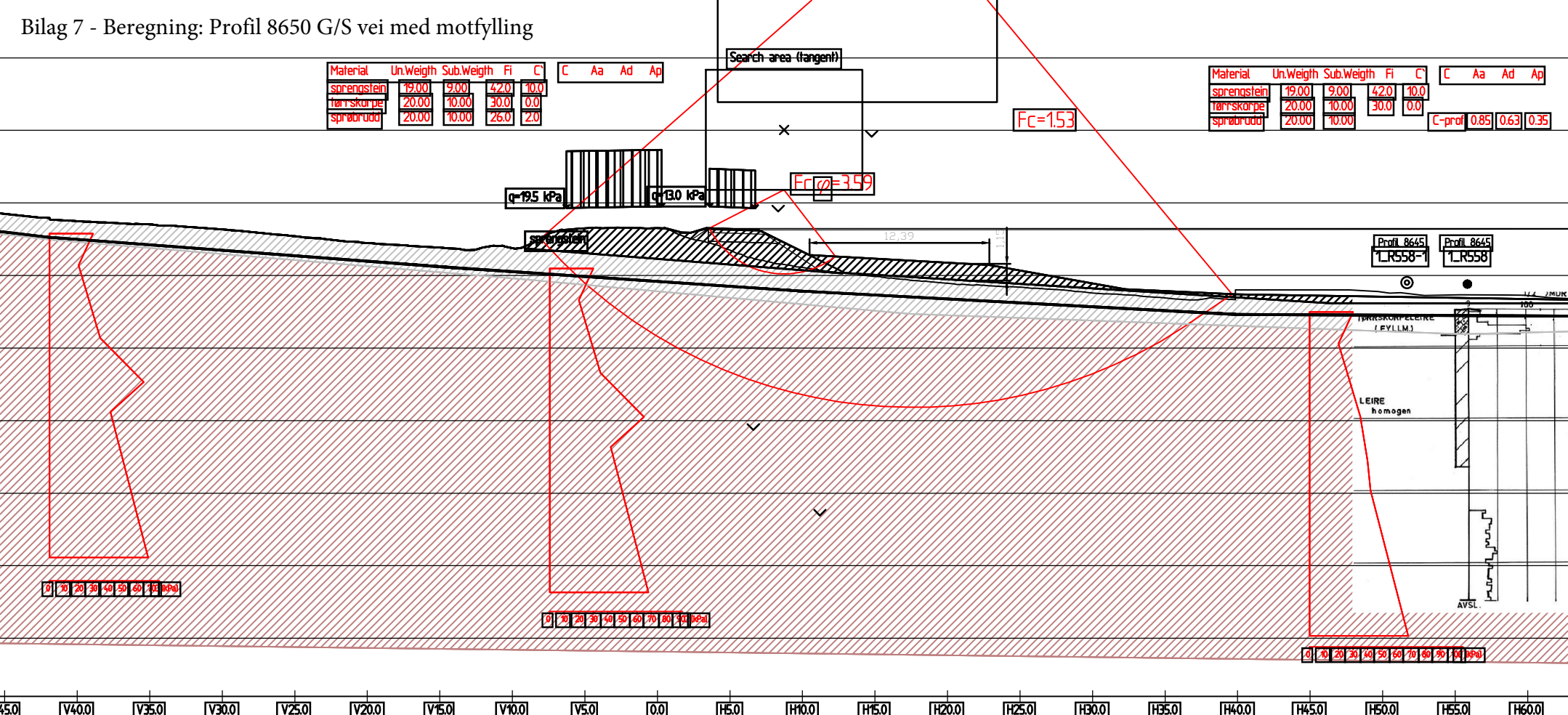
Bilag 7 - Beregning: Profil 8160



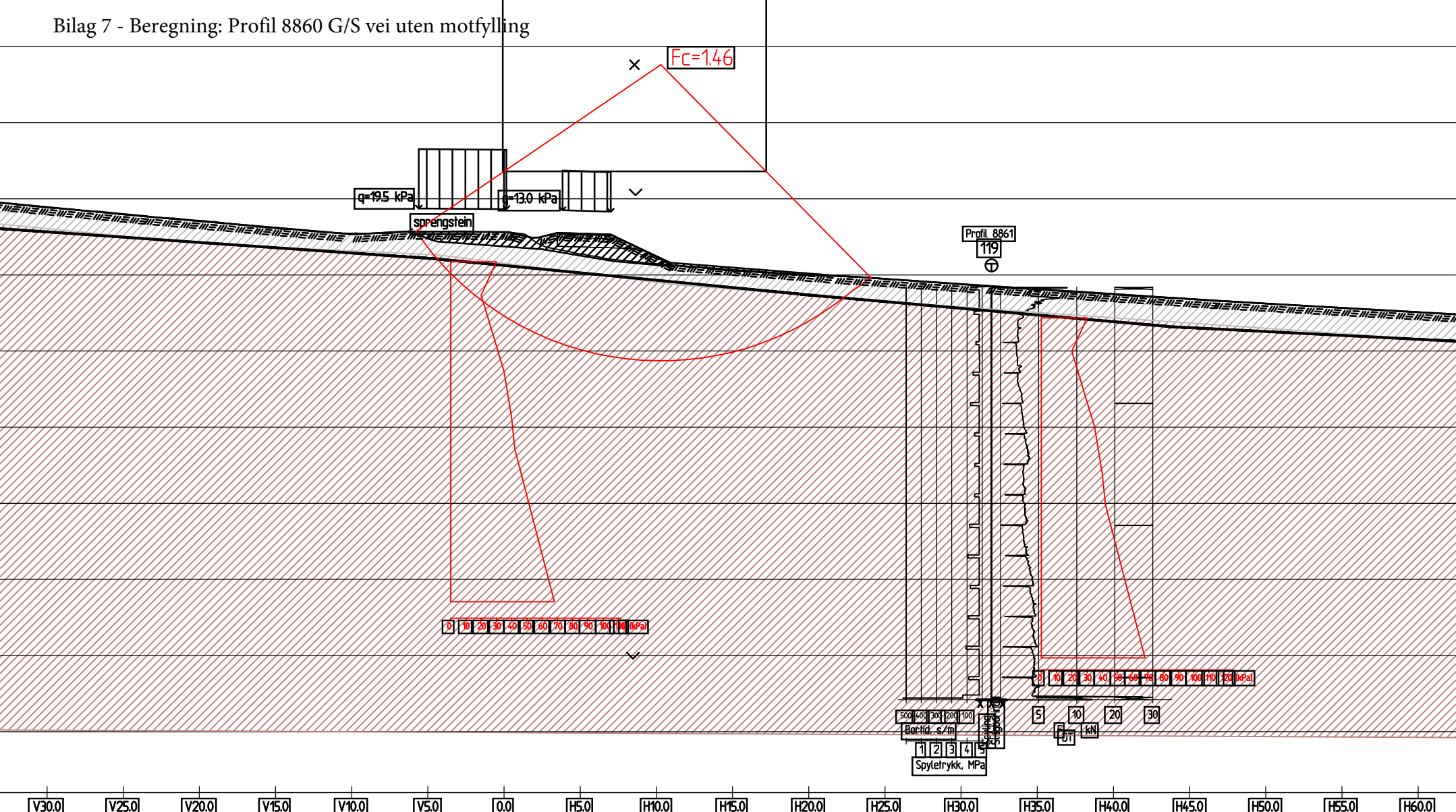
Bilag 7 - Beregning: Profil 8650 G/S vei uten motfylling



Bilag 7 - Beregning: Profil 8650 G/S vei med motfylling



Bilag 7 - Beregning: Profil 8860 G/S vei uten motfylling

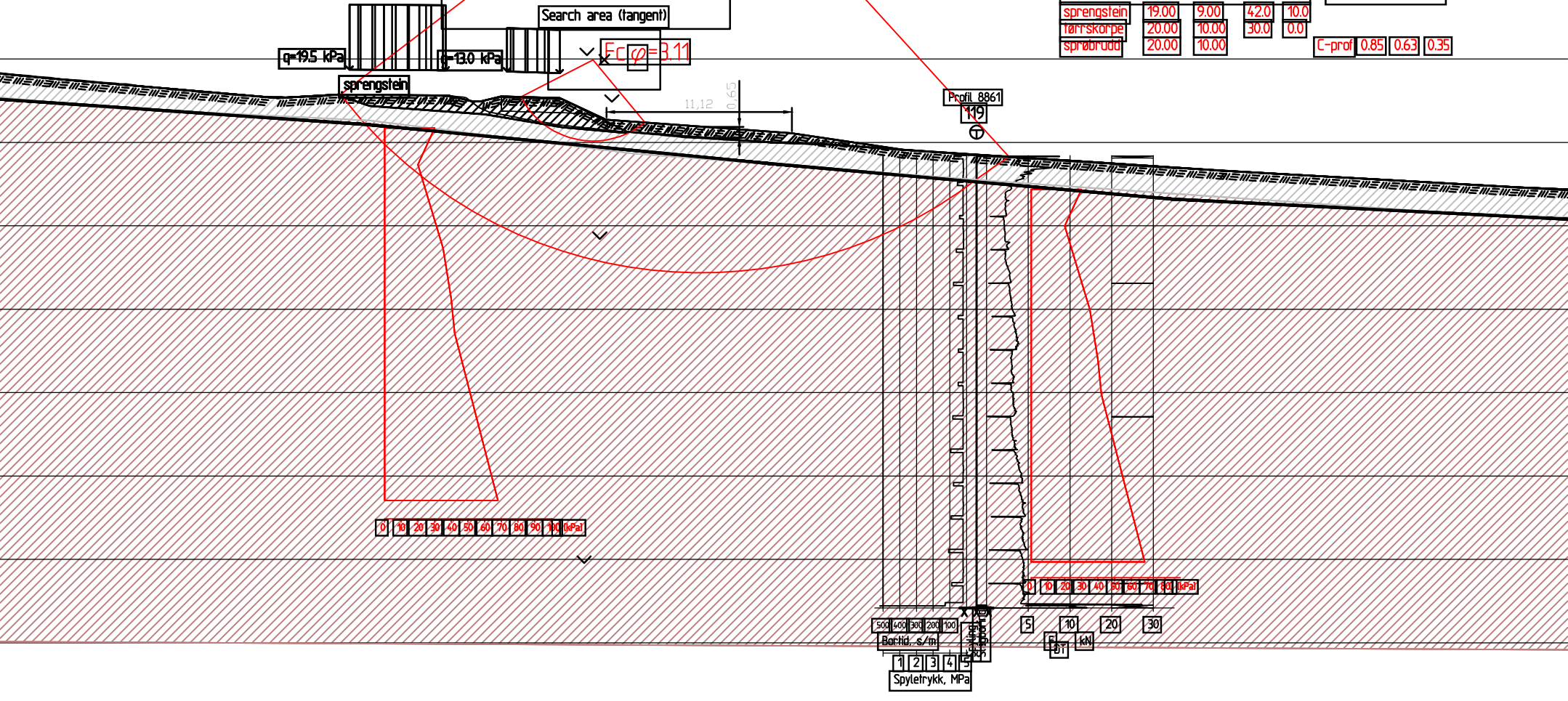


Bilag 7 - Beregning: Profil 8650 G/S vei med motfylling

$F_c = 1.55$

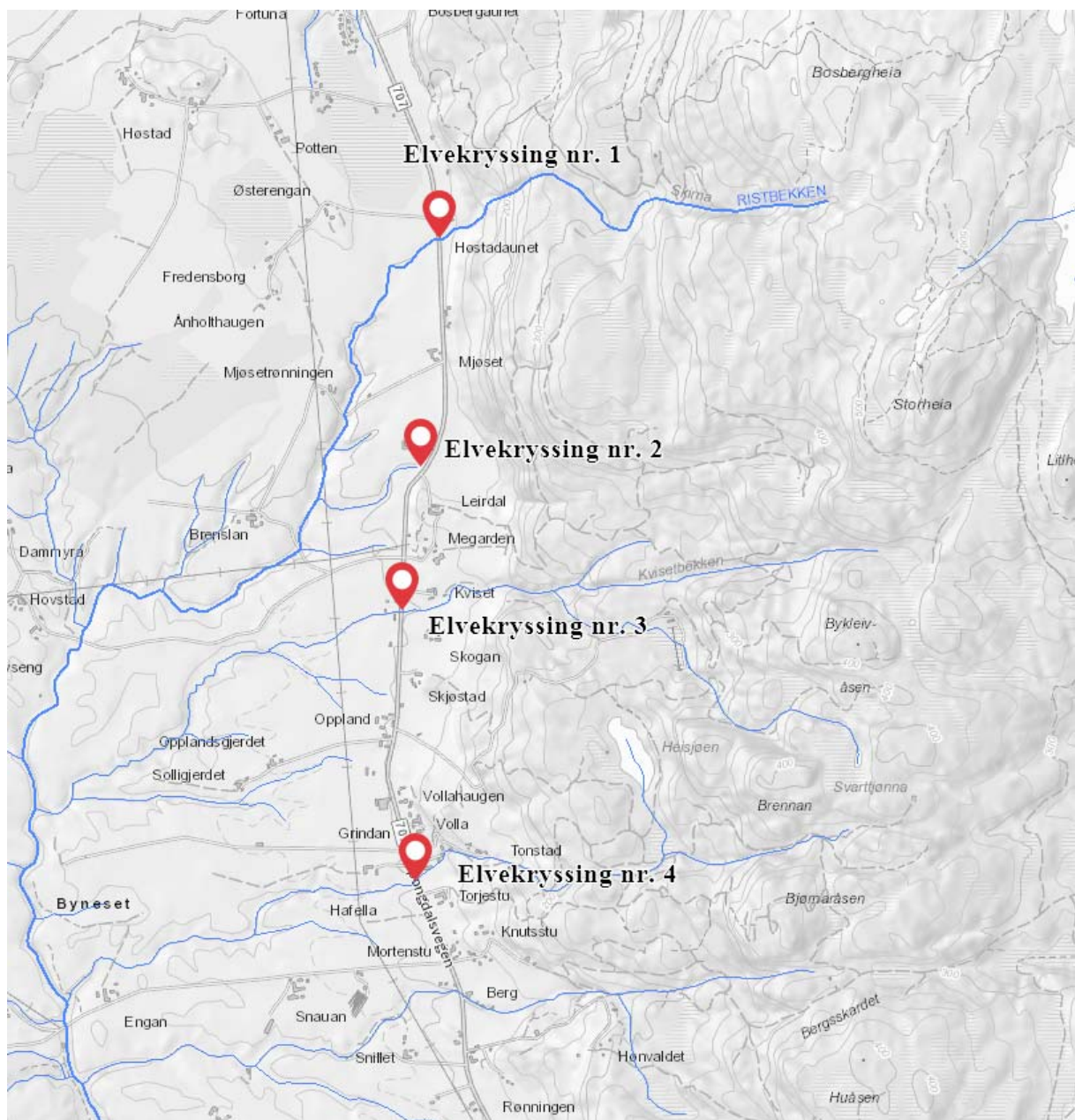
Material	Un. Weigh	Sub. Weigh	Fi	C	C	Aa	Ad	Ap
sprengstein	19.00	9.00	42.0	10.0				
tørrskorpe	20.00	10.00	30.0	0.0				
spørbrudd	20.00	10.00	26.0	2.0				

Material	Un. Weigh	Sub. Weigh	Fi	C	C	Aa	Ad	Ap
sprengstein	19.00	9.00	42.0	10.0				
tørrskorpe	20.00	10.00	30.0	0.0				
spørbrudd	20.00	10.00	30.0	0.0				



Bilag 8 Befaring av bekk-/elveløp med hensyn til erosjon

Planlagt gang og sykkelvei krysser 4 bekk-/elveløp. Disse er vurdert med hensyn til behov for erosjonssikring.



Elvekryssing nr. 1



Bilde 1 og 2 – Nedstrøms planlagt G/S vei

Dagens rør er langt nok til at det er plass til å etablere G/S veien, røret kan derfor beholdes dersom dimensjonen er tilfredsstillende. Det er lite tegn til erosjon i bekken nedstrøms, det er også veldig liten høydeforskjell. Det er derfor ikke behov for erosjonssikring nedstrøms, kun erosjonssikring rundt selve kulvert dersom det er ønskelig å etablere ny.



Bilde 2 og 3 – Oppstrøms planlagt G/S vei

Det er også lite tegn til erosjon i bekken oppstrøms, her er det noe større høydeforskjell men fortsatt relativt flatt. Det er derfor ikke behov for erosjonssikring oppstrøms, kun erosjonssikring rundt selve kulvert dersom det er ønskelig å etablere ny.

Elvekryssing nr. 2



Bilde 4 og 5 – Henholdsvis utløp stikkrenne nedenfor planlagt kulvert, og bekkedal noe lenger nedstrøms

Utløpet av stikkrennen ligger i god avstand fra planlagt G/S vei. Bekken ligger i rør oppstrøms G/S veien og er derfor ikke vurdert. Det er liten høydeforskjell i bekken ved utløpet. Høydeforskjellen øker lenger nede i bekken, se bilde 4 og 5, der bilde 4 er tatt i utløpet av røret og bilde 5 er tatt lenger nede i bekkedalen.

Det er tydelig tegn til lokale utglidninger/bevegelse og erosjon, se bilde 6, 7, 8 og 9. Det er også blottlagt leire i elveleie. Det er ikke tegn til retrogressiv skredutvikling, men det kan ikke utelukkes at det kan forekomme slik skredaktivitet i fremtiden.



Bilde 6 og 7 – Tegn til en større utglidning/bevegelse og erosjon i bekkedalen med blottlagt leire ibekken



Bilde 8 og 9 – Lokale utglidninger og erosjon i bekkedalen

Elvekryssing nr. 3



Bilde 10 og 11 – Utløp nedenfor planlagt G/S vei



Bilde 12 og 13 – Oppstrøms planlagt G/S vei

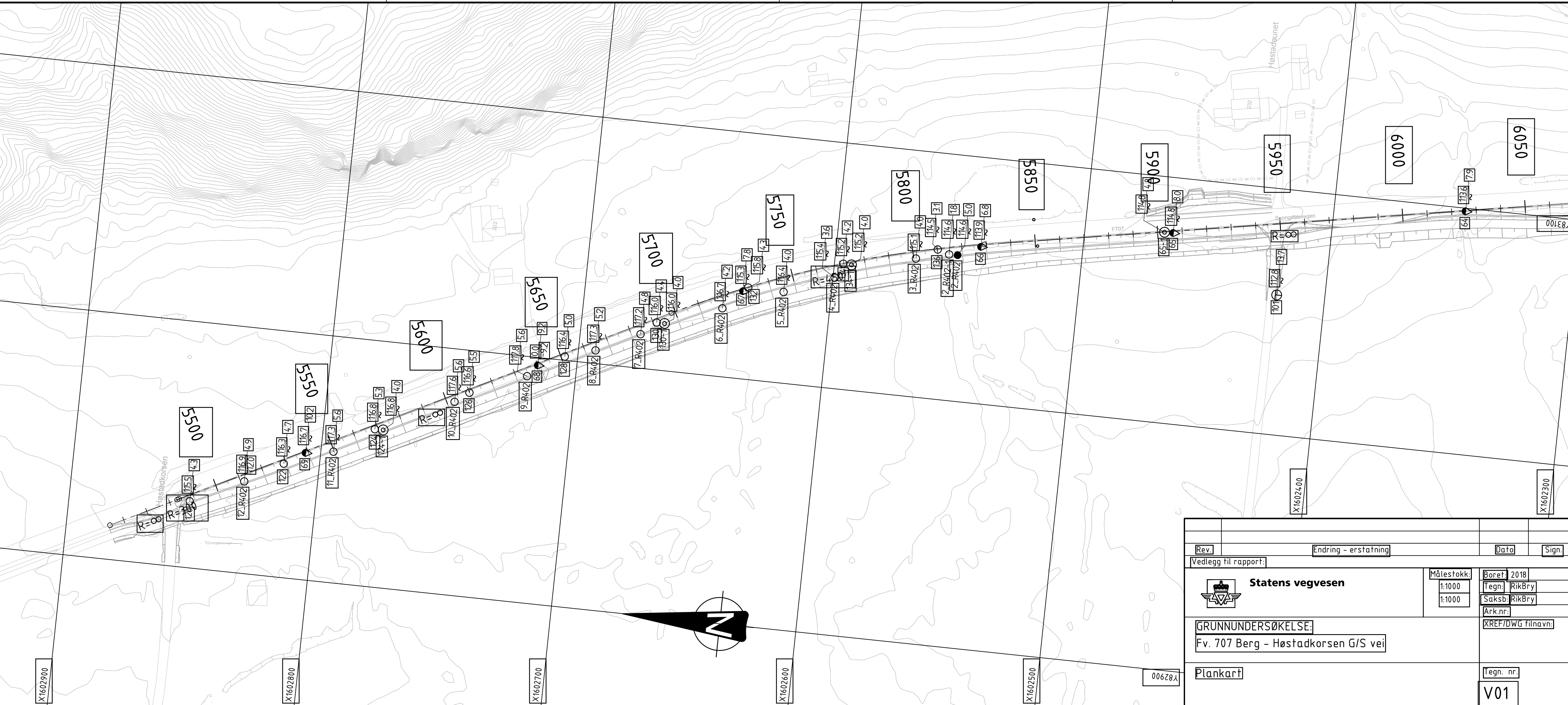
Det er relativt liten høydeforskjell både oppstrøms og nedstrøms planlagt G/S vei, det er også hovedsakelig stein i elvebunn og kanter.

Elvekryssing nr. 4

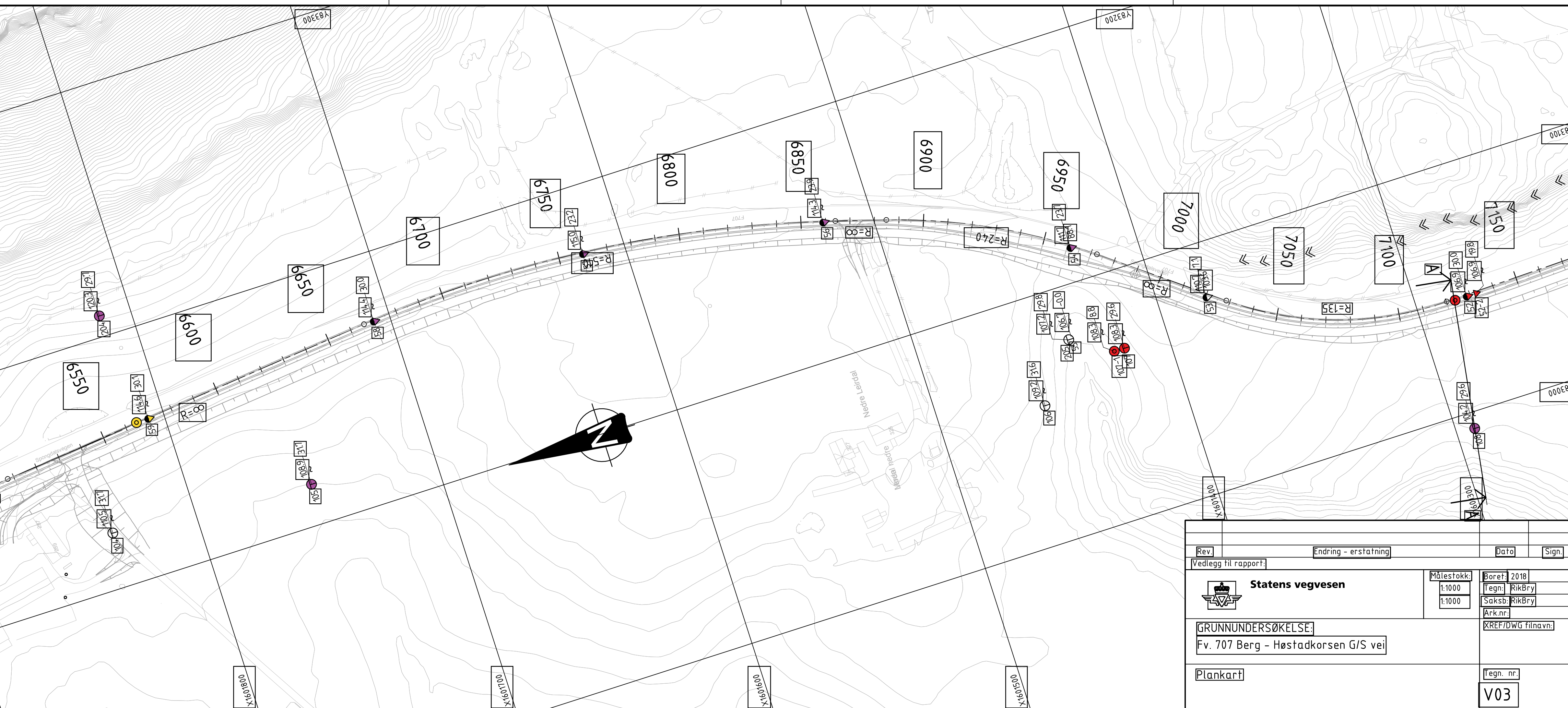


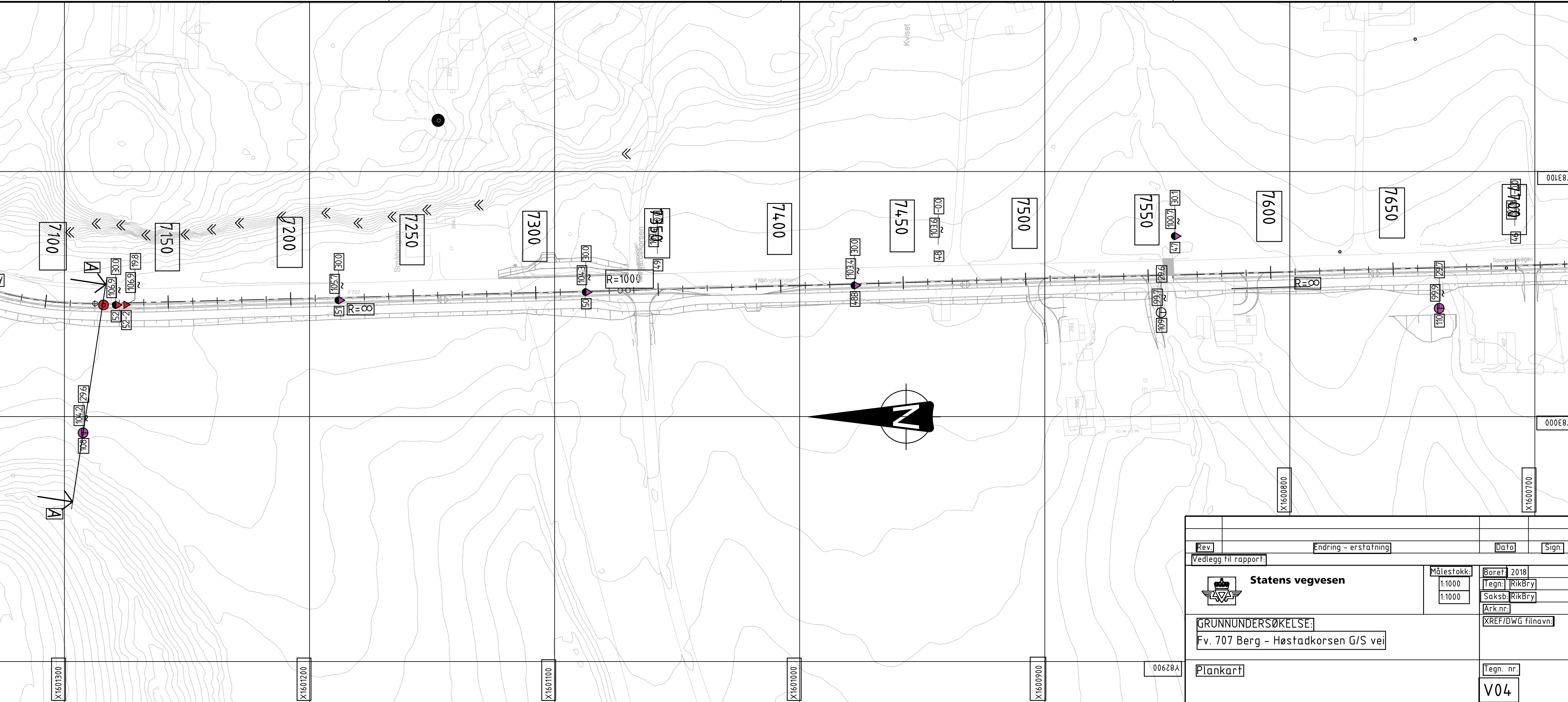
Bilde 14 og 15 – Nedstrøms planlagt G/S vei, utløp av kulvert er synlig i bilde 14 og bekkedalen videre nedstrøms fremgår av bilde 15.

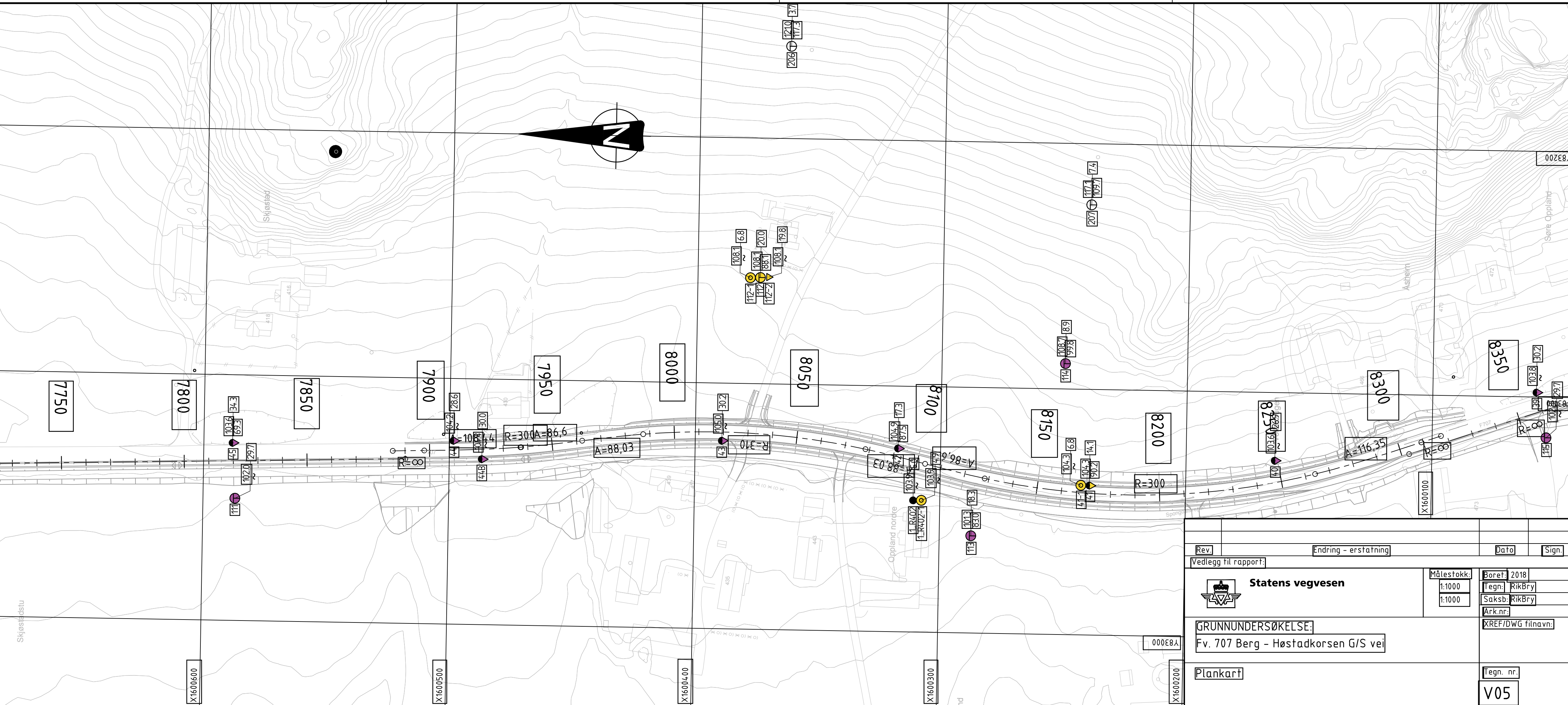
Det er god avstand fra planlagt G/S vei og utløpet på stikkrennen, G/S veien kan derfor etableres uten inngrep i eksisterende stikkrenne. Det er tegn til erosjon i bekkeleiet, det er også noe høydeforskjell. Høydeforskjellen øker noe nedover i bekkeleiet. Det er ikke tegn til retrogressiv skredutvikling, men det kan ikke utelukkes at det kan forekomme slik skredaktivitet i fremtiden.

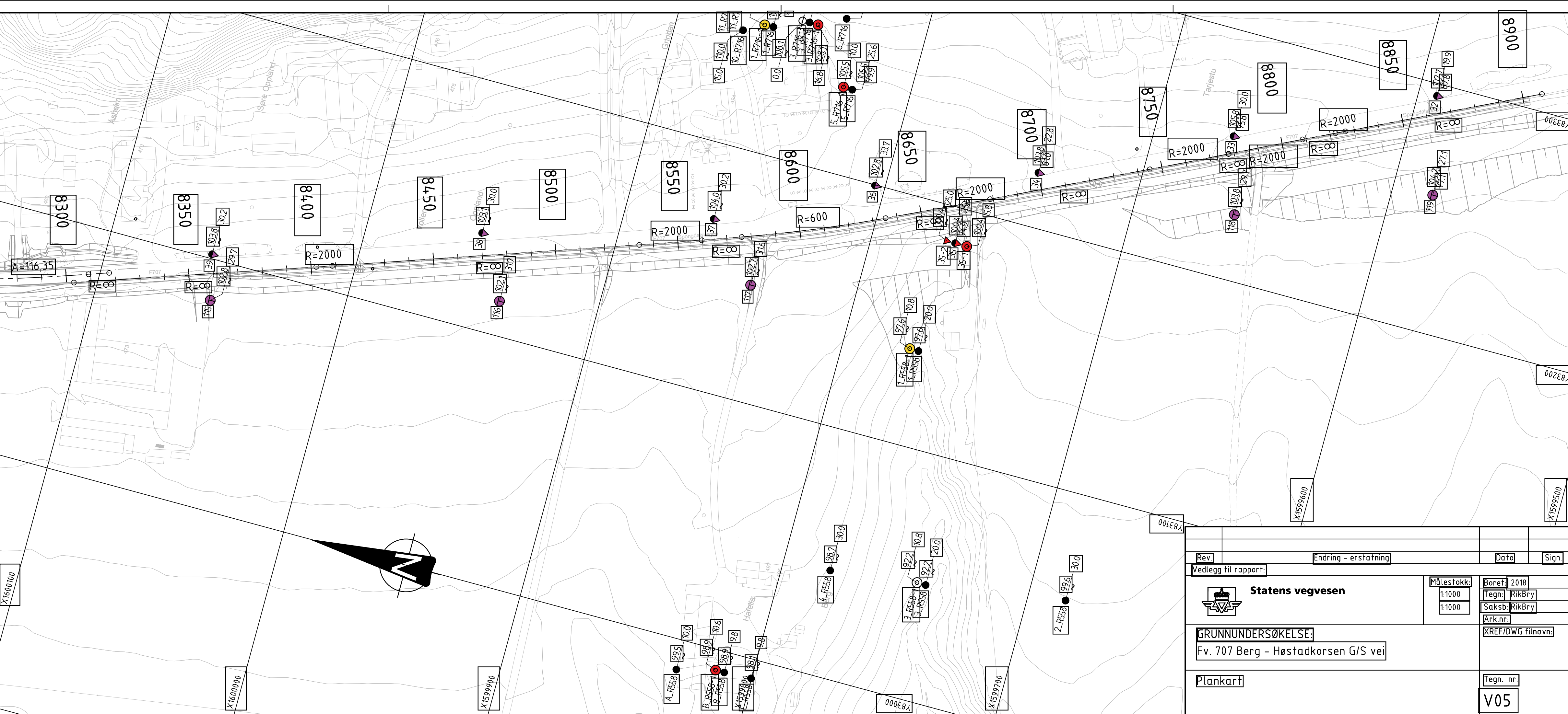


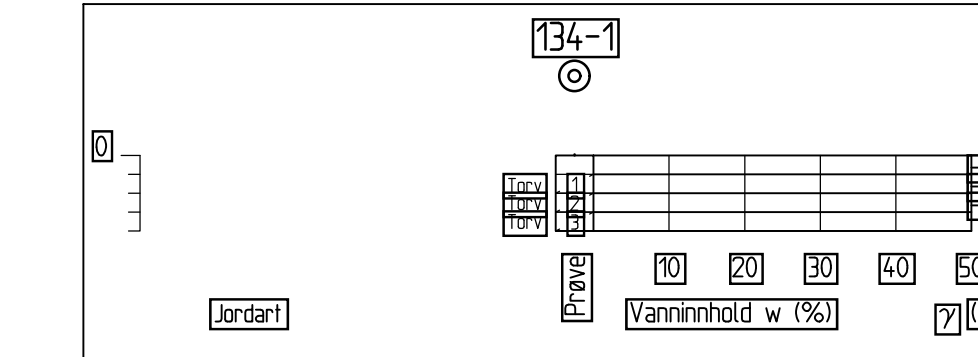
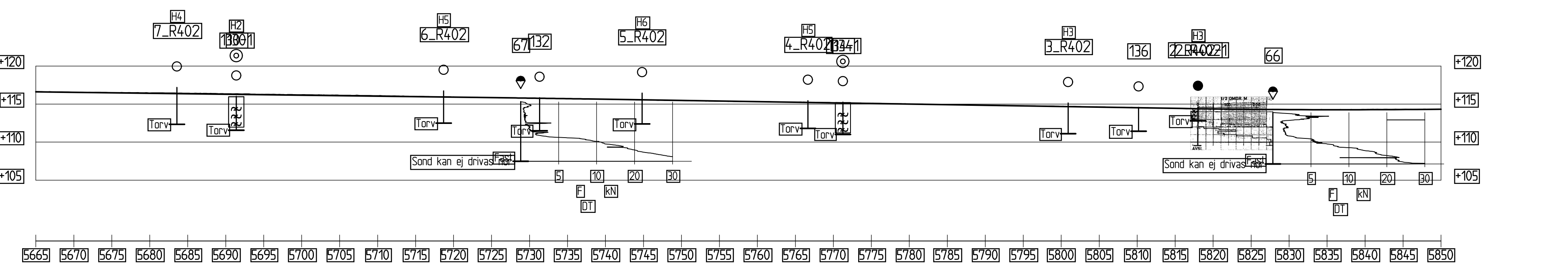
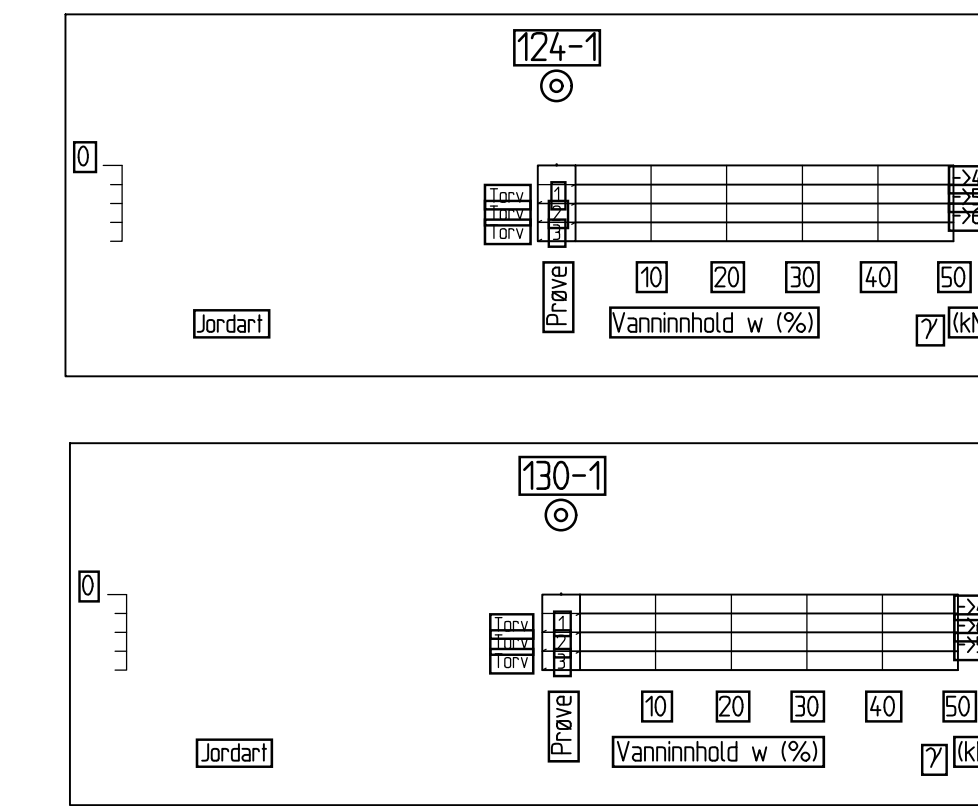
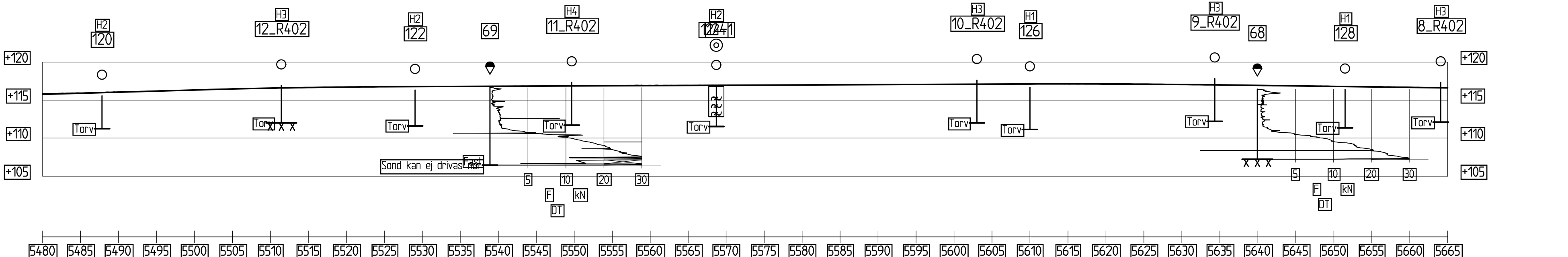




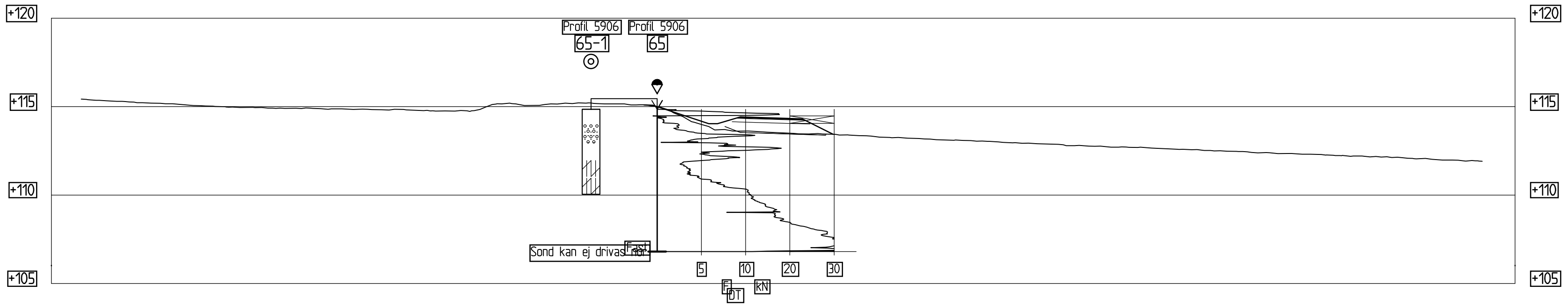
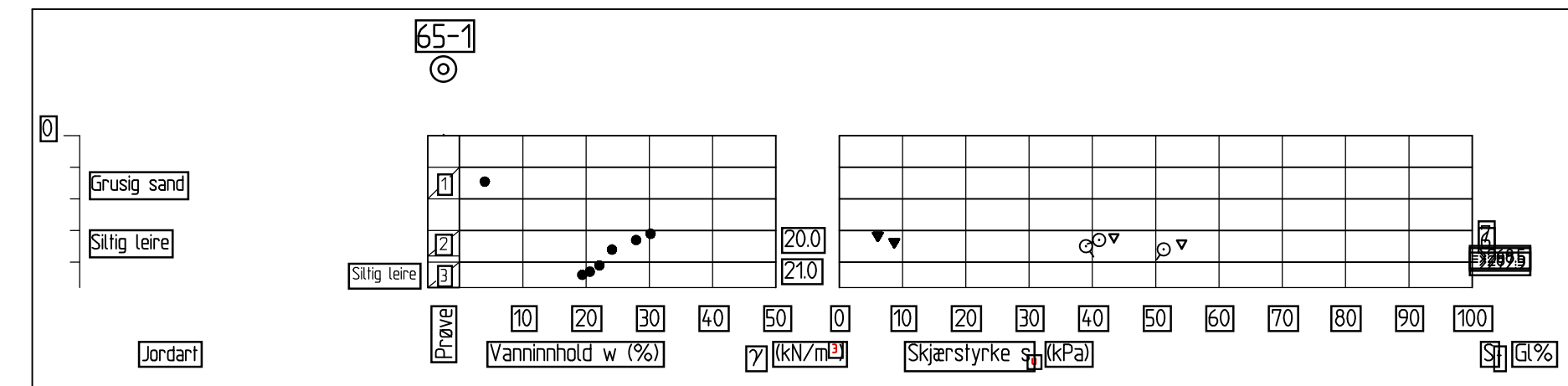
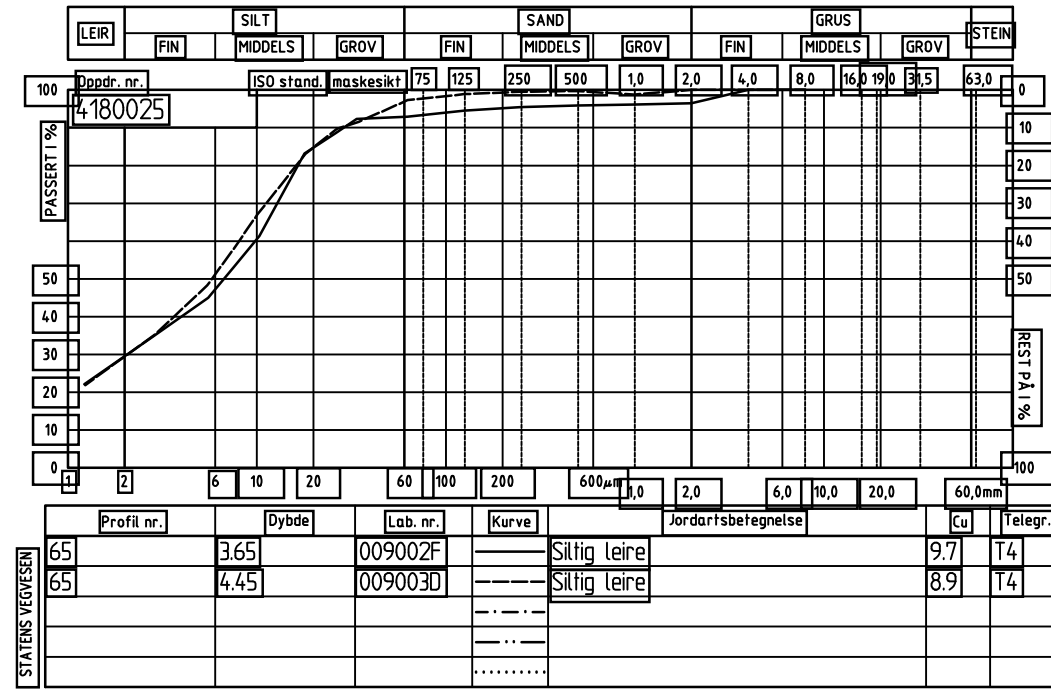








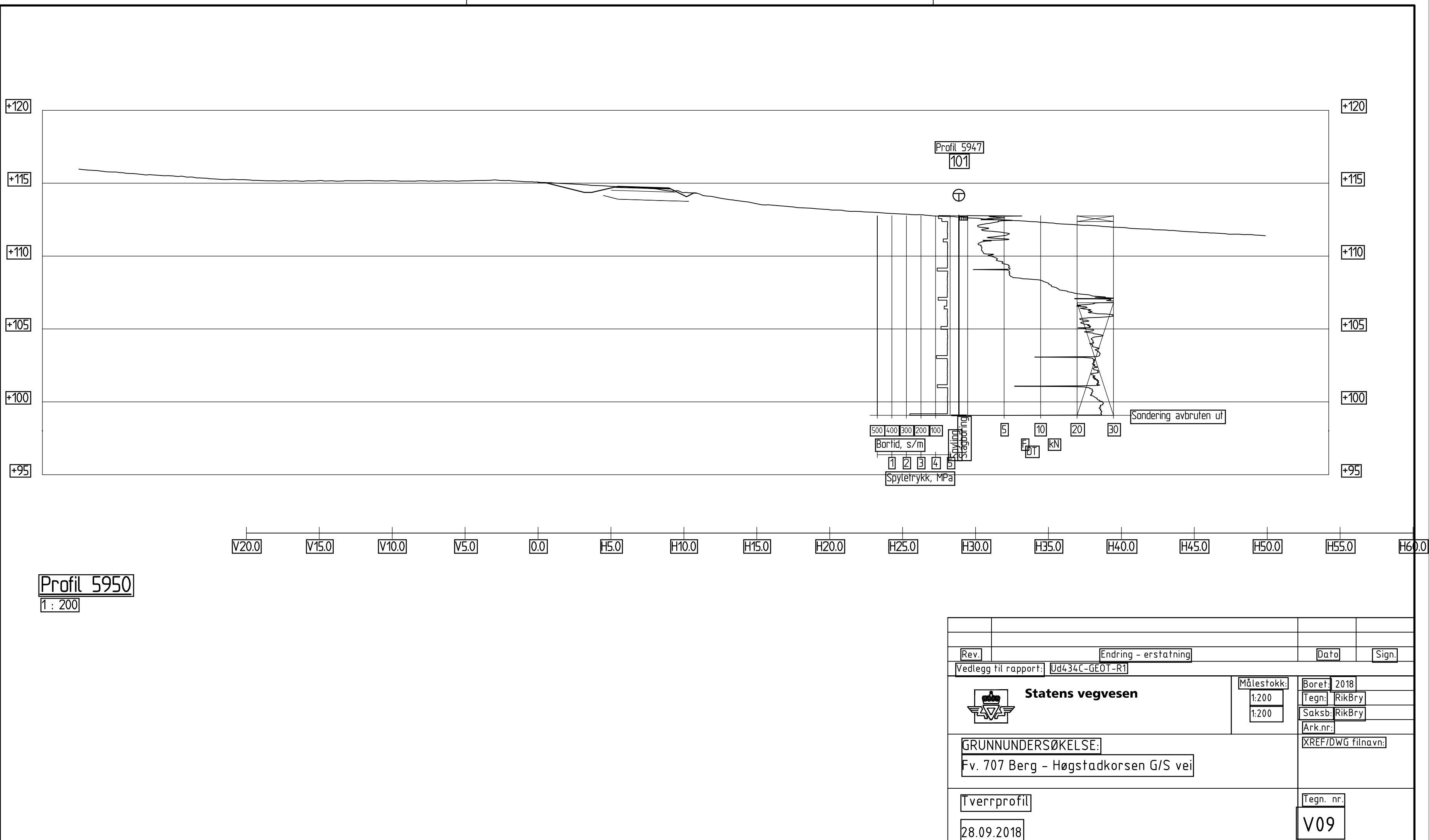
Rev.	Endring - erstatning	Date	Sign.
Vedlegg til rapport:			
Statens vegvesen 	Målestokk:	Boret:	2018
	1:400	Tegn:	RikBry
	1:400	Saksb:	RikBry
		Ark.nr.:	
GRUNNUNDERØKELSE:		XREF/DWG filnavn:	
Fv. 707 Berg - Høstadkorsen G/S vei			
Lengdeprofil		Tegn. nr.:	
28.09.2018		V07	

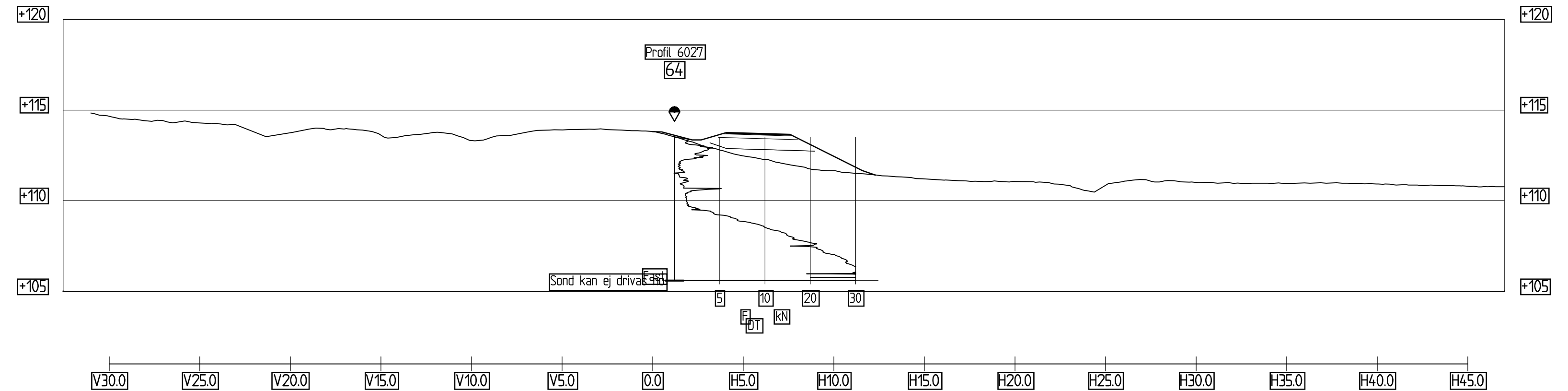


Profil 5900

1 : 200

Rev.	Endring - erstatning	Dato	Sign.
Vedlegg til rapport: Ud434C-GEOT-R1			
		Målestokk:	Boret: 2018
		1:200	Tegn: RikBry
		1:200	Saksb: RikBry
		Ark.nr.:	XREF/DWG filnavn:
GRUNNUNDERSØKELSE:		Tegn. nr.:	
Fv. 707 Berg - Høgstadkorsen G/S vei		V08	
Tverrprofil		28.09.2018	

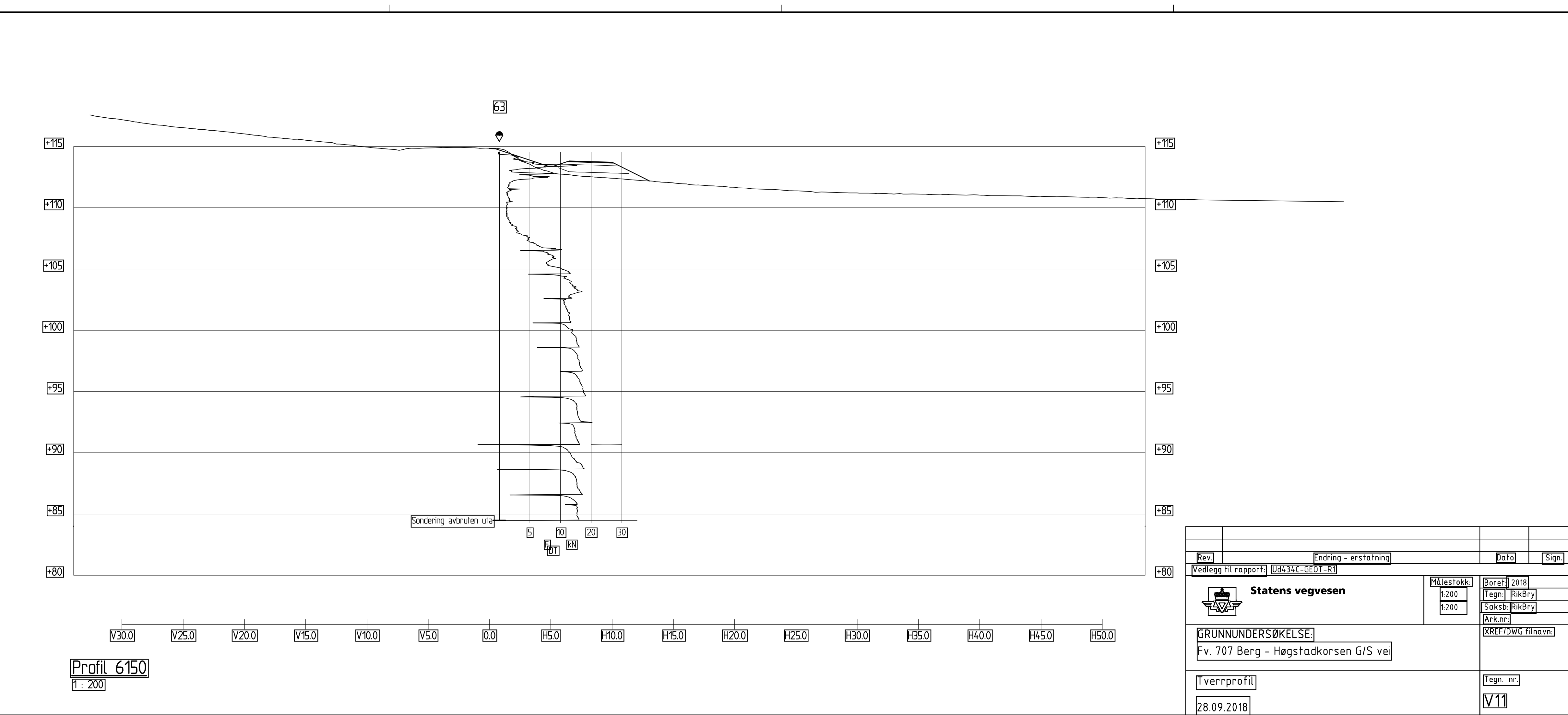


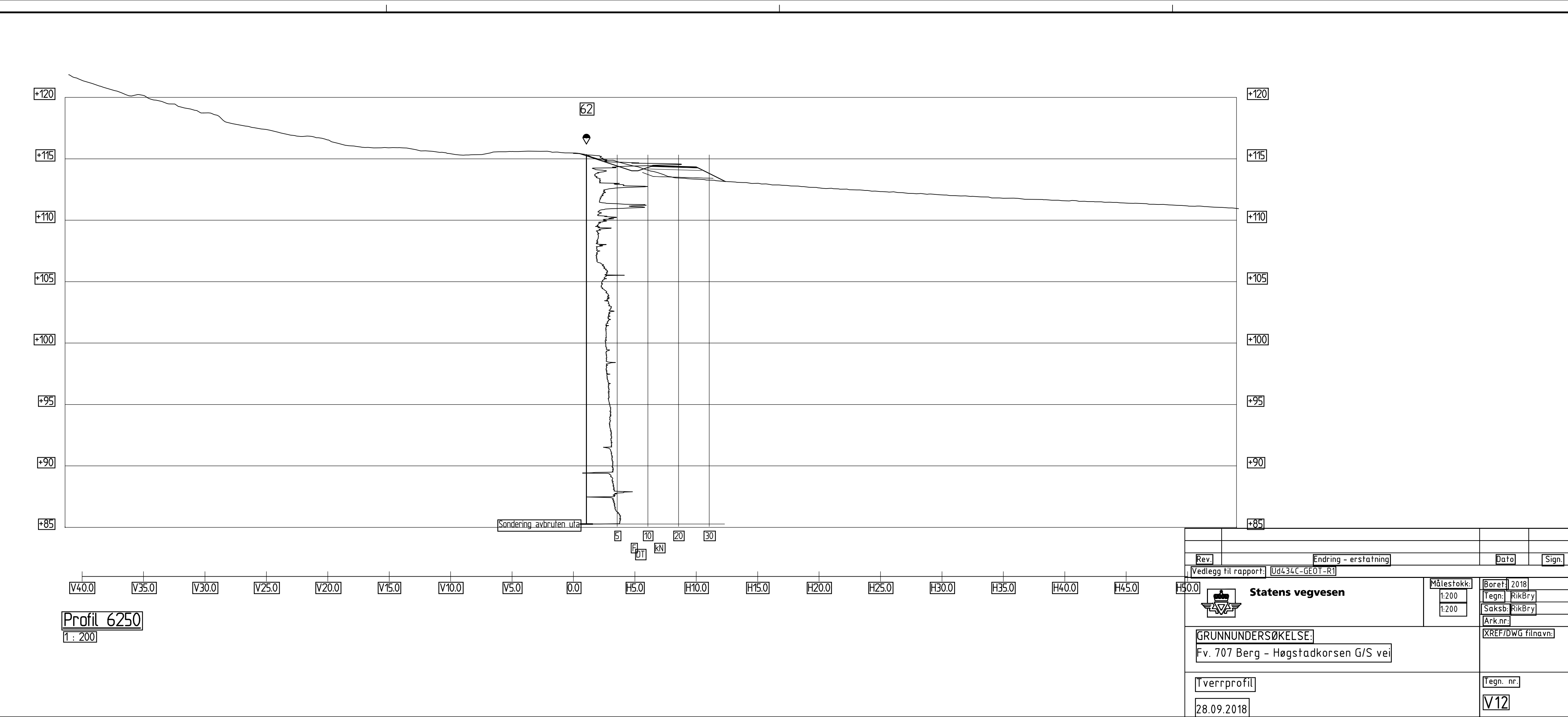


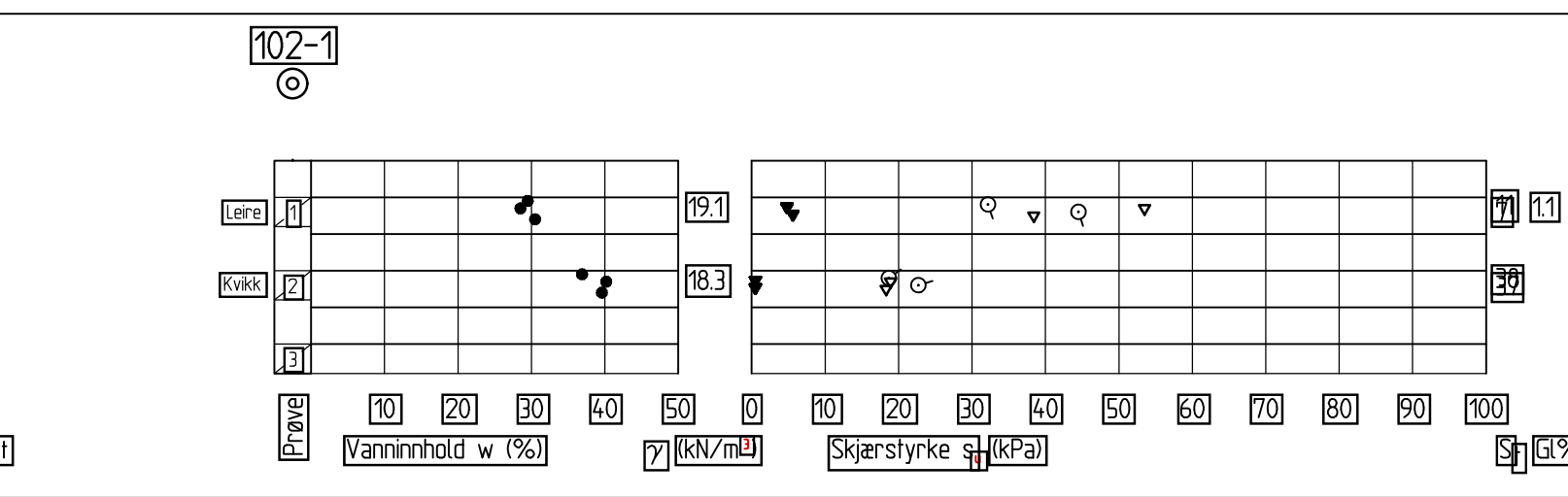
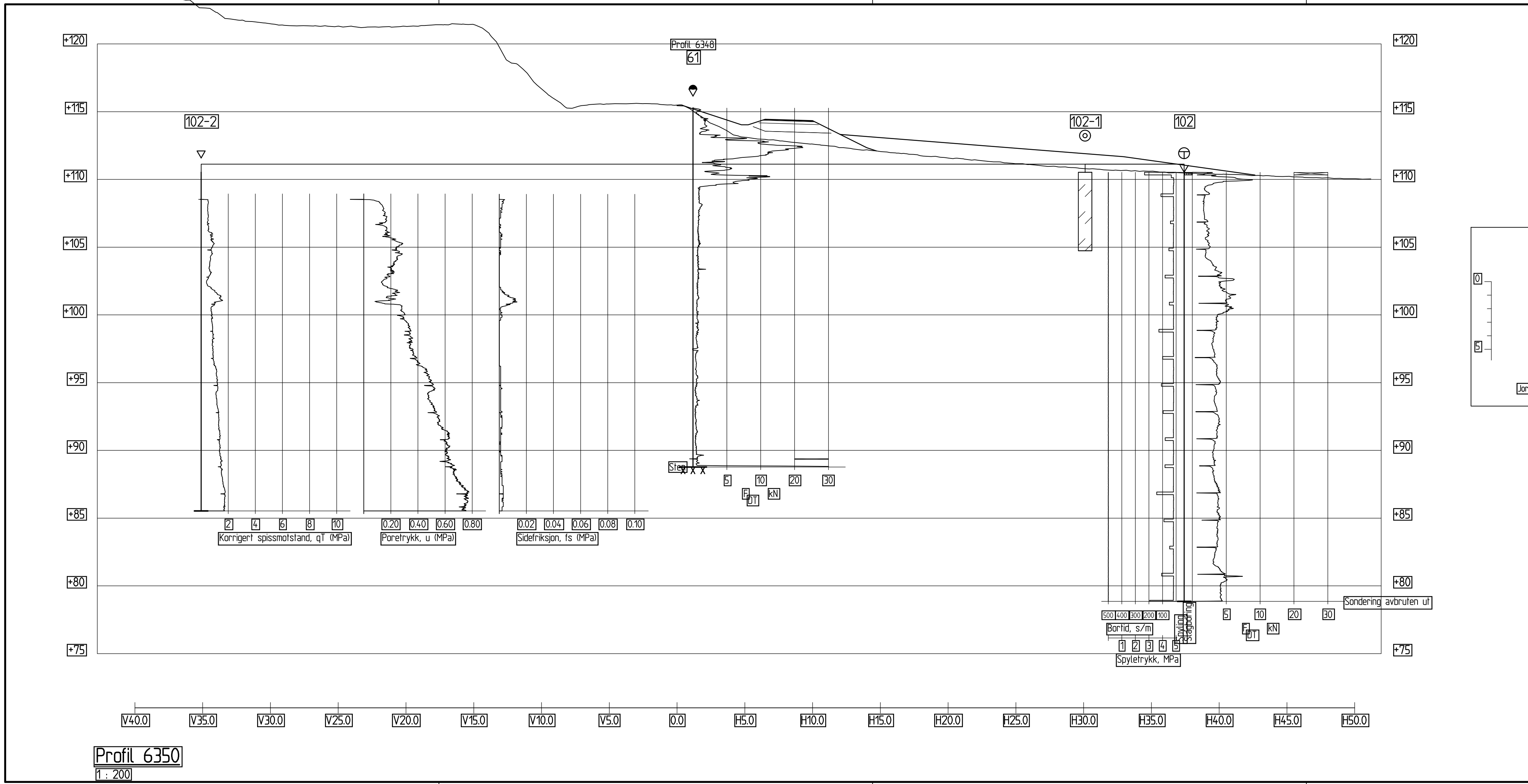
Profil 6030

1 : 200

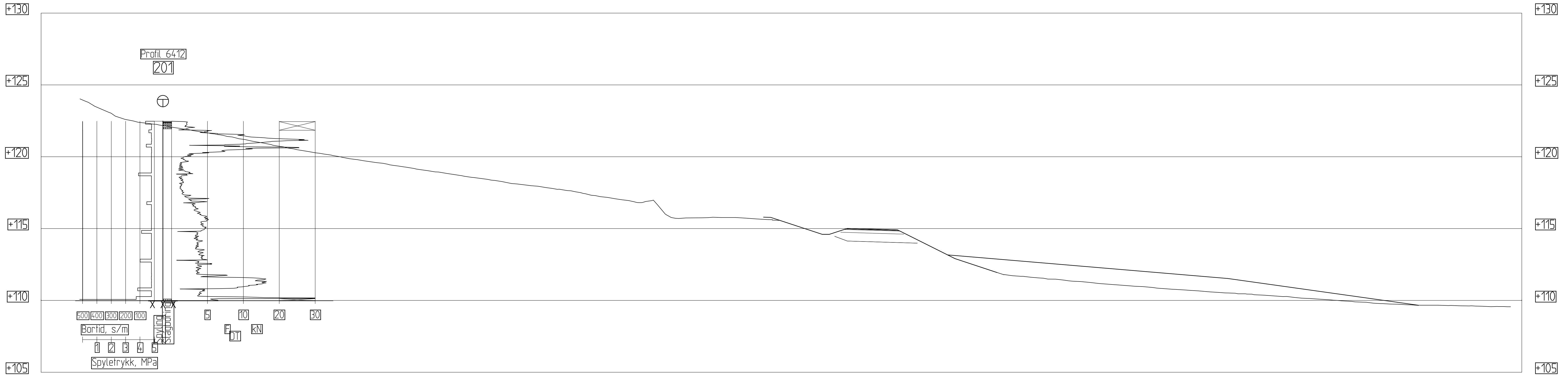
Rev.	Endring - erstatning	Dato	Sign.
Vedlegg til rapport: Ud434C-GEOT-R1			
 Statens vegvesen		Målestokk:	Boref: 2018
		1:200	Tegn: RikBry
		1:200	Saksb: RikBry
			Ark.nr.:
GRUNNUNDERSØKELSE:		XREF/DWG filnavn:	
Fv. 707 Berg - Høgstadkorsen G/S vei			
Tverrprofil		Tegn. nr.	
28.09.2018		V10	







Rev.	Endring - erstatning	Dato	Sign.
Vedlegg til rapport: Ud434C-GEOT-R1			
 <p>Statens vegvesen</p>		Målestokk: 1:200 1:200	Boret: 2018 Tegn: RikBry Saksb: RikBry Ark.nr:
GRUNNUNDERSØKELSE: Fv. 707 Berg - Høgstadkorsen G/S vei		XREF/DWG filnavn:	
Tverrprofil 28.09.2018		Tegn. nr. V13	



V50.0 V45.0 V40.0 V35.0 V30.0 V25.0 V20.0 V15.0 V10.0 V5.0 0.0 H5.0 H10.0 H15.0 H20.0 H25.0 H30.0 H35.0 H40.0 H45.0 H50.0

Profil 6400

1 : 200

Rev.	Endring - erstatning	Dato
Vedlegg til rapport:	Ud434C-GEOT-R1	Sign.



Statens vegvesen

Målestokk:	Boret:	2018
	Tegn:	RikBry
	Saksb:	RikBry
	Ark nr:	

GRUNNUNDERØKELSE:

Fv. 707 Berg - Høgstadkorsen G/S vei

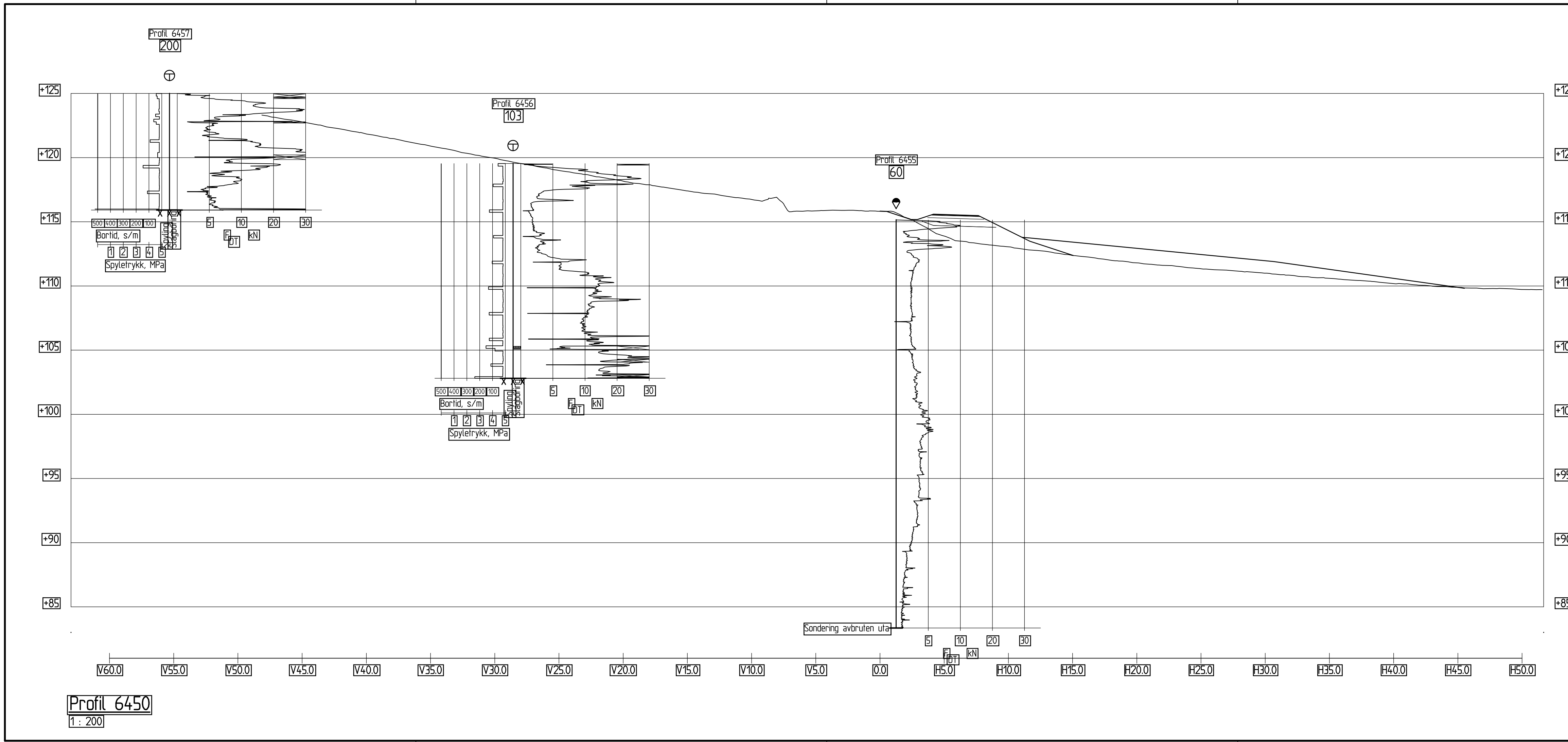
XREF/DWG filnavn:

Tverrprofil

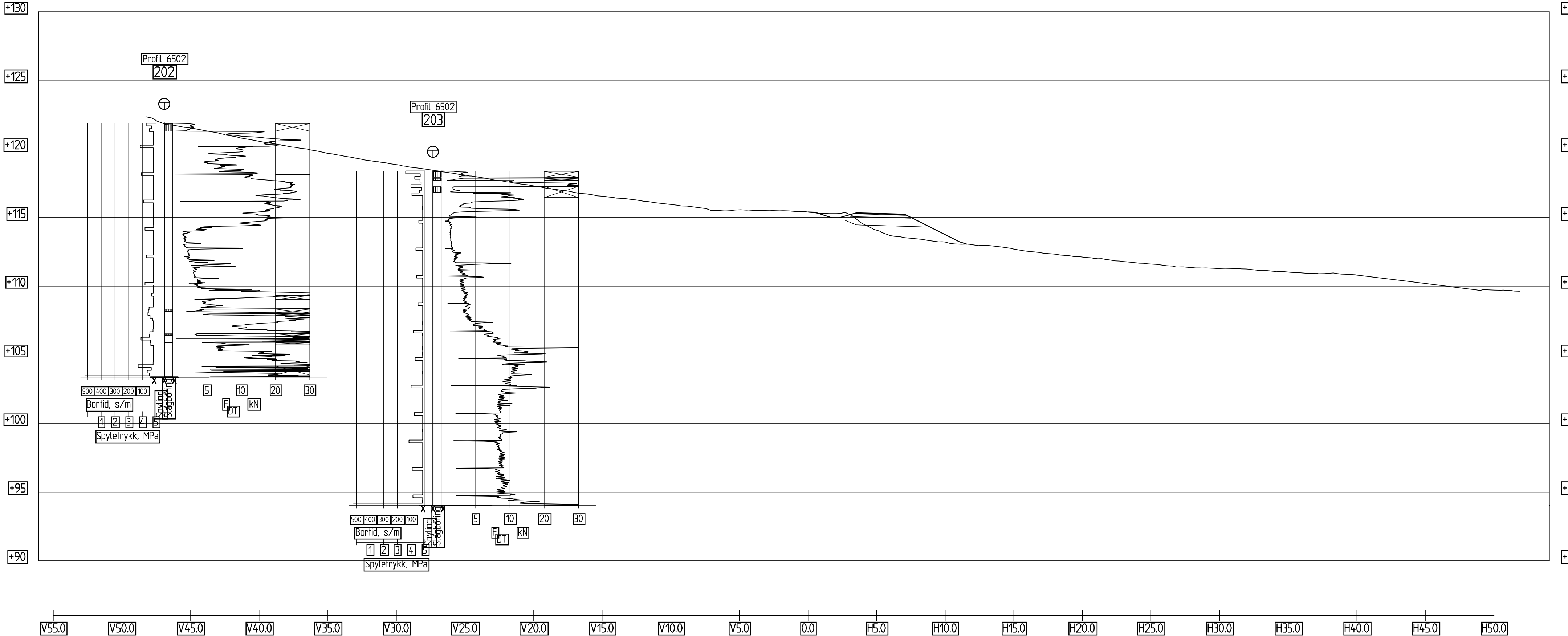
Tegn. nr:

28.09.2018

V14

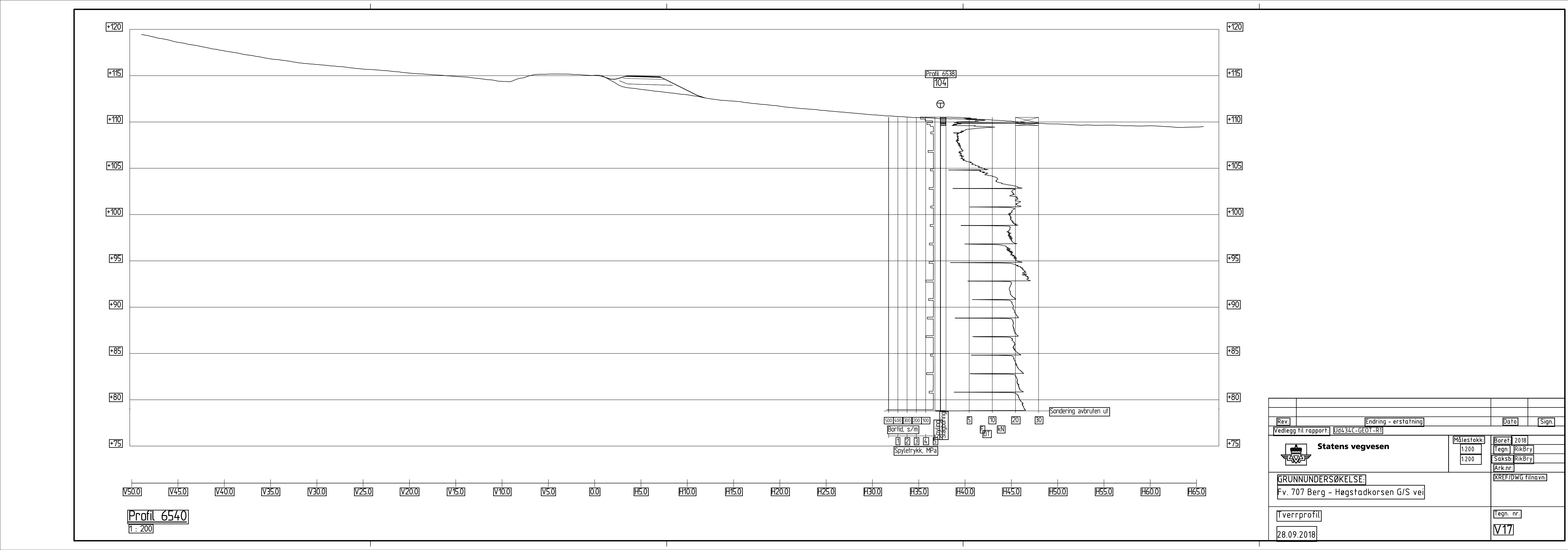


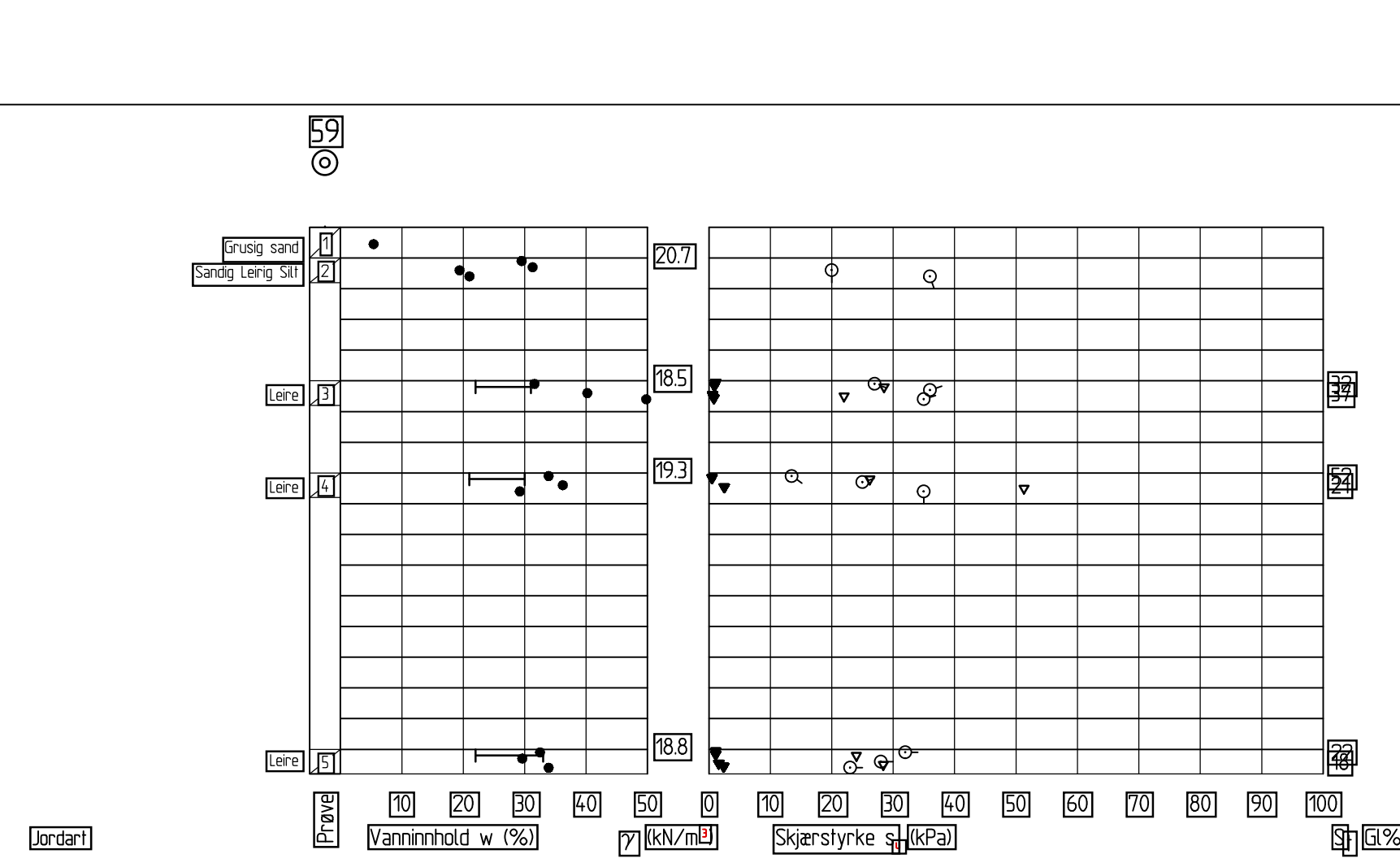
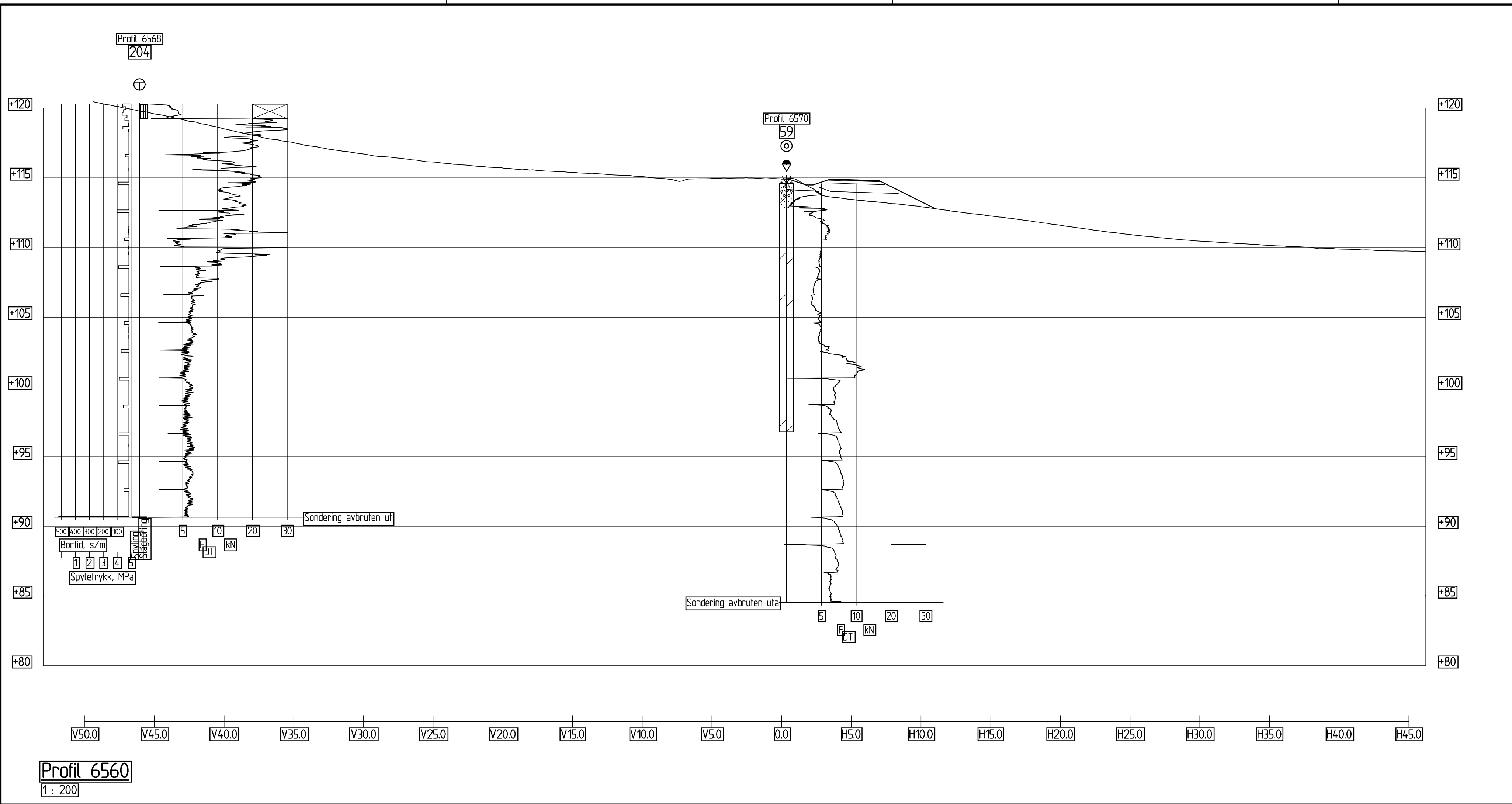
Rev.	Endring - erstattning	Dato	Sign.
Vedlegg til rapport: Ud434C-GEOT-R1			
 Statens vegvesen		Målestokk: 1:200 1:200	Boret: 2018 Tegn: RikBry Saksb: RikBry Ark.nr:
GRUNNUNDERSØKELSE: Fv. 707 Berg - Høgstadkorsen G/S vei		XREF/DWG filnavn:	
Tverrprofil 28.09.2018		Tegn. nr. V15	



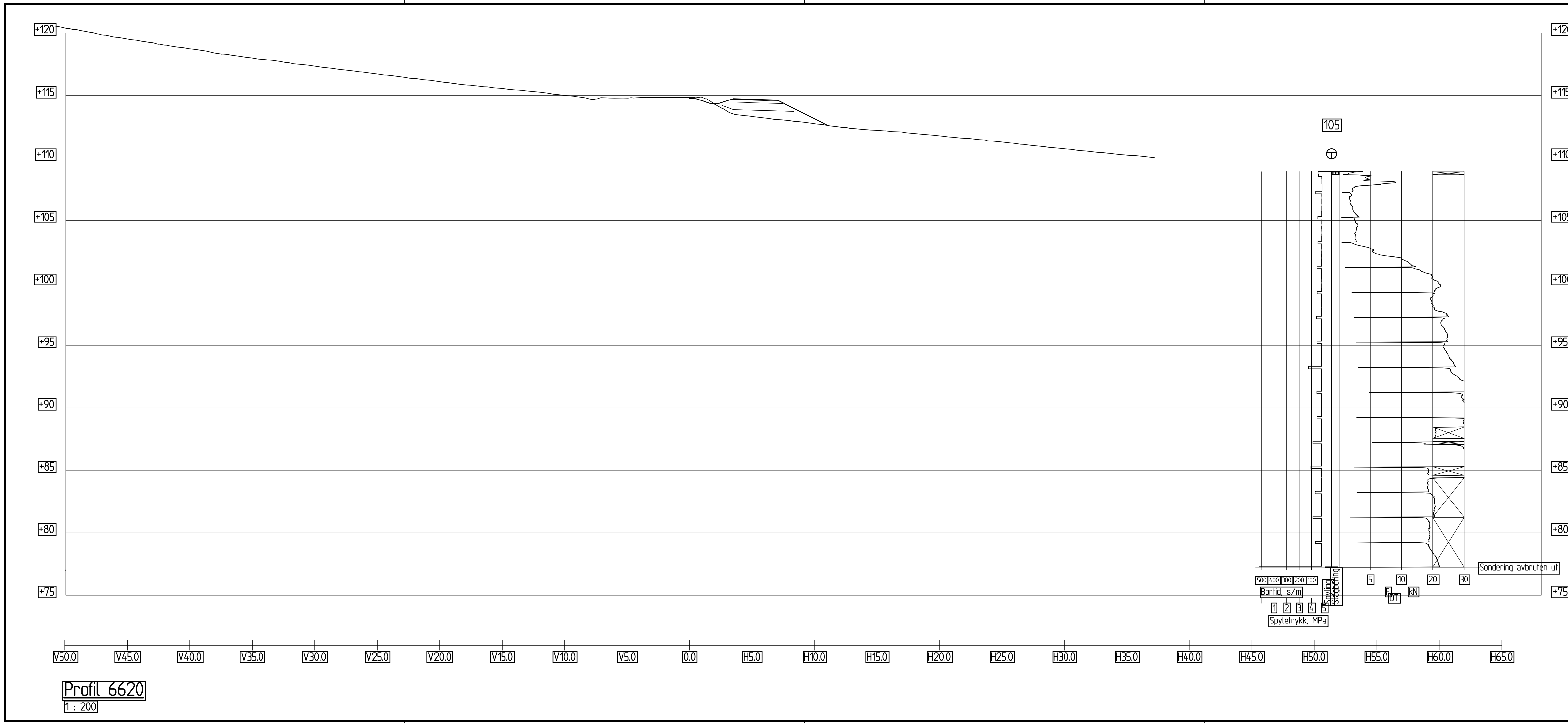
Profil 6500
1 : 200

Rev.	Endring - erstatning	Dato	Sign.
Vedlegg til rapport: Udg34C-GEOT-R1			
Statens vegvesen		Målestokk:	Boret: 2018
		1:200	Tegn: RikBry
		1:200	Saksb: RikBry
		Ark.nr:	XREF/DWG filnavn:
GRUNNUNDERØKELSE:		Fv. 707 Berg - Høgstadkorsen G/S vei	
Tverrprofil		Tegn. nr.	
		V16	
28.09.2018			

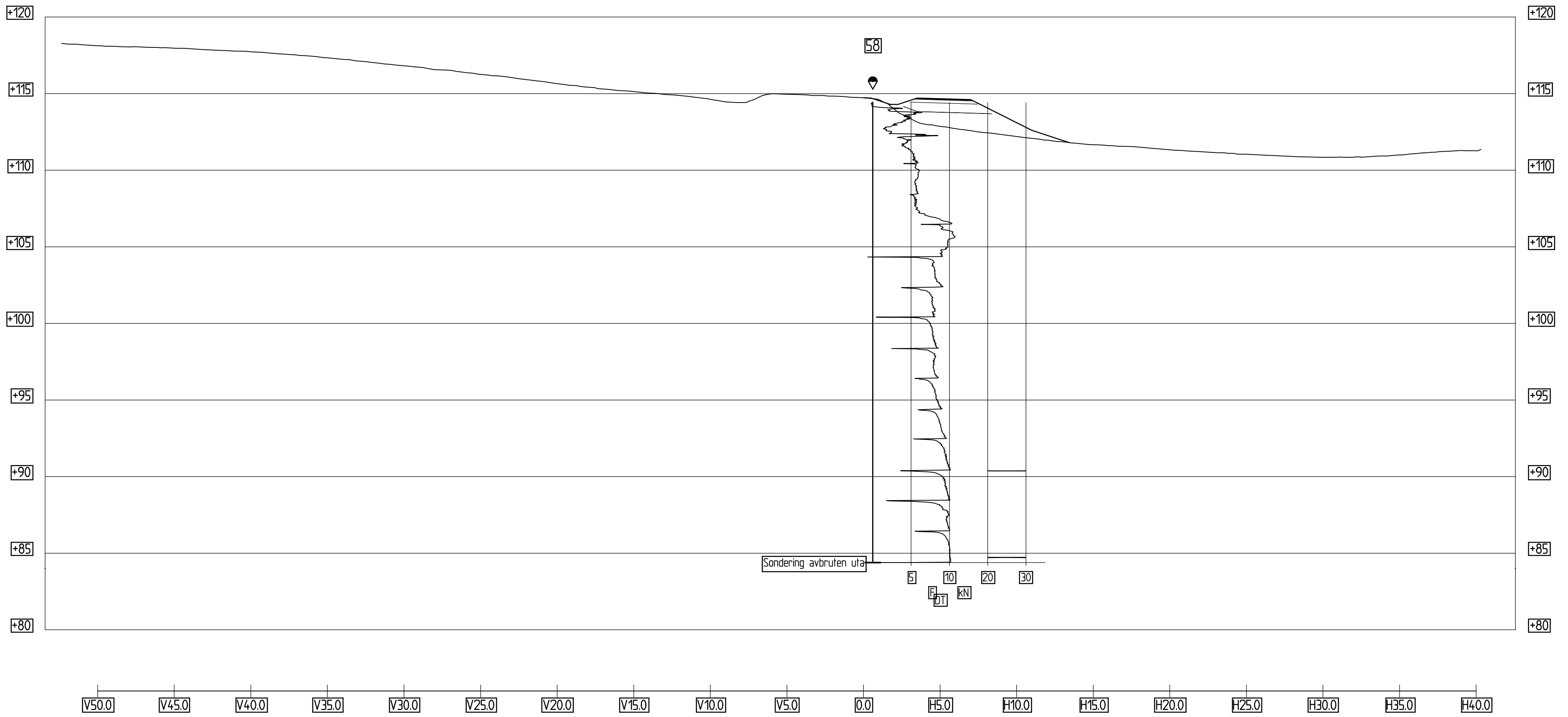




Rev.	Endring - erstatning	Dato	Sign.
Vedlegg til rapport: Ud434C-GEOT-R1			
 Statens vegvesen		Målestokk:	Boret: 2018
		1:200	Tegn: RikBry
		1:200	Saksb: RikBry
			Ark.nr:
GRUNNUNDERSØKELSE: Fv. 707 Berg - Høgstadkorsen G/S vei		XREF/DWG filnavn:	
Tverrprofil		Tegn. nr.	
28.09.2018		V18	

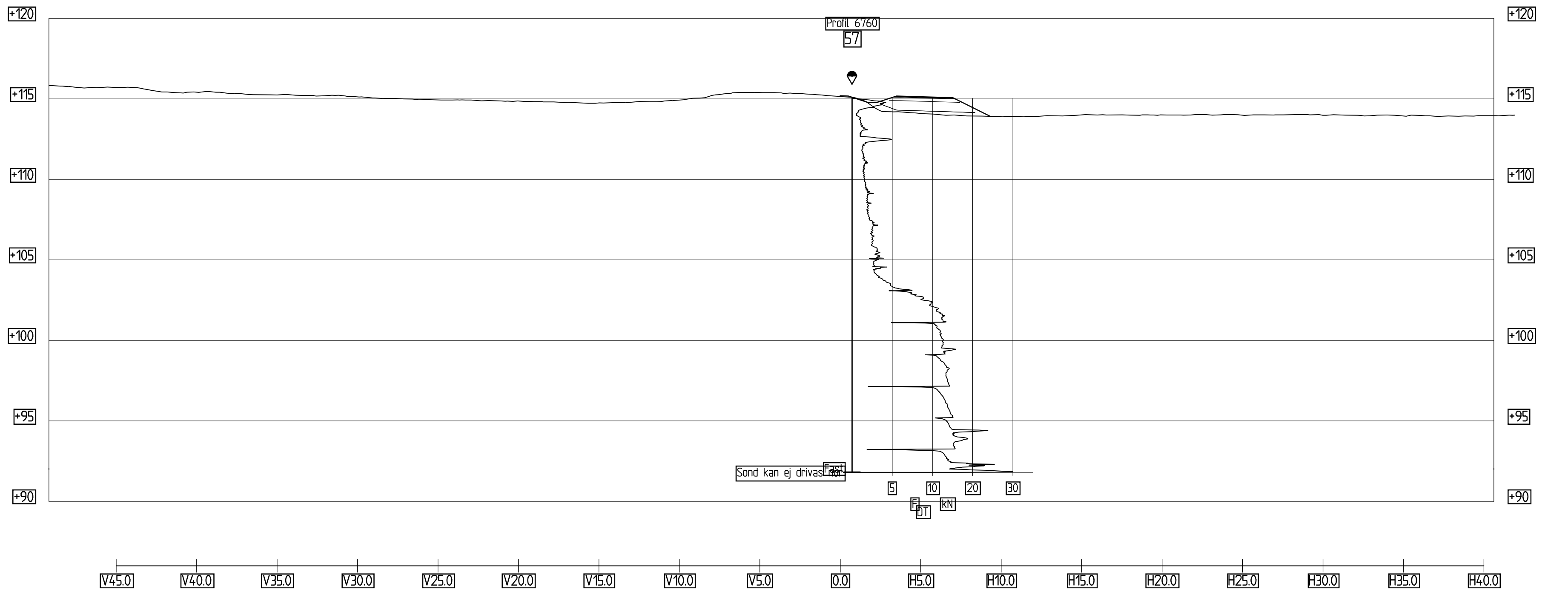


Rev.	Endring - erstattning	Dato	Sign.
Vedlegg til rapport: Ud434C-GEOT-R1			
 Statens vegvesen		Målestokk:	Boret: 2018
		1:200	Tegn: RikBry
		1:200	Saksb: RikBry
			Ark.nr:
GRUNNUNDERSØKELSE: Fv. 707 Berg - Høgstadkorsen G/S vei		XREF/DWG filnavn:	
Tverrprofil 28.09.2018		Tegn. nr. V19	



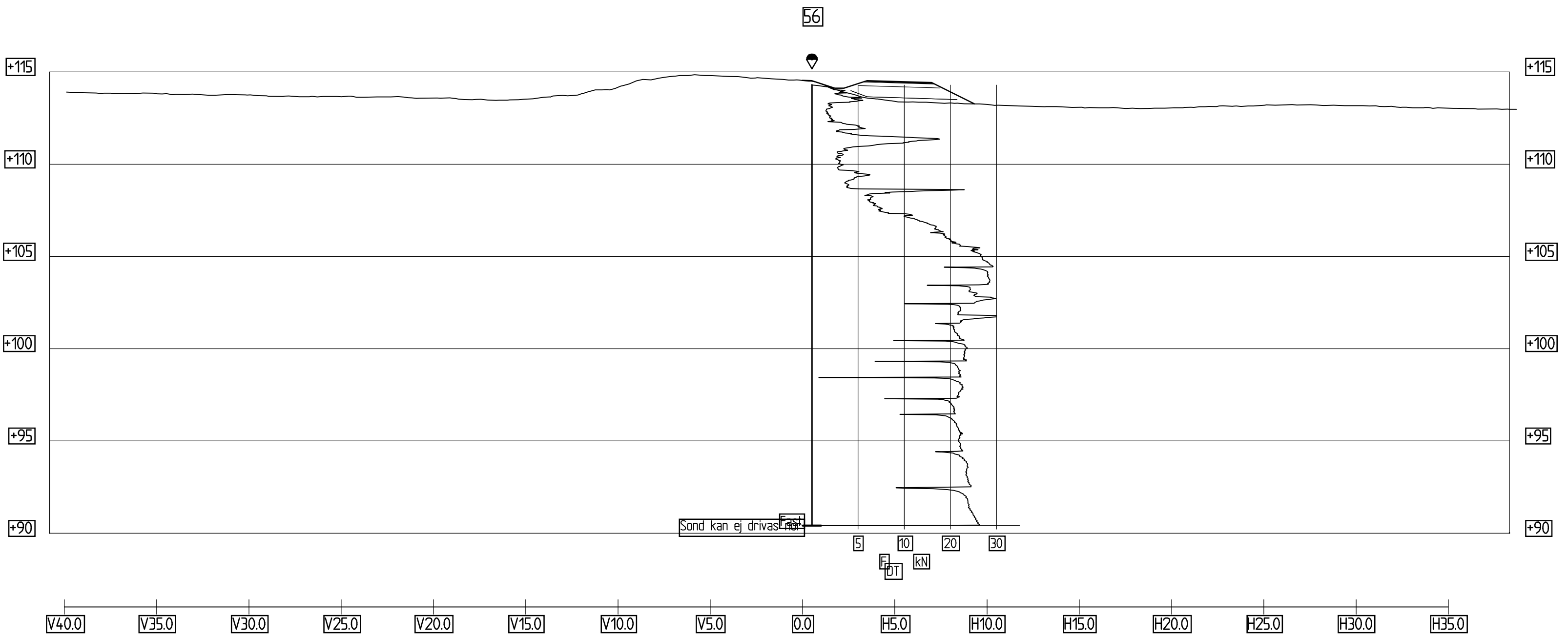
Profil 6670
1 : 200

Rev.	Endring - erstatning	Dato	Sign.
Vedlegg til rapport: Udg34C-GEOT-R1			
 Statens vegvesen		Målestokk:	Boret: 2018
		1:200	Tegn: RikBry
		1:200	Saksb: RikBry
			Ark.nr.:
			XREF/DWG filnavn:
			Fv. 707 Berg - Høgstadkorsen G/S vei
 Tverrprofil		Tegn. nr.:	
			V20
			28.09.2018



Profil 6750
1 : 200

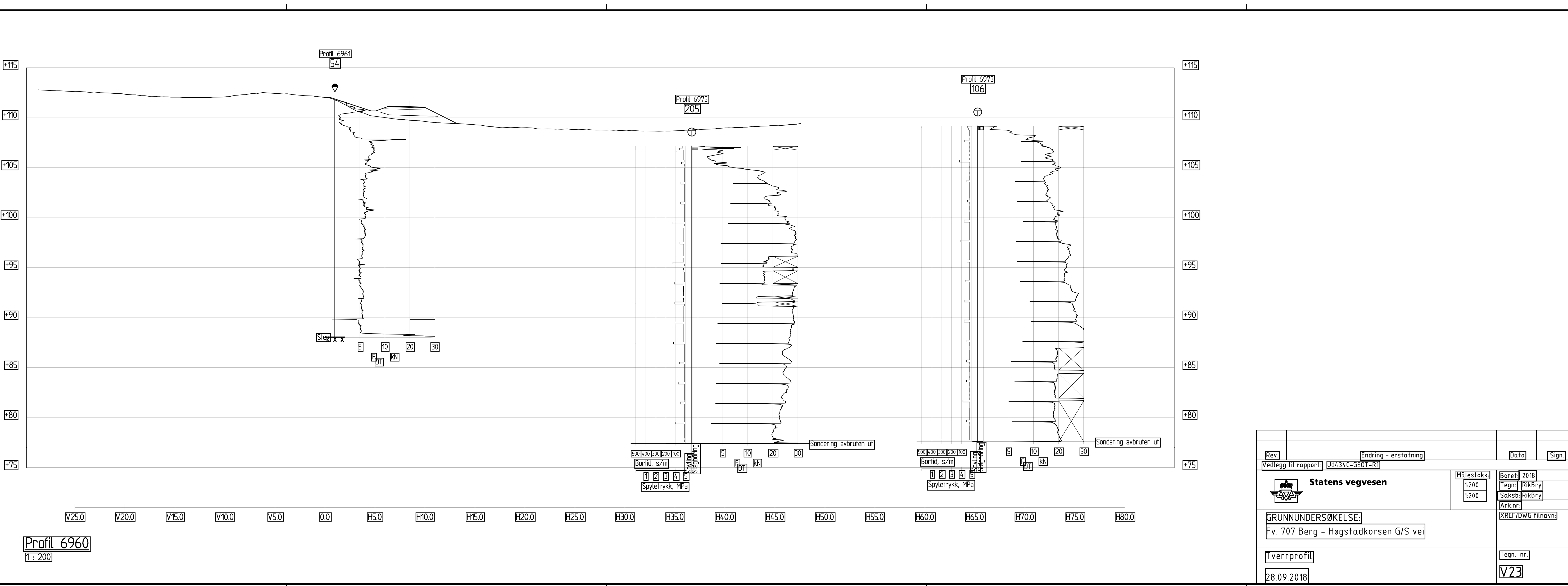
Rev.	Endring - erstatning	Dato	Sign.
Vedlegg til rapport: Ud434C-GEOT-R1			
Statens vegvesen 		Målestokk:	Boret: 2018
		1:200	Tegn: RikBry
		1:200	Saksb: RikBry
			Ark.nr.:
GRUNNUNDERØKELSE:		XREF/DWG filnavn:	
Fv. 707 Berg - Høgstadkorsen G/S vei			
Tverrprofil		Tegn. nr.:	
28.09.2018		V21	



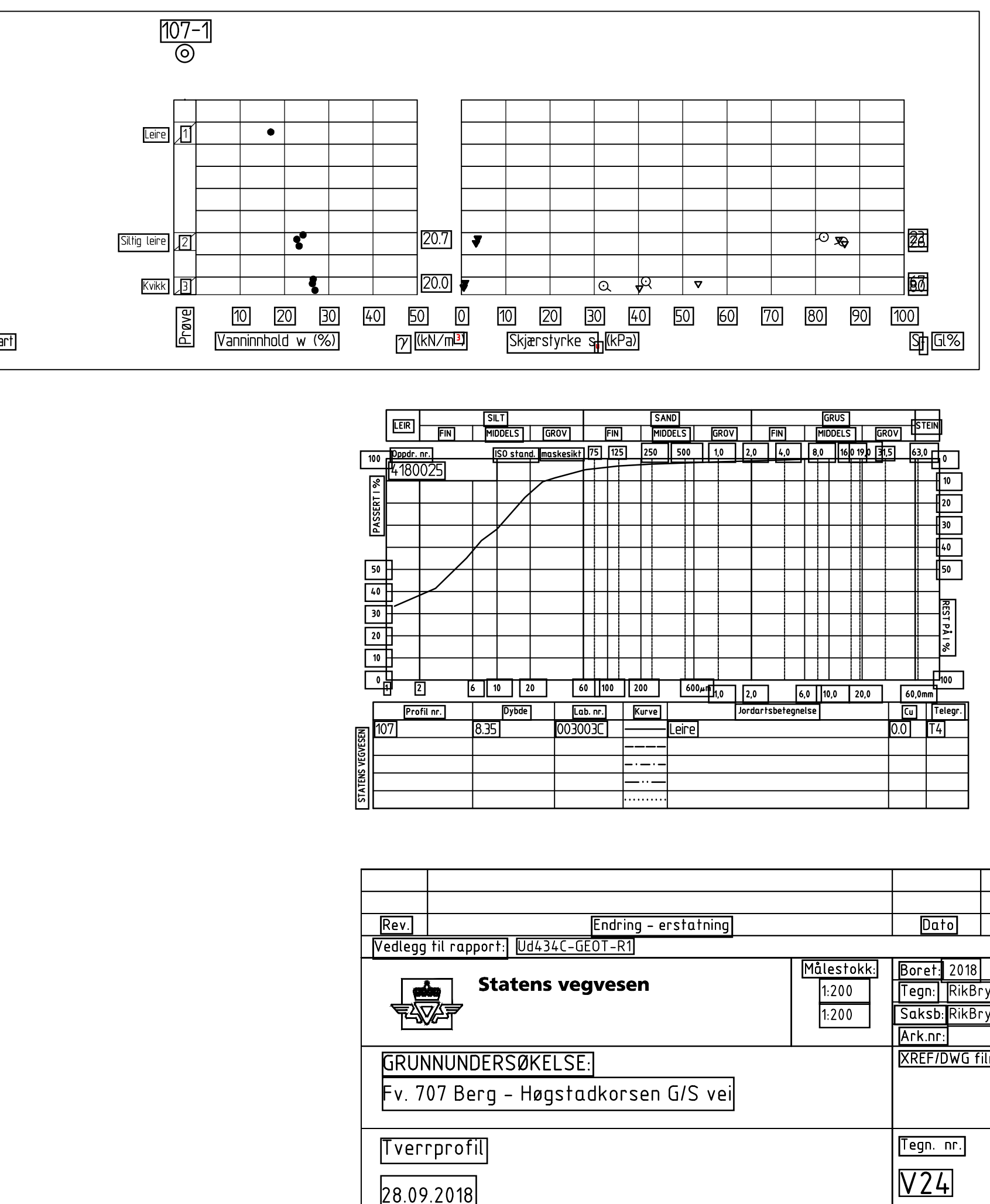
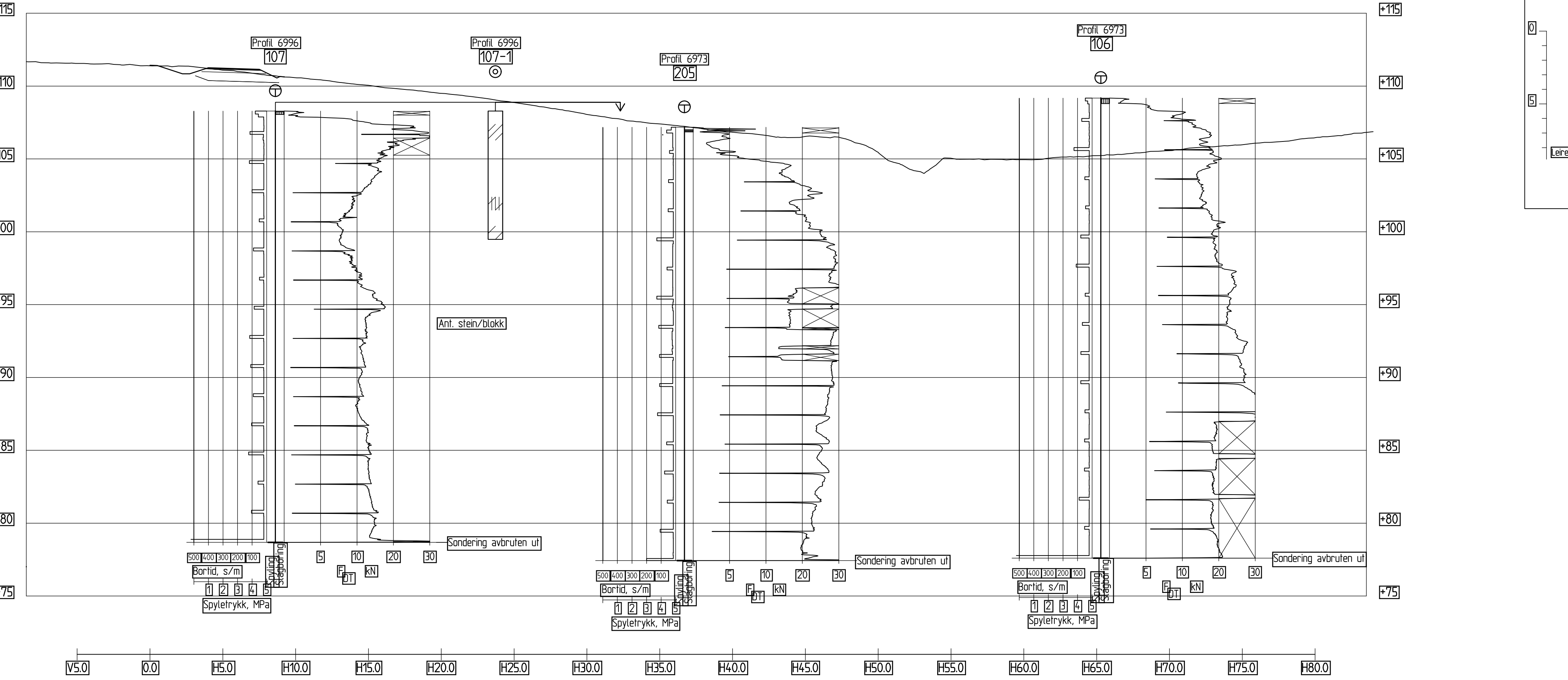
Profil 6860

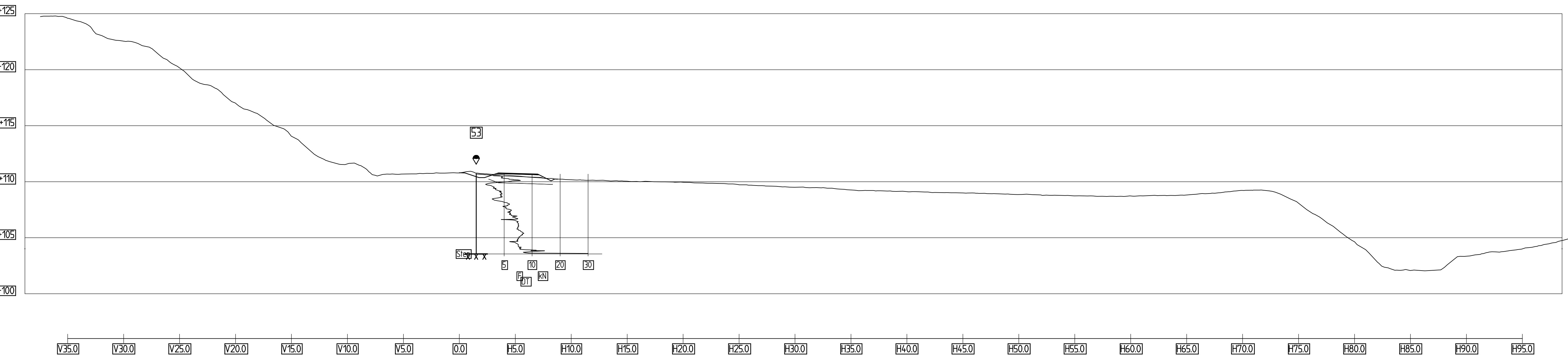
1 : 200

Rev.	Endring - erstatning	Dato	Sign.
Vedlegg til rapport: Ud434C-GEOT-R1			
 Statens vegvesen		Målestokk:	Boref: 2018
		1:200	Tegn: RikBry
		1:200	Saksb: RikBry
		Ark.nr.:	XREF/DWG filnavn:
GRUNNUNDERSØKELSE: Fv. 707 Berg - Høgstadkorsen G/S vei			
Tverrprofil		Tegn. nr.	
		V22	
28.09.2018			



Rev.	Endring - erstatning	Date	Sign.
Vedlegg til rapport: Udg34C-GEOT-R1			
Statens vegvesen 		Målestokk:	Boret: 2018
		1:200	Tegn: RikBry
		1:200	Saksb: RikBry
			Ark.nr.:
			XREF/DWG filnavn:
			Fv. 707 Berg - Høgstadkorsen G/S vei
		Tverrprofil	Tegn. nr.:
		28.09.2018	V23





Vedlegg til rapport:

[Ud434C-GEOT-R1]

[Rev.]

[Endring - erstattning]

[Data]

[Sign.]

Statens vegvesen



Målestokk:

1:200

Boret:

2018

Tegn:

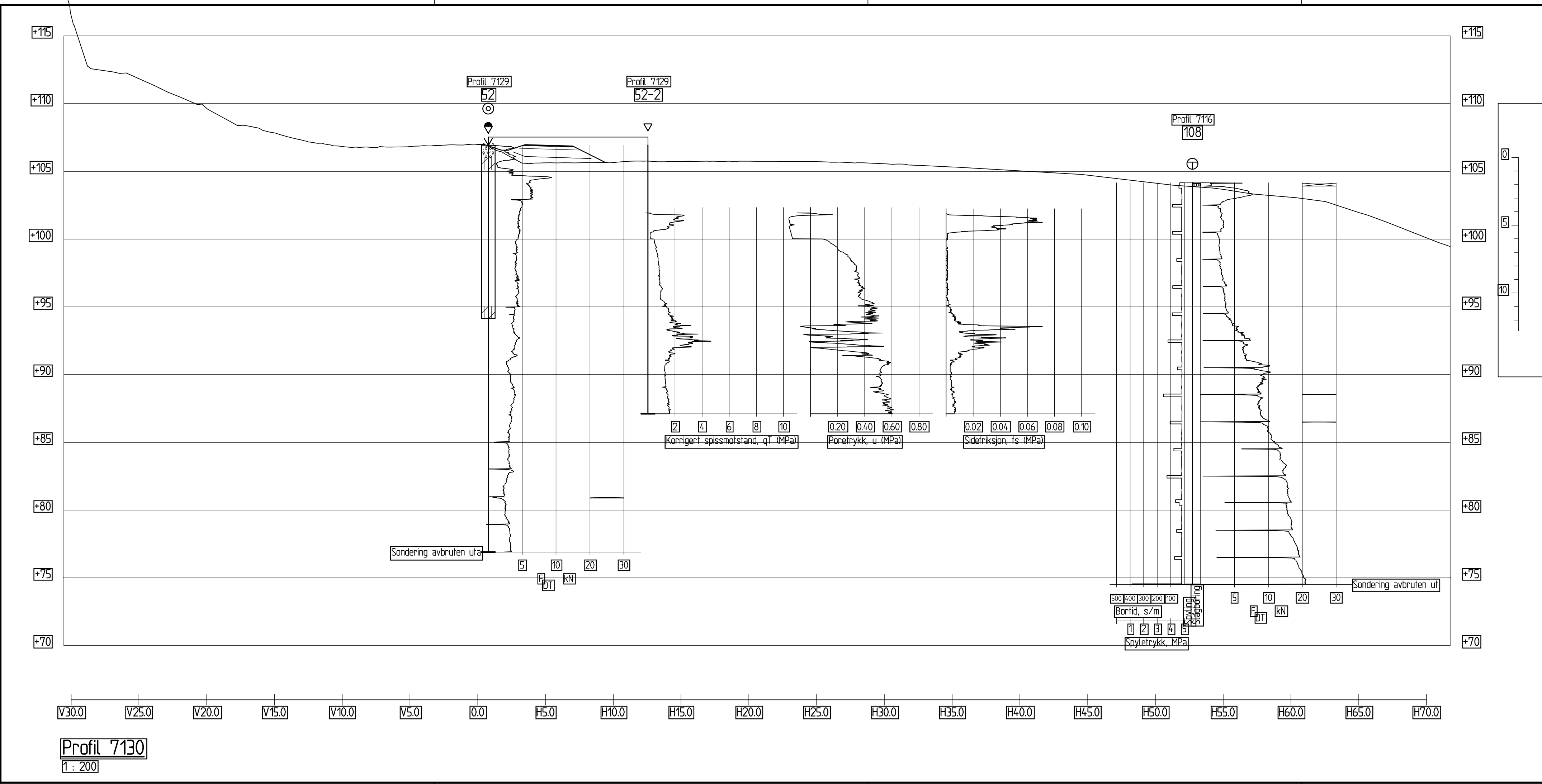
RikBry

Saksb:

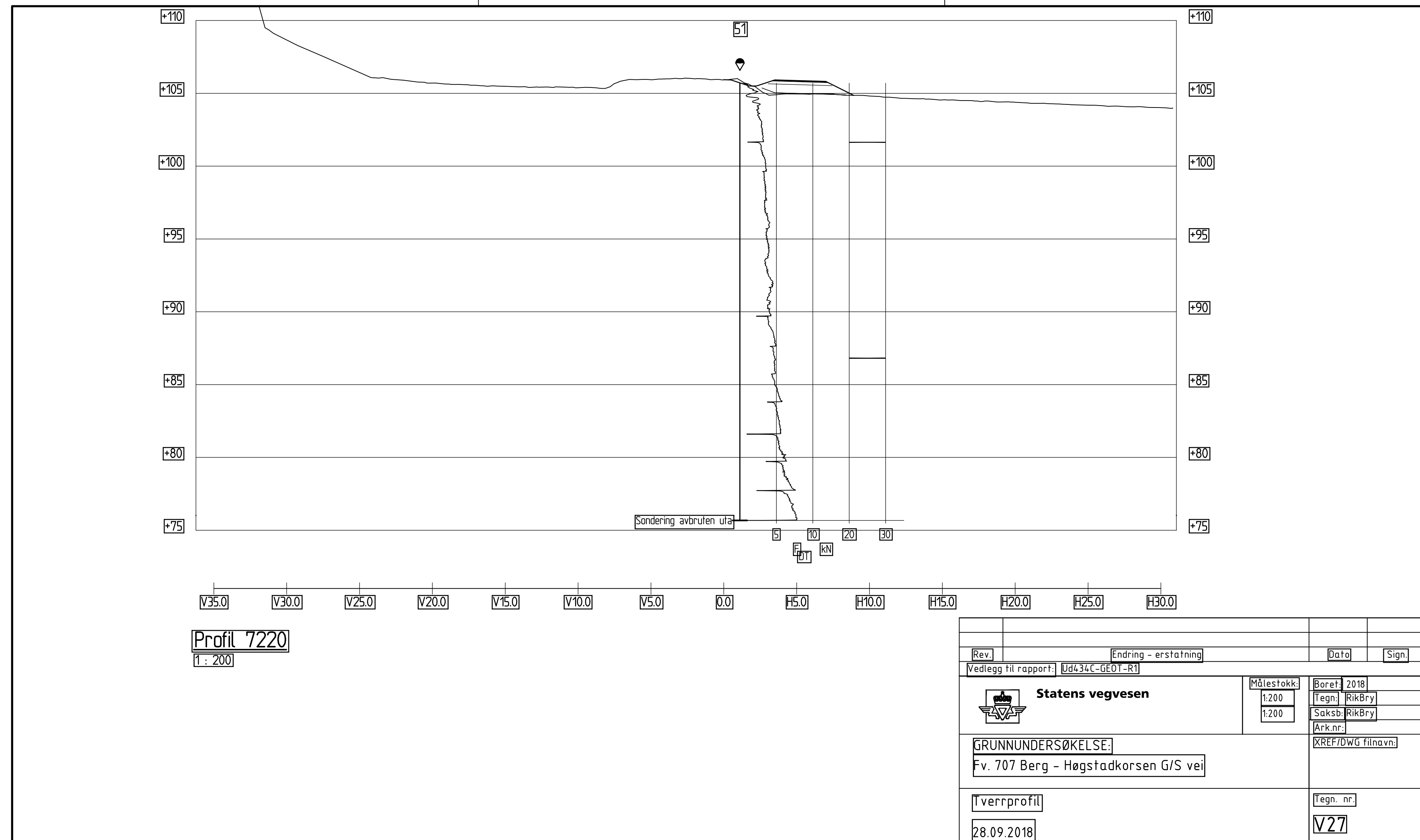
RikBry

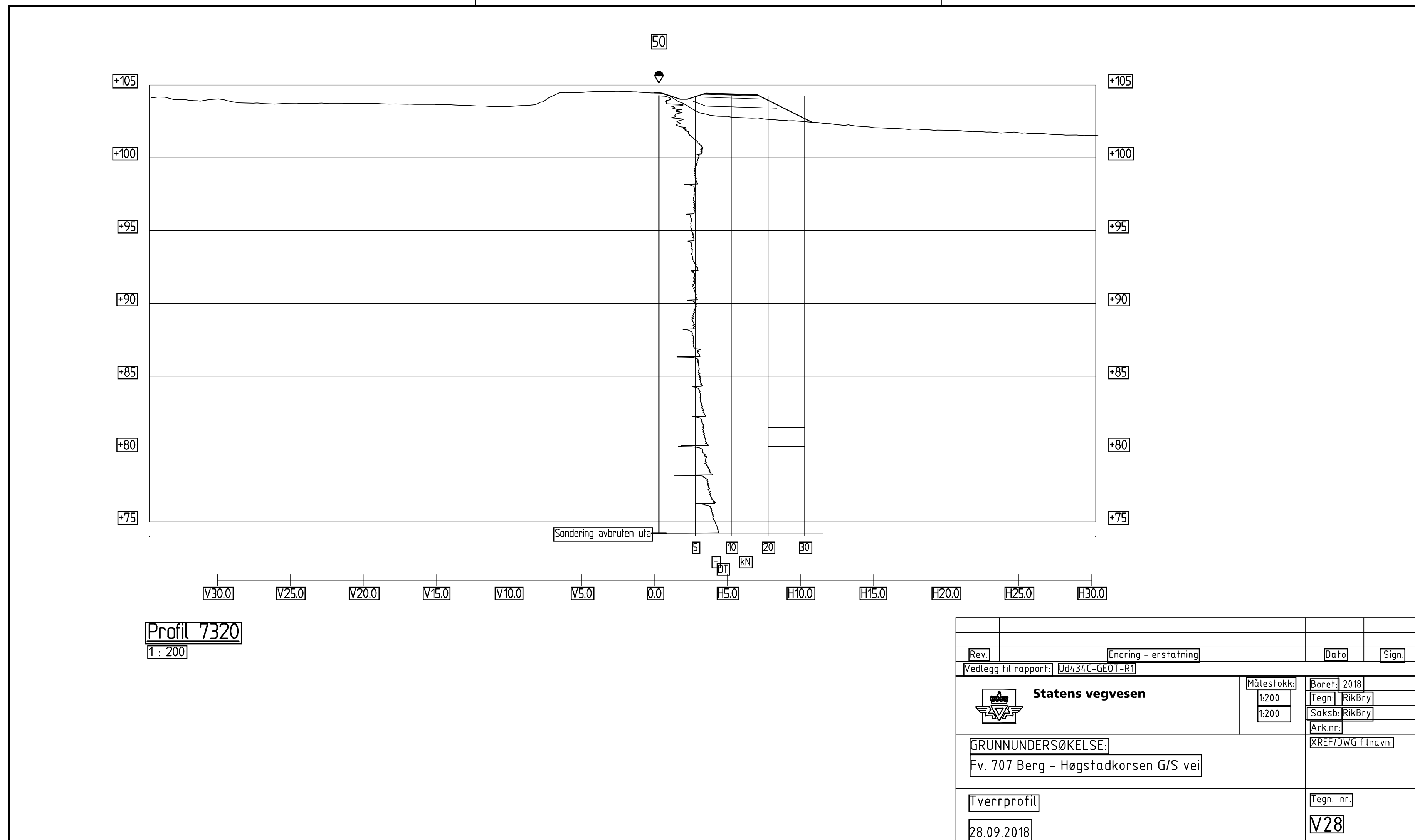
Ark.nr.:

XREF/DWG filnavn:

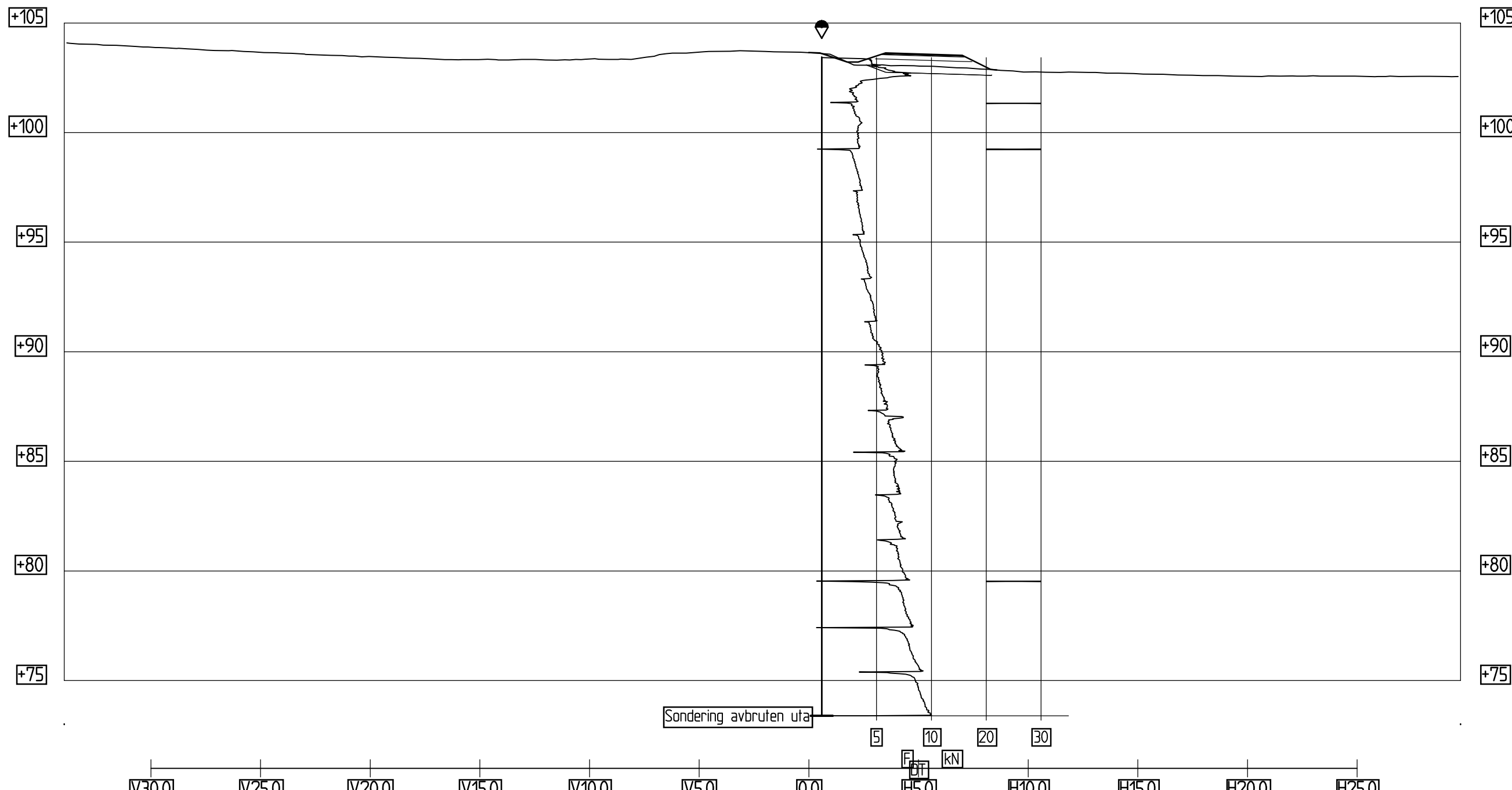


Rev.	Endring - erstatning	Dato	Sign.
Vedlegg til rapport: Udg34C-GEOT-R1			
Statens vegvesen 		Målestokk:	Boret: 2018
		1:200	Tegn: RikBry
		1:200	Saksb: RikBry
			Ark.nr.:
GRUNNUNDERSØKELSE: Fv. 707 Berg - Høgstadkorsen G/S vei		XREF/DWG filnavn:	
Tverrprofil 28.09.2018		Tegn. nr. V26	



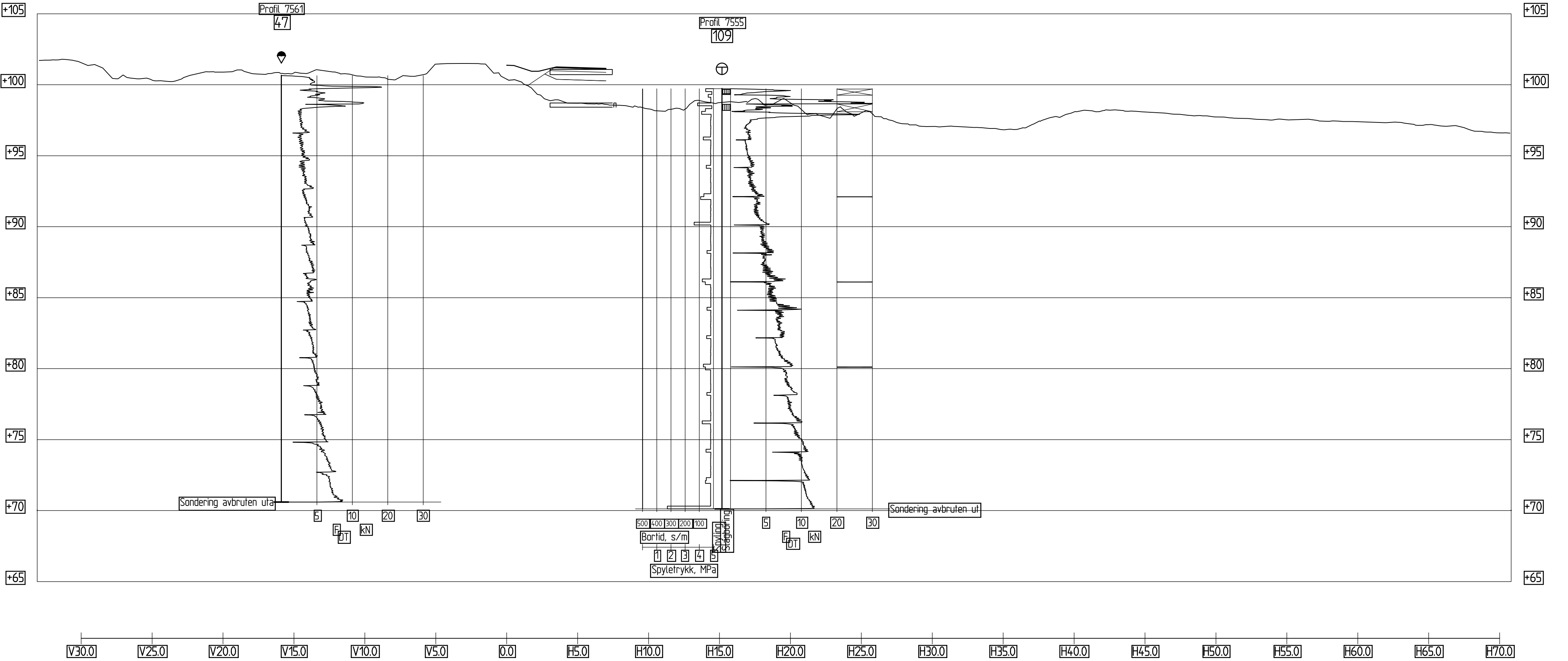


48B

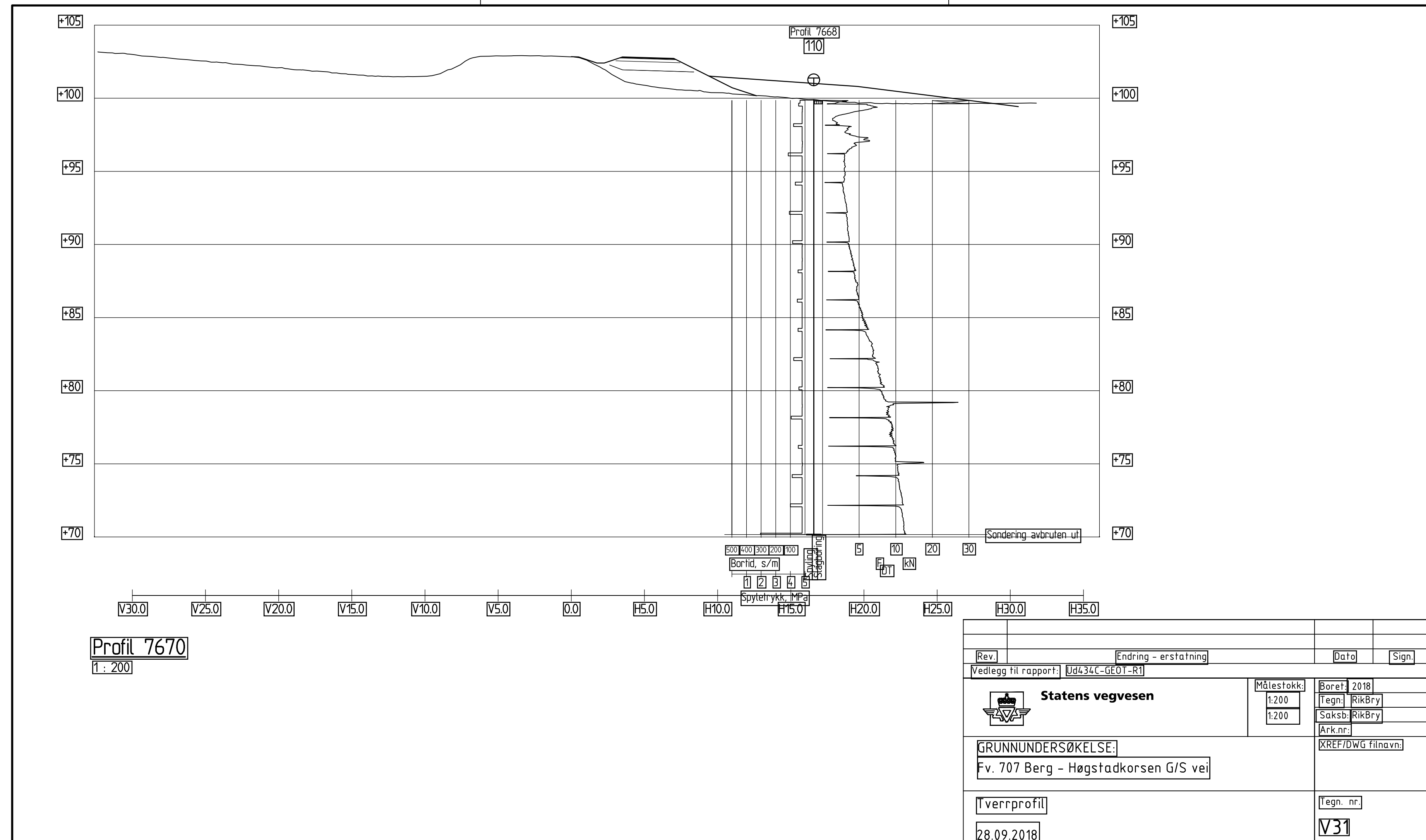


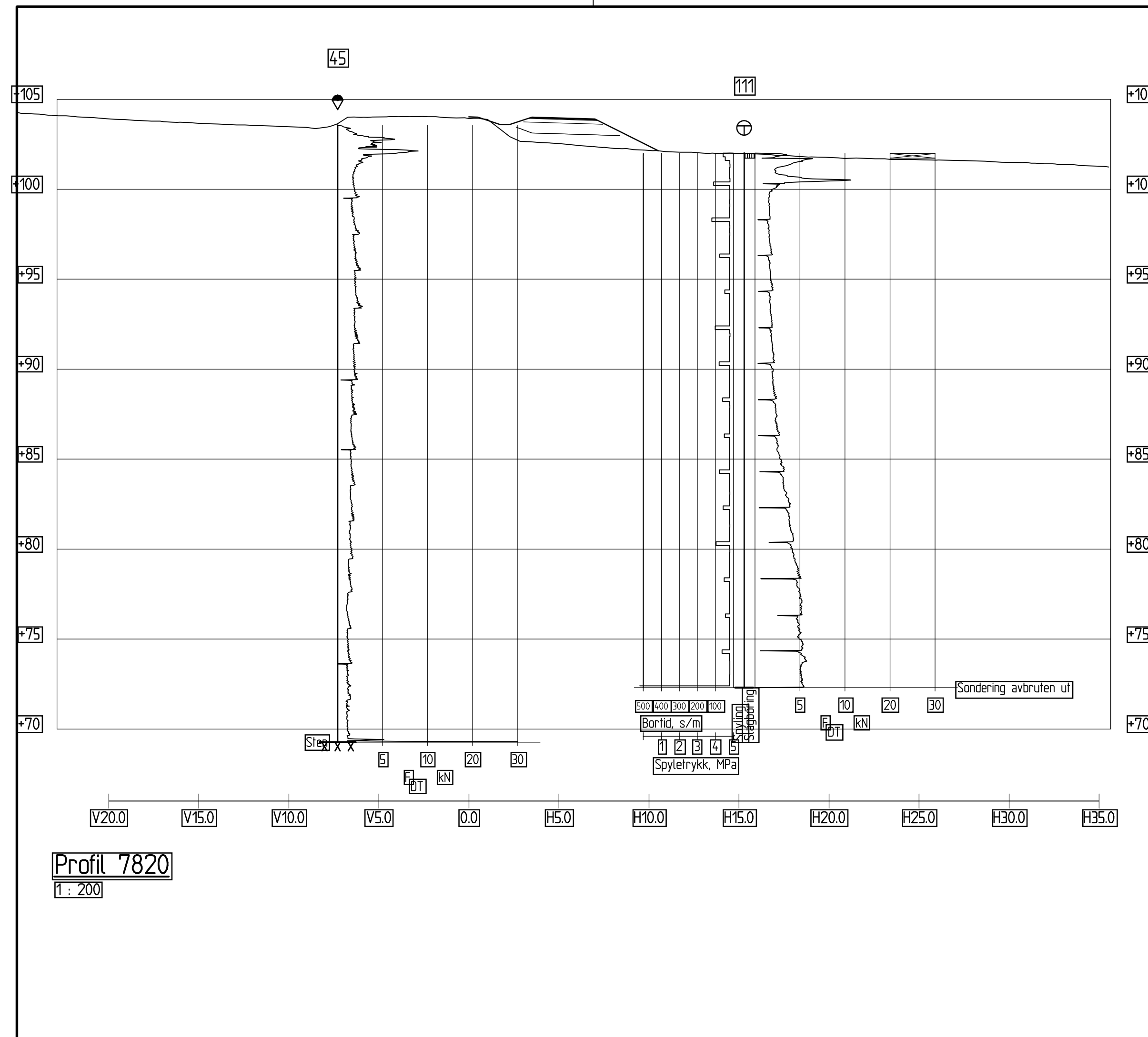
Profil 7430
1 : 200

Rev.	Endring - erstatning	Dato	Sign.
Vedlegg til rapport: Ud434C-GEOT-R1			
 Statens vegvesen		Målestokk:	Boret: 2018
		1:200	Tegn: RikBry
		1:200	Saksb: RikBry
			Ark.nr.:
			XREF/DWG filnavn:
GRUNNUNDERSØKELSE:		Fv. 707 Berg - Høgstadkorsen G/S vei	
Tverrprofil		Tegn. nr.	
		V29	
28.09.2018			

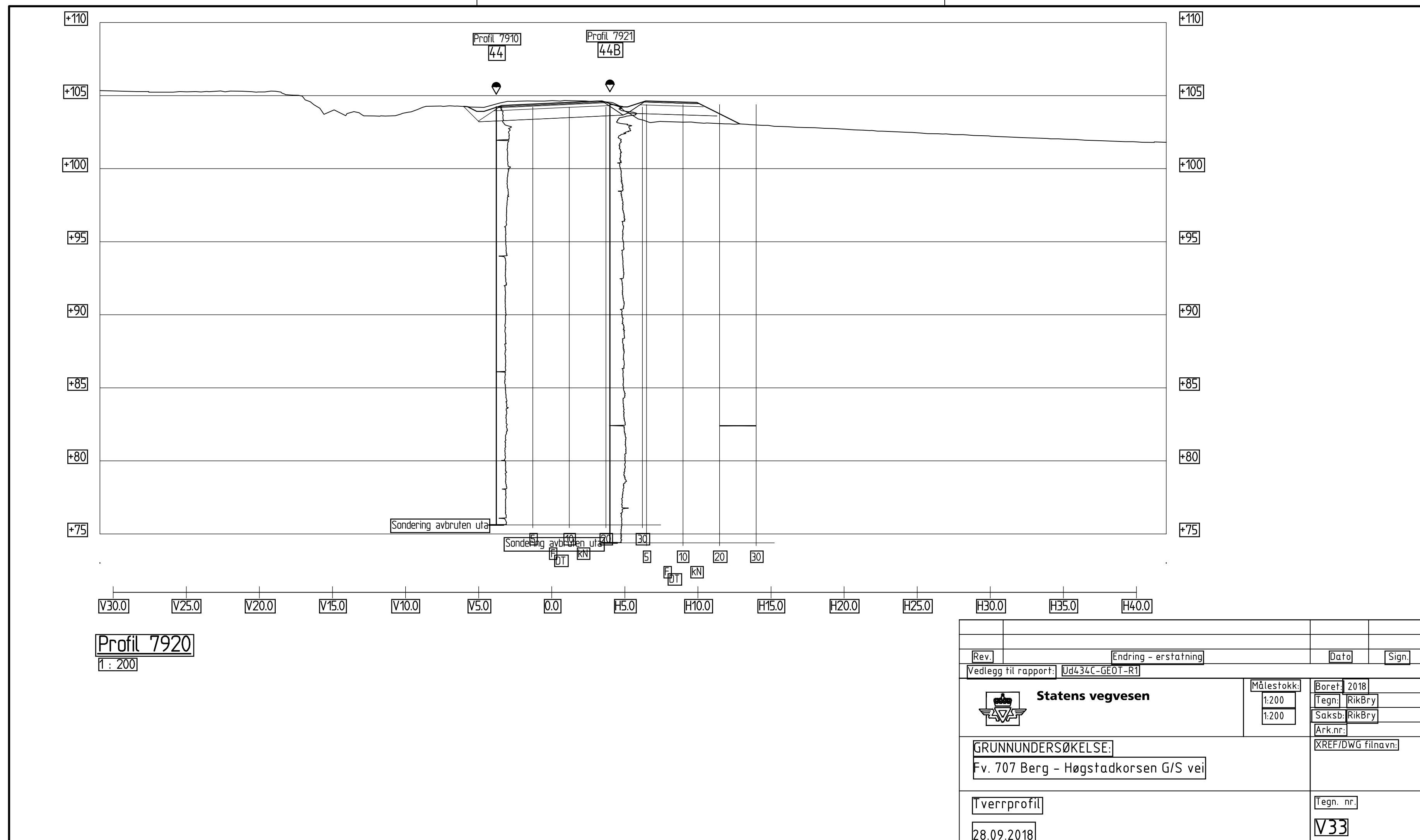


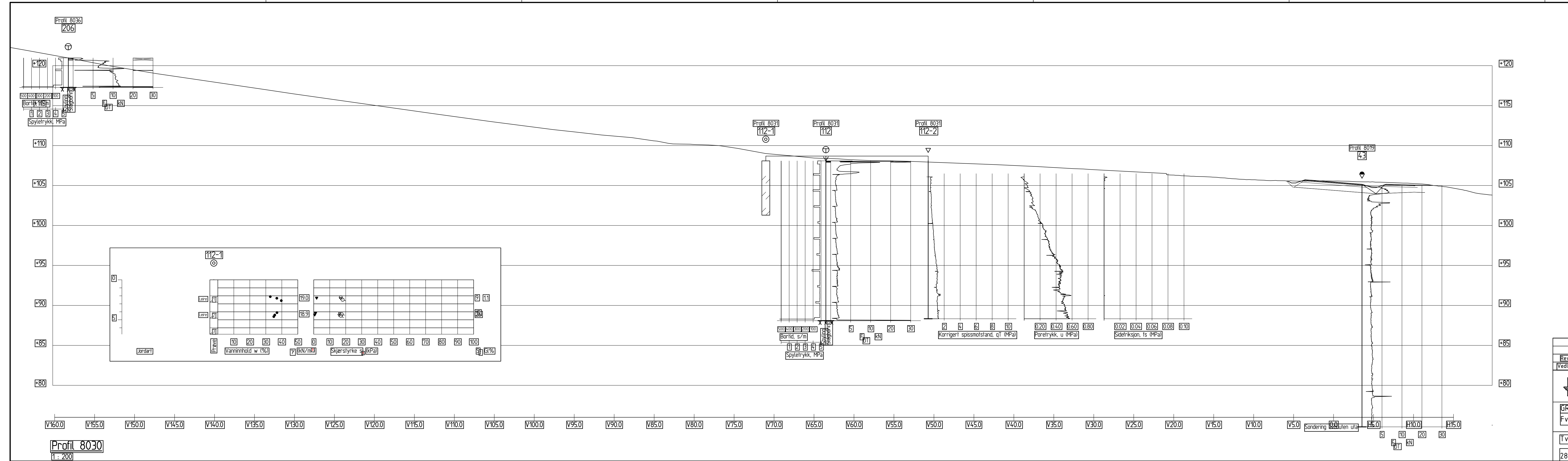
Rev.	Endring - erstatning	Dato	Sign.
Vedlegg til rapport: Udg34C-GEOT-R1			
Statens vegvesen 		Målestokk:	Boret: 2018
		1:200	Tegn: RikBry
		1:200	Saksb: RikBry
		Ark.nr:	XREF/DWG filnavn:
GRUNNUNDERSØKELSE: Fv. 707 Berg - Høgstadkorsen G/S vei			
Tverrprofil 28.09.2018		Tegn. nr. V30	



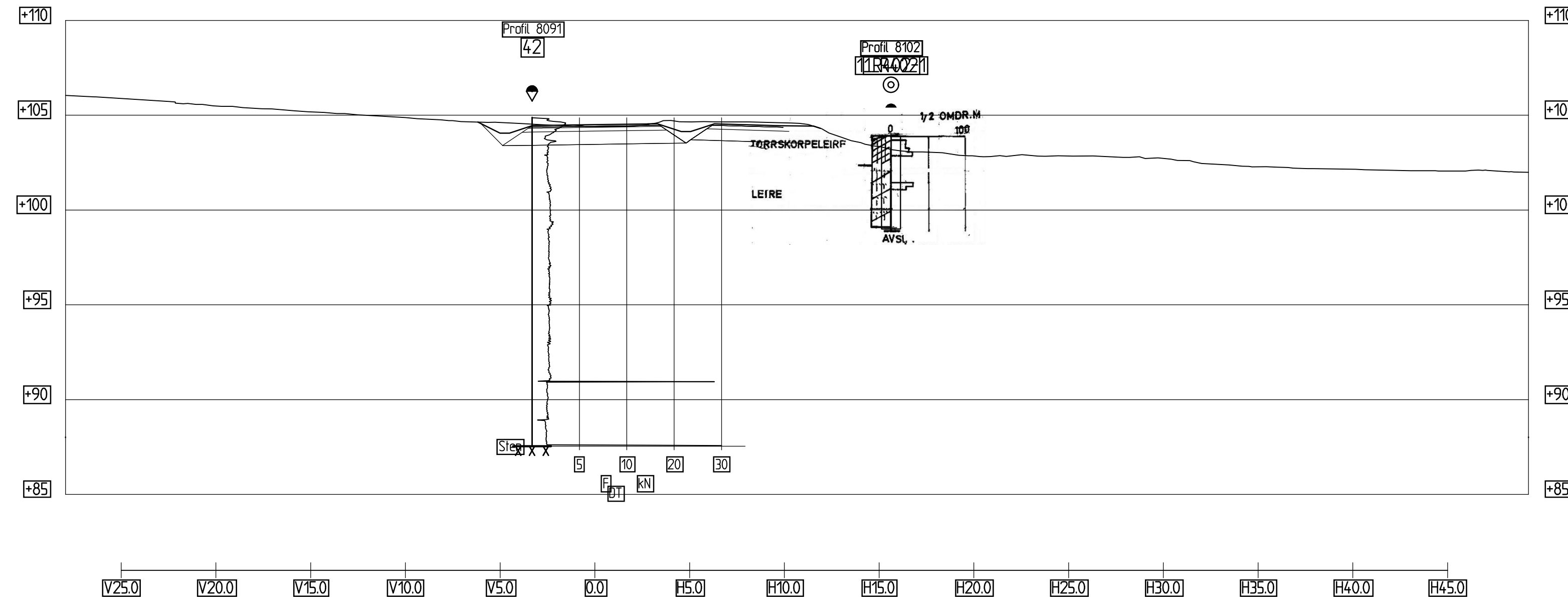


Rev.	Endring - erstatning	Dato	Sign.
Vedlegg til rapport: Ud434C-GEOT-R1			
 Statens vegvesen		Målestokk: 1:200 1:200	Boret: 2018 Tegn: RikBry Saksb: RikBry Ark.nr.:
GRUNNUNDERSØKELSE: Fv. 707 Berg - Høgstadkorsen G/S vei		XREF/DWG filnavn:	
Tverrprofil		Tegn. nr.	V32
		28.09.2018	



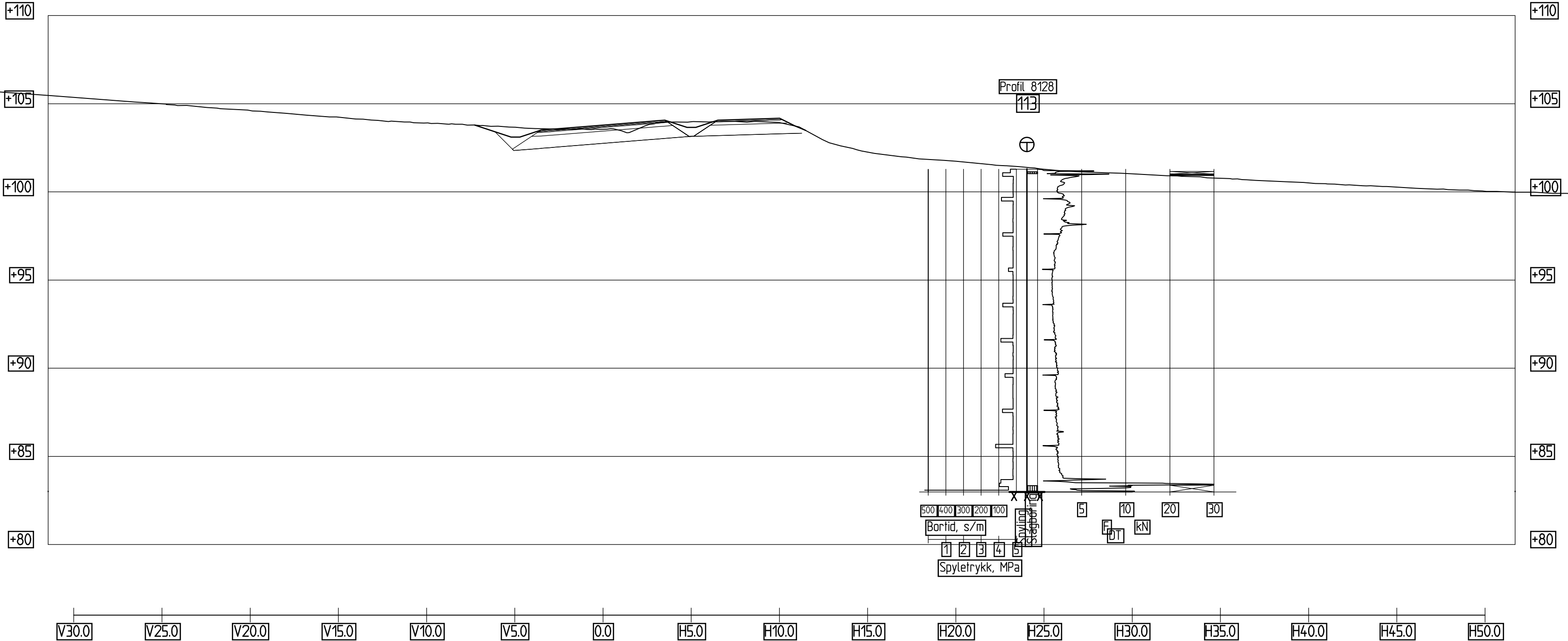


Rev.	Endring - erstatning	Dato	Sign.
Vedlegg til rapport: Ud434C-GÉOT-R1			
Målestokk	Boreid. 2018		
1:200	Tegn: RikBry		
1:200	Saksb: RikBry		
	Ark.nr:		
Statens vegvesen			
KREF/DWG filnavn:			
GRUNNUNDERSØKELSE:			
Fv. 707 Berg - Høgstadkorsen G/S vei			
Tverrprofil	Tegn. nr.		
28.09.2018			
V34			



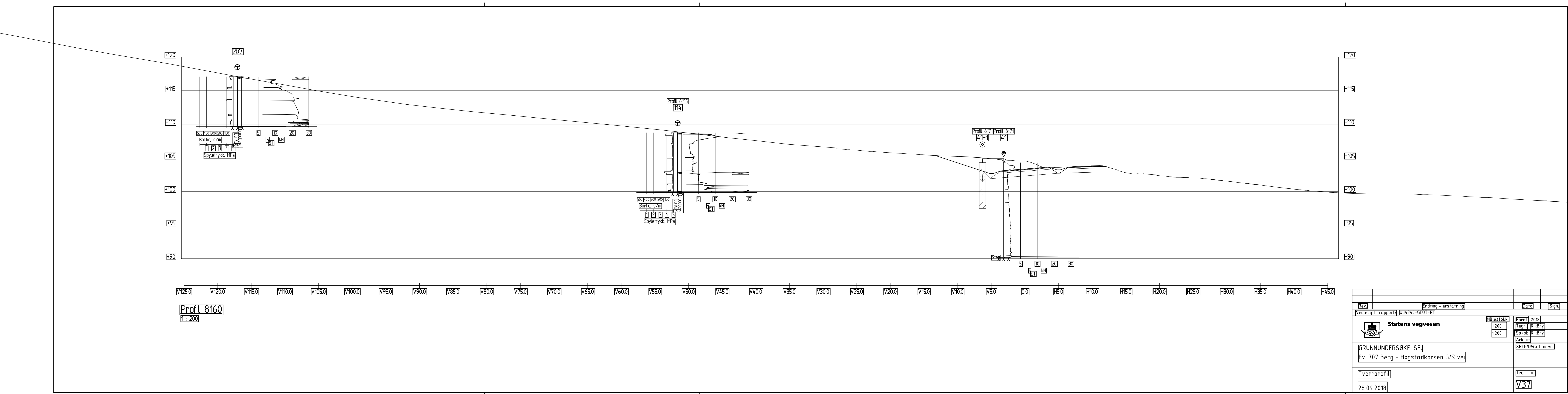
Profil 8100
1 : 200

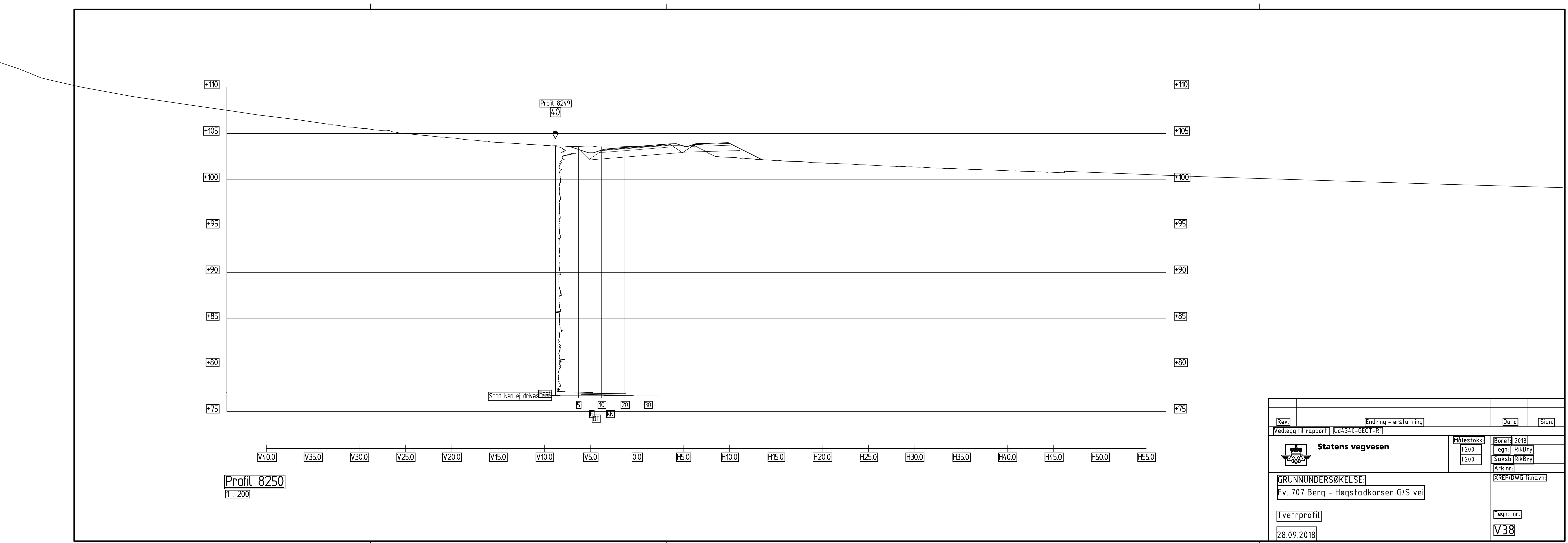
Rev.	Endring - erstatning	Dato	Sign.
Vedlegg til rapport: Ud434C-GEOT-R1			
 Statens vegvesen		Målestokk: 1:200 1:200	Boret: 2018 Tegn: RikBry Saksb: RikBry Ark.nr.: XREF/DWG filnavn:
GRUNNUNDERSØKELSE: Fv. 707 Berg - Høgstadkorsen G/S vei			
Tverrprofil		Tegn. nr. V35	
28.09.2018			

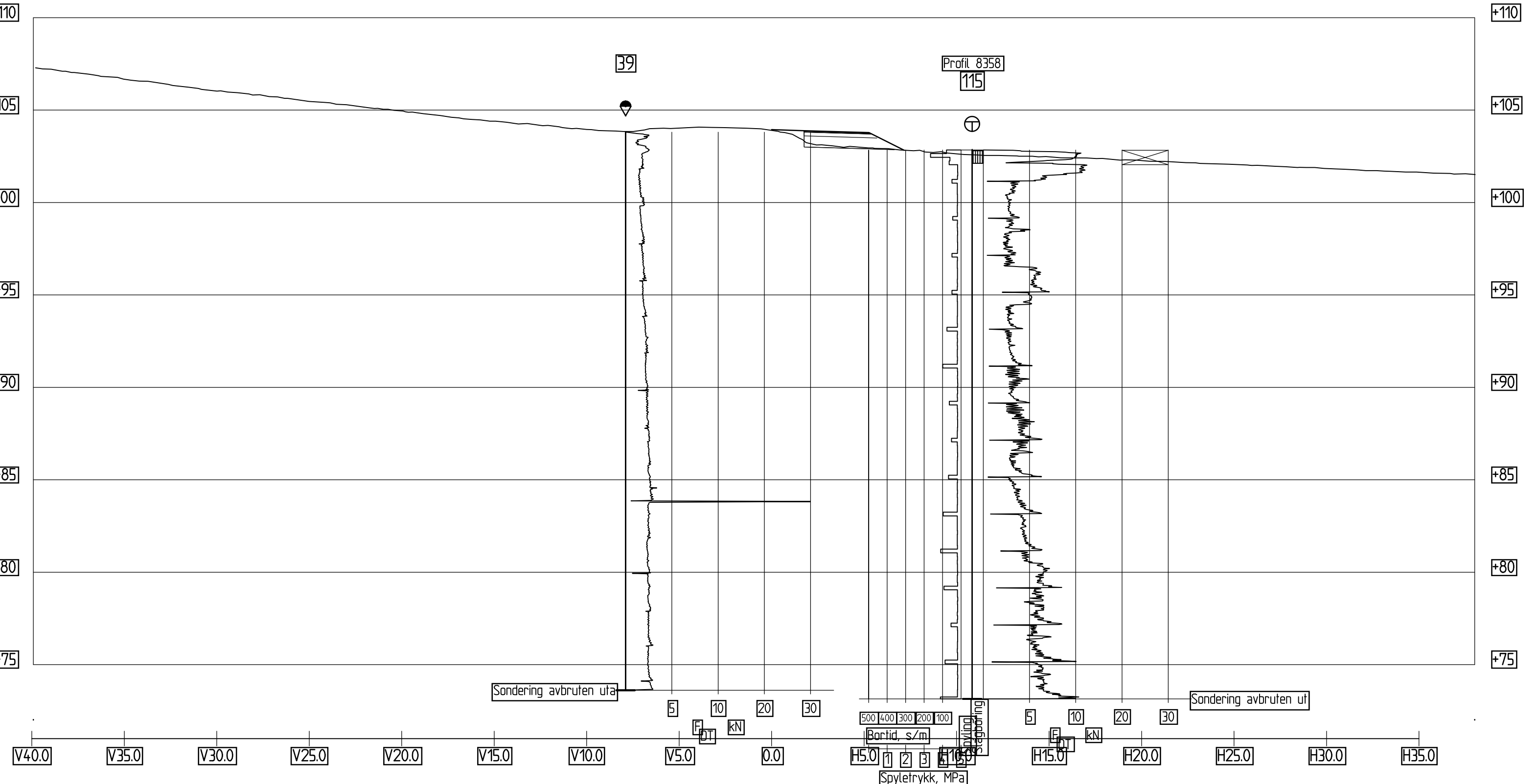


Profil 8130
1 : 200

Rev.	Endring - erstatning	Dato	Sign.
Vedlegg til rapport: Ud434C-GEOT-R1			
 Statens vegvesen		Målestokk: 1:200	Boref.: 2018
		Tegn.: RikBry	
		Saksb.: RikBry	
		Ark.nr.:	
GRUNNUNDERSØKELSE:		XREF/DWG filnavn:	
Fv. 707 Berg - Høgstadkorsen G/S vei			
Tverrprofil		Tegn. nr.	
		V36	
28.09.2018			

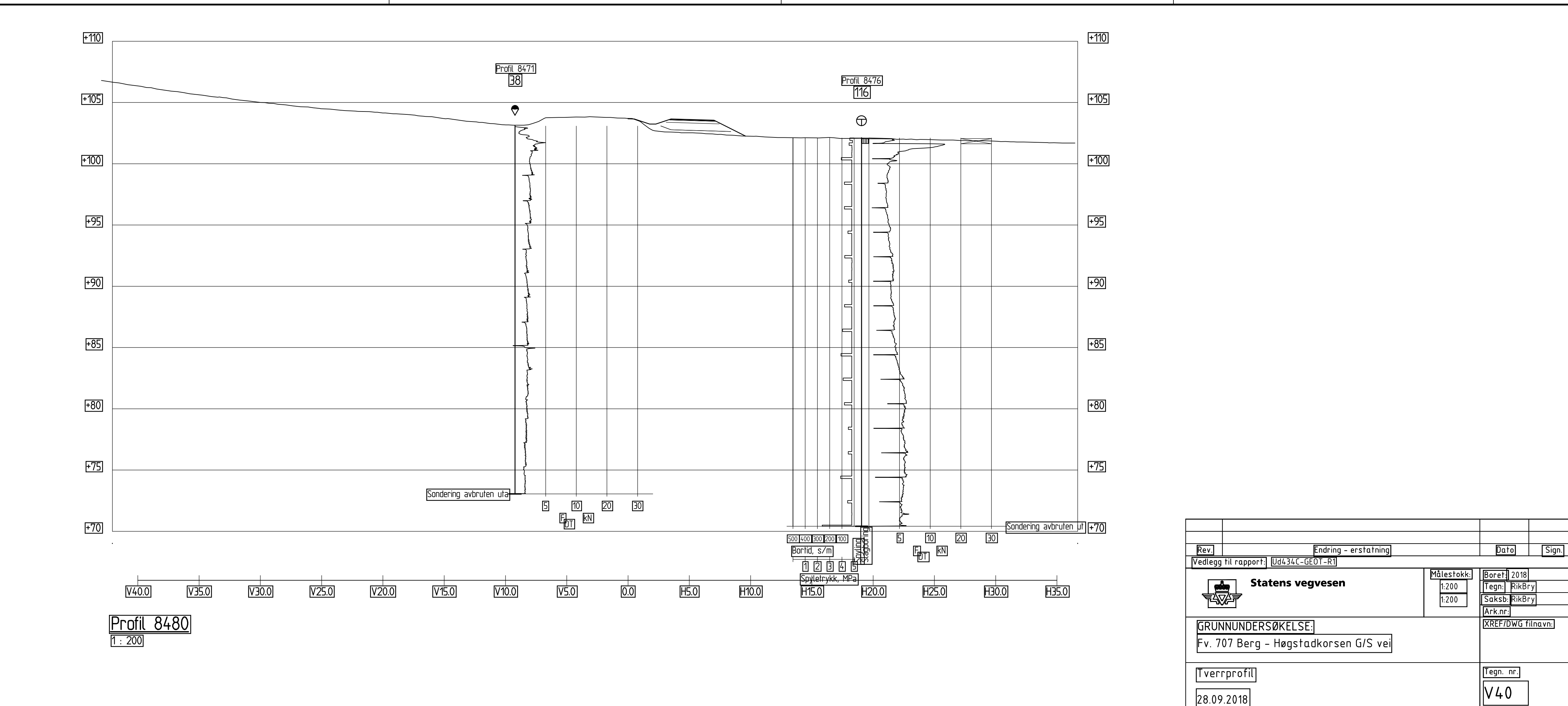


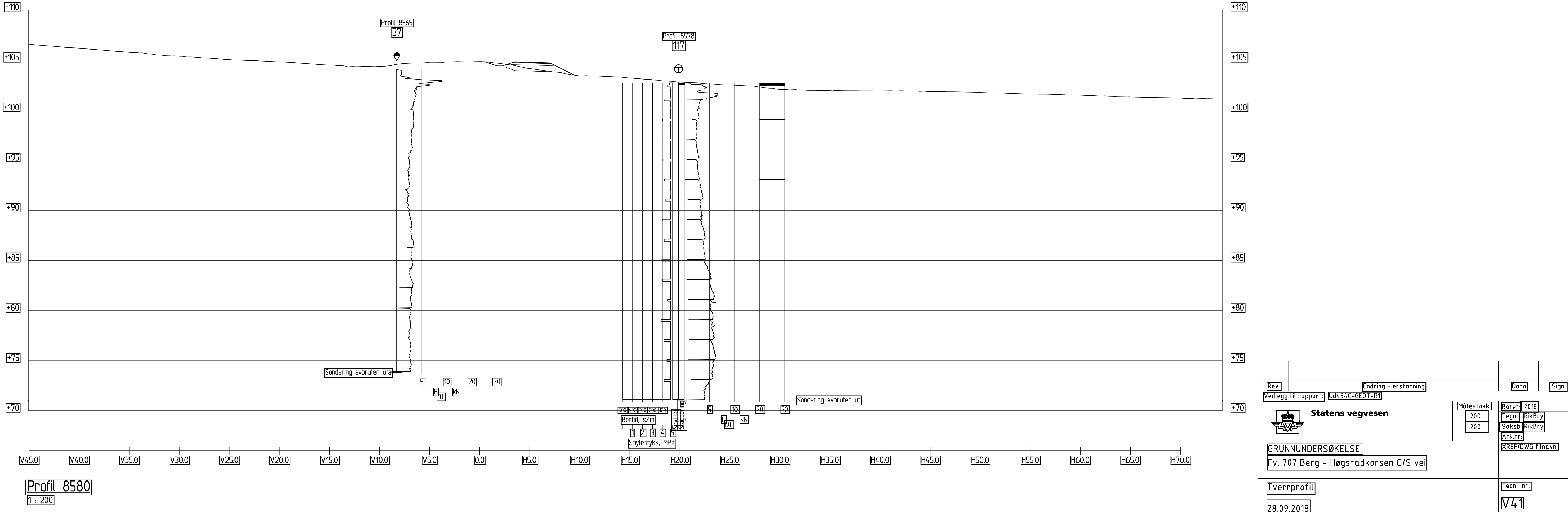




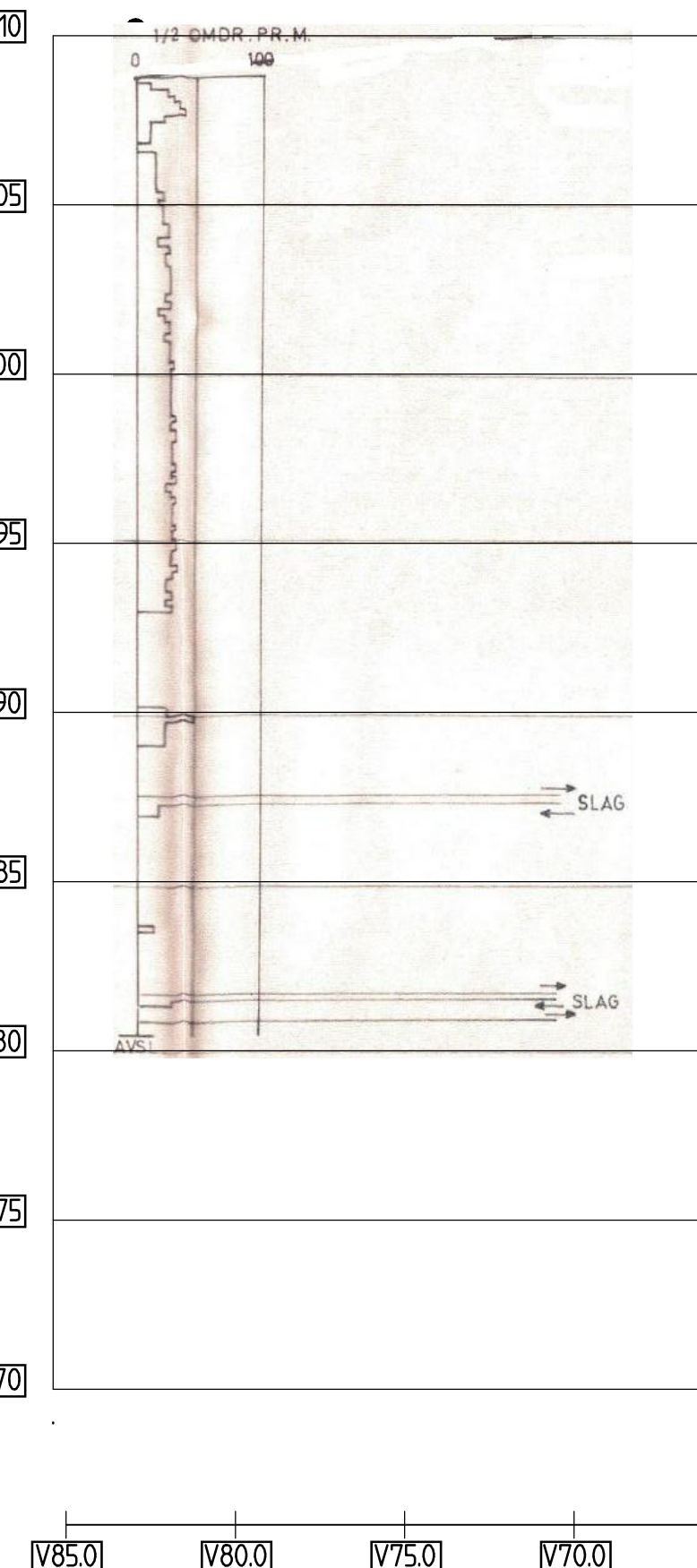
Profil 8360
1 : 200

Rev.	Endring - erstatning	Dato	Sign.
Vedlegg til rapport: Ud434C-GEOT-R1			
	Statens vegvesen	Målestokk:	Boret: 2018
		Tegn:	RikBry
		Saksb:	RikBry
		Ark.nr:	
GRUNNUNDERSØKELSE:			
Fv. 707 Berg - Høgstadkorsen G/S vei			
Tverrprofil			
28.09.2018			
		Tegn. nr.	
		V39	

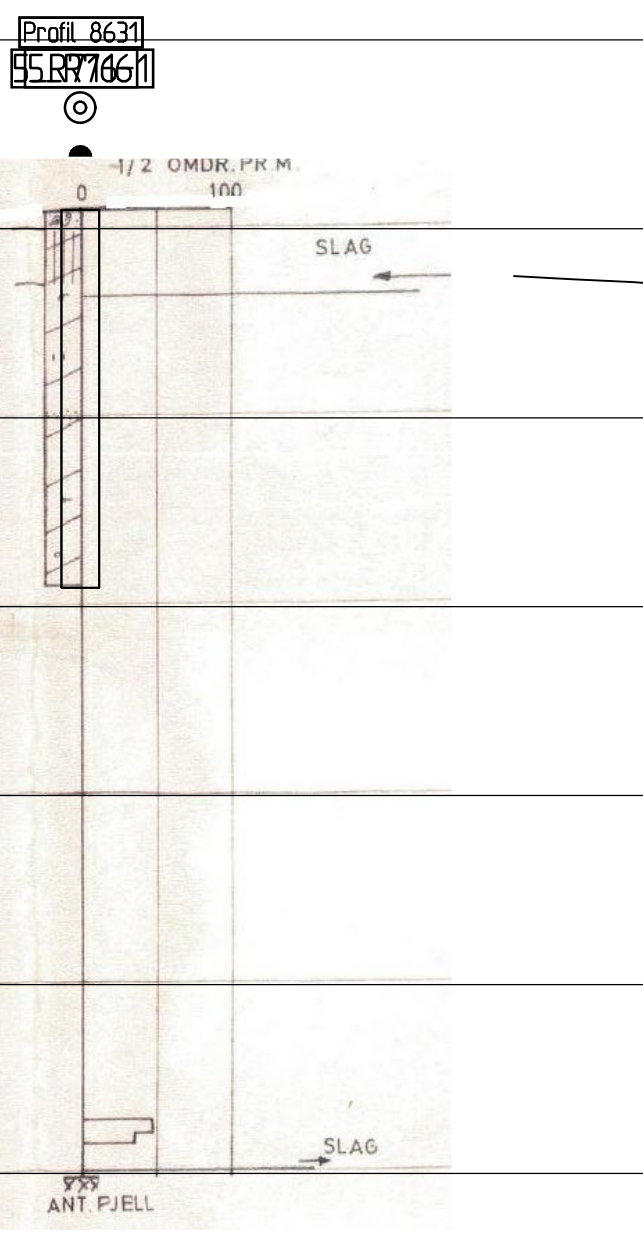




Profil 8634
6_R716



Profil 8640
1 : 200

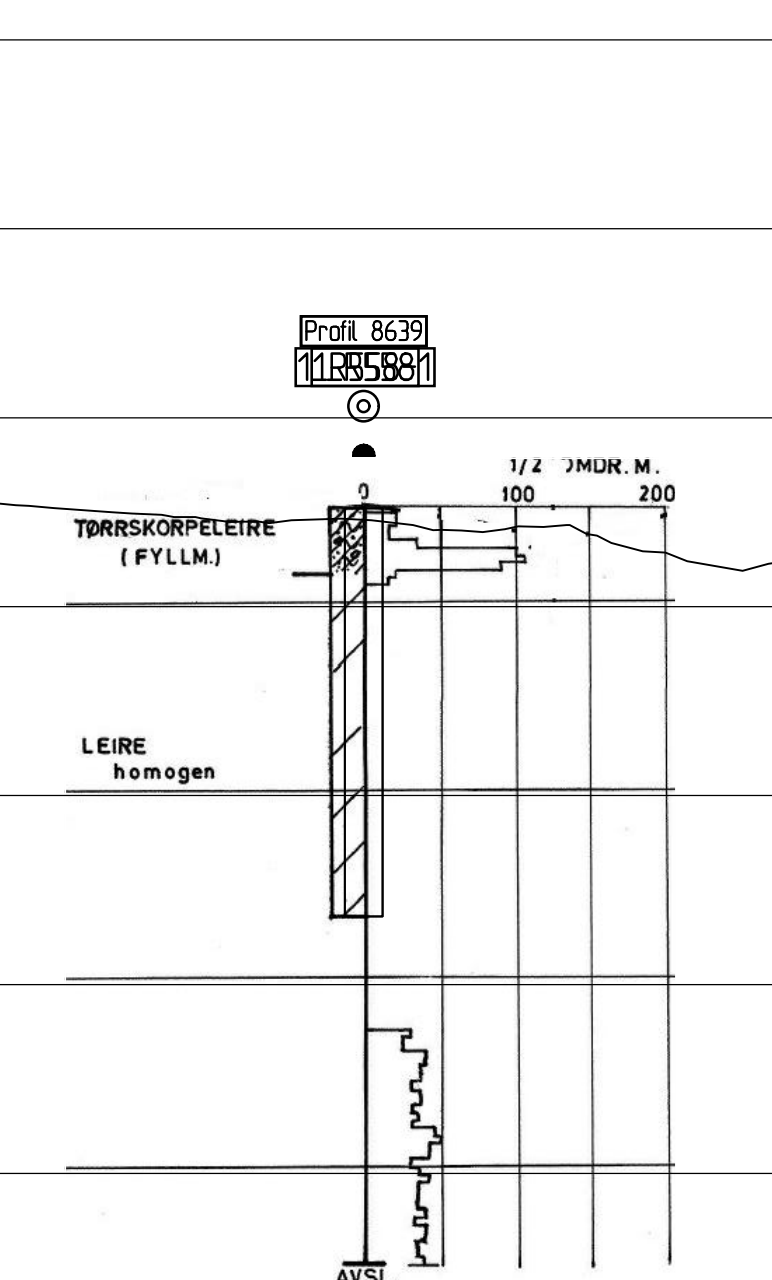


Profil 8633

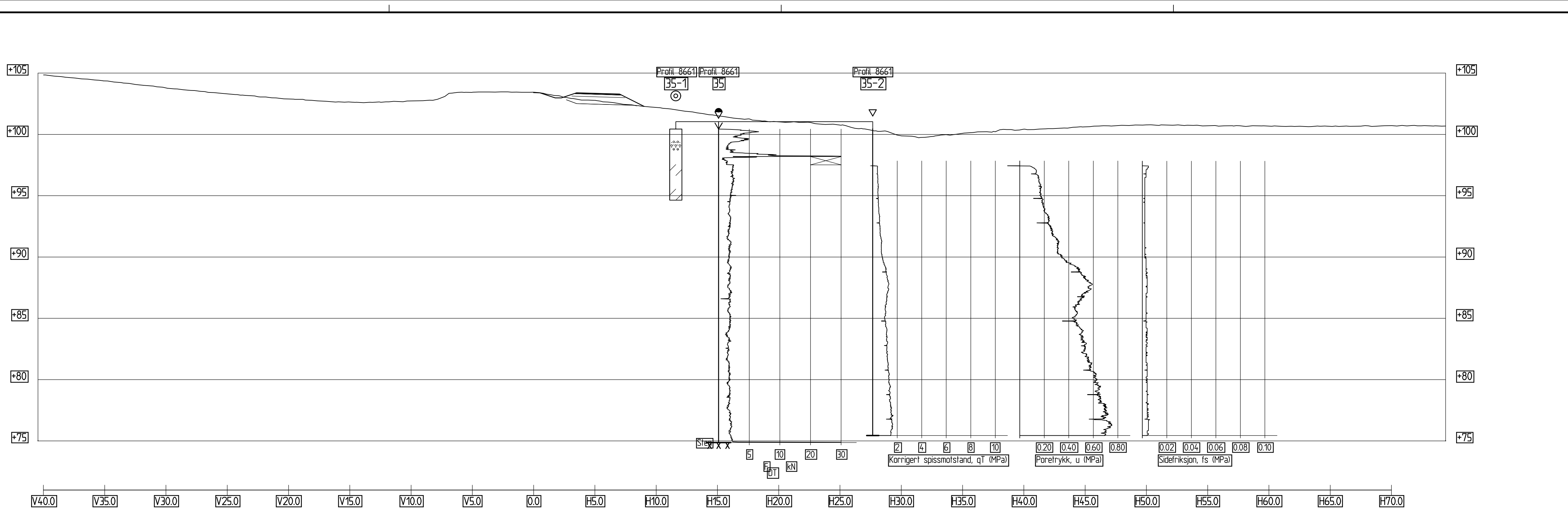
36



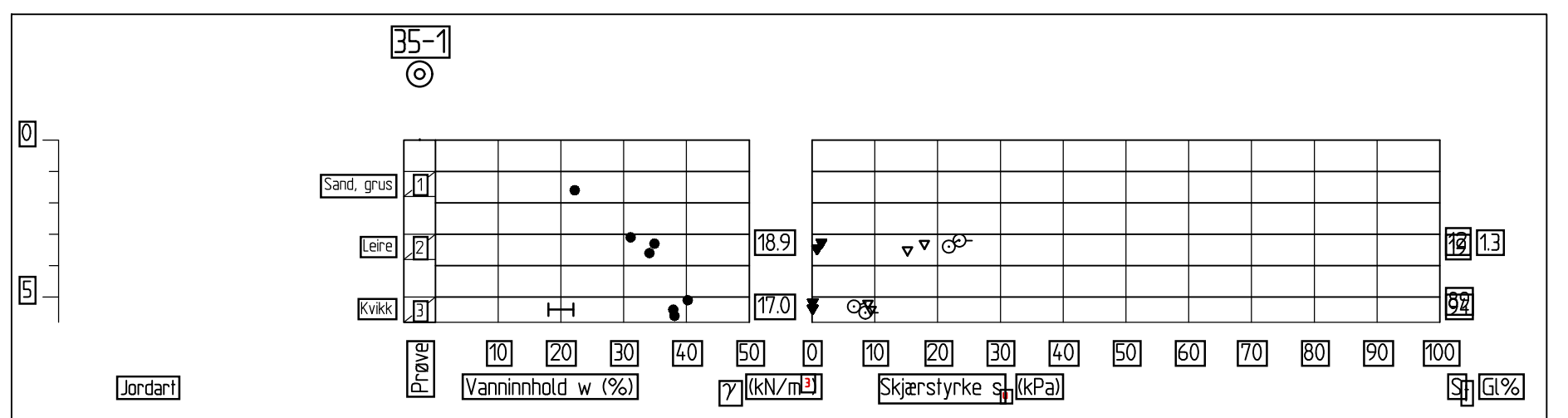
36



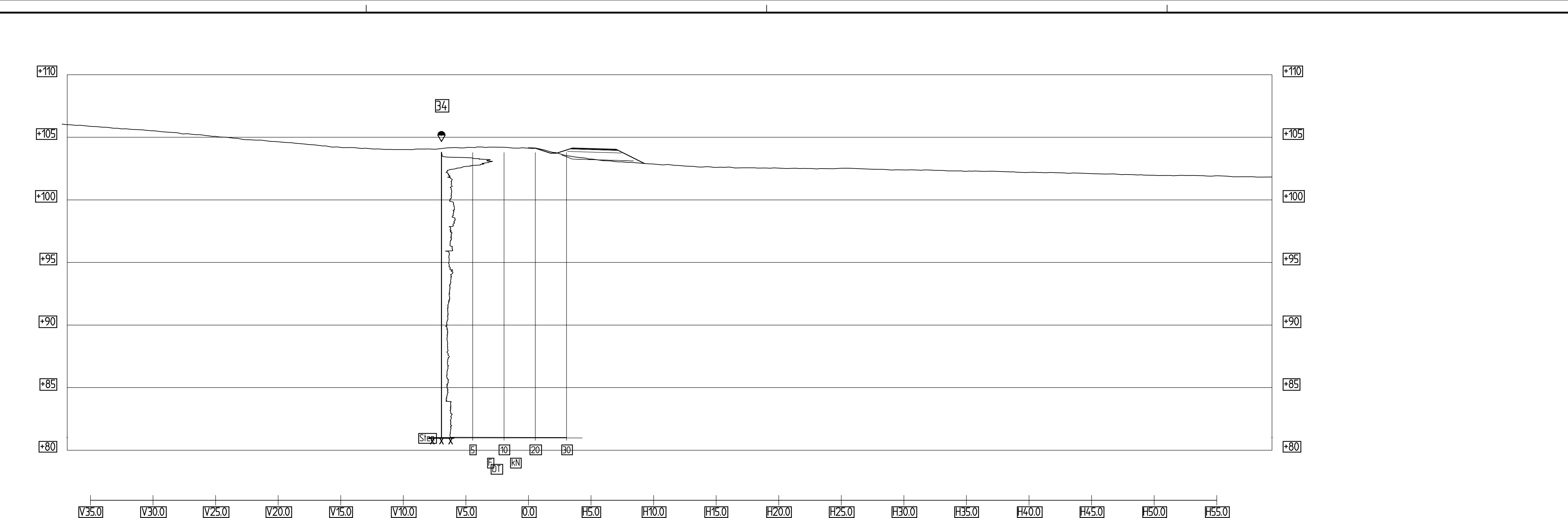
Rev.	Endring - erstatning	Dato	+80 dn.
Vedlegg til rapport: Udg34C-GEOT-R1			
Statens vegvesen			
Målestokk:	Boret: 2018	Tegn:	RikBry
	1:200		1:200
Saksb:	RikBry	Ark.nr.:	
GRUNNUNDERSØKELSE:			
Fv. 707 Berg - Høgstadkorset G/S vei			
Tverrprofil			
Tegn. nr.			
V42			
28.09.2018			



Profil 8670
1 : 200



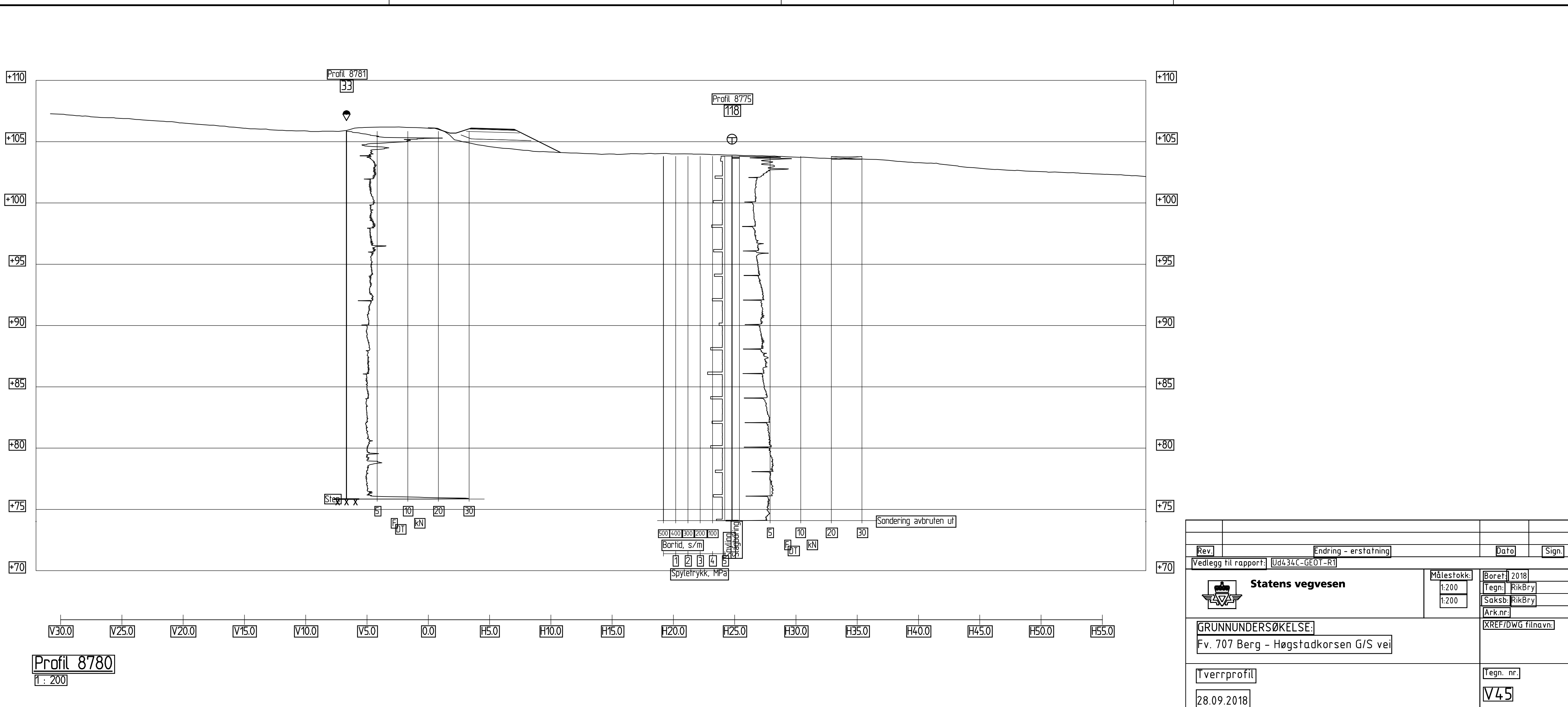
28.09.2018



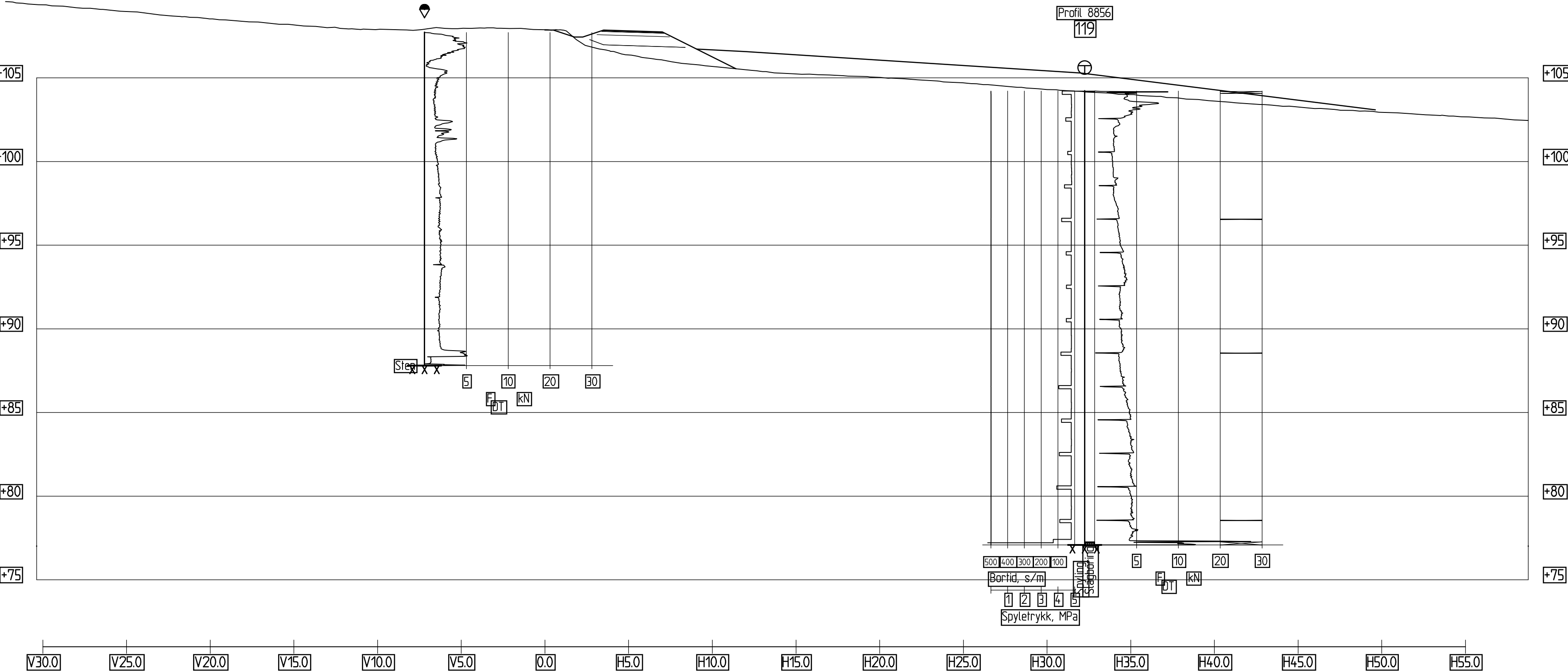
Profil 8700

1 : 200

Rev.	Endring - erstatning	Date	Sign.
Vedlegg til rapport: Ud434C-GEOT-R1			
 Statens vegvesen		Målestokk:	Boret: 2018
		1:200	Tegn: RikBry
		1:200	Saksb: RikBry
			Ark.nr:
GRUNNUNDERØKELSE: Fv. 707 Berg - Høgstadkorsen G/S vei		XREF/DWG filnavn:	
Tverrprofil 28.09.2018		Tegn. nr. V44	

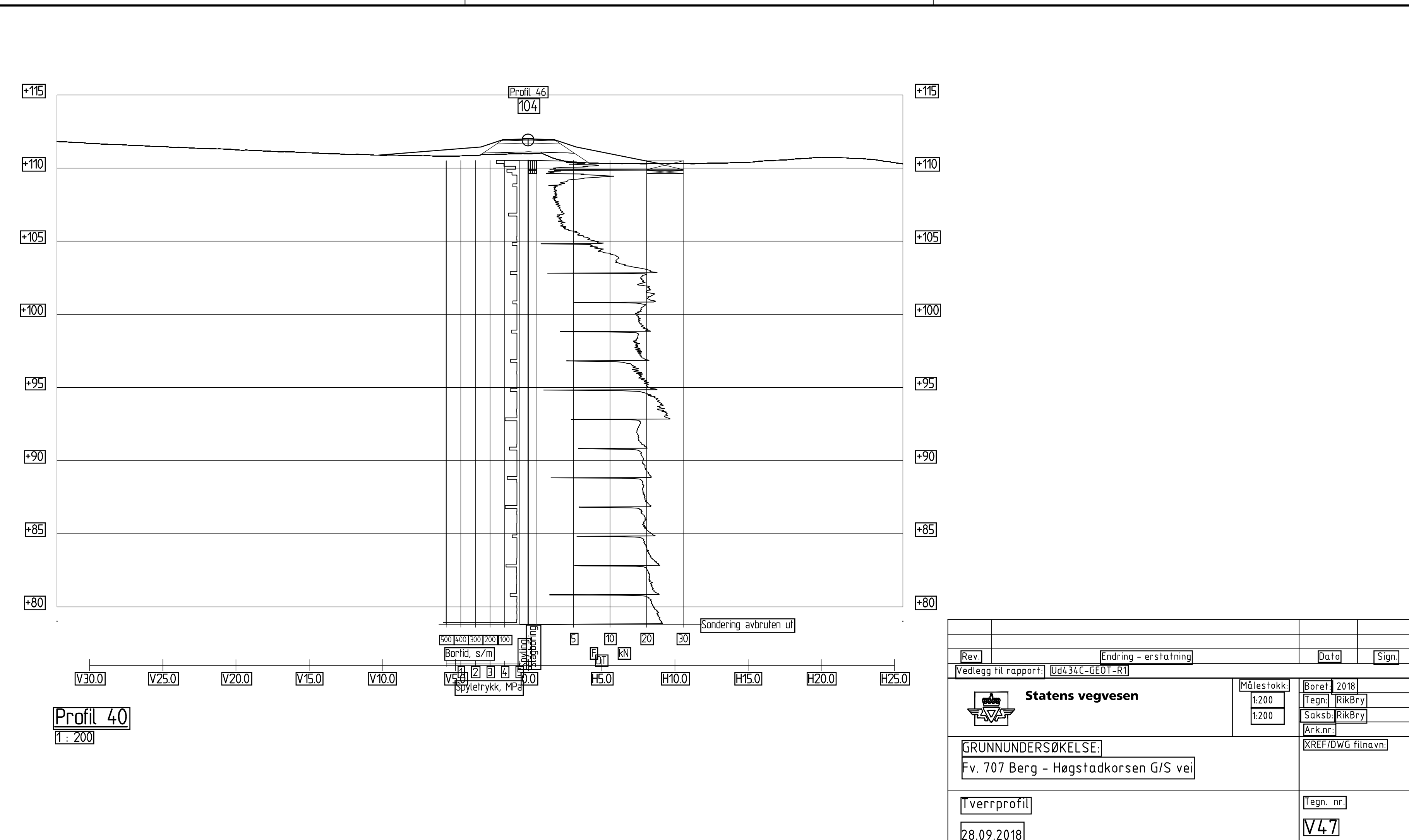


Profil 8866
32



Profil 8870
1 : 200

Rev.	Endring - erstatning	Date	Sign.
Vedlegg til rapport: Ud434C-GEOT-R1			
Statens vegvesen		Målestokk:	Boret: 2018
		1:200	Tegn: RikBry
		1:200	Saksb: RikBry
			Ark.nr:
XREF/DWG filnavn:			
GRUNNUNDERSØKELSE: Fv. 707 Berg - Høgstadkorsen G/S vei			
Tverrprofil			
Tegn. nr.			
28.09.2018			
V46			





Statens vegvesen
Region midt
Ressursavdelingen
Postboks 2525, 6404 MOLDE
Tlf: 22073000
firmapost-midt@vegvesen.no

vegvesen.no

Trygt fram sammen